

TECHNICKÁ UNIVERZITA V LIBERCI  
FAKULTA TEXTILNÍ

# DIPLOMOVÁ PRÁCE

**Liberec 2011**

**Milada Borovská**

# **TECHNICKÁ UNIVERZITA V LIBERCI**

## **FAKULTA TEXTILNÍ**

Katedra textilních materiálů

Studijní obor: Textilní inženýrství

Zaměření: Řízení jakosti

**Metodika hodnocení nestejnoměrnosti tkanín**

**Methods evaluation unevenness of woven fabric**

**Autor:**

Bc. Milada Borovská

**Vedoucí diplomové práce:**

Ing. Eva Moučková, Ph.D.

**Konzultant:**

Ing. Petra Jirásková

Prof. Ing. Petr Ursíny, DrSc.

**Rozsah práce:**

Počet stran textu.....50

Počet obrázků.....64

Počet tabulek.....4

Počet stran příloh.....42

**Technická univerzita v Liberci**  
**Fakulta textilní**  
**Akademický rok: 2010/2011**

**ZADÁNÍ DIPLOMOVÉ PRÁCE**

Jméno a příjmení: **Bc. Milada Borovská**

Studijný program: **N3106 Textilní inženýrství**

Název tématu: **Metodika hodnocení nestejnoměrnosti tkanin**

Zadávající katedra: **Katedra textilních materiálů**

**Zásady pro vypracování :**

1. Zpracujte rešerši na téma vyjadřování a hodnocení nestejnoměrnosti plošných textilií. Zaměřte se rovněž na problematiku získávání a zpracování obrazu plošné textilie.
2. Vhodnou metodou získejte obrazy reálné tkaniny i obrazy vzhledu tkaniny nasimulované přístrojem Uster-Tester.
3. Na základě interní normy Metodika zjišťování nestejnoměrnosti tkanin vyhodnotěte plošnou nestejnoměrnost obrazů vzhledů tkaniny získaných jak pomocí vaši metody, tak metody uvedené v normě.
4. Sledujte vliv vazby tkaniny a nestejnoměrnosti příze na průběh charakteristických funkcí nestejnoměrnosti v ploše (plošná variační křivka, semivariogram).
5. Výsledky zhodnotěte, případně navrhněte úpravu metodiky hodnocení nestejnoměrnosti obrazu plošné textilie.

## **Prohlášení**

Byl(a) jsem seznámen(a) s tím, že na mou diplomovou práci se plně vztahuje zákon č. 121/2000 Sb., o právu autorském, zejména § 60 – školní dílo.

Beru na vědomí, že Technická univerzita v Liberci (TUL) nezasahuje do mých autorských práv užitím mé diplomové práce pro vnitřní potřebu TUL.

Užiji-li diplomovou práci nebo poskytnu-li licenci k jejímu využití, jsem si vědom povinnosti informovat o této skutečnosti TUL; v tomto případě má TUL právo ode mne požadovat úhradu nákladů, které vynaložila na vytvoření díla, až do jejich skutečné výše.

Diplomovou práci jsem vypracoval(a) samostatně s použitím uvedené literatury a na základě konzultací s vedoucím diplomové práce a konzultantem.

Datum: 2. května 2011 v Liberci

Podpis.....

## *POĎAKOVANIE*

*Rada by som podakovala vedúcej diplomovej prace pani Ing.Eve Moučkovej Ph.D. za jej záujem, rady, pripomienky a trpežlivosť pri vzniku tejto práce. Ďalej by som chcela podakovať konzultantke pani Ing. Petre Jiráskovej za pomoc a ochotu.*

## **Anotace**

Cílem této diplomové práce je návrh vhodné metody pro zpracování nasimulovaných a reálných obrazů tkaniny a následné vyhodnocení nestejnoměrnosti plošné textilie pomocí charakteristických funkcí.

První část práce se zabývá popisem hmotné nestejnoměrnosti délkových a plošných textilií a poskytuje přehled charakteristických funkcí používaných pro vyhodnocení této nestejnoměrnosti. Pozornost je věnována především vyhodnocení plošných variačních křivek, semivariogramů a semivariogramů vlivu vazby.

Experimentální část práce se zabývá získáváním a následným zpracováním nasimulovaných a reálných obrazů tkaniny. Zpracováním obrazu ve skriptu v programu Matlab a následnou analýzou vzhledové nestejnoměrnosti obrazu tkaniny na základě vyhodnocení kolísání stupňů šedi v tomto obrazu. Sledován je průběh vnějších plošných variačních křivek s ohledem na použitou metodu, míru nestejnoměrnosti a vazby tkaniny.

**Klíčová slova:** *nestejnoměrnost plošných textilií, semivariogram, plošná variační křivka, simulovaný obraz tkaniny*

## **Annotation**

The aim of this thesis is to develop a set of appropriate technique for processing of images of simulated and real structures and subsequent evaluation of unevenness of plain fabric using characteristic functions.

The first part of the thesis deals with the description of mass-unevenness of linear and plain fabrics. It also provides summary of characteristic functions used for evaluation of the unevenness. More specifically, evaluation of area variation curves, semivariograms and semivariograms influence of fabric weave is described.

The experimental part of the thesis deals with acquisition of simulated structures and their processing. Image processing in Matlab is described as well as subsequent analysis of appearance unevenness based on the evaluation of grey-scale levels of the image. Effect of the used method, unevenness rate and fabric weave on the area variance curve, semivariograms is of the primary focus.

**Key-words:** *surface unevenness of woven fabric, semivariogram, area variation curve, simulated structure of woven fabric*

## OBSAH:

<b>1</b>	<b>ÚVOD.....</b>	<b>9</b>
<b>2</b>	<b>TEORETICKÁ ČASŤ.....</b>	<b>10</b>
2.1	NEROVNOMERNOSŤ .....	10
2.2	NEROVNOMERNOSŤ PRIADZE .....	11
2.2.1	<i>Spôsoby stanovenia hmotnej nerovnomernosti priadze .....</i>	11
2.3	TKANINA.....	16
2.4	NEROVNOMERNOSŤ PLOŠNÝCH TEXTÍLII.....	17
2.5	CHARAKTERISTICKÉ FUNKCIE NEROVNOMERNOSTI.....	21
2.5.1	<i>Vonkajšia plošná variačná krivka .....</i>	21
2.5.2	<i>Vnútorná plošná variačná krivka .....</i>	22
2.5.3	<i>Semivariogram (variogram) .....</i>	24
2.6	OBRAZ PLOŠNÉ TEXTÍLIE – TKANINY .....	27
2.6.1	<i>Nasimulovaný obraz Uster-Tester .....</i>	27
2.6.2	<i>Reálny obraz tkaniny .....</i>	28
<b>3</b>	<b>EXPERIMENTÁLNA ČASŤ.....</b>	<b>29</b>
3.1	EXPERIMENT NASIMULOVANÁ TKANINA.....	29
3.1.1	<i>Priadze použité v experimente .....</i>	30
3.1.2	<i>Spracovanie nasimulovaného obrazu tkaniny .....</i>	31
	<i>Spôsoby spracovania nasimulovaného obrazu .....</i>	31
3.1.3	<i>Vyhodnotenie vonkajších plošných variačných kriviek .....</i>	32
3.1.4	<i>Vyhodnotenie semivariogramov .....</i>	37
3.1.5	<i>Vyhodnotenie semivariogramov vplyv väzby .....</i>	39
3.2	EXPERIMENT REÁLNA TKANINA .....	43
3.2.1	<i>Materiál použitý v experimente .....</i>	43
3.2.2	<i>Vonkajšie plošné variačné krivky reálnej tkaniny .....</i>	45
3.2.3	<i>Semivariogrami obrazu reálnej tkaniny .....</i>	50
3.2.4	<i>Semivariogrami vplyv väzby reálnej tkaniny a ich vyhodnotenie .....</i>	54
	<b>ZÁVER .....</b>	<b>58</b>
<b>4</b>	<b>POUŽITÉ ZDROJE.....</b>	<b>61</b>
<b>5</b>	<b>PRÍLOHY .....</b>	<b>63</b>
5.1	PLOŠNÉ VONKAJŠIE VARIAČNÉ KRIVKY NASIMULOVANÁ TKANINA.....	63
5.2	SEMIVARIOGRAM NASIMULOVANÁ TKANINA.....	67
5.3	PLOŠNÉ VONKAJŠIE VARIAČNÉ KRIVKY REÁLNA TKANINA.....	90
5.4	SEMIVARIOGRAM REÁLNA TKANINA .....	93
5.5	SEMIVARIOGRAM VPLYV VÄZBY REÁLNA TKANINY .....	99

## Zoznam použitých symbolov a skratiek

$A$	plocha štvorca [ $\text{cm}^2$ ], [pixel]
$atd.$	a tak ďalej
$CV$	kvadratická hmotná nerovnomernosť [%] vonkajší variačný koeficient priemerných stupňov šedi medzi štvorcami
$CVB(A)$	plochy A v obrazu tkaniny
$CV_{ef}$	skutočná nameraná kvadratická nerovnomernosť [%]
$CV_f$	kvadratická výrobní nerovnomernosť [%]
$CV_i$	variačný koeficient stupňov šedi v i-tom štvorcovom poli s plochou A
$CV_{lm}$	kvadratická limitná hmotná nerovnomernosť [%]
$CV_m$	kvadratická strojová nerovnomernosť [%]
$CVV(A)$	priemerný variačný koeficient stupňov šedi vo vnútri štvorcového pola s plochou A
$DVK$	dĺžková variačná krivka
$e$	základ prirozených logaritmov ( $e=2,71828$ )
$GIMP$	Image Manipulation Program
$I$	index nerovnomernosti [-]
$IS$	interval spoľahlivosti
$L$	dĺžka úseku
$m(l)$	okamžitá hodnota hmotnosti dĺžkového úseku pradiarenského produktu
$N$	počet štvorcových plôch
$n'$	obecný počet vláken v priereze priadze
$P(n')$	pravdepodobnosť výskytu $n'$ vláken v priereze priadze
$s$	smerodajná odchýlka
$S$	smerodajná odchýlka priemerných stupňov šedi v štvorcoch s plochou A obsiahnutých v obrazu
$s^2$	rozptyl
$Sv_i$	smerodajná odchýlka stupňov šedi v i-tom štvorcovom poli
$U$	lineárna hmotná nerovnomernosť [%]
$U_{ef}$	skutočná nameraná lineárna nerovnomernosť [%]
$U_f$	lineárna výrobní nerovnomernosť [%]
$U_{lm}$	lineárna limitná hmotná nerovnomernosť [%]
$U_m$	lineárna strojová nerovnomernosť [%]
$v$	variačný koeficient [%]
$\lambda$	parameter Poissonovho rozdelenia
$\mu$	stredná hodnota
$\sigma^2(n')$	rozptyl počtu vláken
$\bar{m}$	stredná hodnota hmotnosti
$\bar{x}$	priemer
$\bar{\bar{X}}$	priemerná hodnota stredných stupňov šedi v štvorcoch s plochou A obsiahnutých v obrazu
$\bar{\bar{X}}_i$	priemerná hodnota stupňov šedi v i-tom štvorcovom poli
$\bar{x}(n')$	stredná hodnota počtu vláken
$\bar{\bar{x}}(n')$	stredná hodnota počtu vláken

# 1 Úvod

Hmotná nerovnomernosť je jednou z najdôležitejších vlastností charakterizujúcich kvalitu dĺžkovej textilie (priadzi, prameňov, niti atď.). Nerovnomernosť sa negatívne prejaví i na variabilite ďalších vlastností priadze ako zákrut, pevnosť, pretrhovosť pri dopriadaní, dĺžková hmotnosť.

Hmotná nerovnomernosť priadze sa prejavuje negatívne i v plošných textiliach (tkaninách a pleteninách), preto je potrebné vyrábať priadze s čo najmenšou nerovnomernosťou. Na plošnej textílii sa prejavuje ako pruhovitosť, mrakovitosť efekt „moiré“, kolisaním priedušnosti, zmenou hrúbky textilie atď. Tieto odchýlky od bezchybného vzhľadu tkaniny (pleteniny) spôsobuje aj samotný proces výroby tzn. tkanie (pletenie) ale i proces zušľachtovania. V súčasnosti sa nerovnomernosť plošných textilií hodnotí subjektívne alebo objektívne. Subjektívne hodnotenie je založené na pozorovaní textilie ľudským okom a na analytických schopnostiach ľudského mozgu. Nevýhodou je práve subjektivita hodnotiteľa. Objektívne metódy využívajú fyzikálne princípy, ktoré dokážu identifikovať nerovnomernosť plošných textilií. Patria medzi ne napríklad metódy optické, gravimetrické, kapacitné. V súčasnosti sa na hodnotenie nerovnomernosti často pracuje s počítačovou metódou analýzy obrazu. Pri nej sa hodnotí digitálny obraz (fotografia) plošnej textílie [1] [2] [3] [4].

Úlohou diplomovej práce je získanie a spracovanie obrazu tkaniny nasimulovaného prístrojom Uster-Tester 4 a obrazu reálnej tkaniny. Následné vyhodnotenie plošnej nerovnomernosti obrazu tkaniny v rôznych väzbách (plátnovej, keprovej, atlasovej). Vyhodnotenie nerovnomernosti sa prevádzza pomocou charakteristických funkcií nerovnomernosti v ploche a to: plošných variačných kriviek, semivariogramov a semivariogramov vplyv väzby. Porovnávajú sa dva spôsoby získania nasimulovaných obrazov tkaniny a to obraz získaný pomocou vytlačeného a následne naskenovaného obrazu tkaniny a obraz spracovaný grafickým programom GIMP 2. Pre oba spôsoby slúži ako podklad nasimulovaný obraz tkaniny z aparátury Uster-Tester 4.

## 2 Teoretická časť

### 2.1 Nerovnomernosť

Nerovnomernosť je percentuálne vyjadrenie kolísania náhodnej premennej veličiny. Toto kolísanie vyjadruje variačný koeficient v percentách. Kolísanie nameraných hodnôt okolo priemerných hodnôt v absolútnych jednotkách udáva smerodajná odchýlka. [2]

*Variační koeficient:*

$$\nu = \frac{s}{\bar{x}} * 10^2 [\%] \quad (1)$$

*Smerodajná odchýlka:*

$$s = \sqrt{s^2} \quad (2)$$

*Rozptyl:*

$$s^2 = \frac{1}{n-1} \sum_{i=1}^n (x_i - \bar{x})^2 \quad (3)$$

*Priemer:*

$$\bar{x} = \frac{1}{n} \sum_{i=1}^n x_i \quad (4)$$

*Interval spoľahlivosti:*

$$\begin{aligned} \mu &= \bar{x} \pm chyba \\ 95\%IS &= \bar{x} \pm t_{0,025}(n-1) \frac{s}{\sqrt{n}} \end{aligned} \quad (5)$$

Kde:  $\nu$  variačný koeficient

$s$  smerodajná odchýlka

$s^2$  rozptyl

$\bar{x}$  priemer

$IS$  interval spoľahlivosti

$n$  počet meraní

$\mu$  stredná hodnota

## 2.2 Nerovnomernosť priadze

Nerovnomernosť priadze je obvykle charakterizovaná ako hmotná nerovnomernosť. Hmotná nerovnomernosť je kolísanie hmoty vláken v priereze alebo v určitých dĺžkových úsekoch dĺžkového vláknového produktu. Nerovnomernosť spôsobujú tri základné faktory a to: nedokonalosti výroby, náhodný charakter vláken a náhodné rozloženie vláken v priereze dĺžkového vláknového útvaru.

Jedná sa o dôležitý parameter, ktorý charakterizuje kvalitu priadze a jej ďalšie spracovanie. Ovplyvňuje variabilitu vlastností priadze ako sú napr. pevnosť a zákrut. [1]

Hmotná nerovnomernosť je kontrolovaná a vyhodnocovaná už behom výroby priadze s cieľom vyrobiť priadzu s čo najnižšou hmotnou nerovnomernosťou.

Podľa teórie hmotnej nerovnomernosti je nerovnomernosť tvorená dvoma zložkami. Zložkou teoretickou (limitnou), ktorá vyplýva z použitých vláken, je neovplyvniteľná a zložkami výrobnou (spôsobuje proces výroby) [5].

### 2.2.1 Spôsoby stanovenia hmotnej nerovnomernosti priadze

Pre stanovenie hmotnej nerovnomernosti priadze bolo vyuvinuto niekoľko metód. Medzi dve základné metódy patrí diskrétna a kontinuálna.

**Diskrétna metóda:** je založená na rozdelení dĺžkovej textílie na  $p$  rovnako dlhých úsekov, ktoré sa zväzia a stanoví sa priemerná hodnota, rozptyl, smerodajná odchylka a variačný koeficient. Meranie sa prevádzza na krátkych alebo dlhých úsekoch. Možno ju nazývať metódou rezania a váženia.

**Kontinuálne metódy:** napr. optické, mechanické (ohmatávanie hrúbky nite), metódy využívajúce kapiláry atď. Pri optickej metóde prechádza dĺžková textília optickým snímačom, ktorý meria jej priemer. Najrozšírenejším a celosvetovo používaným spôsobom je metóda využívajúca zmeny kapacity kondenzátora. Princíp metódy je založený na nepriamom meraní hmotnosti dĺžkovej textílie, ktorá prechádza medzi doskami kondenzátora. Dĺžková textília nahradzuje v kondenzátore dielektrikum. Kolísaním hrúbky textílie pri jej konštantnom pohybe medzi doskami kondenzátoru kolíše i kapacita meracieho kondenzátora, ktorý je súčasťou oscilátoru. Zmena kapacity

sa rovná zmene frekvencie oscilátoru, ktorá je porovnávaná s frekvenciou porovnávacieho oscilátoru. Signály sú elektronicky spracované a výstupom sú parametri hmotné nerovnomernosti a charakteristické funkcie. V prípade, že je prístroj vybavený prídavnými optickými čidly výstupom sú i údaje o chlpatosti a priemere priadze. [2]

Hmotnú nerovnomernosť dĺžkového vláknového útvaru je možné popísat' parametrami a charakteristickými funkciami [1] [3].

#### Parametri:

- Lineárna hmotná nerovnomernosť  $U [\%]$
- Kvadratická hmotná nerovnomernosť  $CV [\%]$
- Limitná hmotná nerovnomernosť  $CV_{lim}, U_{lim} [\%]$
- Index nerovnomernosti  $I [-]$
- Výrobní nerovnomernosť  $CV_f, U_f [\%]$
- Strojová nerovnomernosť  $CV_m, U_m [\%]$

#### Charakteristické funkcie:

- Spektrogram
- Dĺžková variačná krivka [1]

#### Lineárna hmotná nerovnomernosť

Vyjadruje strednú lineárnu odchýlku od strednej hodnoty hmotnosti dĺžkového úseku vláknového útvaru.

$$U = \frac{100}{mL} \int_0^L |m(l) - \bar{m}| dl \quad (6)$$

Kde:  $U$  – lineárna hmotná nerovnomernosť [%]

- $m(l)$  – okamžitá hodnota hmotnosti dĺžkového úseku pradiarenského produktu
- $\bar{m}$  – stredná hodnota hmotnosti
- $L$  – dĺžka úseku

#### Kvadratická hmotná nerovnomernosť

Je variačný koeficient hmotnosti dĺžkových úsekov vláknového útvaru.

$$CV = \frac{100}{m} \sqrt{\frac{1}{L} \int_0^L (m(l) - \bar{m})^2 dl} \quad (7)$$

Kde:  $CV$  kvadratická hmotná nerovnomernosť [%]

$m(l)$  okamžitá hodnota hmotnosti dĺžkového úseku pradiarenského produktu

$\bar{m}$  stredná hodnota hmotnosti

$L$  dĺžka úseku

### Limitná hmotná nerovnomernosť

Je to minimálna možná nerovnomernosť a jej definícia vychádza z Poissonovho rozdelenia náhodnej veličiny, ktoré je vyjadrené:

$$P(n') = e^{-\lambda} \frac{\lambda^{n'}}{n'!} \quad (0 \leq n' < \infty) \quad (8)$$

Kde:  $P(n')$  pravdepodobnosť výskytu  $n'$  vláken v priereze priadze

$n'$  obecný počet vláken v priereze priadze

$\lambda$  parameter Poissonovho rozdelenia

$e$  základ prirodzených logaritmov ( $e=2,71828$ )

Parameter  $\lambda$  môže nadobúdať ľubovoľné kladné hodnoty a rovná sa strednej hodnote i rozptylu.

$$\lambda = \bar{x}(n') = \sigma^2(n') \quad (9)$$

Kde:  $\sigma^2(n')$  rozptyl počtu vláken

$\bar{x}(n')$  stredná hodnota počtu vláken

### Index nerovnomernosti

Je pomer medzi skutočne nameranou a ideálou (limitnou) nerovnomernosťou. Ukazuje nakoľko sa reálny produkt približuje ideálnemu.

$$I = \frac{CV_{ef}}{CV_{lim}} > 1$$

$$I = \frac{U_{ef}}{U_{lim}} > 1$$
(10)

Kde:  $I$  index nerovnomernosti

$CV_{ef}, U_{ef}$  skutočná nameraná kvadratická (lineárna) nerovnomernosť [%]

$CV_{lim}, U_{lim}$  limitná kvadratická (lineárna) nerovnomernosť [%]

### **Výrobná nerovnomernosť**

Spôsobuje ju výrobný proces.

$$CV_f = \sqrt{CV_{ef}^2 - CV_{lim}^2}$$

$$U_f = \sqrt{U_{ef}^2 - U_{lim}^2}$$
(11)

Kde:  $CV_f, U_f$  kvadratická (lineárna) výrobná nerovnomernosť [%]

$CV_{ef}, U_{ef}$  skutočná kvadratická (lineárna) nerovnomernosť [%]

$CV_{lim}, U_{lim}$  limitná kvadratická (lineárna) nerovnomernosť [%]

### **Strojová nerovnomernosť**

Je do produktu vložená jedným strojom

$$CV_m = \sqrt{CV_{fn}^2 - CV_{fn-1}^2}$$

$$U_m = \sqrt{U_{fn}^2 - U_{fn-1}^2}$$
(12)

Kde:  $CV_m, U_m$  strojová kvadratická (lineárna) nerovnomernosť [%]

$CV_{ef}, U_{ef}$  výrobná kvadratická (lineárna) nerovnomernosť produktu na výstupe zo stroja [%]

$CV_{lim}, U_{lim}$  výrobná kvadratická (lineárna) nerovnomernosť produktu na vstupe do stroja [%]

### **Spektrogram**

Je amplitúdový záznam jednotlivých harmonických zložiek kolísania hmoty pradiarenského produktu v závislosti na dekadickom logaritme vlnovej dĺžky periodickej nerovnomernosti [1]. Jeho analýzou je možné odhaliť periodickú nerovnomernosť dĺžkového vláknového produktu spôsobenú nesprávnou činnosťou rotujúcich orgánov pradiarenských strojov. Charakteristické spektrum (spektrum mechanických závad) súvisí pri výskute vyššej amplitúdy na krátkych vlnových dĺžkach s tzv., moire efektom a na dlhých vlnových dĺžkach s pruhovitosťou plošnej textílie. Kupovité spektrum (príčinou je špatná kontrola vlákien v prieťahvom ústroji) sa prejaví ako nekľudný vzhľad tzv. mrakovitosť [6].

### **Dĺžková variačná krvka DVK**

Znázorňuje závislosť vonkajšej hmotnej nerovnomernosti na dĺžke úseku vláknového produktu. Vonkajšia hmotná nerovnomernosť vyjadruje variabilitu hmotnosti medzi úsekmi dĺžky  $L$ . Zachytáva vplyv jednotlivých technologických stupňov na štruktúru hmotné nerovnomernosti priadze. Pomocou DVK je možné identifikovať neperiodickú nerovnomernosť. Jej vyhodnotenie sa zakladá na porovnaní s limitou DVK, určenou dĺžky úseku, na ktorom nerovnomernosť vznikla a následne identifikácií stroja vnášajúceho túto nerovnomernosť. Akákoľvek odchýlka reálnej DVK od limitnej krvky charakterizuje zmenu hmotné nerovnomernosti priadze. Odchýlenie smerom hore znamená zhoršenie, odchýlenie smerom dole zlepšenie hmotnej nerovnomernosti [1] [3].

### **Meranie nerovnomernosti priadzi**

Hmotnú nerovnomernosť dĺžkových textílií môžeme stanoviť niekoľkými metódami napr. metódami optickými alebo kapacitnými. Meranie nerovnomernosti sa prevádzka na prístrojoch napr. firmy Uster-Technologies, A.G., ktorá využíva kapacitný princíp na prístroji Uster Tester a firma Zweigle, ktoré využívajú optickú metódu na prístroji QQM 3. Na prístrojoch typu Uster-Tester sa štandardne prevádzka opakované meranie na rôznych úsekokach priadze. Výstupom z prístroja je tabuľka nameraných hodnôt so základným štatistickým spracovaním. Namerané hodnoty  $U$  a  $CV$  sú na dĺžkach úseku 0,01, 1, 3,05, 10, 50, 100 metrov. Na 1 km priadze sa udáva počet slabých a silných miest a počet nöpkov [3]. Novšie verzie prístrojov Uster Tester

prevádzajú automaticky vyhodnotenie dĺžkovej variačnej krivky z jedného merania na jednom premeranom dostatočne dlhom úseku priadze.

## 2.3 Tkanina

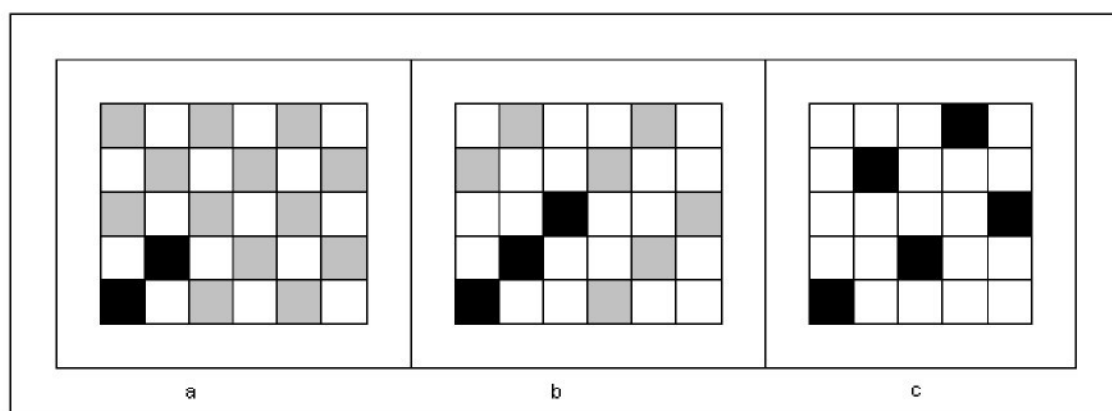
Tkanina je plošná textília vyrobená z dvoch vzájomne kolmých sústav nití, osnovy a útku, ktoré sú vzájomne previazané väzbou tkaniny. Väzby tkaniny je spôsob vzájomného prekríženia osnovných a útkových nití a znázorňuje sa do rastru. Medzi základné väzby tkaniny patria väzby: plátnová, atlasová a keprová.

### Charakteristika základných väzieb

**Plátnová väzba** je najjednoduchšia a najhustejsie previazaná väzba. Striedu väzby tvoria dve osnovné nite a dve útkové nite. Je to väzby obojstranná. Typické je pravidelné striedanie osnovných a útkových väzných bodov. Ide o najpevnejšiu a najtrvanlivejšiu väzbu.

**Atlasová väzba** je osnovná alebo útková, vyznačuje sa leskom, ktorý je spôsobený väzbou. Má výrazné šikmé riadkovanie. Väzbové body sú pravidelne rozsadené tak, aby sa vzájomne nedotýkali. Musí sa zostaviť podľa postupného čísla, ktoré určuje na koľkej osnovnej niti je v nasledujúcom riadku ďalší väzny bod.

**Keprová väzba** je osnovná alebo útková. Je charakteristická šikmým uhlopriečnym riadkovaním ľavého alebo pravého smeru. Smer riadkovania sa označuje písmenom alebo šípkou [7].



Obrázok 1: a) Obecný zápis plátnovej väzby, strieda 2x2, b) trojväzny keper pravého smer K 1/2 Z, c) peťväzny útkový atlas s postupným číslom 2

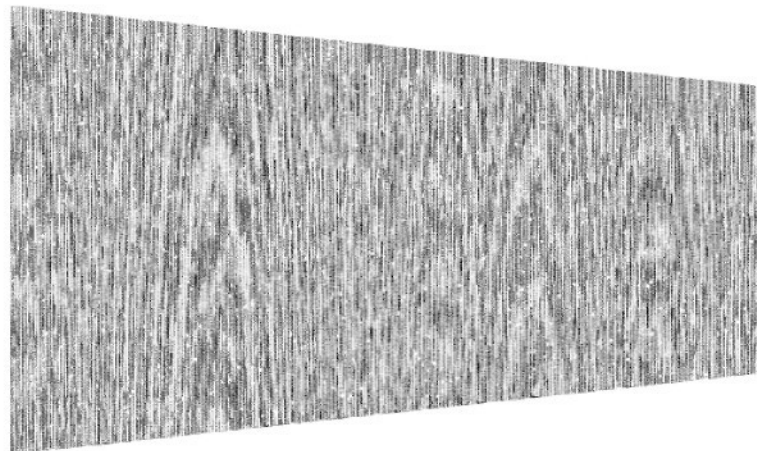
## 2.4 Nerovnomernosť plošných textílii

Pri prvom kontakte spotrebiteľa s plošnou textíliou vo väčšine prípadov je hodnotený jej vzhľad a ďalej nasleduje cena, kvalita a ostatné vlastnosti podľa účelu použitia. Akákoľvek vzhľadová chyba je braná negatívne a znižuje tým kvalitu a cenu výrobku. Za nerovnomernosť je považovaná nerovnomernosť hmotná (resp. štruktúrna) a tiež nerovnomernosť vyfarbenia. Spotrebiteľ vníma nerovnomernosť ako zmenu, ktorá vadí pri používaní, alebo je ním nejakovo vnímaná. Jeho hodnotenie je teda subjektívne.

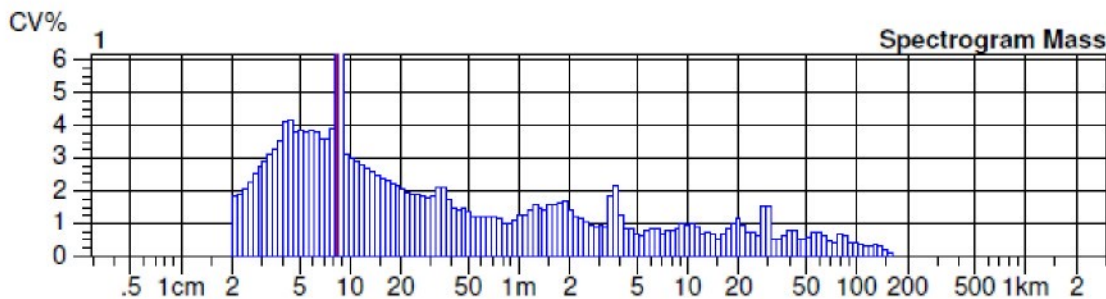
V plošnej textílii sa prejavuje zmenou hrúbky textílie, zmenou priedušnosti a zmenou vzhľadu. Nerovnomernosť priadze, ale i proces výroby textílie ovplyvňuje nie len vzhľad plošné textílie, ale i celú radu geometrických vlastností ako sú napr. plošná hustota, porozita, kolísanie hrúbky, tepelné vodivosť a vzhľad [1] [3] [4] [6].

V plošných textiliach (tkanine i pletenine) sa nerovnomernosť priadze prejavuje troma základným formami a to ako pruhovitosť, efekt moaré a mrakovitosť.

**Moiré efekt** na tkanine vytvára obraz štruktúry dreva a je možné rozpoznať ho voľným okom. Je spôsobený častou periodickou nerovnomernosťou priadze s relatívne krátkou vlnovou dĺžkou ( $\lambda = 1-50$  cm). Je často zapríčinený napríklad nečistotou v rotore spriadiacej jednotky [3].

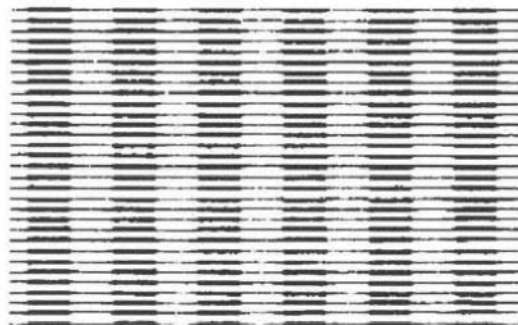


Obrázok 2: Moiré efekt nasimulovaný vzhľad návinu priadze na doske prístrojom Uster Tester protokol 4192 príloha DP na CD.



Obrázok 3: Spektrogram priadze s periodickou nerovnomernosťou s vlnovou dĺžkou 8cm. Na tkanine sa prejavuje moire efektom znázorneným na obrázku 2 UT protokol 4192 príloha DP na CD.

**Pruhovitosť** sa na plošnej textílii prejavuje zreteľnými pruhmi. Je spôsobená periodickou nerovnomernosťou priadze s dlhou vlnovou dĺžkou ( $\lambda > 5\text{m}$ ). pruhy vznikajú, pretože vlnová dĺžka periodickej chyby je väčšia ako tkacia šírka alebo obvod pleteniny. Pruhovitosť tkanín a pletenín môže byť priečna alebo pozdĺžna. Priečna pruhovitosť v tkanine sa vzťahuje k jednotlivým útkom. Môže ísť o zmenu materiálu alebo parametrov štruktúry. Pozdĺžna pruhovitosť tkaniny súvisí s osnovou. Môže sa jednať o zmenu materiálu alebo polohu nití. Diagonálna pruhovitosť je málo pravdepodobná, ale môže vzniknúť ako dôsledok periodických chyb textilného materiálu pri dané dĺžke nite v plošnej textílii [3]



Obrázok 4: Náčrt pruhovosti [3]

**Mrakovitosť** sa prejavuje ako „nekľudný“ vzhľad tkaniny. Je spôsobený vplyvom takmer periodických chyb v priadzi [3].

Na zmene nerovnomernosti plošnej textílie sa podieľa kombinácia dvoch druhov variability:

- Náhodná: spôsobuje ju nerovnomernosť priadze, výroba

- Periodická: spôsobuje ju výroba (napr. pruhovitosť) alebo väzba tkaniny tzn. plátnová, keprová, atlasová atď.

#### **2.4.1.1 Príčiny nerovnomernosti plošných textílií**

Nerovnomernosť plošných textílií spôsobuje celá rada príčin a ich kombinácie. Môžu pôsobiť priamo ale aj prostredníctvom okolitého prostredia.

#### **Faktory spôsobujúce nerovnomernosť**

1. Použitý materiál je nerovnomerný a to napr. má nerovnomernú štruktúru (jemnosť, zákrut, dĺžka vláken atď.) a nerovnomerné farby a podobné vlastnosti (lesk, afinita).
2. Proces tkani a pletení . nerovnomernosť môže byť spôsobená geometriou stroja (prošlup, paprsek atď.) alebo silovým pôsobením (napr. odťahové sily) alebo zmenou parametrov prostredia (napr. teploty, vlhkosti a iných možných vplyvov)
3. Proces zušľachťovania a relaxácie textilie môže spôsobiť nerovnomernosť mechanickým alebo chemickým pôsobením [4]

#### **2.4.1.2 Spôsoby vyhodnocovania nerovnomernosti plošných textílií**

Zatiaľ neexistuje spoľahlivá metóda zistovania nerovnomernosti. Dosiaľ užívané metódy sú subjektívne a objektívne.

##### **2.4.1.2.1 Subjektívna metóda**

Je založená na pozorovaní plošných textílií hodnotiteľom pri kvalitnom osvetlení. (Farebné chyby sú výraznejšie pri vrchnom osvetlení a štruktúrne sa pozorujú lepšie pri proti svetle). Nevýhodou je subjektívnosť vnímania ľudského oka. Niekoľko vníma citlivejšie, preto to čo je jedným považované za textíliu bez chyby iný môže vnímať ako chybný výrobok [4]

##### **2.4.1.2.2 Objektívna metóda**

**Gravimetrická metóda** je založená na vážení vzoriek približne rovnakej plochy. Ide o metódu deštrukčnú, ktorá zachytí len veľkoplošnú nerovnomernosť. Chyby pri príprave vzoriek môžu zatieniť vlastnú nerovnomernosť.

**Pneumatická metóda** je snímaný tlak vzduchu pred tryskou nasmerovanou k plošnej textílii.

**Kapacitná metóda** je vhodnejšia pre hodnotenie nerovnomernosti dĺžkových textílii. Princíp je založený na prechode textílie medzi doskami kondenzátora. Zo zmenou hrúbky materiálu sa mení kapacita kondenzátora, ktorá je prevedená na zmenu prúdu.

**Optické metódy** sú schopné najlepšie simulaovať vnem oka, preto sa najviac hodia na vizuálne hodnotenie nerovnomernosti. Fotoelektricky je možno snímať množstvo svetla, ktoré prechádza textíliou alebo je od nej odrazené a tým určiť niektoré chyby. V súčasnosti je využívaná metóda zobrazovacia, ktorá vyhodnocuje napr. fotografie textílii alebo ich nasimulovaný obraz. Pracuje sa tu s počítačovou analýzou a spracovaním obrazu. Analyzované data sú získané snímaním digitálnych obrazov textílie. Skúmaný obraz je rozdelený do siete buniek (pixlov), pričom každá bunka vykazuje určitú úroveň šedé škály [4]

V článku [18] sa Ursíny a Jirášková zaoberajú rešerši postupov a parametrov súvisiacich s hmotnou nerovnomernosťou plošných textílii. A v príspevku [6] [17] je popísaná jedna z možných metód hodnotenia nerovnomernosti plošných textílii na základe výsledkov merania priadze s využitím súčasnej dostupnej techniky. Nasimulovaný obraz tu bol hodnotený v obrazovej analýze LUCIA. Nasnímaná plocha obrazu sa rozdelila na rôzne veľké štvorce. V každom štvorci bola nameraná stredná hodnota šedi a určená smerodajná odchýlka. Z nameraných hodnôt boli vypočítané priemerná hodnota šedi, priemerná smerodajná odchýlka a variačný koeficient. Z nameraných hodnôt boli vynesené grafické závislosti variačných koeficientov na veľkosť meraného štvorca, tým sa získali plošné variačné krivky [6] [17].

Niekol'ko metód štatistických analýz nerovnomernosti materiálu popisuje vo svojej práci LINKA a VOLF [8] [9]. Predpokladom je, že data boli získané snímaním digitálneho obrazu textílie, a že skúmaná vzorka materiálu je rozdelená do obdĺžnikovej siete buniek (pixlov), pričom každá bunka vykazuje konštantnú farbu. Práca poskytuje stručný prehľad vybraných štatistických metód, ktoré pripadajú v úvahu pri riešení úlohy a zameriava sa na využitie modelu náhodných polí, špeciálne Isingovho modelu [8].

V príspevku Militký [20] [14] uvádza jednoduchý pravdepodobnostný model pre určenie počtu prekrývajúcich sa vlákien v netkanej textílii. Pre vyjadrenie priestorového usporiadania vlákien je použito modelu popisujúceho „náhodné konfigurácie“. Z tohto modelu je vypočítaná ideálna náhodná nerovnomernosť, ktorá je použitá pre vyjadrenie „indexu plošné nerovnomernosti“. V článku [19] je uvedený spôsob popisu nerovnomernosti netkaných textílii vychádzajúcich z náhodných polí. Na vyjadrenie základných charakteristík týchto polí je využito stanovenie druhých momentov.

Suh [16] v práci konštruuje plošné variačné krivky ako kvantitatívne hodnotenie kvality predikovaného obrazu plošnej textílie. Obraz je vygenerovaný použitím virtuálneho signálu vytvoreného kombináciou signálu získaného z optického merania priemeru priadze CCD kamerou a klasického merania nerovnomernosti priadze kapacitným čidlom.

## 2.5 Charakteristické funkcie nerovnomernosti

### 2.5.1 Vonkajšia plošná variačná krvka

Krivka, ktorá vyjadruje závislosť variačných koeficientov stupňov šedi medzi štvorcami v obraze tkaniny na veľkosti plochy štvorca. Je definovaná vzťahom [10], [11]:

$$CVB(A) = \frac{\sqrt{S^2}}{\bar{X}} \quad (13)$$

Kde:	$CVB(A)$	vonkajší variačný koeficient priemerných stupňov šedi medzi štvorcami plochy A v obraze tkaniny
$S$		smerodajná odchýlka priemerných stupňov šedi v štvorcoch s plochou A obsiahnutých v obraze
$\bar{X}$		priemerná hodnota stredných stupňov šedi v štvorcoch s plochou A obsiahnutých v obraze
$A$		plocha štvorca [6], [7]

Variačný koeficient stupňov šedi vyjadruje nerovnomernosť úrovne šedi, podobne ako nameraná hodnota  $CV$  dĺžkových textílii, ktorá je variačným koeficientom hmoty priadze medzi úsekmi priadze.

### 2.5.2 Vnútorná plošná variačná krivka

Krivka, ktorá vyjadruje závislosť priemerného variačného koeficientu stupňov šedi vo vnútri štvorcových plôch obrazu tkaniny na veľkosťi sledované plochy štvorca. Je definovaná vzťahom [10], [11]:

$$CVV(A) = \frac{\sum_{i=1}^N CV_i}{N}, \quad (14)$$

$$CV_i = \frac{\sqrt{Sv_i^2}}{\bar{X}_i} * 100 \quad (15)$$

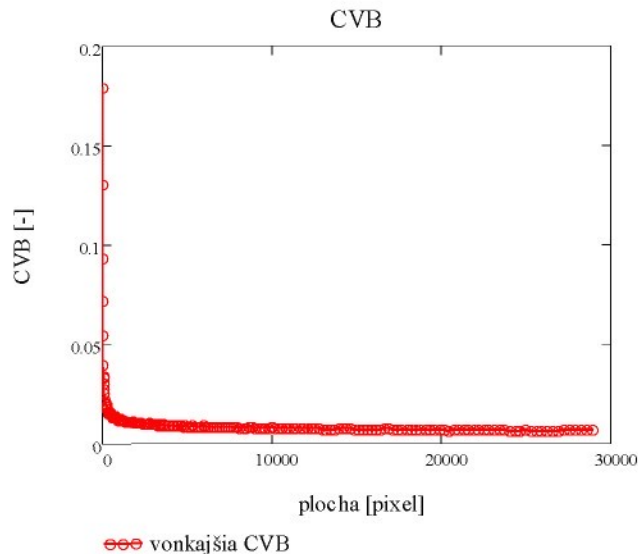
Kde:  $CVV(A)$  priemerný variačný koeficient stupňov šedi vo vnútri štvorcového poľa s plochou A

$CV_i$  variačný koeficient stupňov šedi v i-tom štvorcovom poli s plochou A

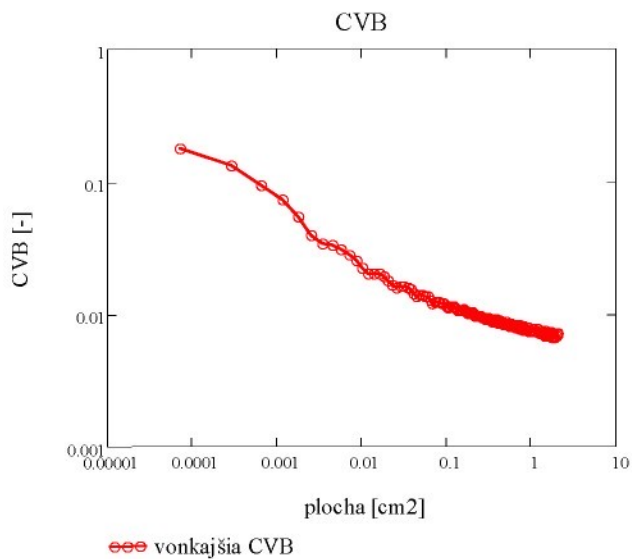
$N$  počet štvorcových plôch

$Sv_i$  smerodajná odchýlka stupňov šedi v i-tom štvorcovom poli

$\bar{X}_i$  priemerná hodnota stupňov šedi v i-tom štvorcovom poli [10], [11]



*Obrázok 5: Vonkajšia plošná variačná krivka stupňov šedi obrazu reálnej tkaniny*



*Obrázok 6: Vonkajšia plošná variačná krivka stupňov šedi obrazu tkaniny v logaritmickom meradle (priadza 3396\_skener plátnová väzba).*

### Prepočítavací koeficient

Aby súradnice x vonkajších plošných variačných kriviek odpovedali skutočnej veľkosti sledovaného štvorca v  $\text{cm}^2$ , bol použitý prepočet z pixlov na  $\text{cm}^2$  podľa vzťahu

$$K = \frac{A_{\max}}{B_{\max}} \quad (16)$$

$$X_{S_i} = \frac{A_i}{K} \quad (17)$$

Kde:	$A_{\max}$	plocha najväčšieho sledovaného štvorca [pixel] (170x170=28 900 pixlov)
	$B_{\max}$	plocha najväčšieho sledovaného štvorca [ $\text{cm}^2$ ] (1,439x1,439=2,0707 $\text{cm}^2$ )
	$K$	prepočítavací koeficient (13956,63 [-])
	$X_{S_i}$	skutočná plocha jednotlivých štvorcov [ $\text{cm}^2$ ]
	$A_i$	jednotlivé plochy štvorcov, v ktorých je počítaný variačný koeficient stupňov šedi [pixel]

### 2.5.3 Semivariogram (variogram)

Semivariancia je miera stupňa priestorovej závislosti medzi vzorkami. Hodnota semivariancie je závislá na vzdialenosť medzi bodmi. Graf semivariancií vyjadrených ako funkcie vzdialenosť z bodu je označovaný ako semivariogram. Väčšia vzdialenosť znamená väčšiu semivarianciu a menšia vzdialenosť menšiu semivarianciu. Semivariancia sa zo zvyšujúcou vzdialenosťou zvyšuje do určitej vzdialenosťi od bodu, od ktorej sa potom hodnota variancie pohybuje okolo priemernej hodnoty a už sa viac nezvyšuje. V semivariograme sa to prejavuje ako jeho konštantná časť. [12], [13]

Zjednodušene je možné popísať chovanie teoretického semivariogramu takto:

- Veľmi blízke data majú malú odchýlku
- Data vo väčších vzdialostiach majú väčšie odchýlky, ale veľmi vzdialé data sa už tak veľmi nelisia
- Od určitej vzdialenosťi už vzájomné odchýlky nerastú

### Semivariogram obrazu tkaniny

Semivariogram obrazu tkaniny vyjadruje priestorovú rozdielnosť medzi hodnotami priemerných stupňov šedi v miestach  $x_i$  a  $x_j$ . obraz je rozdelený na siet štvorcových polí. Stredmi poľa sú miesta  $x$ , ktorým je priradená priemerná hodnota

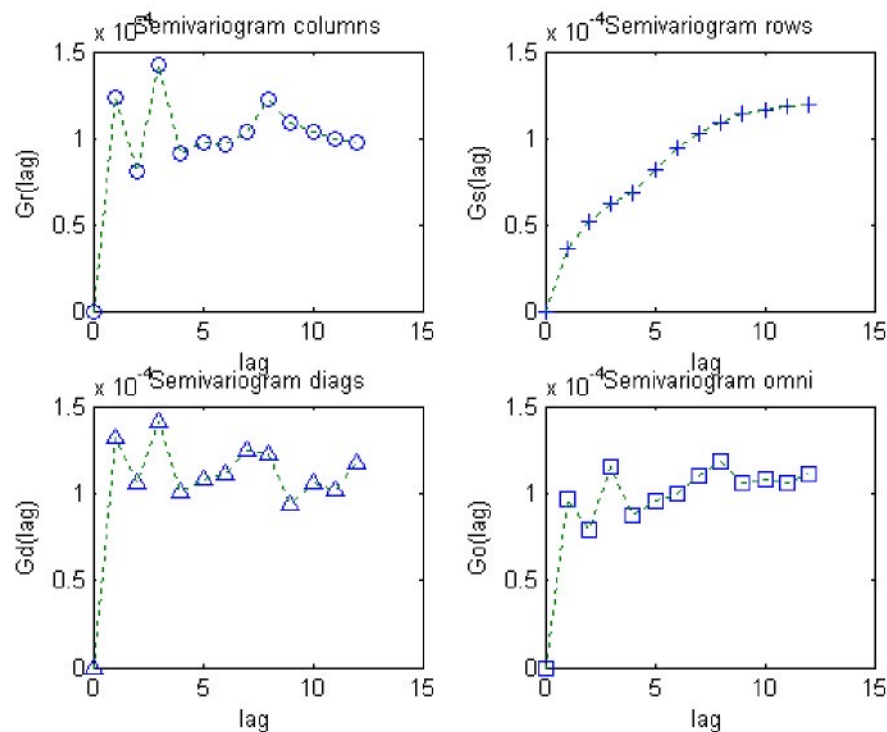
stupňa šedi v danom štvorci  $z(x_i)$ . Semivariogram je definovaný ako polovica rozptylu rozdielu ( $z(x_i) - z(x_i + lag)$ ).

$$\Gamma(lag) = 0,5 * D[z(x_i) - z(x_i + lag)] \quad (18)$$

Veličina  $lag$  vyjadruje smerový vektor ( $0^0, 90^0, 45^0$ ). Pre rovnomerne rozmiestnené body  $x$  vyjadrujú hodnoty vektoru  $lag$  násobky vzdialenosť medzi štvorcami v smere stĺpcov ( $0^0$ ), riadkov ( $90^0$ ), diagonálne ( $45^0$ ). Týmto spôsobom sa získajú tri typy semivariogramov. Vše smerový (omni) semivariogram sa získa spriemerovaním všetkých troch semivariogramov (v smere riadkov, stĺpcov a diagonál). Pre stacionárne náhodné pole je stredná hodnota v jednotlivých bodech konštantná, potom platí :

$$\Gamma(lag) = 0,5 * E[z(x_i) - z(x_i + lag)]^2 \quad (19)$$

Pokiaľ je  $\Gamma(lag)$  konštantné je veličina  $z(.)$  nekorelovaná v danom smere.



Obrázok 7: Semivariogram nasimulovaného obrazu tkaniny 3396 väzby atlasovej.

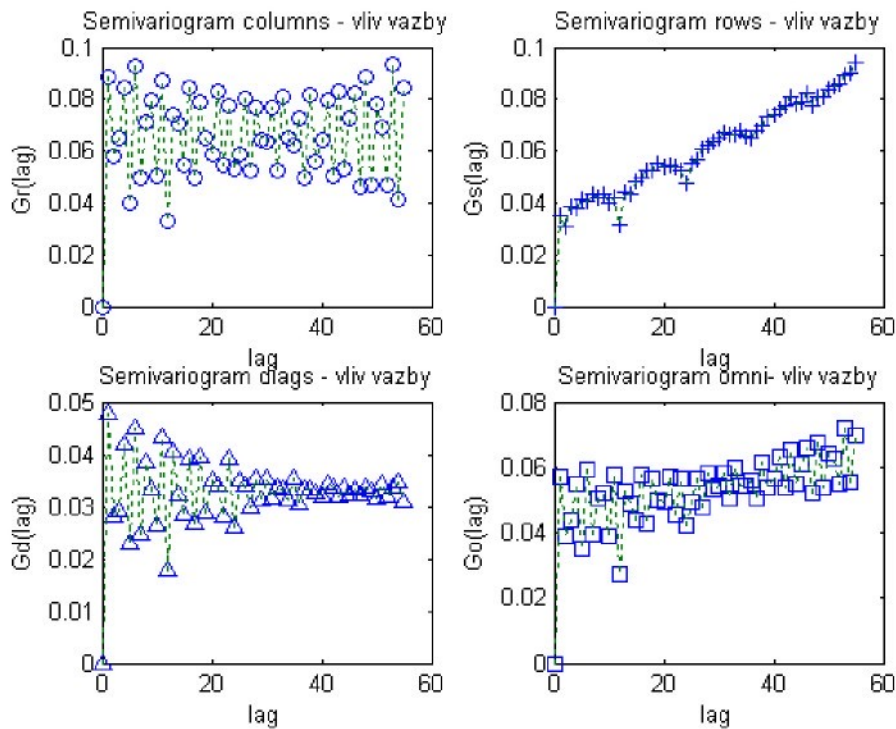
V prípade, že je, náhodné pole nestacionárne používa sa takzvaný centrovany semivariogram. Na odhad „centrovaneho“ semivariogramu sa v práci používa vzťah [14]:

$$G(lag) = \frac{1}{2N(lag)} \sum_{i=1}^{N(lag)} (z_c(x_i) - z_c(x_i + lag))^2 \quad (20)$$

$N(lag)$  je počet dvojíc bodov oddelených o vzdialenosť  $lag$  a orientovaných podľa vektoru  $lag$ ,

$z_c(x_i)$  je „centrovany“, stupeň šedi v mieste  $x_i$

$$z_c(x_i) = \frac{\sum_{i=1}^{n(x_i)} z(x_i)}{n(x_i)} \quad (21)$$



Obrázok 8: Semivariogram vplyv väzby nasimulovaného obrazu tkaniny 3396 väzby atlasovej.

Priebeh semivariogramov závisí na veľkosti sledovaného výrezu obrazu a zvolenom parametre „*krok*“, ktorý udáva veľkosť strany štvorca v pixloch, na ktorý bude obraz pred výpočtom rozdelený. Pokiaľ je sledovaný obraz pri nastavenej malej

hodnote parametru „*krok*“, je možné sledovať tzv. vplyv väzby na priebeh semivariogramov [10], [11].

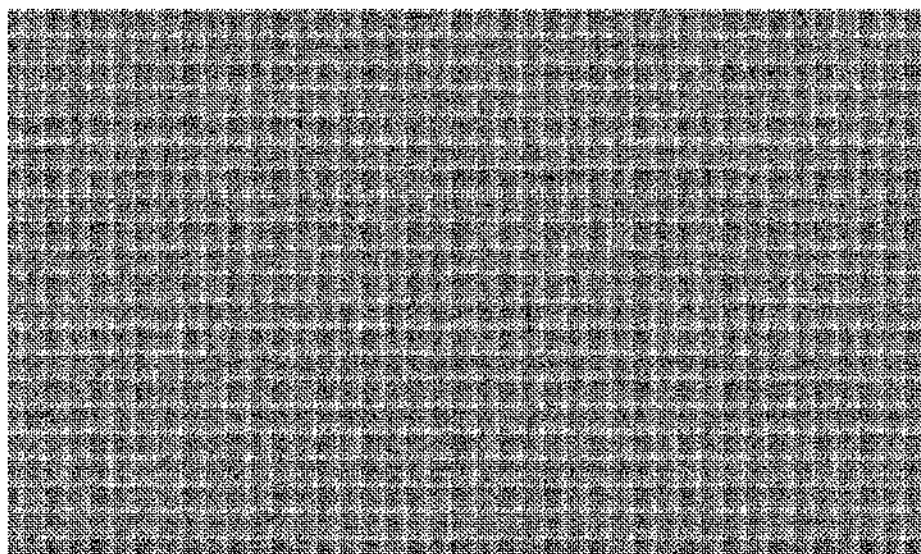
## 2.6 Obraz plošné textílie – tkaniny

Existujú dva spôsoby získavania obrazu plošné textílie a to:

1. Simuláciou prístroja Uster-Tester
2. Nasnímaním reálnej tkaniny

### 2.6.1 Nasimulovaný obraz Uster-Tester

Obraz je vytvorený z výsledkov merania hmotné nerovnomernosti priadze (*CV*, spektrogram, slabé a silné miesta, nopky), na aparátu Uster-Tester. Predpokladá sa tu, že priadza použitá v osnove a útku vykazuje rovnakú hmotnú nerovnomernosť ako meraný úsek priadze. Nepočítá sa v ňom s vplyvom technológie výroby plošnej textílie. Obraz vykazuje rôznu úroveň šedej škály v závislosti na štruktúre nerovnomernosti priadze, z ktorej je konštruovaný. Nerovnomernosť tkaniny je zobrazená ako nerovnomernosť vyfarbenia.



Obrázok 9: Obraz tkaniny nasimulovaný prístrojom Uster-Tester 4-SX, 100% bavlnená priadza, väzba plátnová, priadza nemá žiadnu chybu. Veľkosť obrazu 1820x1080 pixlov (15,4x9,3 cm)

## 2.6.2 Reálny obraz tkaniny

Obraz je vytvorený naskenovaním reálne tkaniny. Vzorky na sucho vyžehlenej tkaniny sú vystrihnuté na vopred definovaný rozmer. Na dosku skeneru sa položí šablóna veľkosti 15 x 21 cm. Na ňu sa umiestni vzorka tkaniny tak, aby osnovné a útkové nite boli rovnobežné s hranou šablóny a skeneru. Skenuje sa pri rozlíšení 300dpi.



Obrázok 10: Obraz reálnej bavlnenej tkaniny, , väzba plátnová. Veľkosť obrazu 2450x1760 pixlov (20,8x14,9 cm)

## Nerovnomernosť obrazu tkaniny

Nerovnomernosť tkaniny možno chápať ako variabilitu jej vzhľadu. Variabilita vzhľadu tkaniny je vyjadrená kolísaním stupňov šedi obrazu tkaniny, vyjadreným pomocou štatistických funkcií: vonkajšie a vnútorné plošné variačné krivky a semivariogramu. Obraz tkaniny v stupňoch šedi je rozdelený na štvorcovú sieť. V každom štvorci je zisťovaný priemerný stupeň šedi a nasledovne je obraz hodnotený na základe priebehu kriviek. Veľkosť sledovaných štvorcov sa postupne mení.

### **3      Experimentálna časť**

Ako už bolo vyššie popísané nerovnomernosť plošných textílii sa prejavuje na vzhľade textilie a pomocou neho sa aj hodnotí. Obraz tkaniny je možné získať nasnímaním reálnej tkaniny alebo z aparátury Uster Tester. Obrazy tkaniny boli prevedené do šedej škály a následne boli sledované stupne šedi jednotlivých obrazových bodov. Podľa kolísanie stupňov šedi boli konštruované vonkajšie plošné variačné krivky a semivariogrami pre jednotlivé obrazy tkanín. Boli prevádzané dva experimenty nasimulovaného a reálneho obrazu tkaniny. U nasimulovaného obrazu tkaniny boli porovnávané dve metódy získavania obrazu. Cieľom bolo sledovať priebeh plošných vonkajších variačných kriviek stupňov šedi rôznych tkanín (tkanín, ktorých vzhľad sa javí ako bezchybný a tkanín s chybou). A ďalej tiež overiť vhodnosť použitia vonkajších plošných variačných krivie na hodnotenie plošnej nerovnomernosti tkanín. Sledovaný bol aj priebeh semivariogramov a ich vhodnosť na hodnotenie plošnej nerovnomernosti.

#### **Skúšobné zariadenie potrebné na experiment**

- Prístroj Uster-Tester IV-SX , pre simuláciu obrazu tkaniny
- Tlačiareň pre tlač nasimulovaných obrazov tkaniny
- Skener
- Počítačový program GIMP
- Osobný počítač, software Matlab, script Norma nerovnomernosti tkaniny.m
- Interná norma IS 23 111-01/01: Metodika zisťovania nerovnomernosti obrazov tkaniny. TU Liberec, Fakulta textilná.
- Manuál k programu: Norma nerovnomernosti tkaniny

#### **3.1      Experiment nasimulovaná tkanina**

Podstatou experimentu je získanie nasimulovaného obrazu plošnej textílie prístrojom Uster-Tester IV-SX. Upravení získaného obrazu do vhodného formátu – *tiff*, a následné spracovanie v programe Matlab scriptom „Norma nerovnomernosti tkaniny.m“ profesora Militkého [11] a internej normy Fakulty textilnej TU v Liberci.“Metodika zjišťování nestejnoměrnosti obrazů tkanin“ IS 23 111 -01/01 [10]. Výstupom

z programu sú plošné variačné krivky (vnútorné a vonkajšie) a semivariogram stupňov šedi obrazu tkaniny ako prostriedkov vyjadrujúcich vzhľadovú nerovnomernosť tkanín.

### 3.1.1 Priadze použité v experimente

K experimentu boli použité štyri bavlnené priadze s rôznymi chybami, aby bolo možné sledovať vplyv nerovnomernosti priadze na celkový vzhľad tkaniny.

Priadza 3396	Č. merania na UT	Rýchlosť merania [ $\text{m} \cdot \text{min}^{-1}$ ]			Doba merania [min]	
	3396	400			1	
Priadza 3398	Surovina	Technológia			Jemnosť [tex]	Zákrut $Z[\text{m}^{-1}]$
	100% bavlna	Rotorová (bez chyby)			45	700
	U [%]	CV <sub>m</sub> [%]	Slabé miesta -50% [ $\text{km}^{-1}$ ]	Silné miesta +50% [ $\text{km}^{-1}$ ]	Nopky+200% [ $\text{km}^{-1}$ ]	Nopky+280% [ $\text{km}^{-1}$ ]
	10,86	13,71	2,5	57,5	145	42
Priadza 4188	Č. merania na UT	Rýchlosť merania [ $\text{m} \cdot \text{min}^{-1}$ ]			Doba merania [min]	
	3398	400			1	
Priadza 4188	Surovina	Technológia			Jemnosť [tex]	Zákrut $Z[\text{m}^{-1}]$
	100% bavlna	Rotorová (chyba v pramene)			45	700
	U [%]	CV <sub>m</sub> [%]	Slabé miesta -50% [ $\text{km}^{-1}$ ]	Silné miesta +50% [ $\text{km}^{-1}$ ]	Nopky+200% [ $\text{km}^{-1}$ ]	Nopky+280% [ $\text{km}^{-1}$ ]
	11,13	14,17	2,5	77,5	180	57,5
Priadza 4192	Č. merania na UT	Rýchlosť merania [ $\text{m} \cdot \text{min}^{-1}$ ]			Doba merania [min]	
	4188	400			1	
Priadza 4192	Surovina	Technológia			Jemnosť [tex]	Zákrut $Z[\text{m}^{-1}]$
	100% bavlna	Prstencová (chyba na remienku)			50	700
	U [%]	CV <sub>m</sub> [%]	Slabé miesta -50% [ $\text{km}^{-1}$ ]	Silné miesta +50% [ $\text{km}^{-1}$ ]	Nopky +200% [ $\text{km}^{-1}$ ]	Nopky+280% [ $\text{km}^{-1}$ ]
	7,75	9,78	0	5	0	0
Priadza 4192	Č. merania na UT	Rýchlosť merania [ $\text{m} \cdot \text{min}^{-1}$ ]			Doba merania [min]	
	4192	400			1	
Priadza 4192	Surovina	Technológia			Jemnosť [tex]	Zákrut $Z[\text{m}^{-1}]$
	100% bavlna	Rotorová (nečistoty v rotore)			55	700
	U [%]	CV <sub>m</sub> [%]	Slabé miesta -50% [ $\text{km}^{-1}$ ]	Silné miesta +50% [ $\text{km}^{-1}$ ]	Nopky +200% [ $\text{km}^{-1}$ ]	Nopky+280% [ $\text{km}^{-1}$ ]
	25,3	38,02	2373	6368	6210	5738

Tabuľka 1: Popis priadzí použitých v experimente a namerané hodnoty hmotné nerovnomernosti a chýb priadze prístrojom Uster-Tester IV – SX.

Data v tabuľke 1 sú získané z protokolov z aparátu Uster Tester, ktoré sú súčasťou prílohy diplomovej práce na CD. Typ priadze (rotorová, prstencová) nemá vplyv na nasimulovaný vzhľad plošnej textilie. Tvrdenie, že nasimulovaný obraz 4192 vykazuje výrazný moire efekt je na základe vyhodnotenie spektrogramu 4192 (*obr.3*), ktorý poukazuje na chybu nečistoty v rotore a tiež vizuálneho posúdenie nasimulovaného návinu na doske *obr.2*.

### 3.1.2 Spracovanie nasimulovaného obrazu tkaniny

Nasimulovaný obraz tkaniny je vždy v troch základných väzbách : plátno, keper a atlas pre každú priadzu. Nasimulovaný obraz tkaniny je spracovávaný dvoma spôsobmi.

#### Spôsoby spracovania nasimulovaného obrazu

1. Vytlačením a naskenovaním obrazu
2. Kopírováním obrazu (bez tlače a skenovania)

##### 3.1.2.1 Prvý spôsob: Vytlačený a naskenovaný obraz tkaniny

- Vytlačenie nasimulovaného obrazu tkaniny v najvyššej kvalite tlače.
- Obraz naskenovať na vyčistenej doske skeneru pri nastavení rozlíšenia 300dpi, milióny farieb. Všetky obrázky skenovať na jednom skeneri.
- Uloženie obrazu vo formáte tiff nekomprimovaný, rozlíšenie 300dpi
- Orezanie obrazu tkaniny vo vhodnom grafickom programe a zaznamenanie rozmerov obrazu v cm a pixloch.

Všetky súbory, obrázky, grafy vytvorené za pomocí metódy skenovania nasimulovaného obrazu tkaniny sa označujú číslom použitéj priadze a koncovkou *\_sken*. Ďalej bude vyššie popísaná metóda nazývaná *metóda sken*.

##### 3.1.2.2 Druhý spôsob: Kopírovanie obrazu

- Súbor otvoriť v programe GIMP 2. Súborom je protokol z Uster-Tester, ktorý je vo formáte pdf.
- Vybrať požadovaný obrázok, nastaviť rozlíšení 300 dpi a importovať

- Uložiť ako názov súboru, zvoliť typ súboru tiff, kompresia nič a uložiť
- Orezat' obraz tkaniny vo vhodnom grafickom programe a zaznamenanie rozmerov obrazu v cm a pixloch.

Všetky súbory, obrázky, grafy vytvorené pomocou metódy kopírovania a spracovania v programe GIMP 2 sa označujú číslom použitej priadze a koncovkou *\_gimp*. Vyššie popísaná metóda ďalej uvádzaná už len ako *metóda gimp*.

**GIMP** alebo inak GNU Image Manipulation Program (program na úpravu grafiky) je slobodná multiplatformová aplikácia na úpravu a vytváranie rastrovej grafiky. GIMP je dostupný zdarma vrátane zdrojových kódov pod licenciou GPL. Je možné používať i iné grafické programy napr. Photoshop . GIMP2 bol zvolený kvôli jeho dostupnosti.

Nasnímané obrazy nasimulovaných tkanín sa nachádzajú na CD prílohe diplomovej práce.

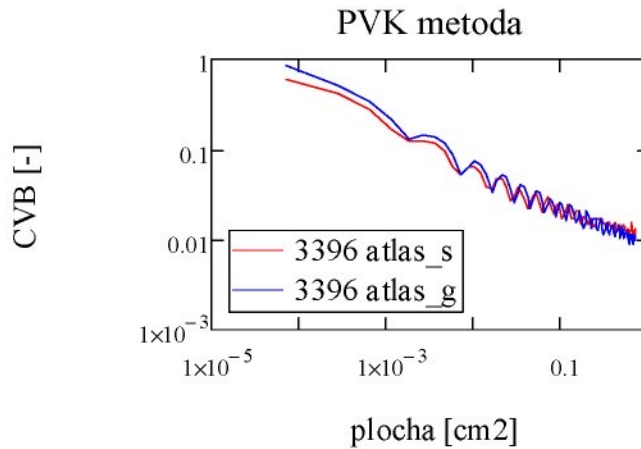
### 3.1.3 Vyhodnotenie vonkajších plošných variačných kriviek

Sledovaná plocha orezaného nasimulovaného obrazu tkaniny musí byť štvorcová tzn. 1000x1000 pixlov. Riadky a stĺpce sú rozdelené na 10 dĺžkových úsekov. Rozmery štvorca sú prispôsobené veľkosti nasimulovaného obrazu tkaniny z prístroja Uster Tester. V grafoch je plocha pixlov prepočítaná na plochu v  $\text{cm}^2$  podľa vzťahu (16) (17).

#### 3.1.3.1 Vonkajšie plošné variačné krivky porovnanie metód sken a gimp

Cieľom experimentu je porovnanie vonkajších plošných variačných kriviek stupňov šedi zostrojených z obrazov získaných metódou sken a gimp. Na *obr.11* je znázornení priebeh plošných variačných kriviek pri použití metódy sken a gimp. Z obrázkov vyplýva, že priebeh plošných variačných kriviek metódy sken a gimp je takmer totožný s malými rozdielmi na počiatku a na konci. Polohy kriviek sú rozdielne. Krivka gimp (modrá) začína o niečo vyššie a na konci má rýchlejší pokles, ktorý začína v okolí hodnoty približne  $1\text{cm}^2$ . Väčšie kolísanie stupňov šedi u metódy gimp je pravdepodobne spôsobené vyšším počtom tmavých bodov v obraze. Grafy všetkých priadzi a väzby je možné vidieť v prílohe *obr.41*. Z grafov vyplýva, že vonkajšie plošné variačné krivky (ďalej len CVB) metódy sken a gimp sú zhodné. Je teda možné na

hodnotenie CVB používať obe metódy. Pri porovnávaní kriviek by mala byť použitá vždy jedna metóda, nie je vhodné ich kombinovať. Dochádzalo by ku skresleniu celého výsledku.



Obrázok 11: Vonkajšie plošné variačné krivky stupňov šedi vypočítané z nasimulovaného obrazu tkaniny väzby atlasovej z priadze číslo 3396. Obraz získaný metódou sken (červená) a metódou gimp (modrá).

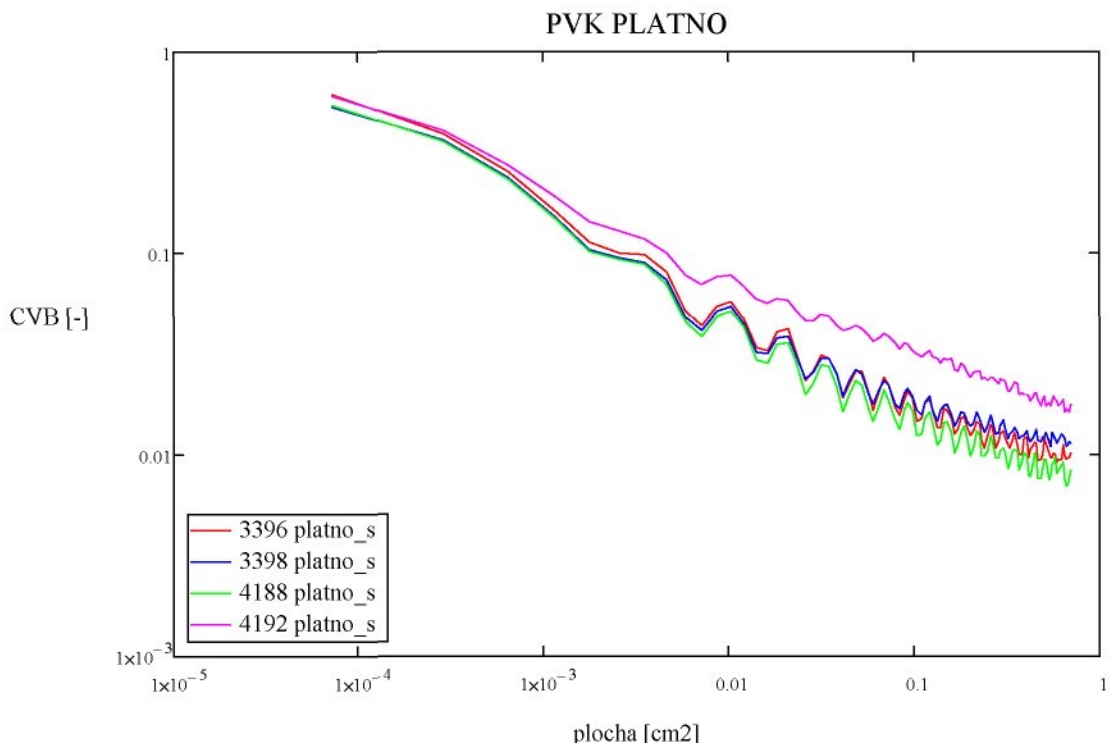
### 3.1.3.2 Vonkajšie plošné variačné krivky s rovnakou väzbou a rôznou chybou priadze

V tomto experimente sa hodnotí vplyv nerovnomernosti priadze na priebeh vonkajších plošných variačných kriviek v jednotlivých väzbách (plátno, keper, atlas). Pre lepšiu prehľadnosť sú v *tabuľke 2* popísané nerovnomernosti priadze.

Číslo priadze	$CV_m [\%]$
3396	13,71
3398	13,17
4188	9,78
4192	38,02

Tabuľka 2: Nerovnomernosť priadze.

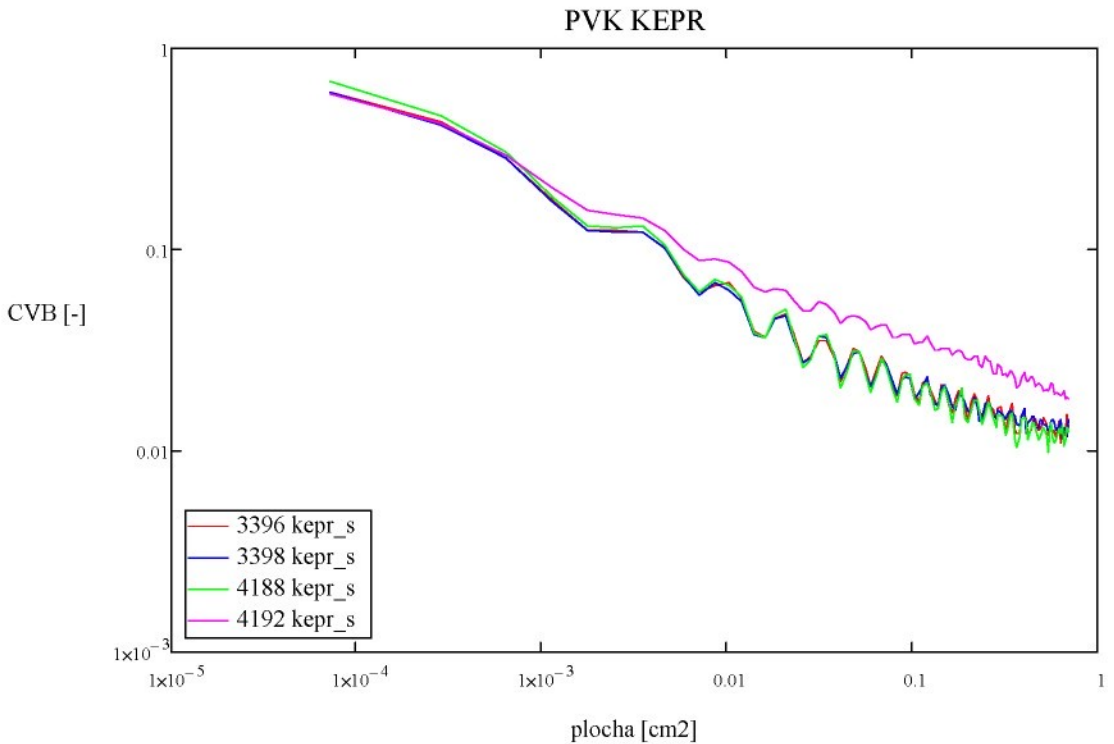
## CVB plátnová väzba



Obrázok 12: Porovnanie vplyvu nerovnomernosti priadze požitej v nasimulovanej tkanine s plátnovou väzbou na priebeh vonkajších plošných variačných kriviek pri metóde – sken.

Nerovnomernosť obrazu nasimulovanej tkaniny väzby plátnovej obr. 12 hodnotená pomocou vonkajšej plošnej variačnej krivky sa najvýraznejšie prejavuje u tkaniny č.4192 (ružová), z priadze ktorá vykazuje hodnotu  $CV_m$  38,02%. CVB č.4192 neklesá strmo s rastúcou veľkosťou hodnoteného štvorca v porovnaní s CVB 3396 (červená) kedy ide o obraz tkaniny, ktorý sa javí rovnomerný s  $CV_m$  13,71%, alebo tiež u CVB 3398 (modrá) s  $CV_m$  14,17%. Priebeh CVB č. 3396 a č. 3398 je takmer totožný. Najväčší pokles je u č. 4188 (zelená) s  $CV_m$  9,78%. Tkaniny č. 4192 vykazuje výrazný efekt „moaré“.

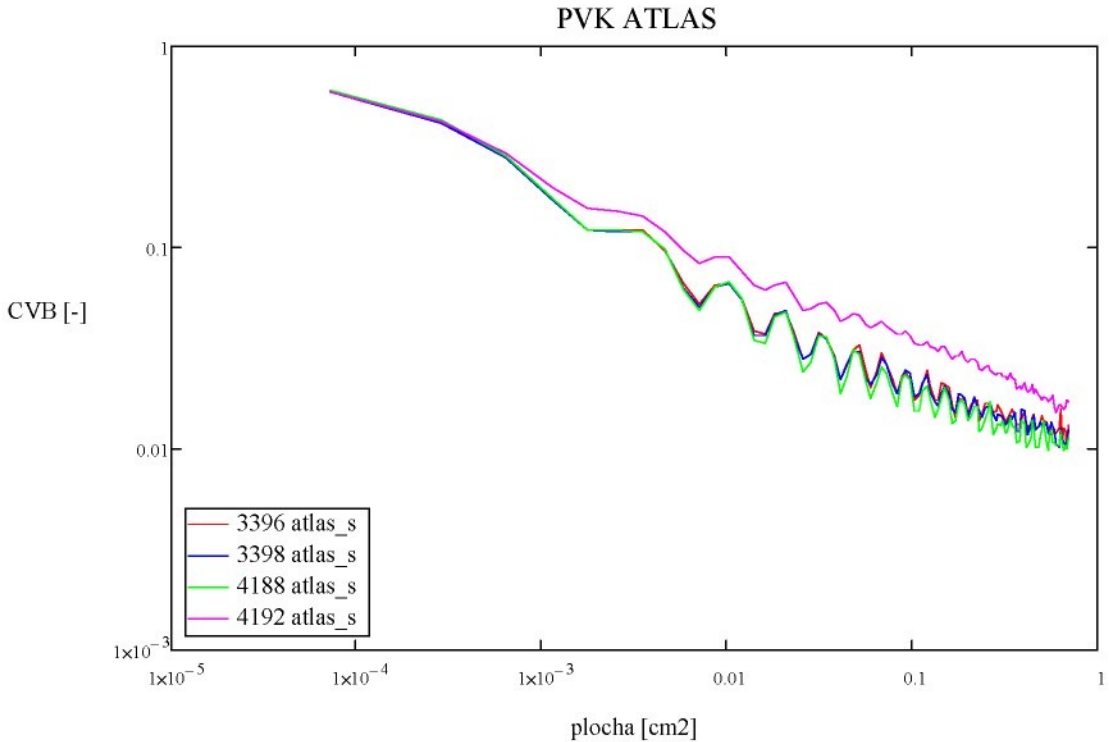
### CVB keprová väzba



Obrázok 13: Porovnanie vplyvu nerovnomernosti priadze pozitej v tkanine s keprovou väzbou na priebeh vonkajších plošných variačných kriviek pri metóde – sken.

CVB nasimulovanej tkaniny keprovej väzby obr. 13. sa na počiatku chová približne rovnako. S rastúcou plochou štvorca sa CVB od seba oddelujú a najvýraznejší najmenší pokles je u č.4192 (ružová). Tkanina pri subjektívnom hodnotení vykazuje výrazný moiré efekt. Najvyšší pokles nastáva u č.4188 (zelená). Chovanie č. 3396 (červená) a č. 3398 (modrá) sú si veľmi podobné.

### CVB atlasová väzba

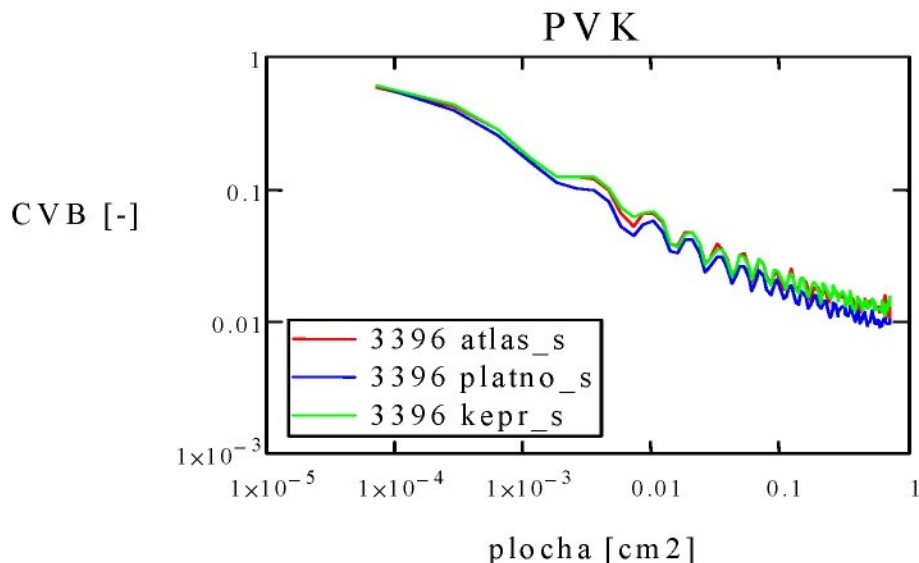


Obrázok 14: Porovnanie vplyvu nerovnomernosti priadze požitej v tkanímu s atlasovou väzbou na priebeh vonkajších plošných variačných kriviek pri metóde – skenovanie

Chovanie CVB nasimulovanej tkaniny s atlasovou väzbou obr. 14 je podobné chovaniu CVB plátnovej a keprovej väzby. Na počiatku, keď sa počíta s malých štvorcov sa všetky krivky chovajú takmer rovnako. S rastúcou plochou štvorcov sa zvyšujú rozdiely medzi CVB tkanín. Pokles má najväčší č. 4188 (zelená) a najnižší č. 4192 (ružová).

Z obrázkov 12-14 vyplýva, že plošné variačné krivky obrazu tkaniny zachytia nerovnomernosť tkaniny (v tomto prípade moire efekt). Krivky zostrojené metódou gimp sú znázornené v prílohe obr. 42-44.

### 3.1.3.3 Vonkajšie plošné variačné krivky tkanín s rôznou väzbou



Obrázok 15: Vonkajšie plošné variačné krivky pre tkaninu z priadze číslo 3396. Je sledovaný vplyv väzby (atlas, keper, plátno) na priebeh kriviek – metóda sken

CVB plátnovej väzby *obr. 15.* je v nižších polohách než CVB keprovej a atlasovej väzby. Je to spôsobené previazaním nití v tkanine. V plátnovej väzbe sa striedajú väzné body najpravidelnejšie (šachovnicovo). Všetky krivky je možné vidieť v prílohe *obr. 45.*

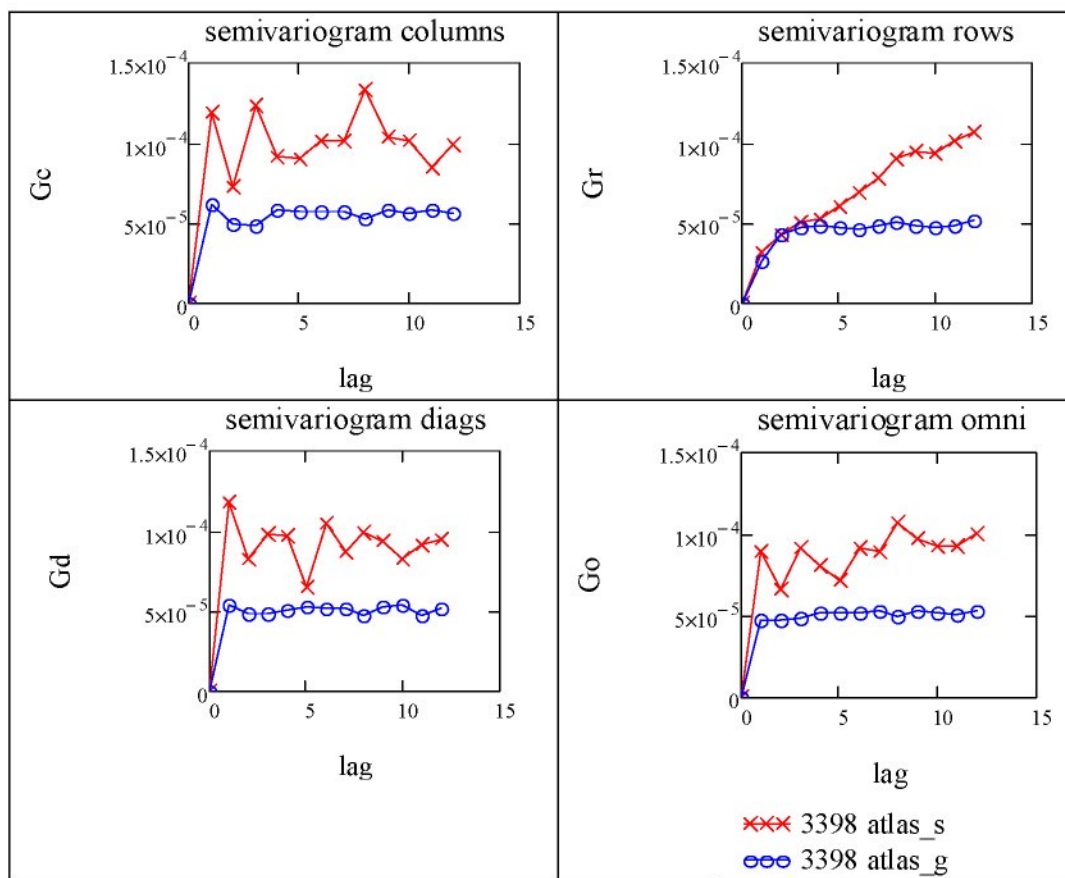
### 3.1.4 Vyhodnotenie semivariogramov

Z nasimulovaných obrazov tkaniny boli skonštruované tzv. centrovane semivariogrami podľa vzťahu (20). Priebeh semivariogramov závisí na veľkosti sledovanej plochy obrazu tkaniny. Pri rozlíšení obrazu 300 dpi sú rozmery sledovanej plochy 1000x1000 pixlov. Je nutné, aby sledovaná plocha bola štvorcová. Parameter „*krokI*“ udáva dĺžku strany štvorca v pixloch, na ktoré je rozdelený obraz tkaniny. Dĺžka strany štvorca je 60 pixlov, čo odpovedá 0,5 cm.

#### 3.1.4.1 Vyhodnotenie semivariogramov vplyv požitej metódy

Na *obr. 16* je porovnanie semivariogramov nasimulovaného obrazu tkaniny č.3398 pri použití metód sken a gimp. Metóda gimp je položená nižšie a jej priebeh sa v porovnaní s metódou sken javí konštantný. Pravdepodobne priemerne stupne šedi sú málo rozdielne, preto nie sú zaznamenané skoky ako u metódy sken. Na ďalšie

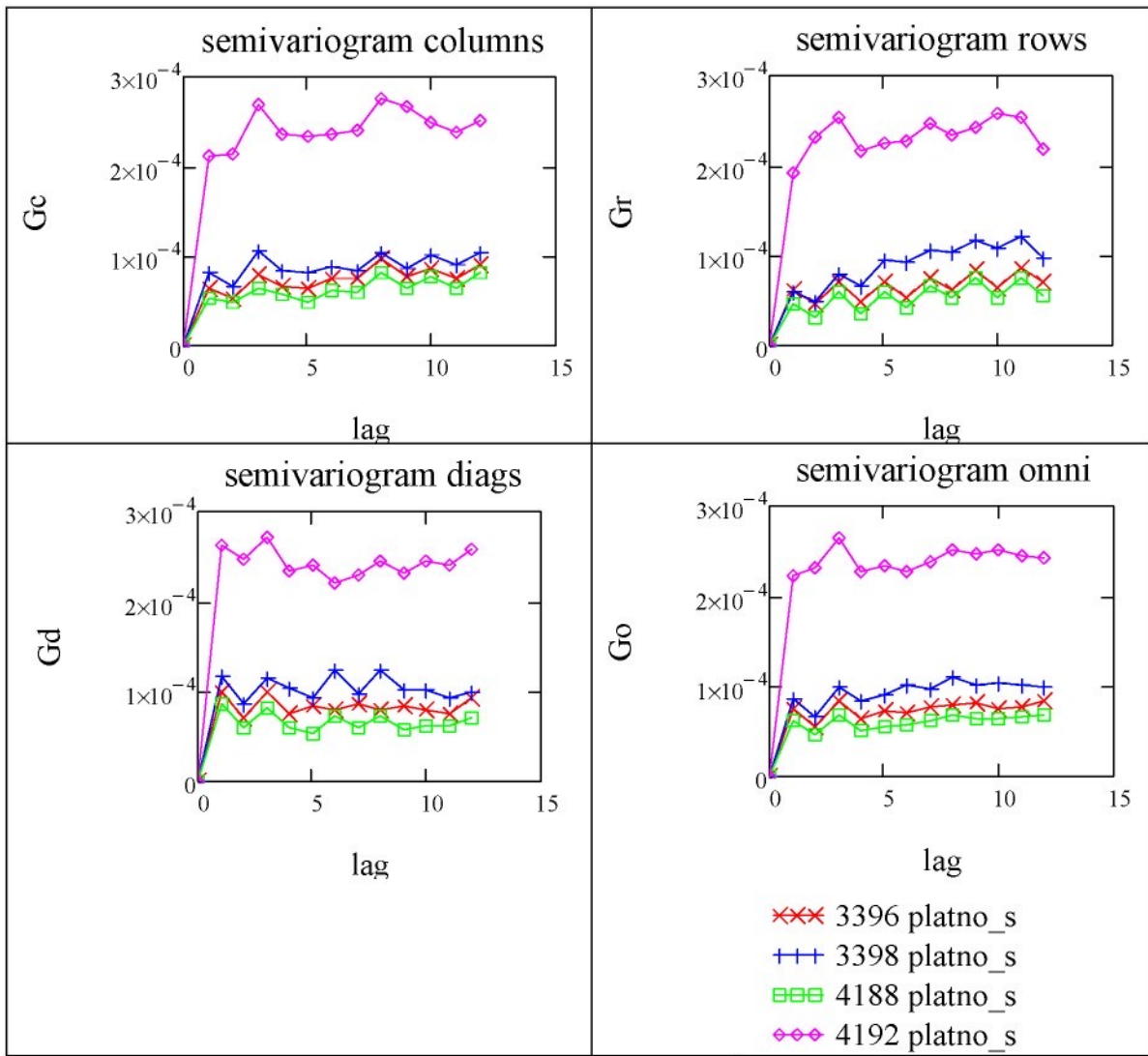
hodnotenie, preto bola použitá metóda sken. Semivariogrami všetkých obrazov je možné vidieť v prílohe diplomovej práce *obr. 46*.



Obrázok 16: Priebeh semivariogramov v smere stĺpcov, riadkov, diagonálnom a priemerný (omni) pre nasimulované obraz tkaniny č. 3398 väzby atlasovej porovnanie metód sken a gimp.

### 3.1.4.2 Vyhodnotenie semivariogramov vplyv plošnej nerovnomernosti

Sledovaný je vplyv plošnej nerovnomernosti na priebeh semivariogramov. Na obr. 17 sa krivka semivariogramu č.4192 (ružová) nachádza v najvyššej polohe ide o tkaninu s najvyššou nerovnomernosťou priadze ( $CV_m=38,02\%$ ) a pri subjektívnom hodnotení s najvýraznejším moiré efektom. Priebeh kriviek č.3396, č.3398 a č.4188 je veľmi podobný s rozdielnou polohou. Č.4188 je najnižšie ako to je i pri CVB.



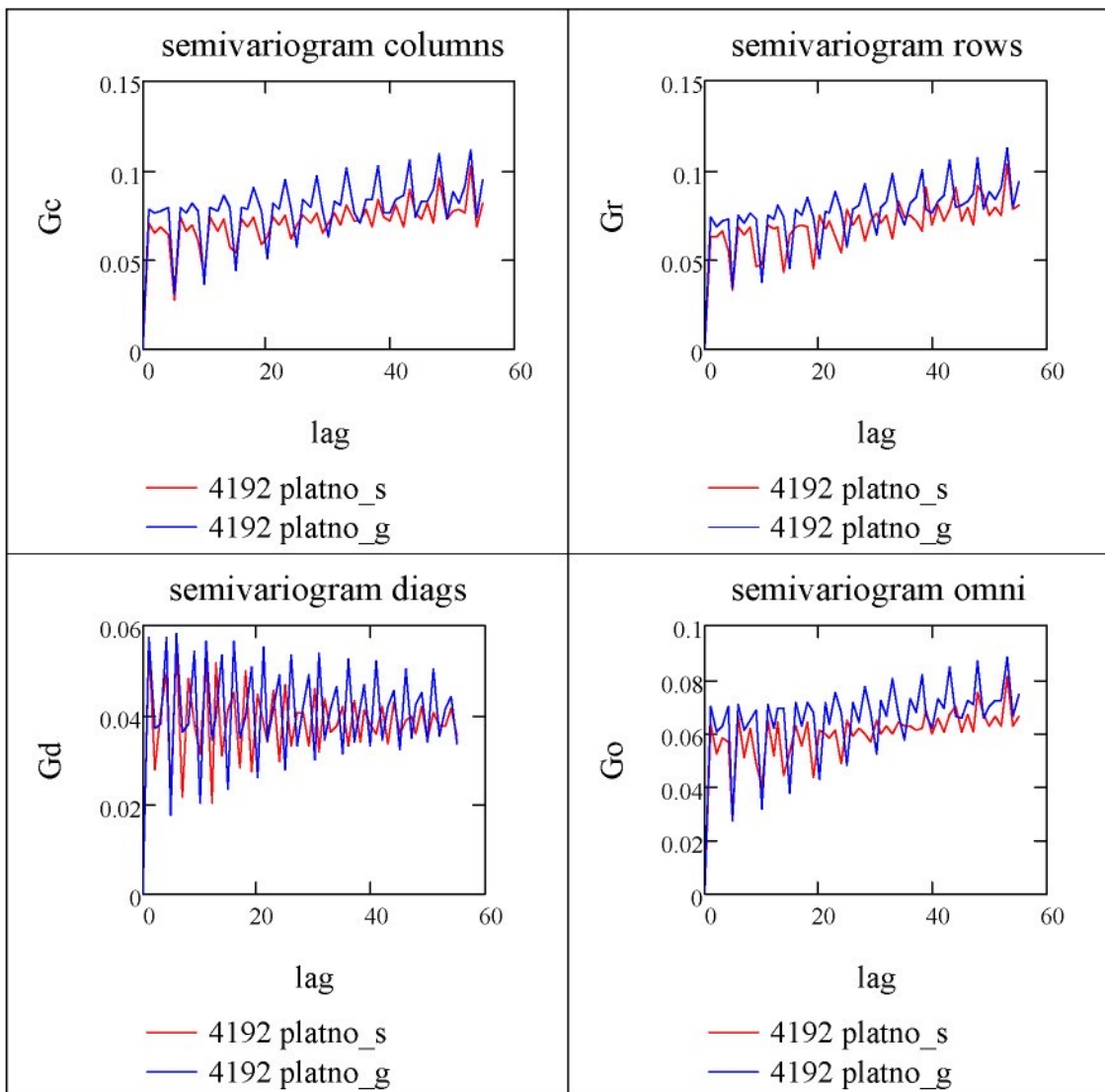
Obrázok 17: Priebeh semivariogramov v smere stĺpcov, riadkov, diagonálnom a priemerný (omni) pre nasimulované obrazy tkanín väzby plátnovej s rôznou nerovnomernosťou priadze Použitá metóda sken.

Z priebehu kriviek semivariogramov je možné povedať, že vzhľadová nerovnomernosť nasimulovaného obrazu tkaniny bola zachytená. Čím vyššia je poloha tým je plošná nerovnomernosť obrazu tkaniny vyššia. Všetky semivariogrami je možné vidieť v prílohe diplomovej práce *obr.47*.

### 3.1.5 Vyhodnotenie semivariogramov vplyv väzby

Rozmery sledovanej plochy obrazu sú 118x118 pixlov, to odpovedá štvorci rozmerov 1x1 cm. Parameter *krok2=2* udáva dĺžku strany štvorca, na ktoré je rozdelený obraz tkaniny, aby bol zachytený vplyv väzby tkaniny.

### 3.1.5.1 Vyhodnotenie semivariogramov vplyv väzby – použitá metóda

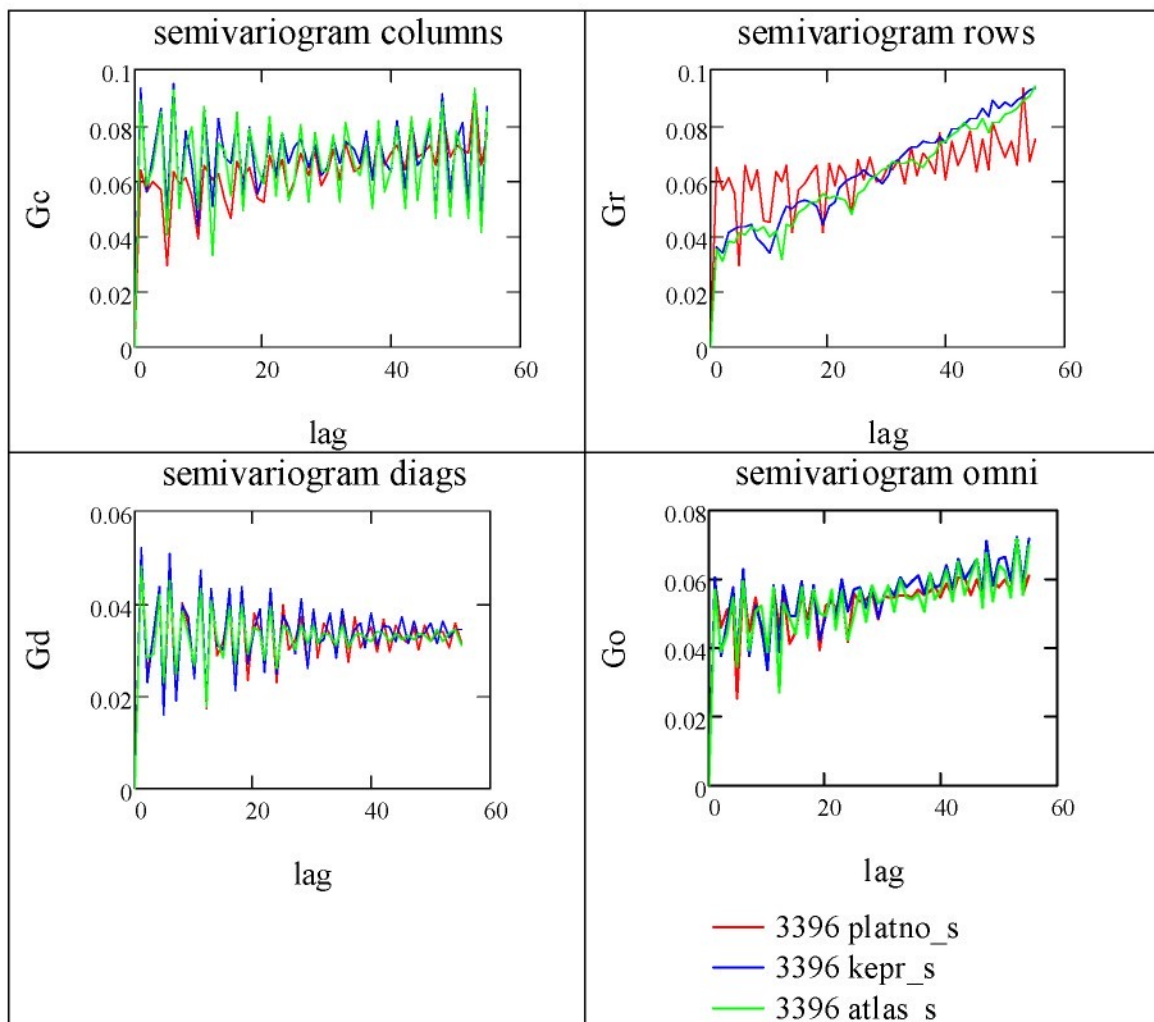


Obrázok 18: Priebeh semivariogramov vplyv väzby v smere stĺpcov, riadkov, diagonálnom a priemerný (omni) pre nasimulované obraz tkaniny č. 4192 väzby plátnovej porovnanie metód sken a gimp.

Semivariogram vplyv väzby zobrazený na obr.18 porovnáva metódy gimp a sken. Semivariogrami majú rozdielnú polohu, ale priebeh sa javí ako rovnaký. Na konštrukciu semivariogramov vplyv väzby je možné používať obe metódy. Porovnávať však nie je vhodné obrazy získané rôznymi metódami, ale len obrazy získané vždy jednou metódou, aby nedochádzalo ku skresleniu obrazu nižšou alebo vyššou polohou kriviek u rozdielnych metód. Všetky semivariogrami sú zobrazené v prílohe diplomovej práce obr.49.

### 3.1.5.2 Vyhodnotenie semivariogramov vplyv väzby – porovnanie väzieb

Na obr. 19 je porovnanie väzby tkaniny 3396(atlasovej, keprovej a plátnovej) na priebeh semivariogramov vplyv väzby. Krivky atlasovej (zelená) a keprovej (modrá) väzby sú charakteristické riadkovaním. Dochádza k zackyteniu väzby. Semivariogrami ostatných tkanín sa nachádzajú v prílohe diplomovej práce obr.51.

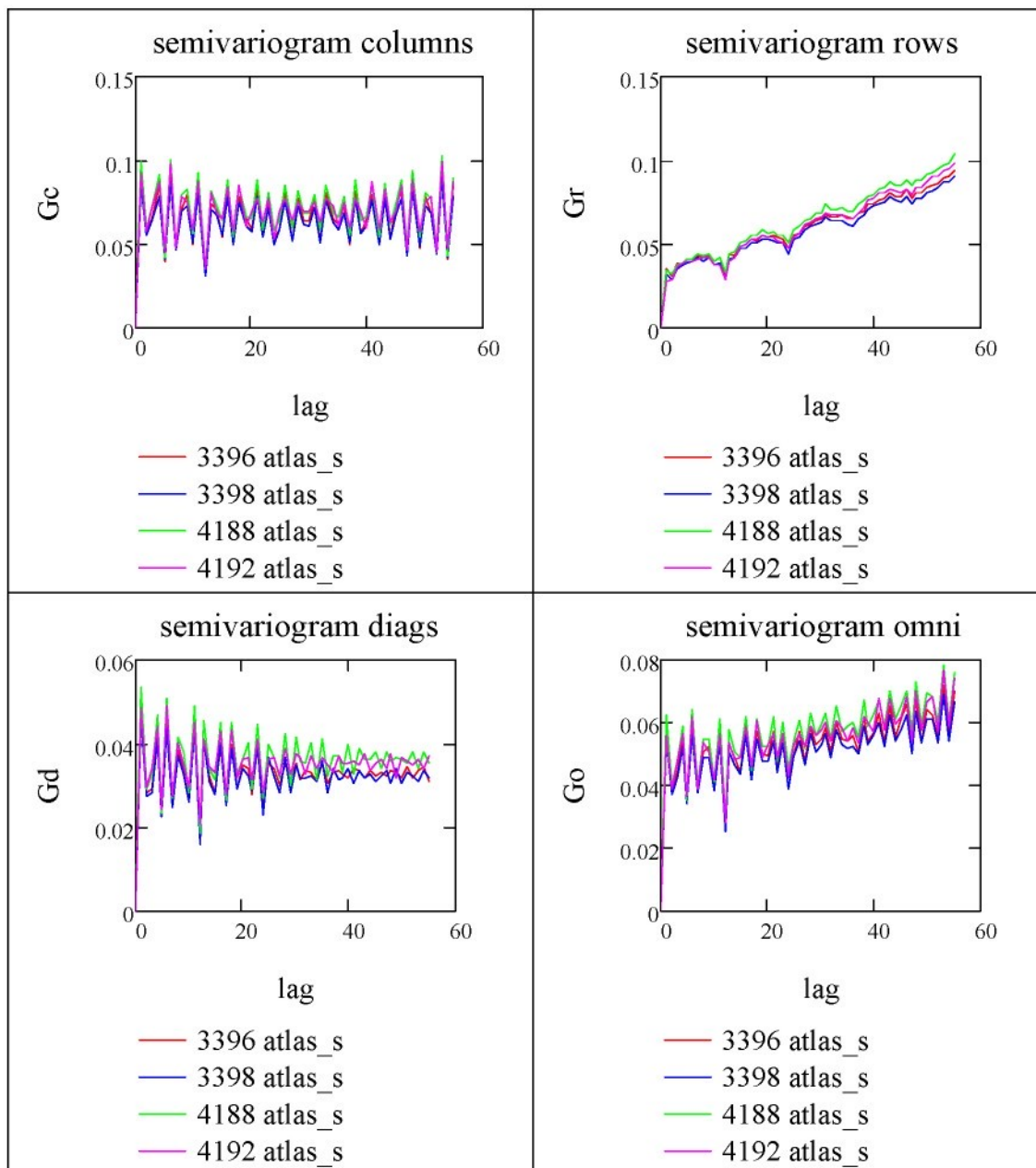


Obrázok 19: Priebeh semivariogramov vplyv väzby v smere stĺpcov, riadkov, diagonálnom a priemerný (omni) pre nasimulované obraz tkaniny č. 4192 väzby plátnovej porovnanie metód sken a gimp.

### 3.1.5.3 Vyhodnotenie semivariogramov vplyv väzby – plošná nerovnomernosť

Je sledovaný vplyv nerovnomernosti na priebeh semivariogramov vplyv väzby a tiež zackytenie väzby tkaniny. Na obr.20 sú znázornené semivariogrami vplyv väzby (atlasová väzba) s rôznymi hodnotami nerovnomernosti priadze. Krivka č. 4192 obrazu tkaniny s najväčšou nerovnomernosťou sa nenachádza v najvyššej polohe (ružová), a krivka tkaniny s najnižšou nerovnomernosťou č. 4188 sa nachádza najvyššej polohe

(zelená). Z obr. 20 však nie je možné tvrdiť, že dochádza k zachyteniu plošnej nerovnomernosti obrazu tkaniny, vzhľadom k polohám ostatných kriviek. Atlasová väzba je v semivariograme zachytená. Všetky krivky semivariogramov majú rovnaký priebeh. V tomto prípade je viditeľné zachytenie atlasovej väzby, ktoré sa prejaví najviac v smere riadkov, prejavuje sa riadkovaním. Všetky semivariogrami vplyv väzby sú v prílohe diplomovej práce *obr.50*.



Obrázok 20: Priebeh semivariogramov vplyv väzby v smere stĺpcov, riadkov, diagonálnom a priemerný (omni) pre nasimulované obrazy tkanín väzby atlasovej s rôznou nerovnomernosťou priadze Použitá metóda gimp.

## 3.2 Experiment reálnej tkaniny

Podstatou experimentu je získanie obrazu reálnej tkaniny, ktorý sa nasledovne spracuje v prostredí Matlab podľa špeciálne vytvoreného programu prof. Militkého „Norma\_nestejnomernost\_tkaniny.m“ Hodnotia sa vonkajšie plošné variačné krivky, semivariogrami a semivariogrami vplyv väzby.

### 3.2.1 Materiál použitý v experimente

K dispozícii boli dva druhy reálnych tkanín a každá v troch väzbách a to v plátnovej, atlasovej a keprovej. Prvý typ reálnej tkaniny bol vyrobený zámerne s chybou pruhovitosti v smere osnovy. Pruhovitosť v smere osnovy bola spôsobená tým, že na jednu časť cívečnice boli nasadené cievky z inej výrobnej partie. Aj napriek tomu, že parametre priadze boli zhodné, bavlnená priadza z inej partie mala iný odtieň. Druhý typ reálnej tkaniny pri vizuálnom posúdení nepôsobil nerovnomerne. V *tabuľke 3* je uvedený popis parametrov jednotlivých tkanín a v *tabuľke 4* ich označenie používané v diplomovej práci. Nasnímané obrazy reálnych tkanín sa nachádzajú na CD prílohe diplomovej práce.

Názov tkaniny	Materiálové zloženie	Jemnosť priadze[tex]		Dostava/10cm	
		Osnova	Útek	Osnova	Útek
Atlas ¼ (2)	100% CO	14,5	14,5	388	350
Plátno	100% CO	14,5	14,5	388	350
Keper lomený K1/3 Z	100% CO	14,5	14,5	388	350

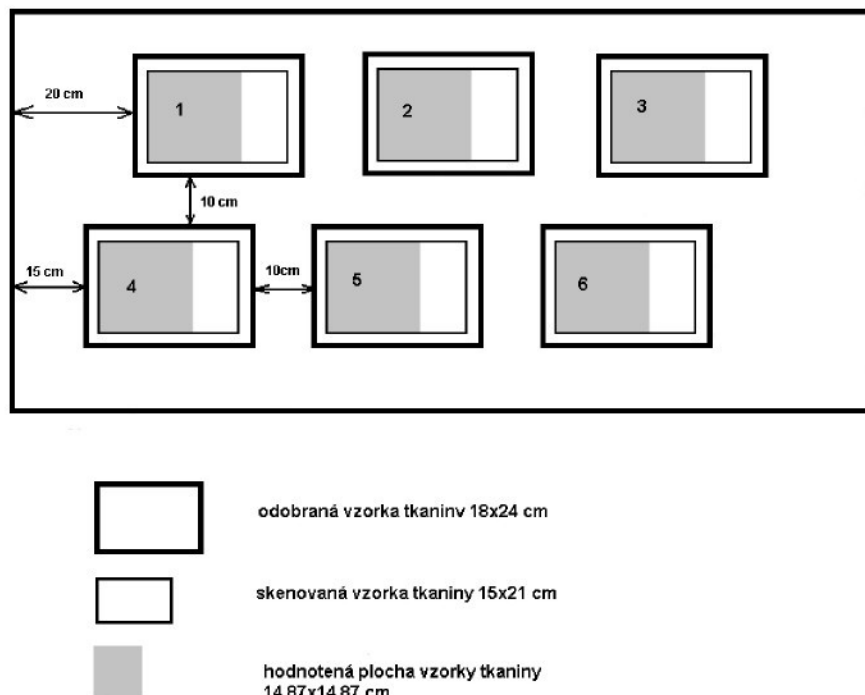
Tabuľka 3: Parametri hodnotených tkanín.

Názov tkaniny	Popis tkaniny	Označenie obrazov tkaniny v experimente
Atlas ¼ (2)	Bez chyby	Atlas
	S chybou pruhovitosti	Atlas_v
Plátno	Bez chyby	Plátno
	S chybou pruhovitosti	Platno_v
Keper lomený K1/3 Z	Bez chyby	Kepr
	S chybou pruhovitosti	Kepr_v

Tabuľka 4: Popis označenia tkanín použitých v experimente

## Odoberanie vzoriek

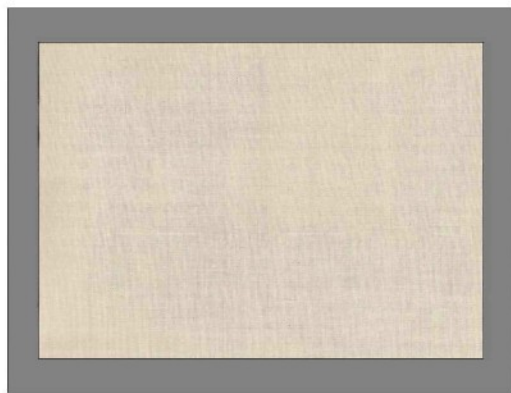
Z každej tkaniny bolo odobraných 6 vzoriek veľkosti 18x24 cm vid. *obr.21.* (Pre štatistické hodnotenie by bolo vhodnejšie odobrať min. 10 vzoriek, ale pre nedostatok materiálu bolo zvolených 6 vzoriek). Vzorky boli vyžehlené za sucha, aby sa odstránili sklady vzniknuté pri manipulácii s textíliou.



*Obrázok 21: Odber vzoriek z tkaniny*

Vzorky boli skenovane pri rozlíšení 300dpi z lícnej strany tkaniny s čiernym pozadím, ktoré bolo vytvorené vložením čiernych dosiek na skenovanú vzorku. Tieto dosky vzorky mierne zaťažili. Čierne pozadie bolo zvolené preto, že predchádzajúce štúdie preukázali [15], že vďaka kontrastnému pozadiu pri skenovaní vzoriek sa zvýrazní povrchová nerovnomernosť tkaniny.

Nastavenie skeneru bolo štandardné. Skutočná plocha získaného obrazu reálnej tkaniny bola 15x21 cm. Dosiahli sme to vložením špeciálne vytvorenéj šablóny (*obr.22*) pred skenovaním na skenovaciu plochu. Obrazy boli ukladané s príponou tiff.



Obrázok 22: Skutočná veľkosť nasnímaného obrazu reálnej tkaniny (15x21 cm) so šablónou použitou v experimente.

### Spracovanie nasnímaných obrazov reálnej tkaniny

Získané obrazy reálnej tkaniny boli spracované v prostredí MATLAB pomocou špeciálne vytvoreného programu prof. Militkého „Norma\_nestejnomernost\_tkaniny.m“. Nasnímané obrazy tkanín boli softwarom prevedené do stupňov šedi.(256 stupňov šedi) Stupeň šedi jednotlivých obrazových bodov program sleduje a počíta variačný koeficient stupňov šedi v celej vzorke o definovanej veľkosti a rôzne veľkých štvorcích vzoriek, a konštruuje plošné variačné krivky stupňov šedi a semivariogrami.

#### 3.2.2 Vonkajšie plošné variačné krivky reálnej tkaniny

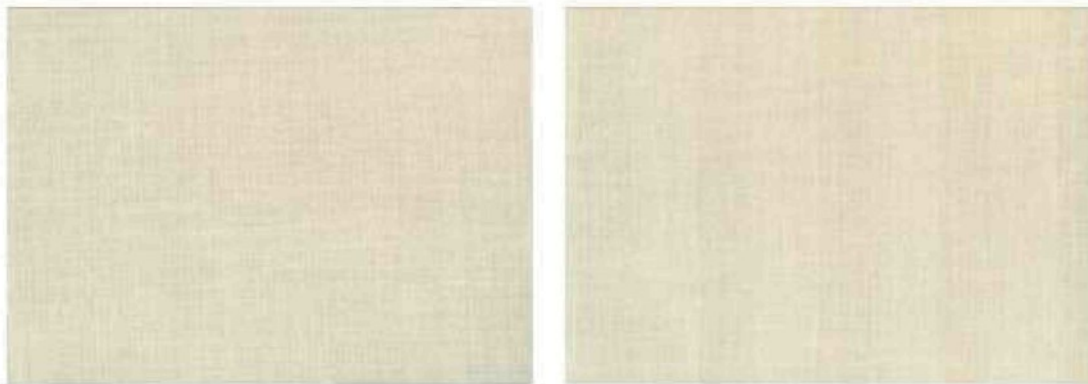
##### Nastavenie programu

Rozmer sledovanej plochy obrazu v pixloch je 1700x1700, tomu odpovedá rozmer 14,38x14,38 cm, rozlíšenie 300dpi. Je nutné, aby sledovaná plocha bola štvorcová. Minimálny počet sledovaných štvorcov je 10x10=100. maximálna veľkosť štvorca je 170x170 t.j. 1,438x1,438 cm ( $2,0707\text{cm}^2$ ). So získanými hodnotami variačných koeficientov stupňov šedi obrazov reálnych tkanín sa ďalej pracovalo v programe Mathcad.

##### 3.2.2.1 Priemerné plošné variačné krivky a intervaly spoľahlivosti

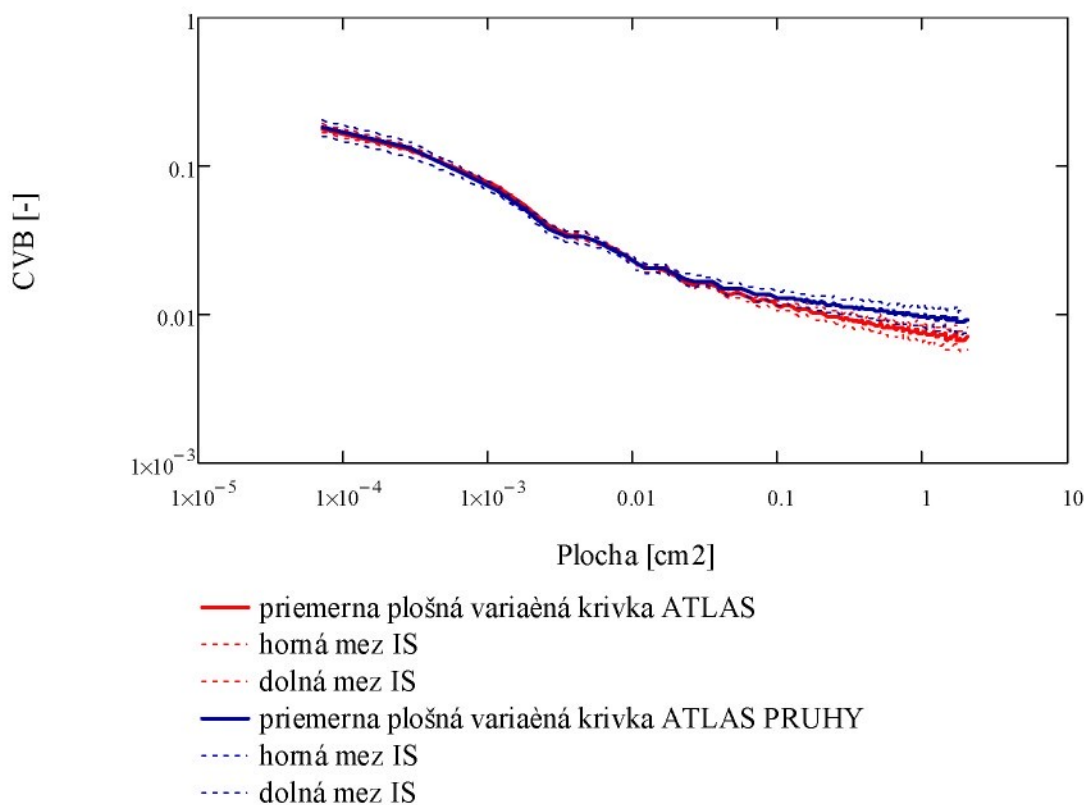
Krivky jednotlivých obrazov reálnych tkanín sa nachádzajú v prílohe diplomovej práce *obr.52-57*. Zo získaných údajov bola skonštruovaná priemerná vonkajšia plošná variačná krivka s 95% intervaly spoľahlivosti strednej hodnoty variačných koeficientov stupňov šedi v závislosti na sledovanej ploche.

## Vzájomné porovnanie priemerných vonkajších plošných variačných kriviek



Obrázok 23: Obraz reálnej tkaniny  
atlas\_4

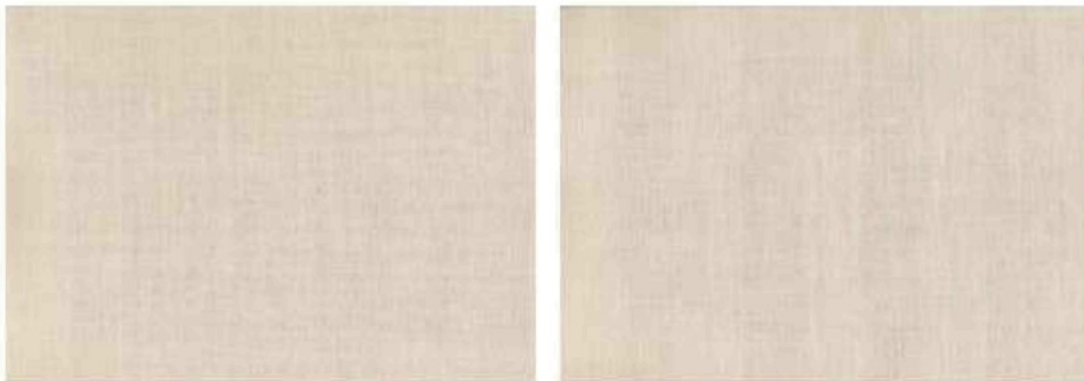
Obrázok 24: Obraz reálnej tkaniny  
atlas\_v\_4



Obrázok 25: Priemerné vonkajšie plošné variačné krivky a 95% intervaly spoľahlivosti tkanín atlas a atlas pruhy.

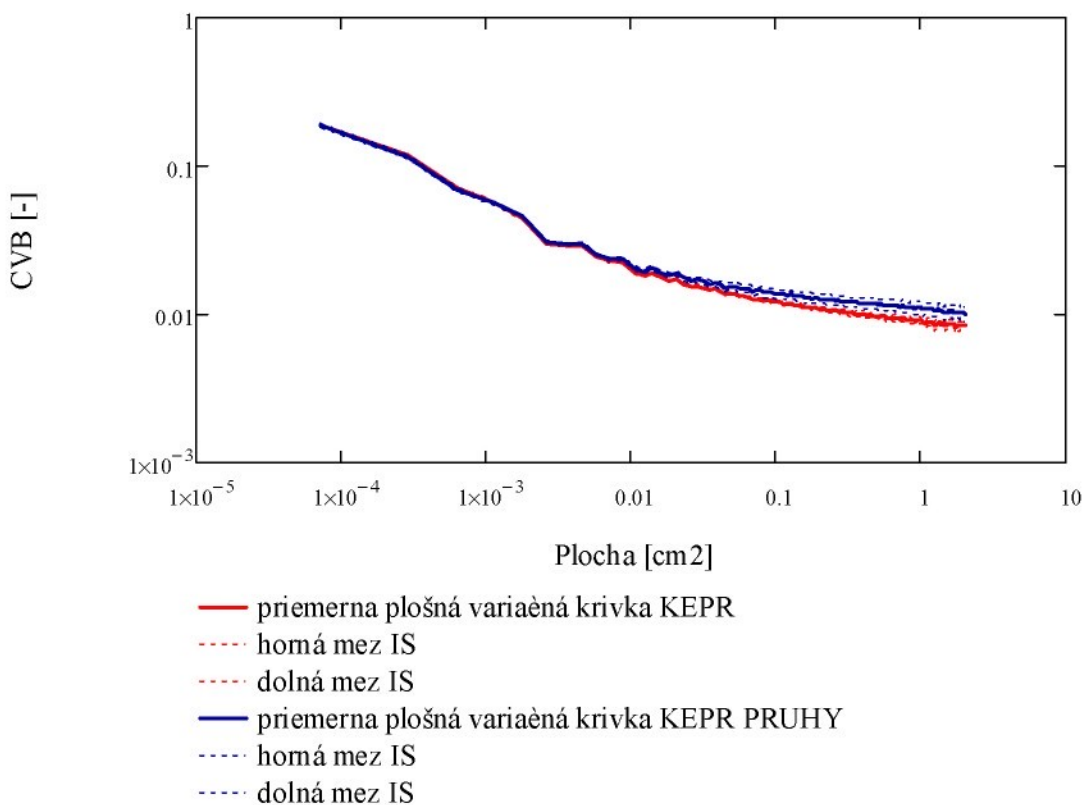
Bol sledovaný vplyv nerovnomernosti obrazu tkaniny rovnomernej *obr.23* a tkaniny s pruhmi *obr.24* na priebeh vonkajších plošných variačných kriviek. Vonkajšia plošná variačná krivka vzorky pruhovanej tkaniny atlasovej väzby má v malých plochách približne rovnaký priebeh ako rovnomerná tkanina väzby atlasovej *obr.25*. Na väčších plochých je však pruhovaná tkanina položená vyššie, má teda vyšší

variačný koeficient stupňov šedi. Intervaly spoľahlivosti sa prekrývajú, preto je tento rozdiel štatisticky nevýznamný pre hodnotenie nerovnomernosti plošných textílii.



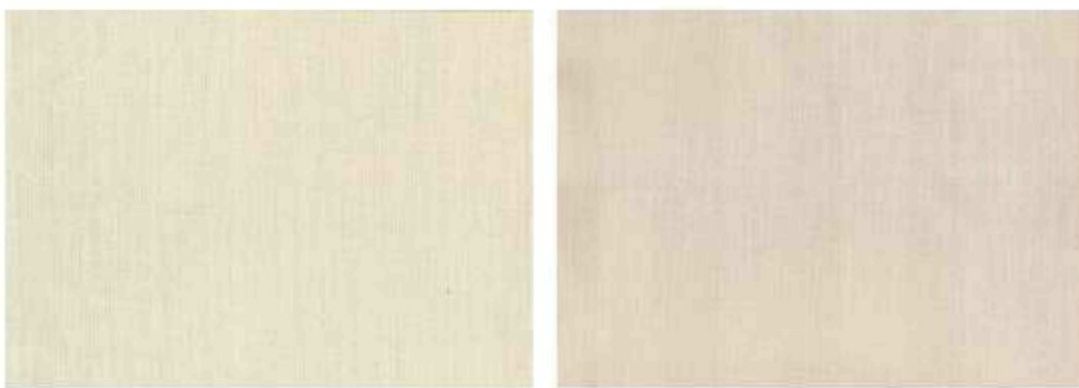
Obrázok 26: Obraz reálnej tkaniny  
kepr\_6

Obrázok 27: Obraz reálnej tkaniny  
kepr\_v\_3



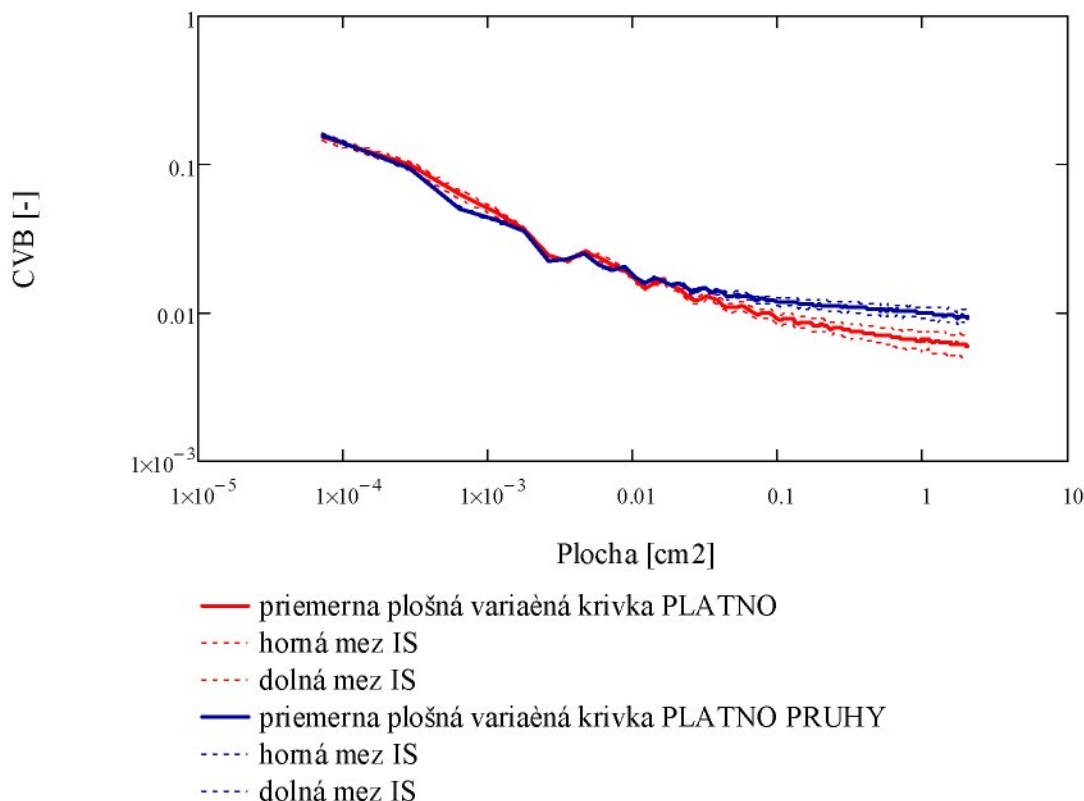
Obrázok 28: Priemerné vonkajšie plošné variačné krivky a 95% intervaly spoľahlivosti tkanín keper a keper pruhy.

Vonkajšia plošná variačná krivka *obr.28* vzorky pruhovanej tkaniny keprovej väzby (*obr.26*) má v malých plochách približne rovnaký priebeh ako rovnomerná tkanina väzby keprovej (*obr.27*). Na väčších plochách je však pruhovaná tkanina položená vyššie, má teda vyšší variačný koeficient stupňov šedi. Intervaly spoľahlivosti sa prekrývajú, preto je tento rozdiel štatisticky nevýznamný pre hodnotenie nerovnomernosti plošných textílii.



Obrázok 29: Obraz reálnej tkaniny  
platno \_ 4

Obrázok 30: Obraz reálnej tkaniny  
platno v \_ 5

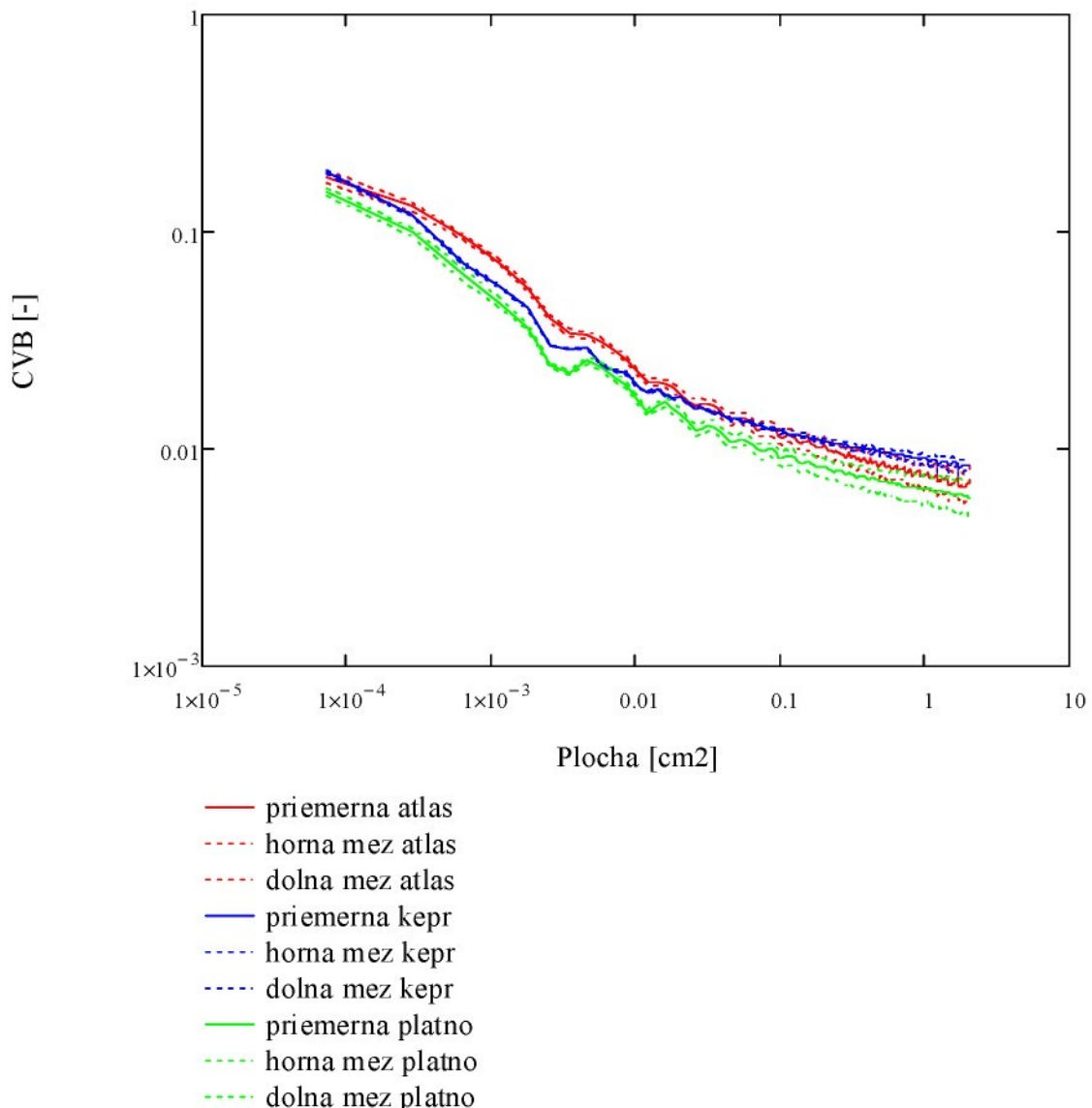


Obrázok 31: Priemerné vonkajšie plošné variačné krivky a 95% intervaly spoľahlivosti tkanín plátno a plátno pruhy

Vonkajšia plošná variačná krivka *obr.31* vzorky pruhovanej tkaniny plátnovej väzby (*obr.30*) má v malých plochách približne rovnaký priebeh ako rovnomerná tkanina väzby plátnovej (*obr.29*). Na väčších plochých je však pruhovaná tkanina položená vyššie, má teda vyšší variačný koeficient stupňov šedi. Krivky a ich intervaly spoľahlivosti sa prekrývajú na malých plochách, tam je tento rozdiel štatisticky nevýznamný pre hodnotenie nerovnomernosti plošných textílií. Na plochách od  $0,1 \text{ cm}^2$  sa intervaly spoľahlivosti neprekrývajú tzn., že rozdiel je štatisticky významný. Krivka pruhovanej tkaniny je výrazne vyššie položená.

### 3.2.2.2 Vplyv väzby na priebeh vonkajších plošných variačných kriviek

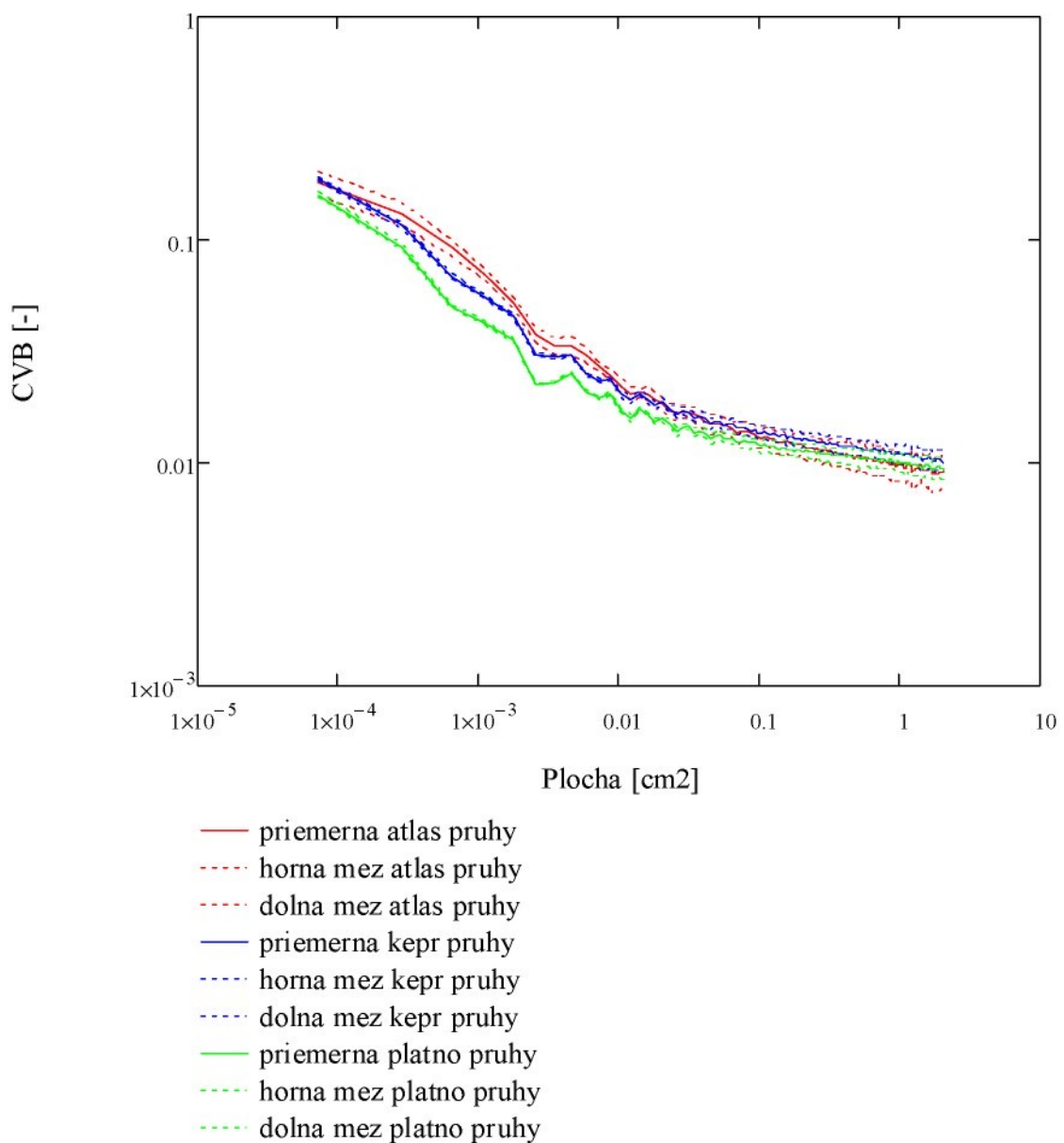
V tejto kapitole sú medzi sebou porovnávané priemerné vonkajšie plošné variačné krivky reálnej tkaniny s pruhom a tkaniny bez chyby.



Obrázok 32: Porovnanie priemerných vonkajších plošných variačných kriviek tkanín bez chyby.

Na obr.32 sú znázornené všetky priemerné vonkajšie plošné variačné krivky obrazu reálnej tkaniny bez chyby a intervaly spoľahlivosti.. Na obr.32 je vidieť, že poloha krivky je závislá i na väzbe tkaniny. Keprová väzba vykazuje vyššiu nerovnomernosť oproti väzbám plátnovej a atlasovej. Intervaly spoľahlivosti sa prekrývajú, preto tento rozdiel nie štatisticky významný. Na obr.33 sú znázornené

všetky priemerné vonkajšie plošné variačné krivky obrazu reálnej tkaniny s pruhmi. Intervaly spoľahlivosti sa prekrývajú, preto tento rozdiel nie je štatisticky významný.



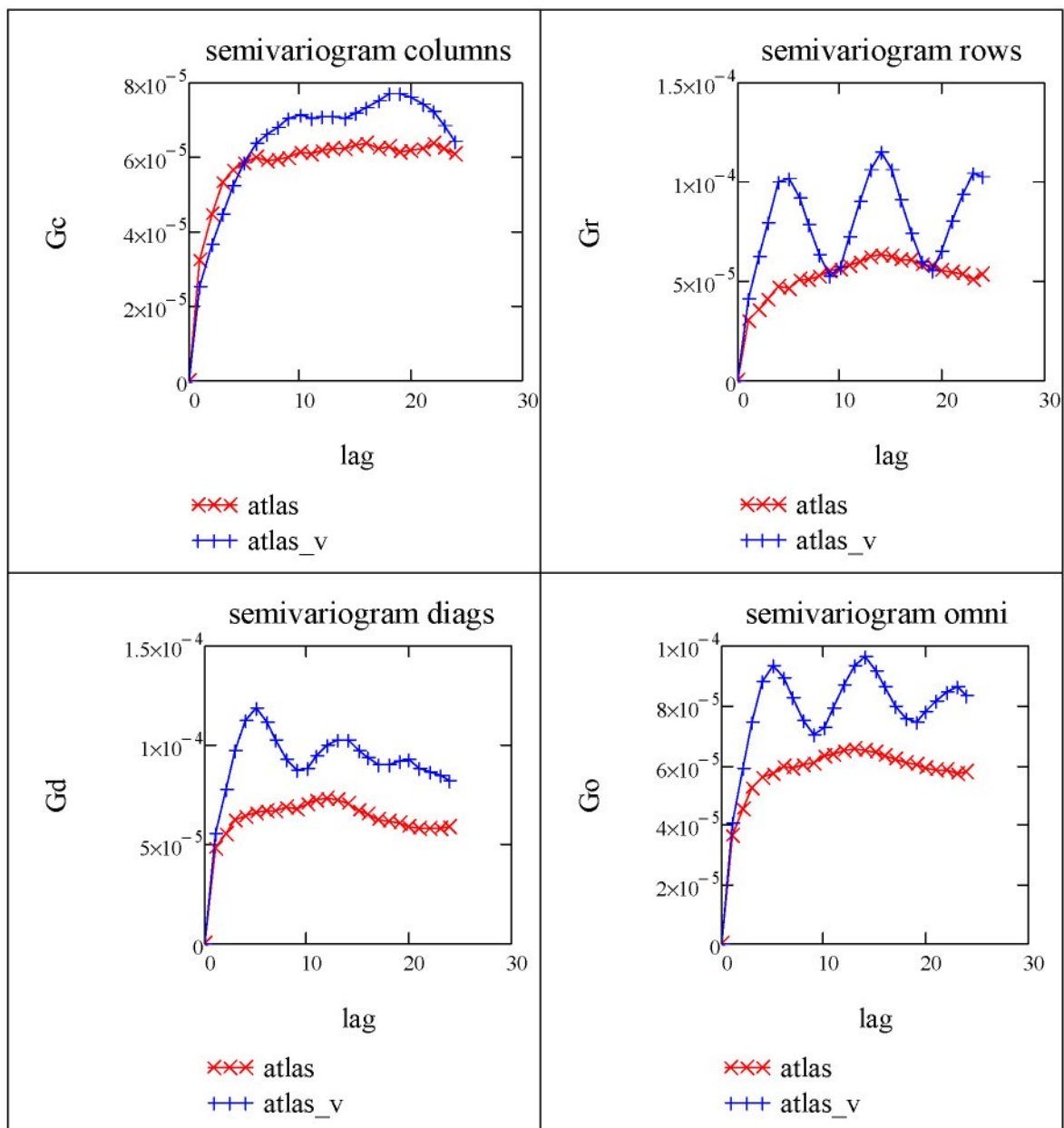
Obrázok 33: Porovnanie všetkých priemerných vonkajších plošných variačných kriviek tkanín s pruhom.

### 3.2.3 Semivariogrami obrazu reálnej tkaniny

Z reálnych obrazov tkanín popísaných v predchádzajúcej kapitole boli v programe v prostredí Matlab skonštruované „centrované semivariogrami“ podľa vzťahu (20), (21). Bola sledovaná veľkosť vzoriek 1700x1700 bodov. Bol zvolený krok<sub>1</sub>= 60. tento parameter udáva dĺžku strany štvorcov, na ktoré je rozdelený obraz tkaniny v pixloch, pred výpočtom krivky pri rozlíšení 300dpi to odpovedá 0,5cm.

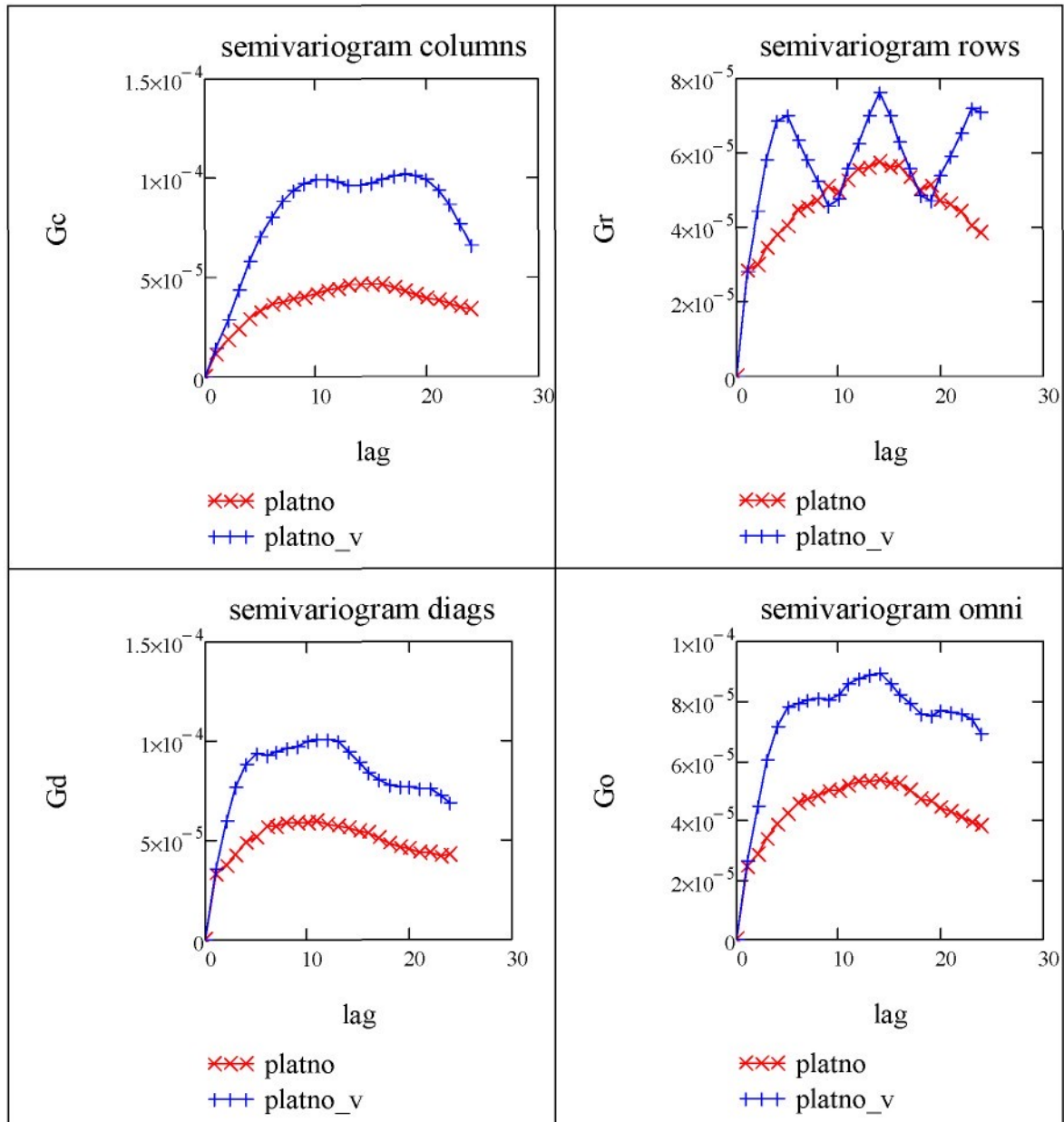
## Semivariogrami reálnej tkaniny a ich vyhodnotenie

Bolo použitých 6 vzoriek od každej tkaniny, z ktorých bol zostrojený priemerný semivariogram v danom smere. Semivariogrami pre jednotlivé vzorky obrazov tkanín možné vidieť v prílohe diplomovej práce na *obr. 58-63*. Tzv. omni semivariogram vzniká spriemerovaním semivariogramov v smere riadkov, stĺpcov a diagonálneho. V tomto experimente bol sledovaný vplyv pruhovitosti tkaniny na priebeh semivariogramov. Priebehy priemerných semivariogramov sú znázornené na *obr. 34-37*.



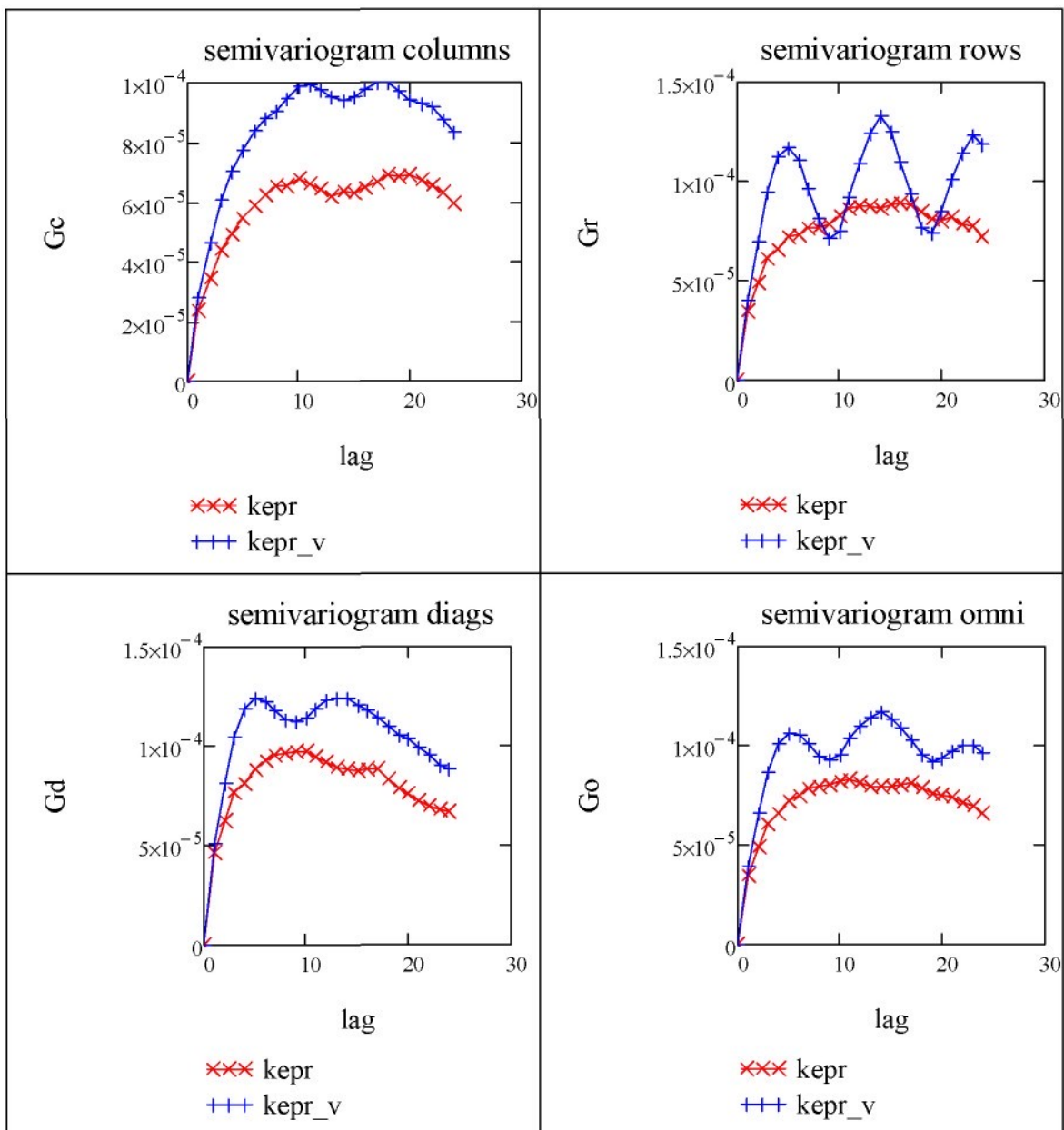
Obrázok 34: Priemerné semivariogrami obrazu reálnej tkaniny atlasovej väzby v smere stĺpcov, riadkov, diagonálnom a omni.

Na obr.34 je znázornený priebeh semivariogramov tkanín bez chyby a s pruhom atlasovej väzby. Z obr.34 vyplýva, že semivariogram v smere riadkov identifikuje pruhovitosť tkaniny (modrá krvka).



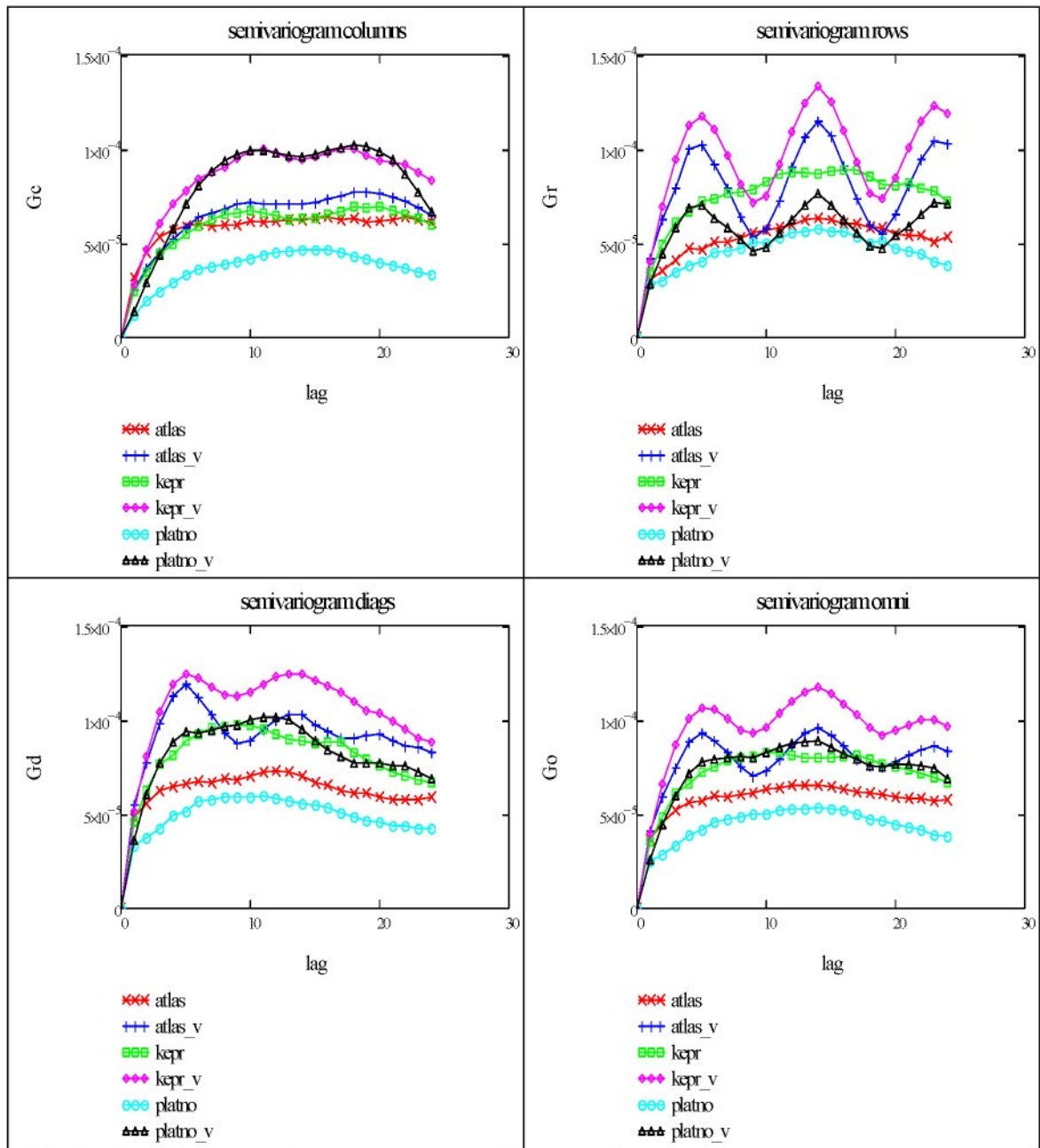
Obrázok 35: Priemerné semivariogramy obrazu reálnej tkaniny plátnovej väzby v smere stĺpcov, riadkov, diagonálom a omni.

Na obr.35 je znázornený priebeh semivariogramov tkanín bez chyby a s pruhom plátnovej väzby. Z obr.35 vyplýva, že semivariogram v smere riadkov identifikuje pruhovitosť tkaniny (modrá krvka).



Obrázok 36: Priemerné semivariogramy obrazu reálnej tkaniny keprovej väzby v smere stĺpcov, riadkov, diagonálnom a omni.

Na obr.36 je znázornený priebeh semivariogramov tkanín bez chyby a s pruhom keprovej väzby. Z obr.36 vyplýva, že semivariogram v smere riadkov identifikuje pruhovitosť tkaniny (modrá krvka).



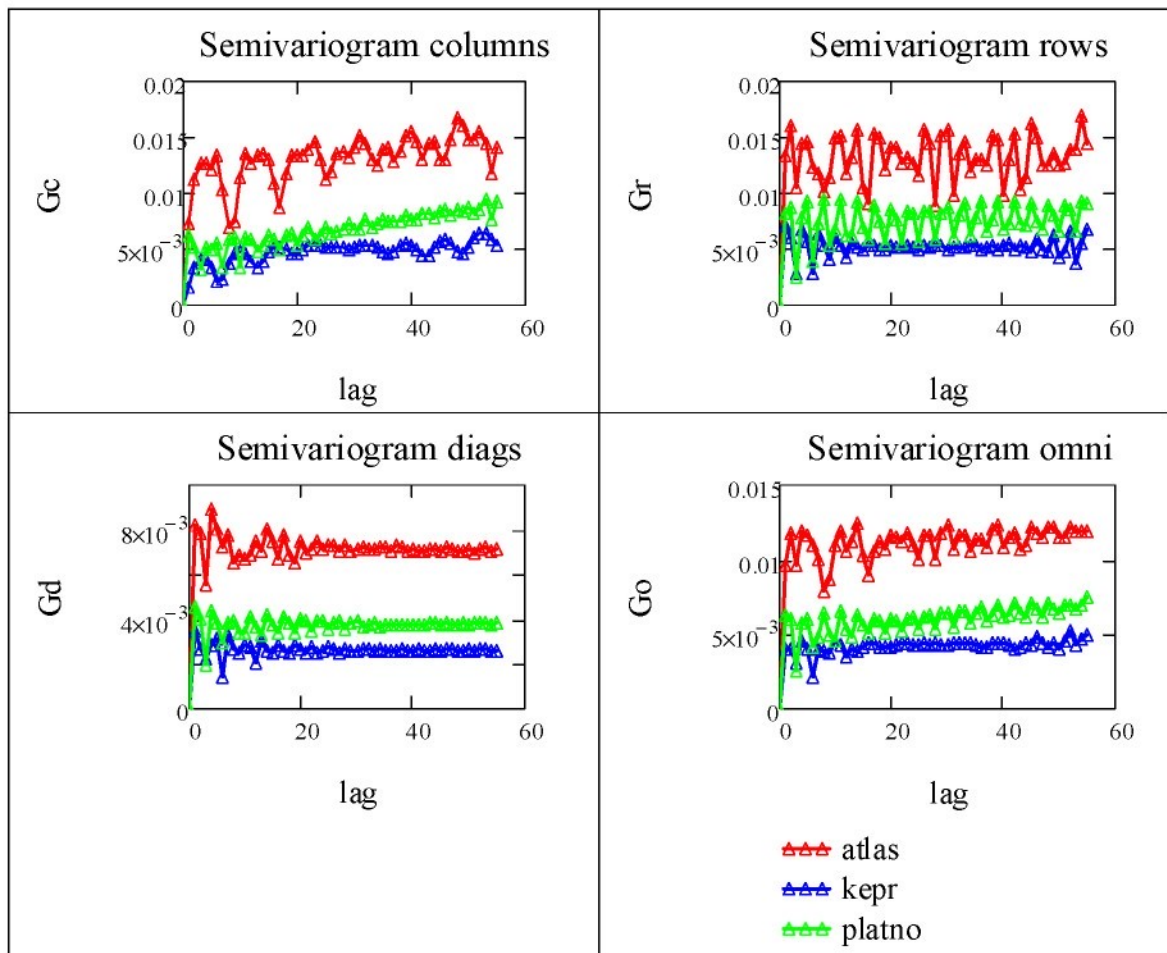
Obrázok 37: Priemerné semivariogramy obrazu reálnej tkaniny

Z priemerných semivariogramov v smere riadkov obr.37 bola identifikovaná pruhovitosť reálnych obrazov tkaniny s touto zámernou chybou. U obrazov, ktorých vzhľad sa javí ako rovnomerný neboli zaznamenaný priebeh semivariogram, ktorý by naznačoval pruhovitosť.

### 3.2.4 Semivariogrami vplyv väzby reálnej tkaniny a ich vyhodnotenie

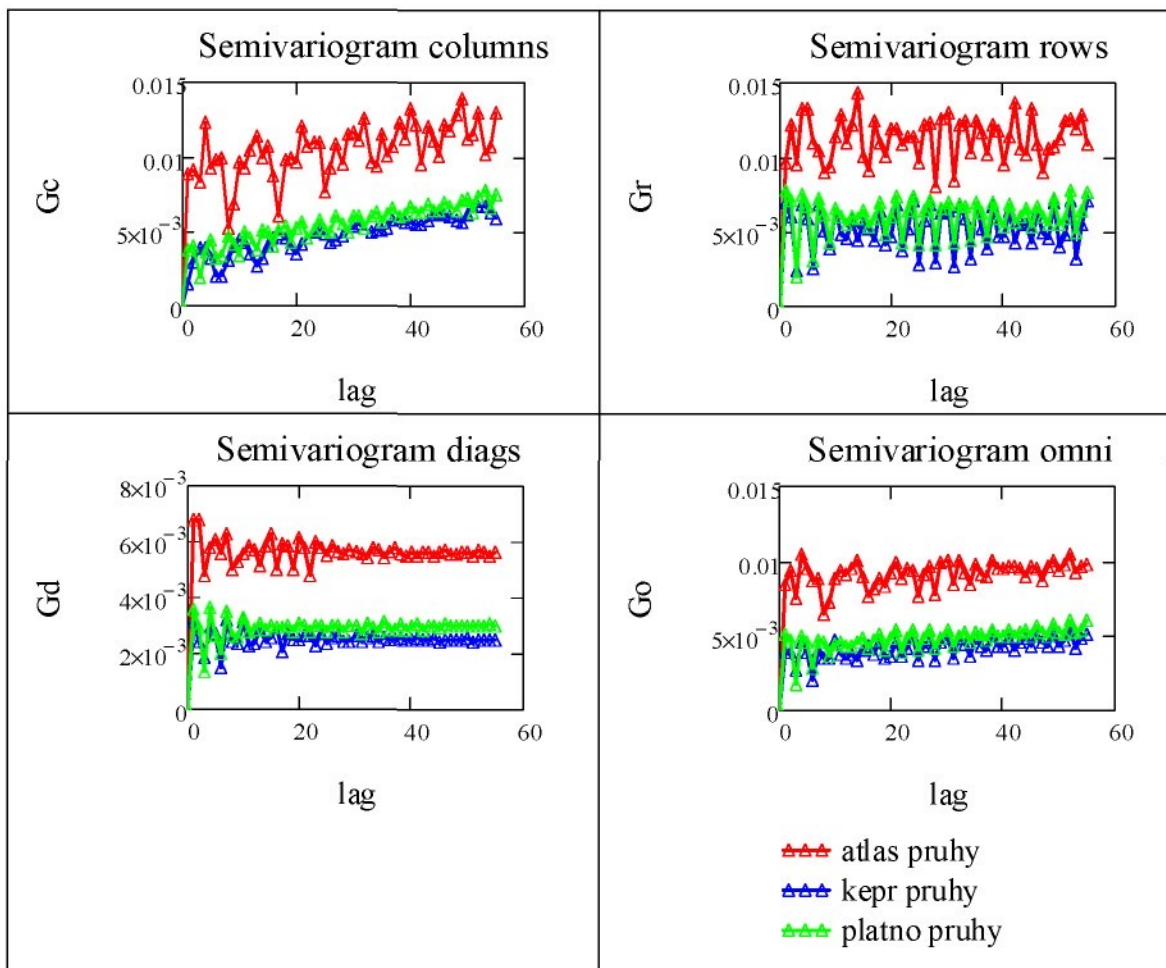
Rozmery sledovanej plochy obrazu v pixloch pre zachytenie vplyvu väzby tkaniny sú 118x118 pri rozlíšení 300dpi to odpovedá 1x1 cm. Bol zvolený *krok2=2*, tento parameter udáva dĺžku strany štvorca, na ktorý je rozdelený obraz tkaniny

v pixloch, aby bol zachytený vplyv väzby. Na obr. 38-39 sú priemerné semivariogrami vplyv väzby obrazov reálnych tkanín bez chyby a s pruhovitos'ou.



Obrázok 38: Priemerné semivariogrami vplyv väzby obrazu reálnej tkaniny bez chyby.

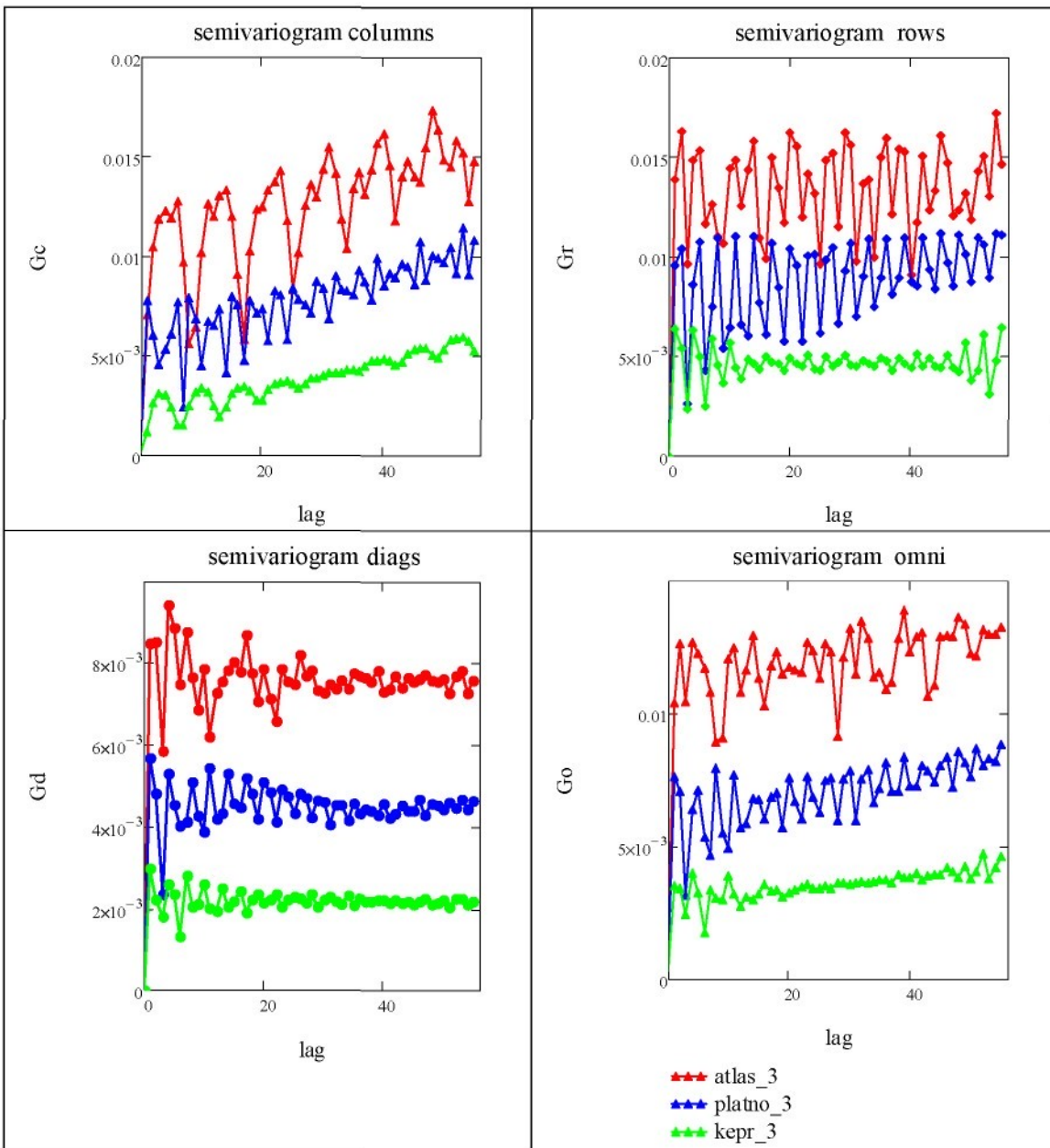
Na obr.38 je znázornený priebeh priemerných semivariogramov tkanín bez chyby všetkých väzieb.



Obrázok 39: Priemerné semivariogramy vplyv väzby obrazu reálnej tkaniny s pruhmi

Na obr.39 je znázornený priebeh priemerných semivariogramov tkanín s pruhovitosťou všetkých väzieb.

Z priemerných semivariogramov obr.38-39 nie je možné identifikovať väzbu tkaniny, pretože ich priebeh kolíše v závislosti na polohe sledovaného štvorca i v prípade jednej vzorky tkaniny. K zachyteniu pruhovitosti u semivariogramov vplyv väzby nedochádza, pretože program pracuje s malou plochou tkaniny, na ktorej sa pruhovitosť neprejaví. Záleží z akého miesta bol výrez, ktorý mohol byť na „správnom“ alebo „nesprávnom“ prahu alebo tiež na ich rozhraní. Vzhľadom k tomu, že u priemerných semivariogramov vplyv väzby, nedochádza k zachyteniu väzby boli náhodne vybrané tri samostatné vzorky na porovnanie.



Obrázok 40: Semivariogram vplyv vazby porovnanie priebehu atlasovém, plátnovém a keprovej vazby.

Na obr.40 by priebeh semivariogramu plátna (modrá) v smere stĺpcov a riadkov mal byť približne rovnaký, k výraznejšiemu zachyteniu plátnovej väzby však dochádza v smere riadkov (rows). Keprová väzba (zelená) je charakteristická riadkovaní, ktoré je možné identifikovať v semivariogramoch v smere riadkov a stĺpcov. Pre atlasovú väzbu (červená), by malo nastať chovanie krvky podobné keprovej väzbe, ale s rozdielnymi minimami a maximami krvky, vzhlľadom k rozdielnemu rozmiestneniu väzných bodov vo väzbe. Semivariogrami vplyv väzby pre jednotlivé vzorky obrazov reálnej tkaniny sú v prílohe diplomovej práce na obr.64.

## Záver

Diplomová práca sa zaobráva hodnotením plošné nerovnomernosti obrazov tkanín. Je rozdelená na teoretickú a experimentálnu časť. V teoretickej časti je popísaná nerovnomernosť priadze a možnosti jej stanovenia, nerovnomernosť plošných textílií a charakteristické funkcie nerovnomernosti v ploche (plošné variačné krivky a semivariogrami). V experimentálnej časti sú skúmané možnosti objektívneho hodnotenia povrchovej nerovnomernosti plošných textílií pomocou štatistikých funkcií: plošných variačných kriviek a semivariogramov. Vonkajšie plošné variačné krivky a semivariogrami boli zhotovené v programe Matlab podľa skriptu Prof. Militkého. Krivky vykresľujú priebeh variačných koeficientov stupňov šedi v závislosti na veľkosti sledovanej plochy obrazu. Sú hodnotené nasimulované a reálne obrazy plošných textílií (tkanín) na základe kolisania stupňov šedi.

Nasimulované obrazmi tkanín (v troch väzbách: plátnovej, keprovej a atlasovej) z prístroja Uster-Tester sú spracované dvoma metódami a to 1) tlačením a skenovaním obrazu a 2) spracovaním v grafickom programe GIMP2. Získavanie obrazu metódou gimp je rýchlejšie a jednoduchšie. Môže slúžiť pre predbežné výhodnocovanie. Bolo sledované chovanie kriviek pri použití oboch metód (sken a gimp). Krivky sa líšia polohou, ale majú rovnaký priebeh, preto je možné používať obe metódy. Porovnávať však vždy obrazy získané jednou metódou, považujem za nevhodné ich kombinovať. Dochádzalo by ku skresleniu celého výsledku vplyvom rozdielnych polôh kriviek pri metóde gimp a sken.

Ďalej bol sledovaný vplyv nerovnomernosti nasimulovaného obrazu tkaniny na priebeh kriviek. V experimente sa pracuje s štyrmi nasimulovanými obrazmi tkanín v troch väzbách (plátno, keper, atlas), z toho jeden vykazujú výrazný moiré efekt. Pokles je najvýraznejší u tkanín z priadze s nízkou nerovnomernosťou nameranou na prístroji Uster Tester.. Poloha i priebeh krivky s najvyššou nerovnomernosťou je výrazne rozdielny. Variačný koeficient stupňov šedi neklesá prudko so zväčšujúcou sa plochou. Z experimentu vyplýva, že čím je priebeh plošnej variačnej krivky polohovo vyššie, tým je vzhľadová nerovnomernosť tkaniny vyššia, teda vzhľad sa javí ako rušivý, nerovnomerný. Platí tu predpoklad, že variačný koeficient so zväčšujúcou sa sledovanou plochou klesá.

Chovanie semivariogramov metódy sken a gimp je veľmi odlišné. Semivariogrami metódy gimp pôsobia v porovnaní s metódou sken konštantne a sú výrazne nižšie položené než sken. Jediný rozdiel nastal pri tkanine č.4192, ktorá má najvyššiu nerovnomernosť a najvýraznejší moiré efekt a to, že gimp je vyššie ako sken a aj priebeh je podobný. Na vyhodnocovanie semivariogramov považujem metódu gimp za nevhodnú.

Nerovnomernosť nasimulovaného obrazu tkaniny s výrazným moire efektom sa na semivariogramoch prejavuje vyššími polohami. Z hodnotených semivariogramov vyplýva, že čím je semivariogram vyššie položený, tým je sledovaný obraz tkaniny nerovnomernejší. Na objektívne hodnotenie plošnej nerovnomernosti tkanín spôsobenej moire efektom sa javí semivariogram ako vhodný prostriedok.

Priebeh semivariogramov vplyv väzby pri porovnávaní metód je zhodný rozdielna ja však poloha. Metóda sken sa nachádza v nižších polohách. V tomto prípade zo semivariogramov vyplýva, že je možné používať obe metódy.

Pri porovnávaní semivariogramov vplyv väzby nemá na ich priebeh plošná nerovnomernosť vplyv. Poloha kriviek semivariogramu je veľmi ovplyvnená z akého miesta bol obraz vybraný, teda jeho začiatkom. K zachyteniu väzby tkaniny dochádza. Atlasová a keprová väzba sa prejavuje charakteristickým riadkovaním.

V druhej časti experimentu sú hodnotené obrazy reálnych tkanín. Bolo použitých šesť typov tkanín. Tri so zámerou chybou pruhovitosti v smere osnovy a tri tkaniny rovnomerné bez viditeľnej chyby. Tkaniny boli v troch väzbach a to plátnovej, atlasovej a keprovej. Ich nerovnomernosť bola hodnotená štatistickými funkciemi a to vonkajšími plošnými variačnými krivkami a semivariogrami, ktorá sú graficky zobrazené v experimentálnej časti práce.

U tkanín s horším povrchovým vzhľadom (s pruhovitosťou) je pokles plošnej variačnej krivky pomalší než u tkanín, ktorých vzhľad sa javí rovnomerný. Tento pokles však nie je štatistický významný, pretože intervale spoločlivosti sa prekrývajú. Len u plátnovej väzby je rozdiel štatisticky významný. Z experimentu vyplýva, že vonkajšie plošné variačné krivky nezachytia pruhovitosť tkaniny.

Z priemerných semivariogramov v smere riadkov bola identifikovaná pruhovitosť reálnych obrazov tkaniny s touto zámerou chybou. U obrazov, ktorých vzhľad sa javí ako rovnomerný neboli zaznamenaný priebeh semivariogram, ktorý by naznačoval pruhovitosť. Výslekom práce je tvrdenie, že semivariogrami sú vhodnou štatistickou funkciou na zachytenie periodickej nerovnomernosti plošných textílií prejavujúcej sa pruhovitosťou.

K zachyteniu pruhovosti u semivariogramov vplyv väzby nedochádza, pretože program pracuje s malou plochou tkaniny, na ktorej sa pruhovitosť neprejaví. Záleží z akého miesta bol výrez, ktorý mohol byť na „správnom“ alebo „nesprávnom“ prahu alebo tiež na ich rozhraní. U priemerných semivariogramov vplyv väzby nedošlo k zachyteniu väzby tkaniny, pretože ich priebeh kolíše v závislosti na polohe sledovaného štvorca aj v prípade jednej vzorky tkaniny. K charakteristickému zachyteniu väzby tkaniny dochádza iba u obrazov jednotlivých tkanín.

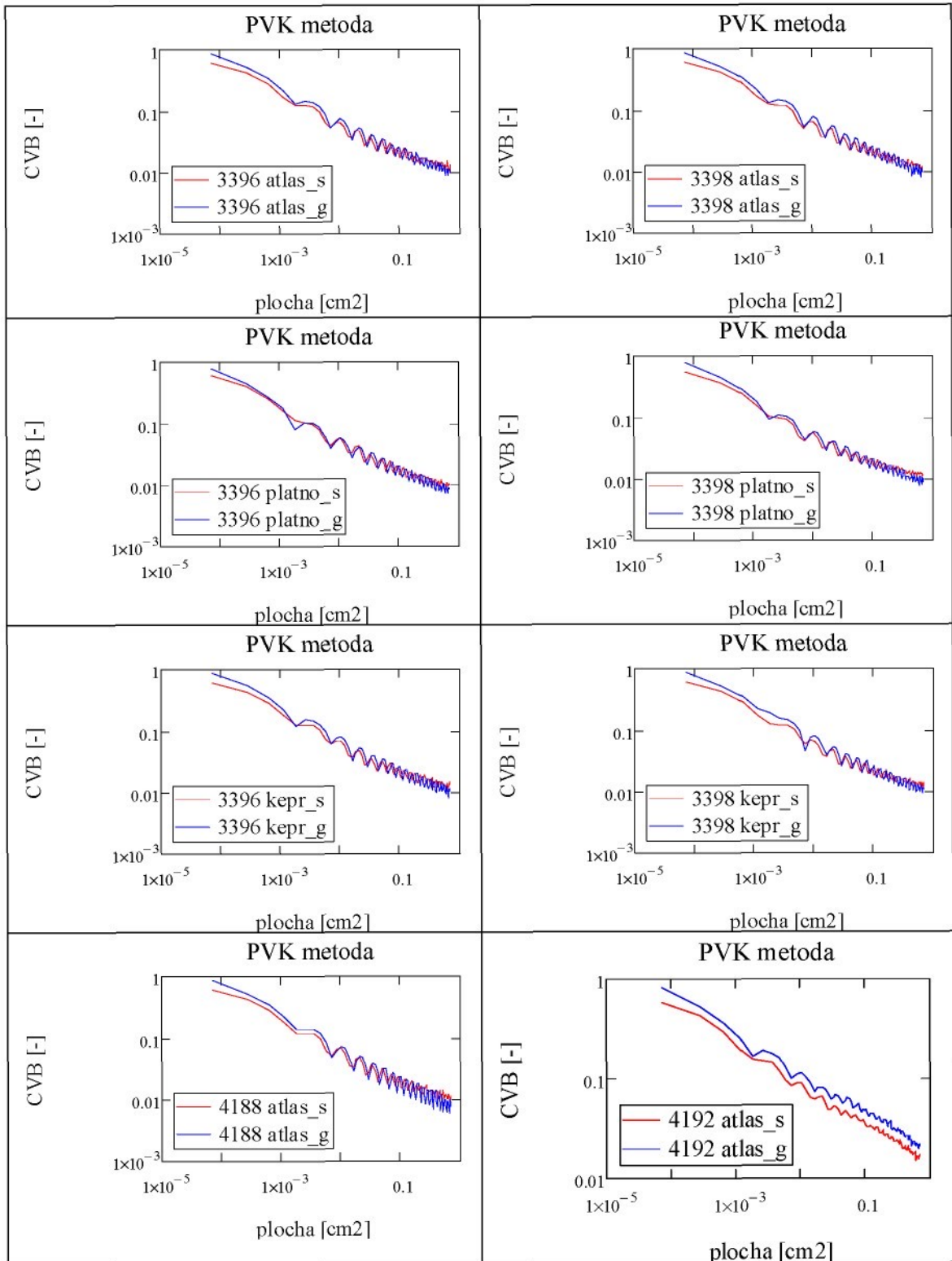
## 4 Použité zdroje

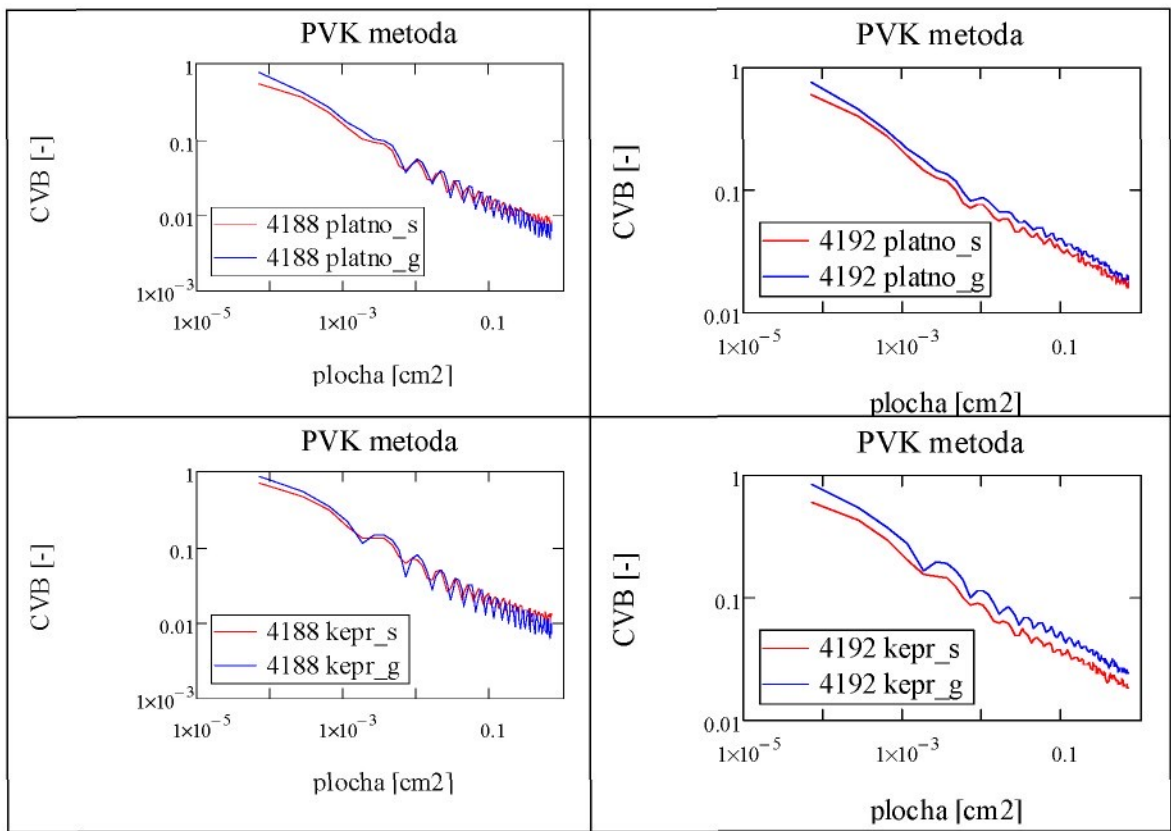
- [1] Ursíny, P.: Předení 1.1 vydání. Technická univerzita v Liberci, 2001, 173 s. ISBN 80-7083-481-1, Kapitola 2.2. Zajišťování stejnoměrnosti vlákenných produktů, s.52-102.
- [2] Kovačič, V.: Zkoušení textilií 2, 74 s. Vystaveno 22.03.2006. Kapitola: Hmotná nestejnoměrnost délkových textilií, str. 15-27, [cit. 2010-04-01] Dostupné z <http://skripta.ft.tul.cz>
- [3] Moučková, E.: Hmotová nestejnoměrnost délkových a plošných textilií, Kapitola: Projev hmotné nestejnoměrnosti příze v plošné textilií, str. 71, Dostupné z <http://skripta.ft.tul.cz>
- [4] Kovář, R.: Struktura a vlastnosti plošných textilií, Technická univerzita v Liberci, 2002., ISBN 80-7083-676-8. Kapitola 4.7. Nestejnoměrnost struktury plošných textilií, s. 81-86
- [5] Ferkl, M.: Nestejnoměrnost příze, [online]. Vystaveno 30.11.2009 [cit. 2009-11-30], Dostupné z: <http://www.usti.cz/vubas/qqm/qqm2/nestejnomernost.htm>
- [6] Ursíny, P., Jirásková, P.: Hmotová nestejnoměrnost plošných textilií a možnosti jejího určování, 9. mezinárodní konference STRUTEX 2002, TU Liberec str.247-254
- [7] Dostalová, M., Křivánková, M.: Základy textilní a oděvní výroby, Technická univerzita v Liberci, 2001., ISBN 80-7083-504-4. Kapitola 3. Tkaní, s. 43-52
- [8] Linka, A., Wolf, P.: Hodnocení nestejnoměrnosti textilních materiálů na základě statistické analýzy obrazu, 6. národní konference STRUTEX 1999, ISBN 80-7083-371-8, Liberec, Technická univerzita v Liberci str.339-345
- [9] Linka, A., Wolf, P.: Statistické metody pro hodnocení homogenity textilních materiálů, ROBUST 2000 str.164-175, 2001
- [10] Jirásková, P., Moučková, E.: Metodika zjišťování nestejnoměrnosti obrazu tkanin, Interní norma, FT-TUL, 2009
- [11] Jirásková, P., Moučková, E.: Manuál k programu „Norma\_nestejnomernost\_tkaniny.m“, FT-TUL, 2009
- [12] Horák, J.: Prostorová anaylyza dat, Vystaveno 08.12.2002, Kapitola 4.: Geostatistické metody pro kontinuální pole [cit. 2010-04-16], Dostupné z [http://gis.vsb.cz/pad/Kap\\_4/kap\\_4.htm](http://gis.vsb.cz/pad/Kap_4/kap_4.htm)
- [13] Spurná, P.: Prostorová autokorelace – všudy přítomný jev při analýze prostorových dat, Přírodovědecka fakulta Univerzity Karlovy, Praha 2008 [cit. 2010-03-13], dostupné [http://sreview.soc.cas.cz/uploads/6097969a40937f30519a0d976493521f0469993b\\_516\\_2008-4Spurna.pdf](http://sreview.soc.cas.cz/uploads/6097969a40937f30519a0d976493521f0469993b_516_2008-4Spurna.pdf)
- [14] Militký, J.; Rubnerová, J.; Klička, V.: Prostorová statistika a nestejnoměrnost plošné hmotnosti netkaných textilií, Sborník 7. národní konference STRUTEX 2000, Liberec, ISBN 80-7083-442-0, Liberec, December 2000, Technical University of Liberec, str. 199 –203
- [15] Moučková, E., Jirásková, P., Janoušek, J.: Pvrchová nestejnoměrnost tkanin 2007 Liberec

- [16] Suh, M.W.: A electronic Imagining of Fabric Qualities by on-line yarn data, Available from <http://www.ntcresearch.org/pdf-rpts/Bref0602/S01-NS12-02.pdf>. Accessed: 2008-02-01
- [17] Ursíny, P., Jirásková, P.: Struktura hmotové nestejnoměrnosti bavlnářských přízí a povrchový vzhled plošné textilie, STRUTEX 2001, TU Liberec, str.95-99
- [18] Ursíny, P., Jirásková, P.: Souvislost mezi hmotovou nestejnoměrností délkových a plošných textilií, STRUTEX 2000, str.121-125
- [19] Militký, J.; Rubnerová, J.; Klička, V.: Vyjádření plošné nestejnoměrnosti netkaných textilií, Sborník 6. národní konference STRUTEX 1999, Liberec, ISBN 80-7083-371-8, Liberec, Technická univerzita v Liberci, str. 193 –199,
- [20] Militký, J.: Pravděpodobnostní model nestejnoměrnosti netkaných textilií, Sborník 7. národní konference STRUTEX 2000, Liberec, ISBN 80-7083-371-8, Liberec, Technická univerzita v Liberci str. 193 –198

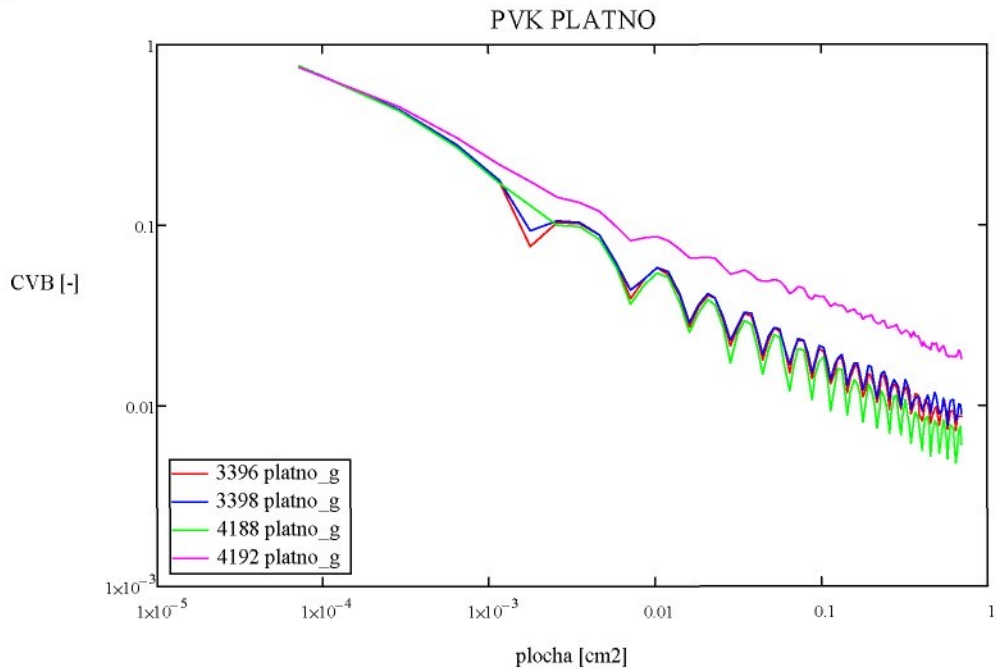
## 5 Prílohy

### 5.1 Plošné vonkajšie variačné krivky nasimulovaná tkanina

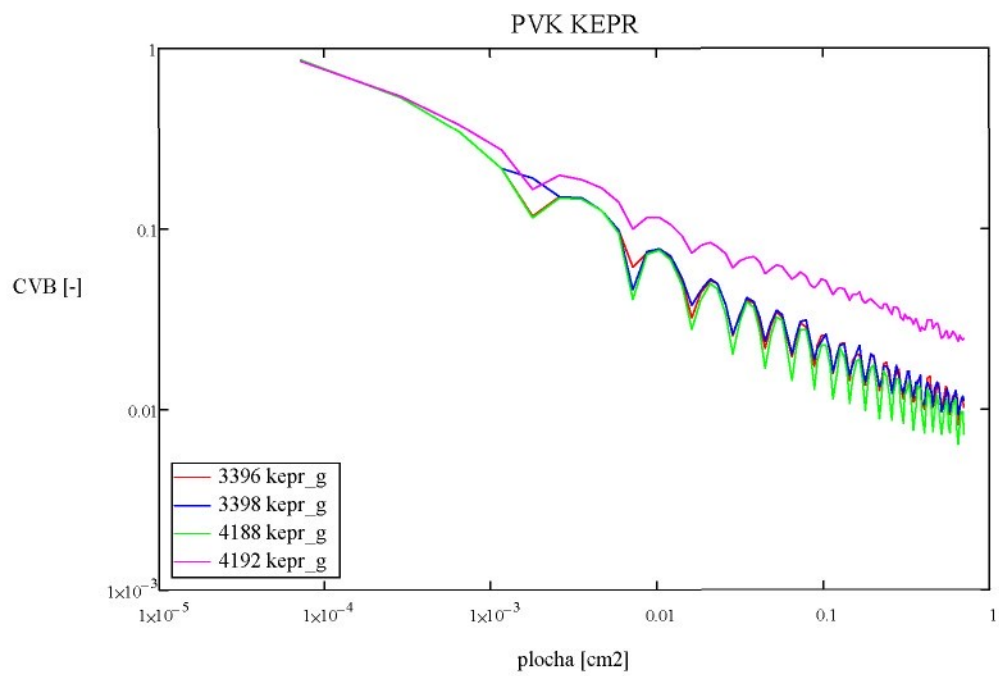




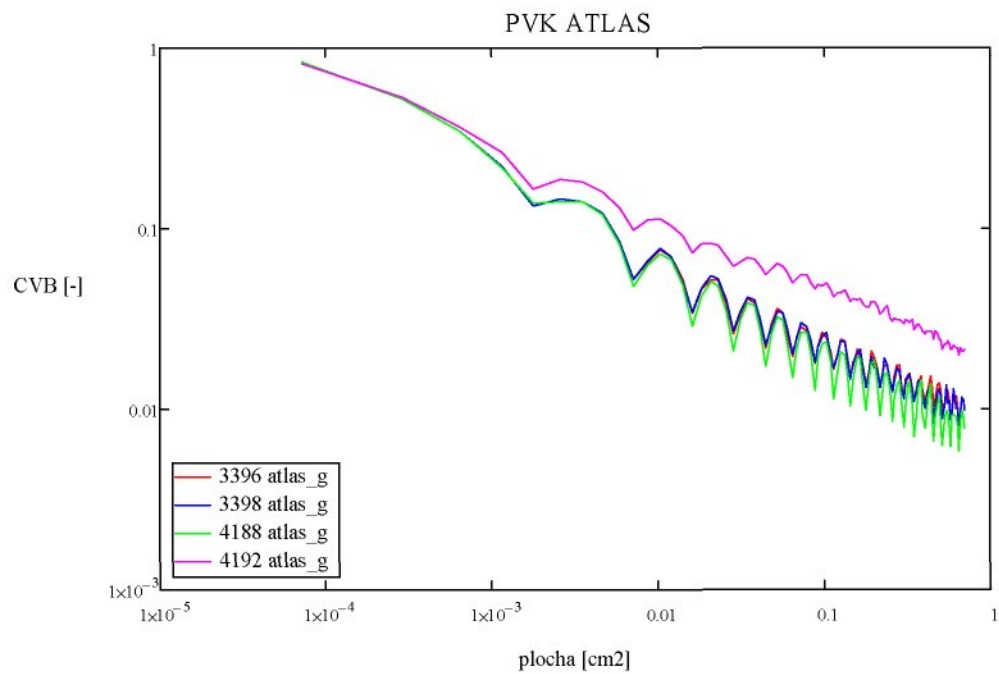
Obrázok 41: Vonkajšie plošné variačné krivky nasimulovaného obrazu tkaniny porovnanie metód sken a gimp.



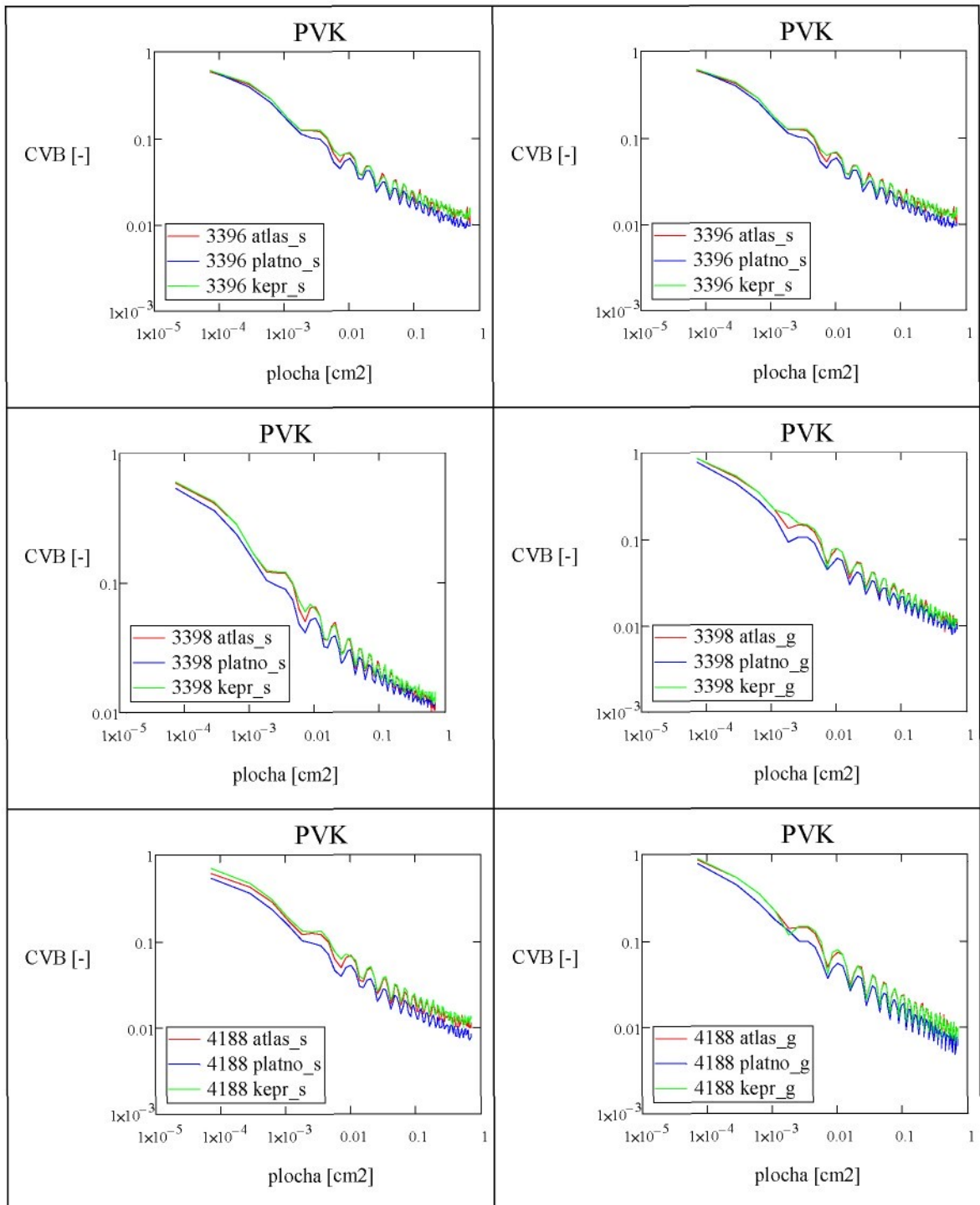
Obrázok 42: Vonkajšie plošné variačné krivky nasimulovaného obrazu tkaniny väzby plátnovej získané metódou gimp.

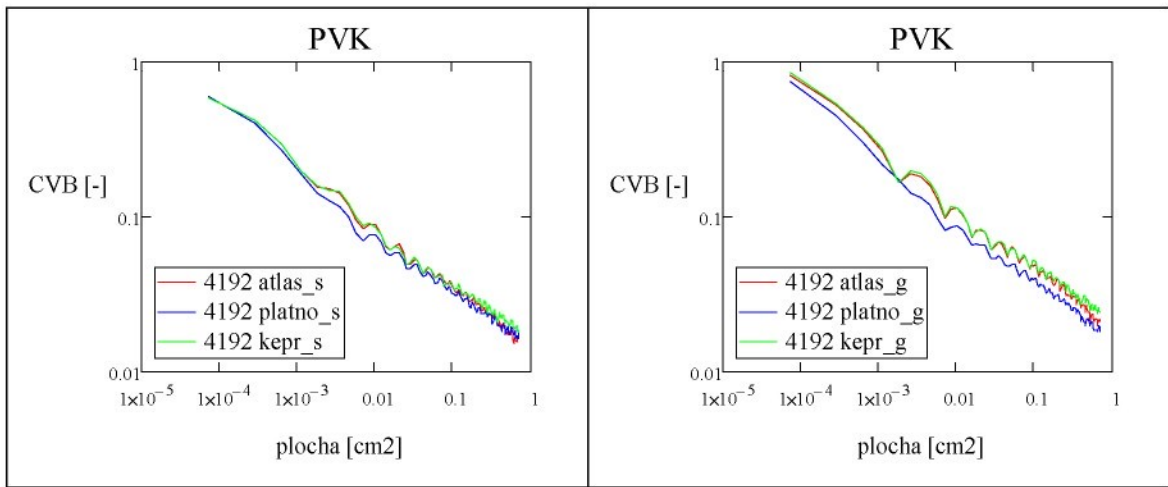


Obrázok 43: Vonkajšie plošné variačné krivky nasimulovaného obrazu tkaniny väzby keprovej získané metódou gimp.



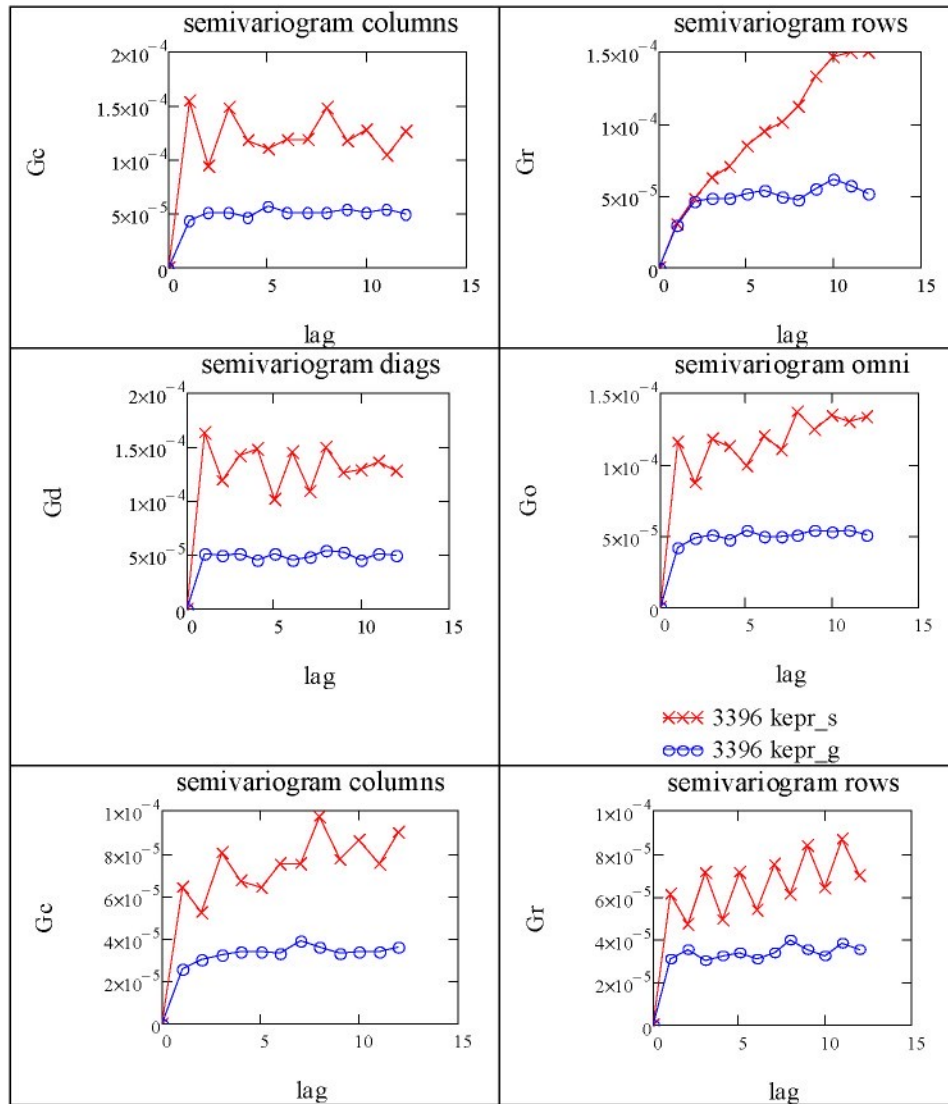
Obrázok 44: Vonkajšie plošné variačné krivky nasimulovaného obrazu tkaniny väzby atlasovej získané metódou gimp.

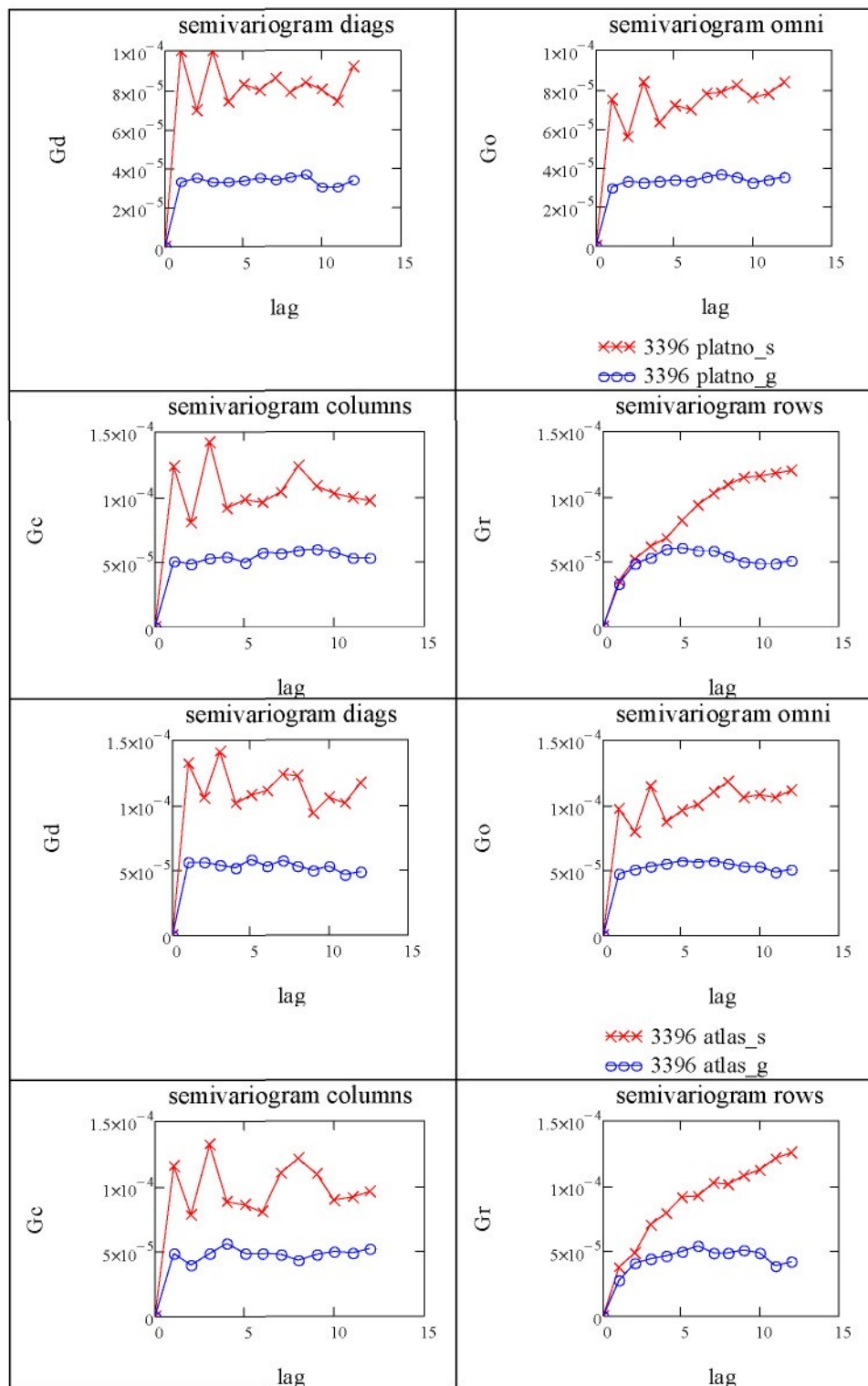


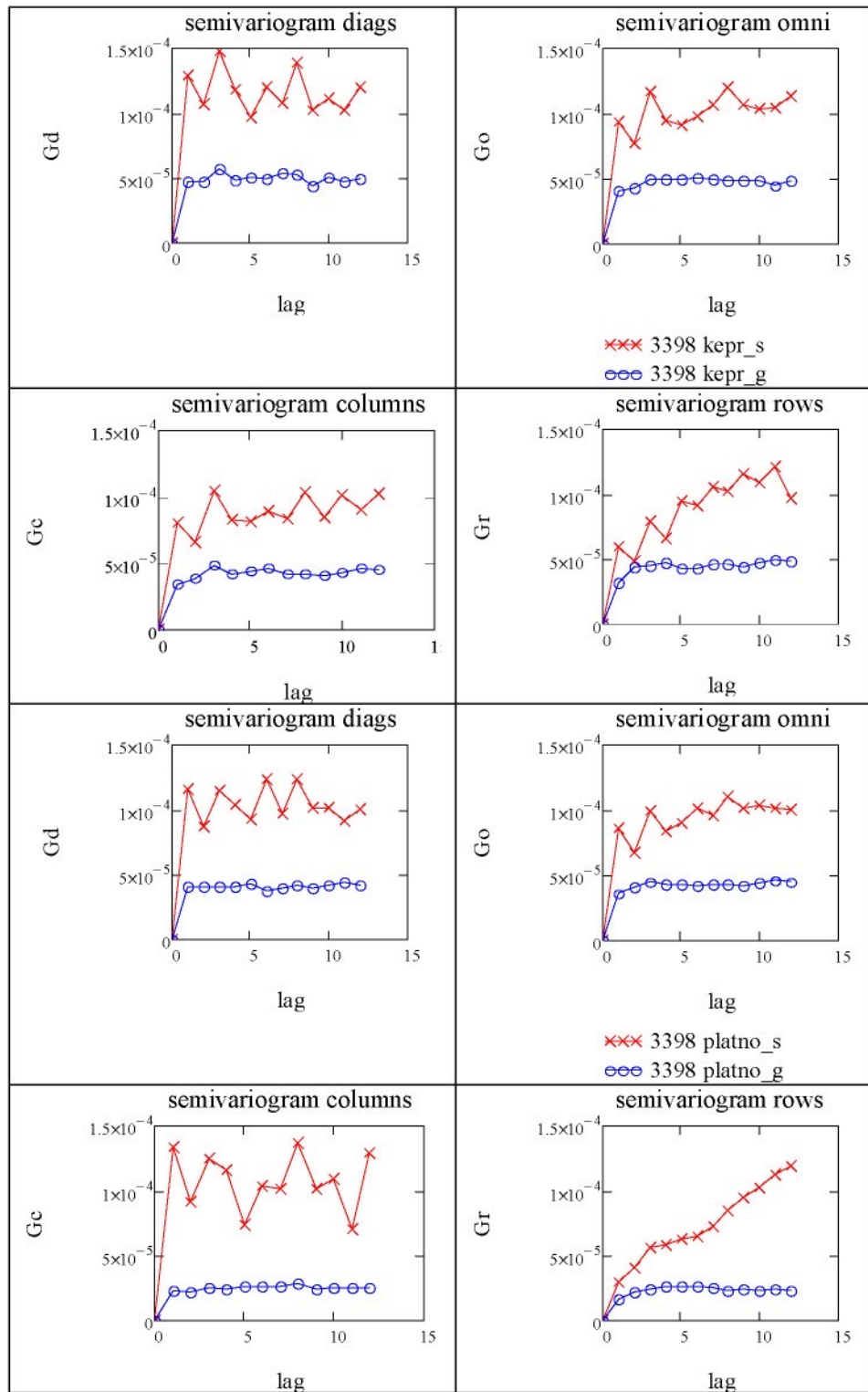


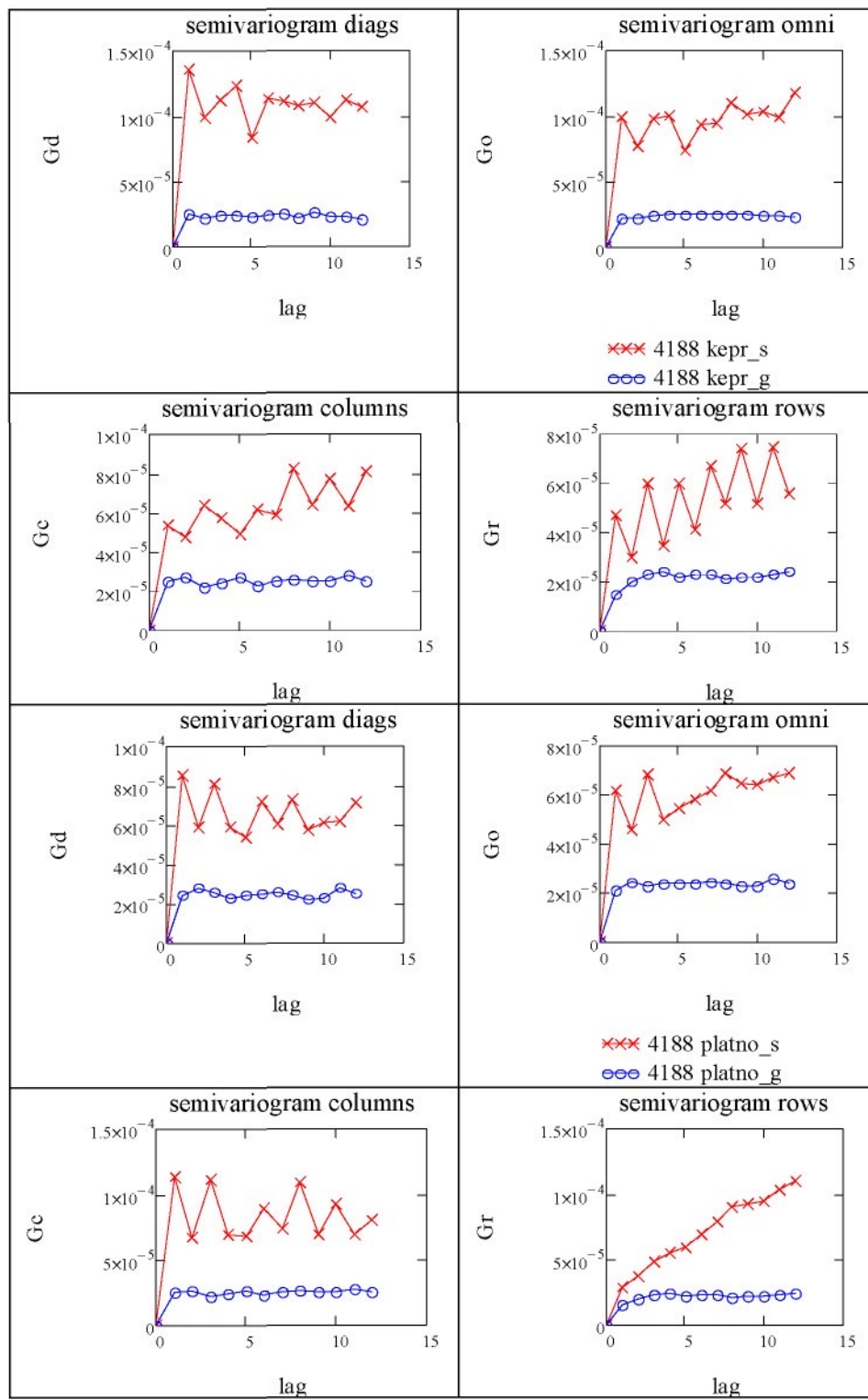
Obrázok 45: Vonkajšie plošné variačné krivky nasimulovaného obrazu tkaniny – porovnanie väzieb samostatne pre metódu sken a gimp.

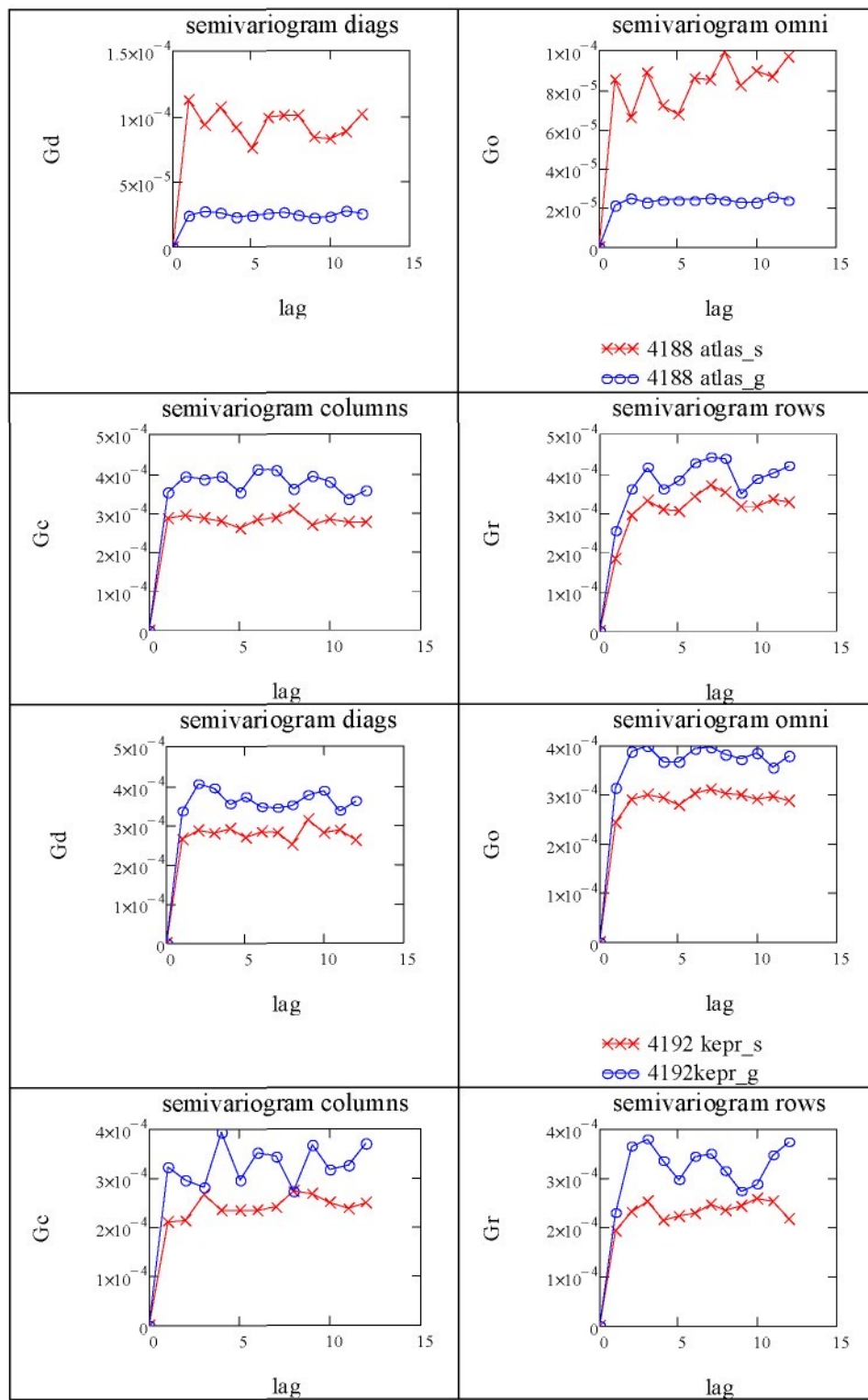
## 5.2 Semivariogram nasimulovaná tkanina

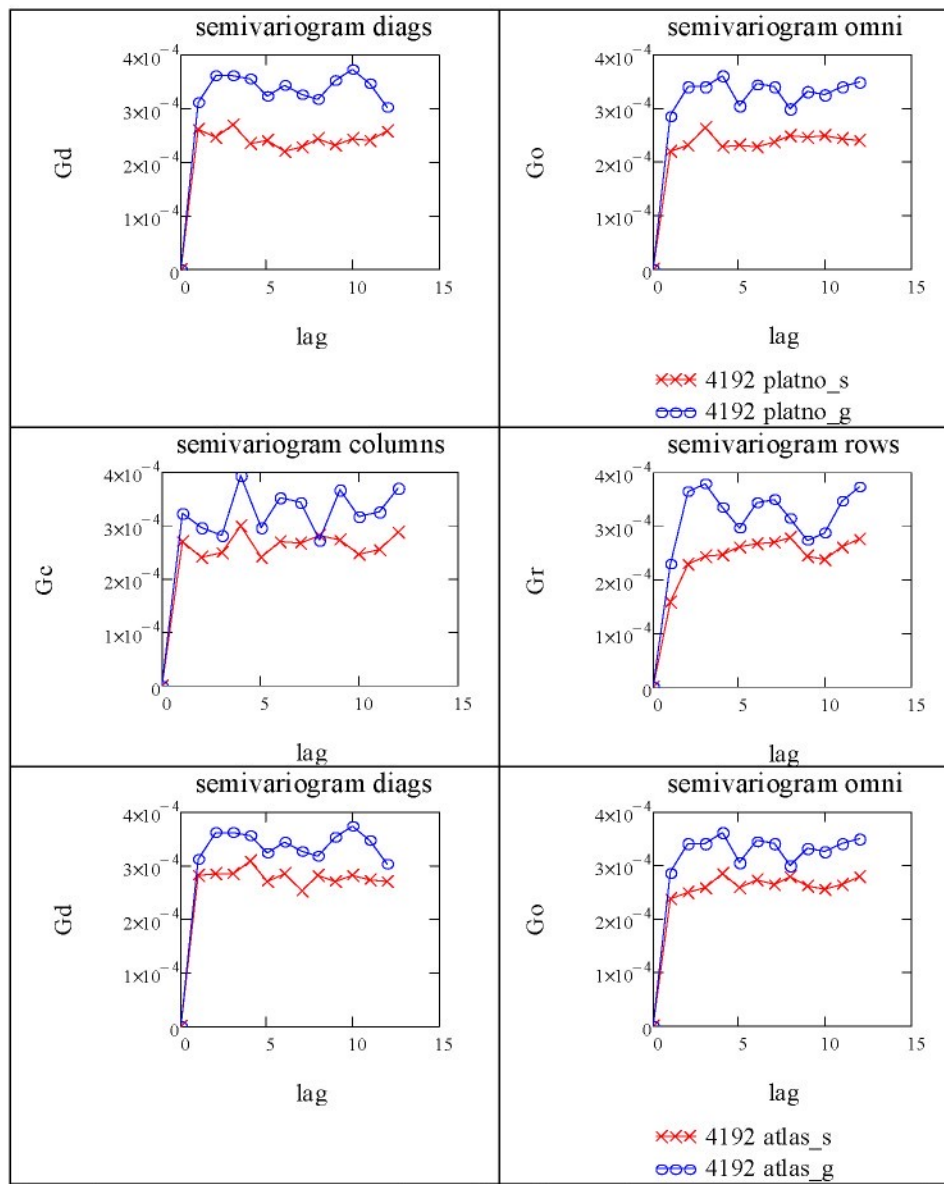




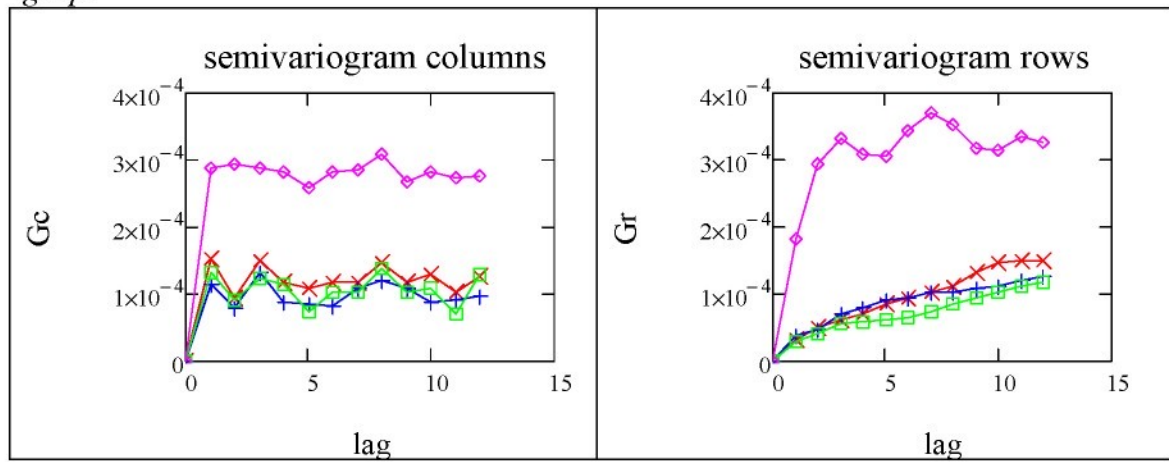


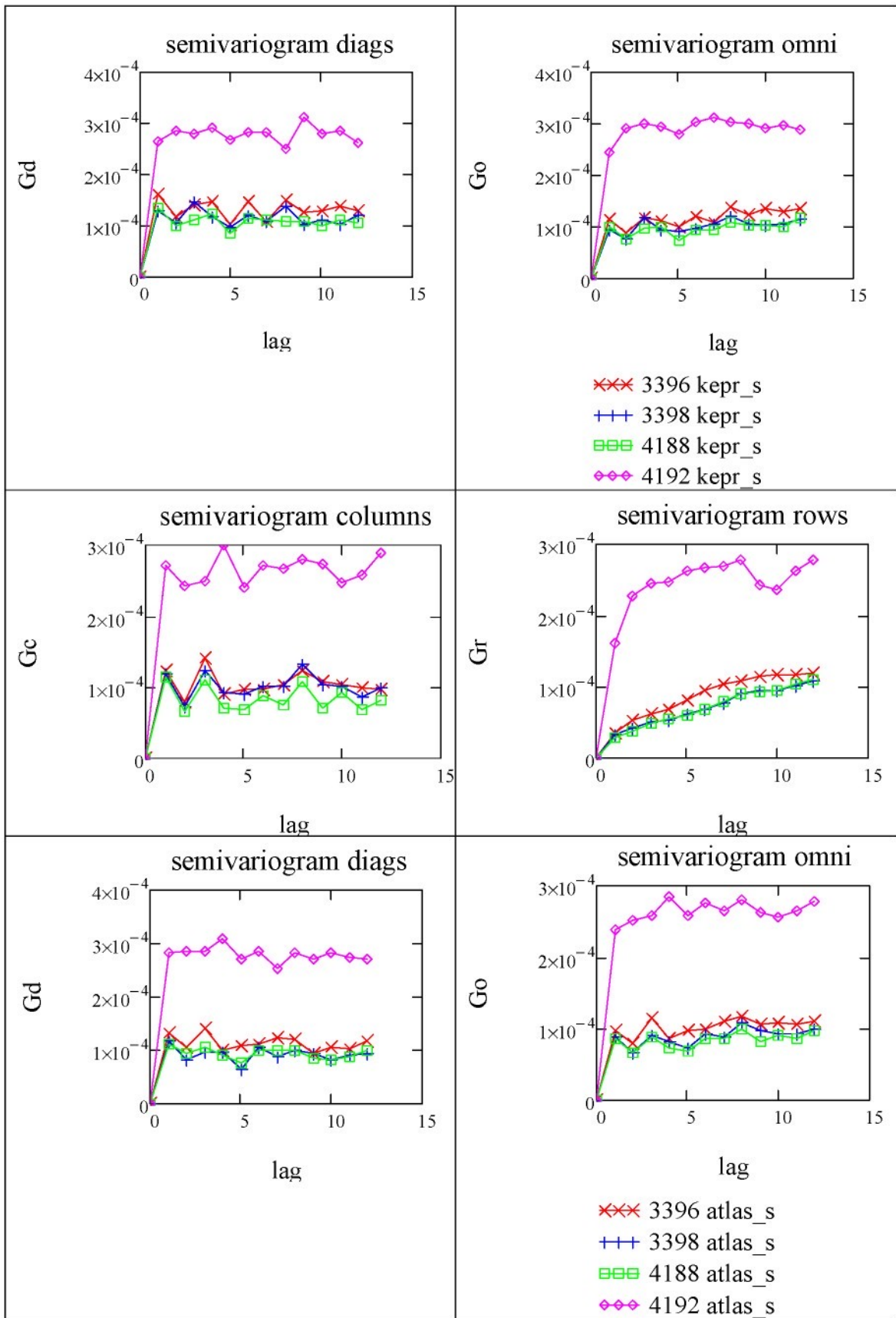


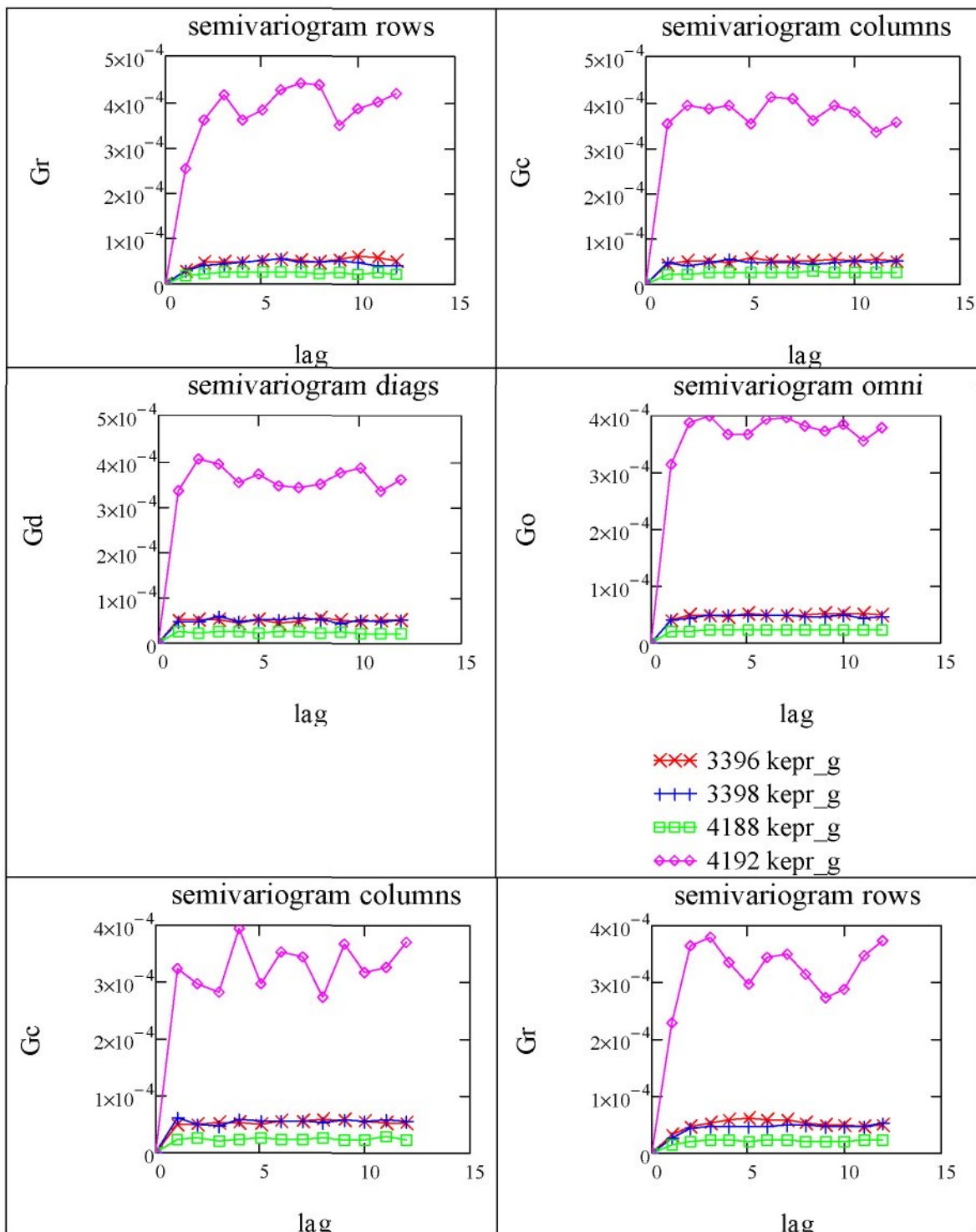


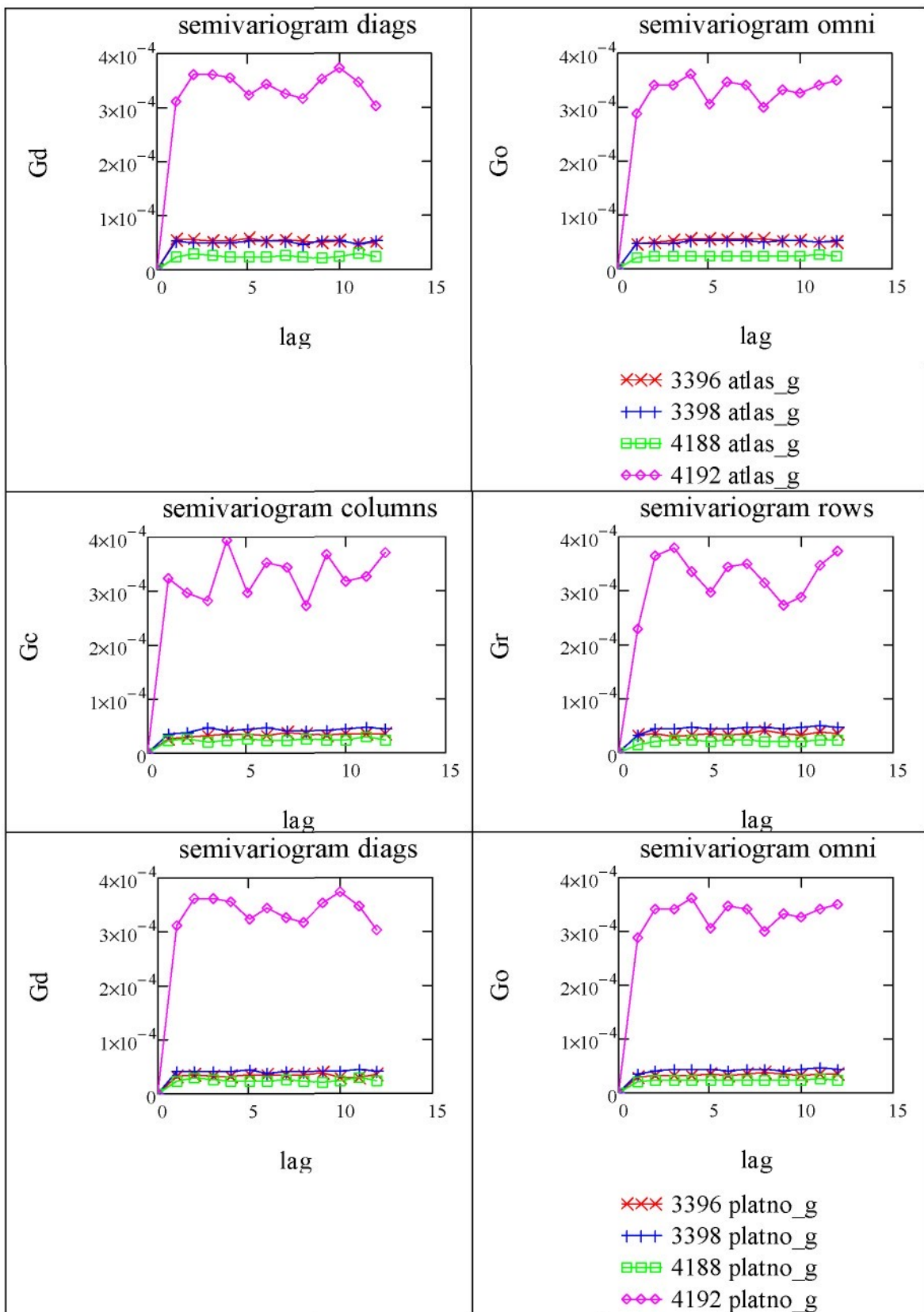


Obrázok 46: Semivariogrami nasimulovaného obrazu tkaniny porovnanie metód sken a gimp.

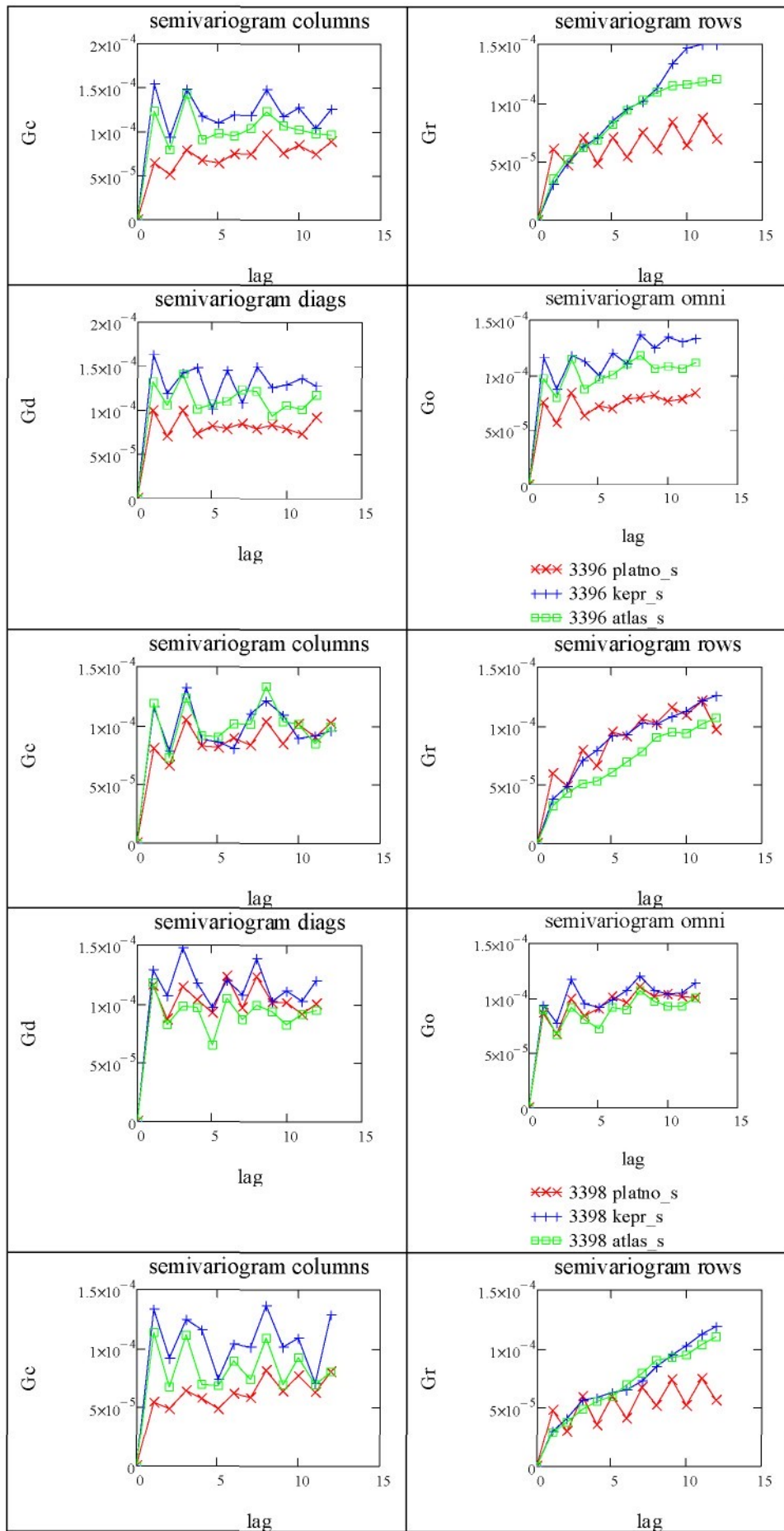


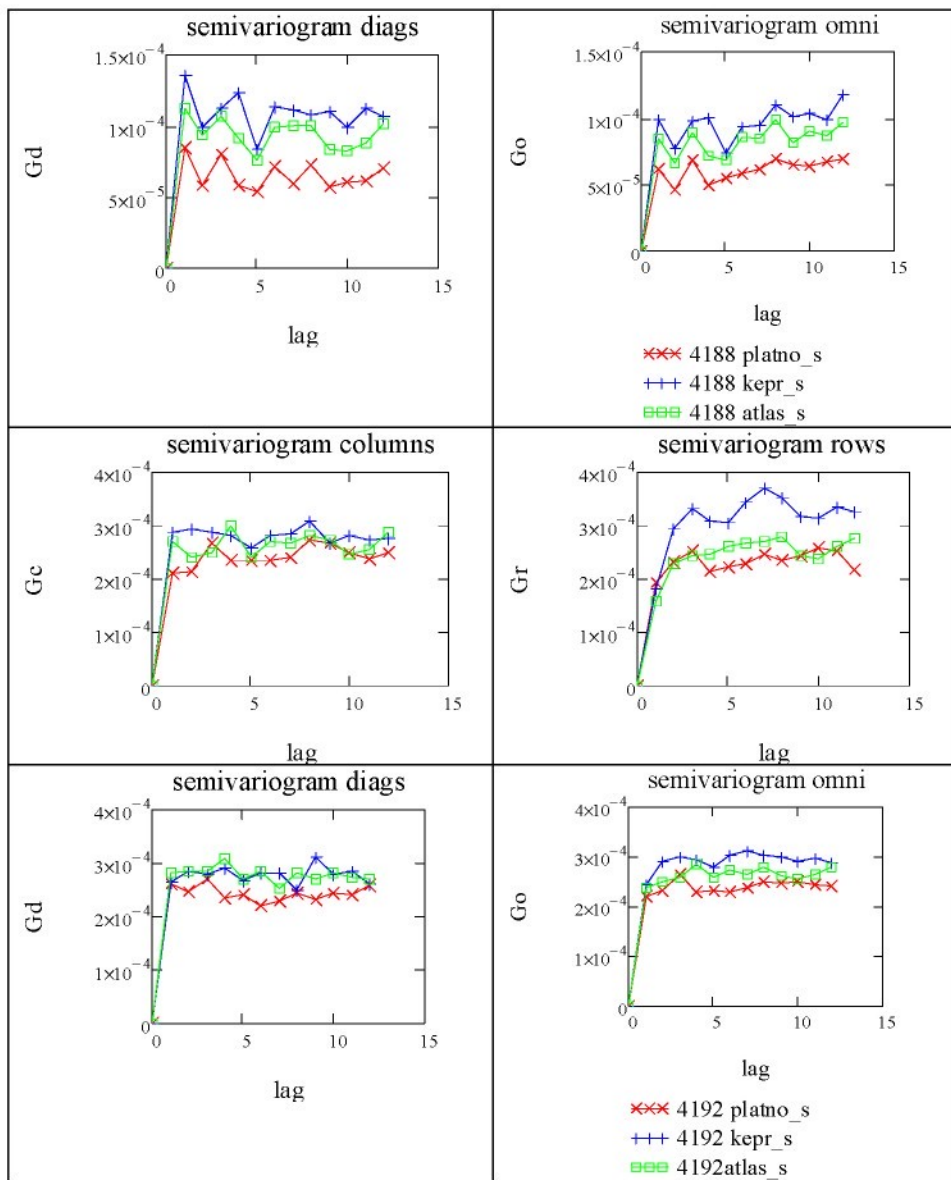




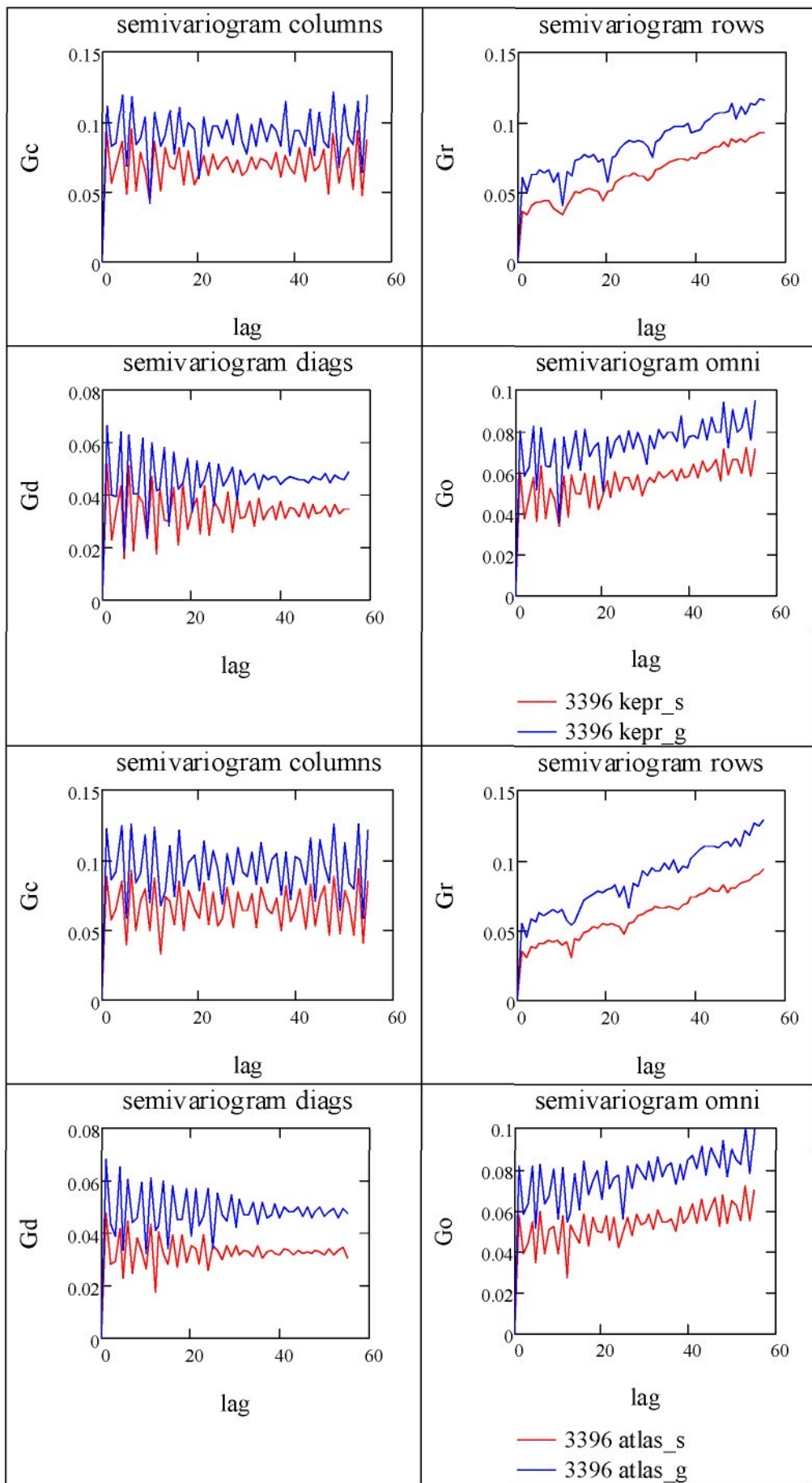


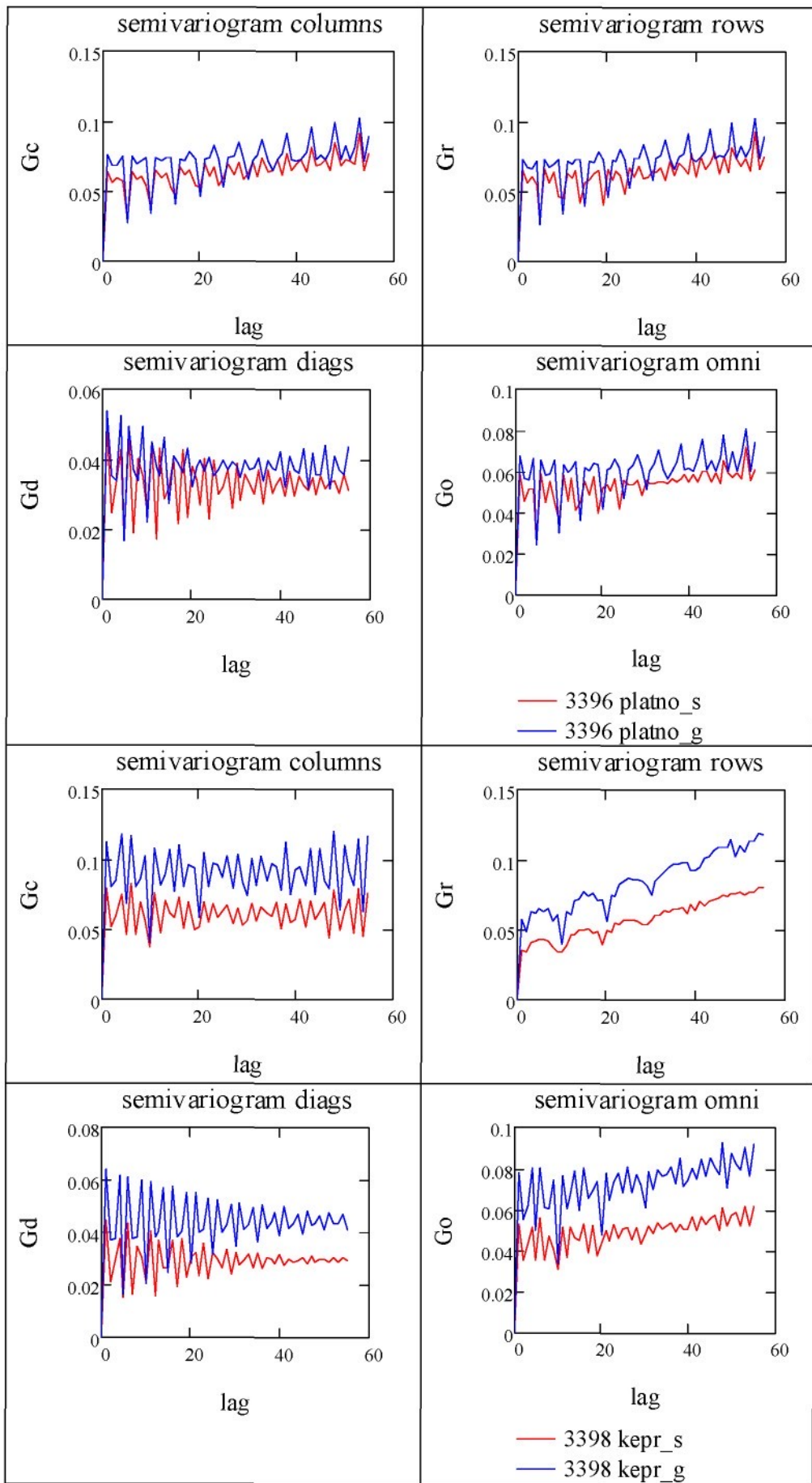
Obrázok 47: Priebeh semivariogramov v smere stĺpcov, riadkov, diagonálnom a priemerný (omni) pre nasimulované obrazy tkanín s rôznou nerovnomernosťou priadze Použitá metóda gimp.

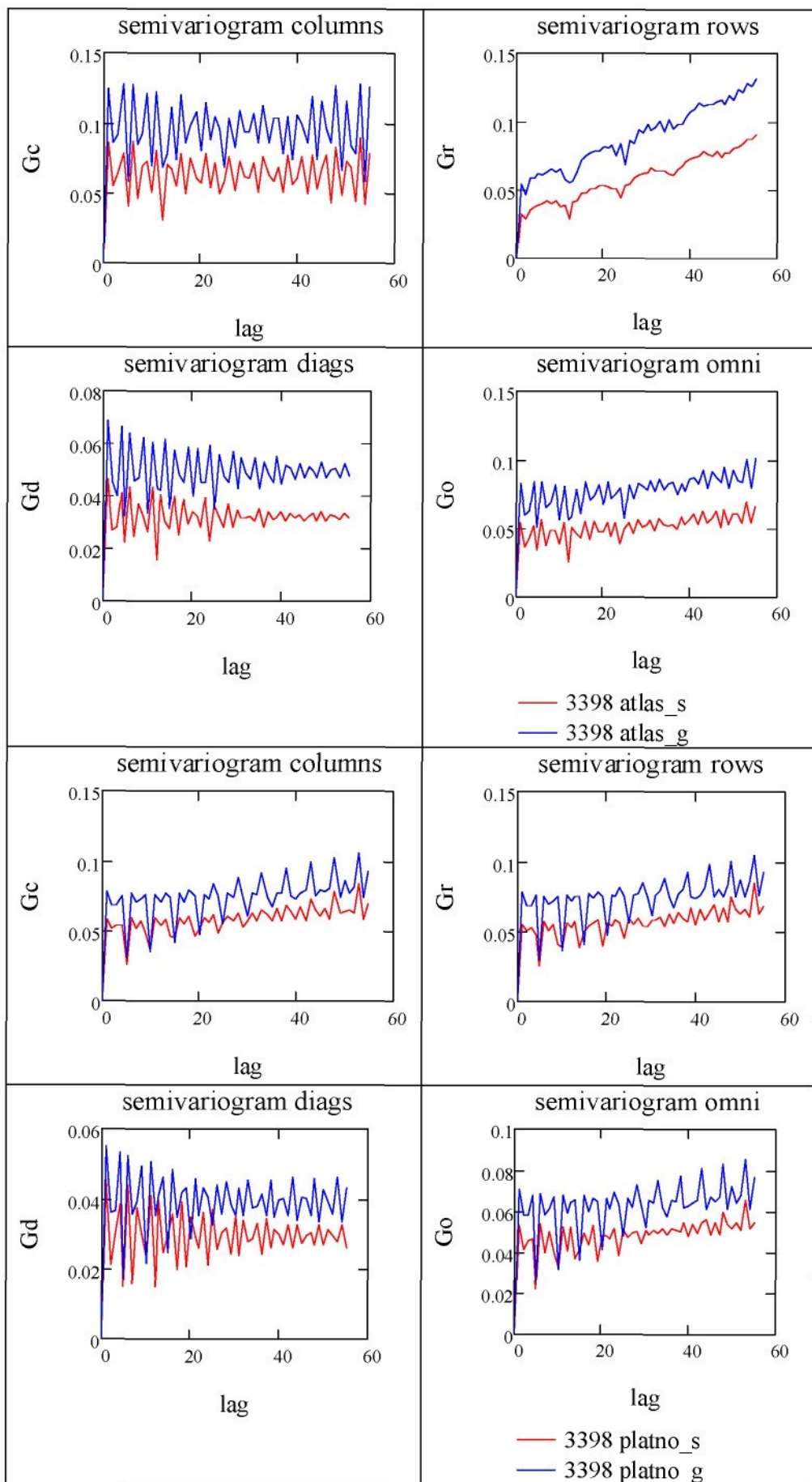


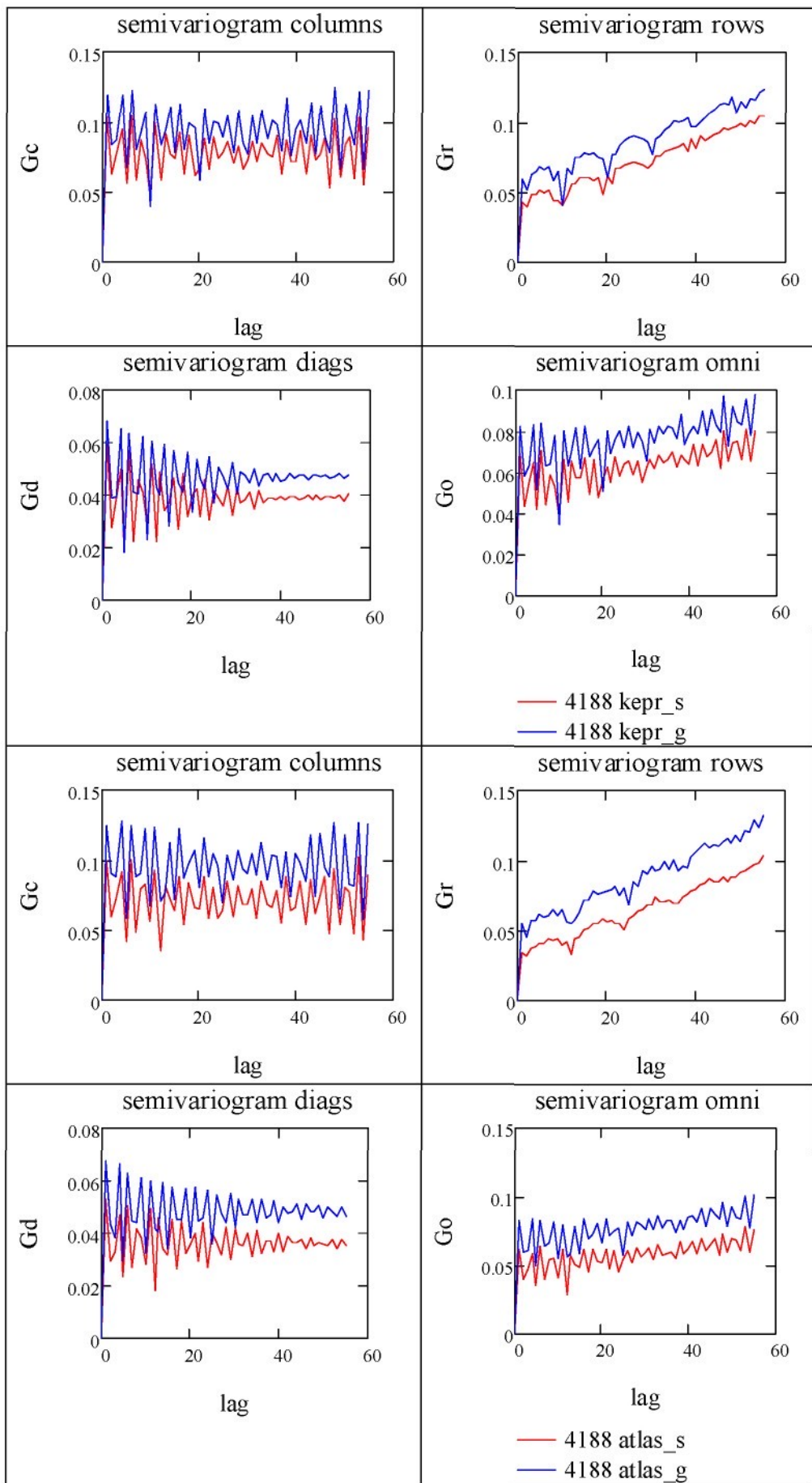


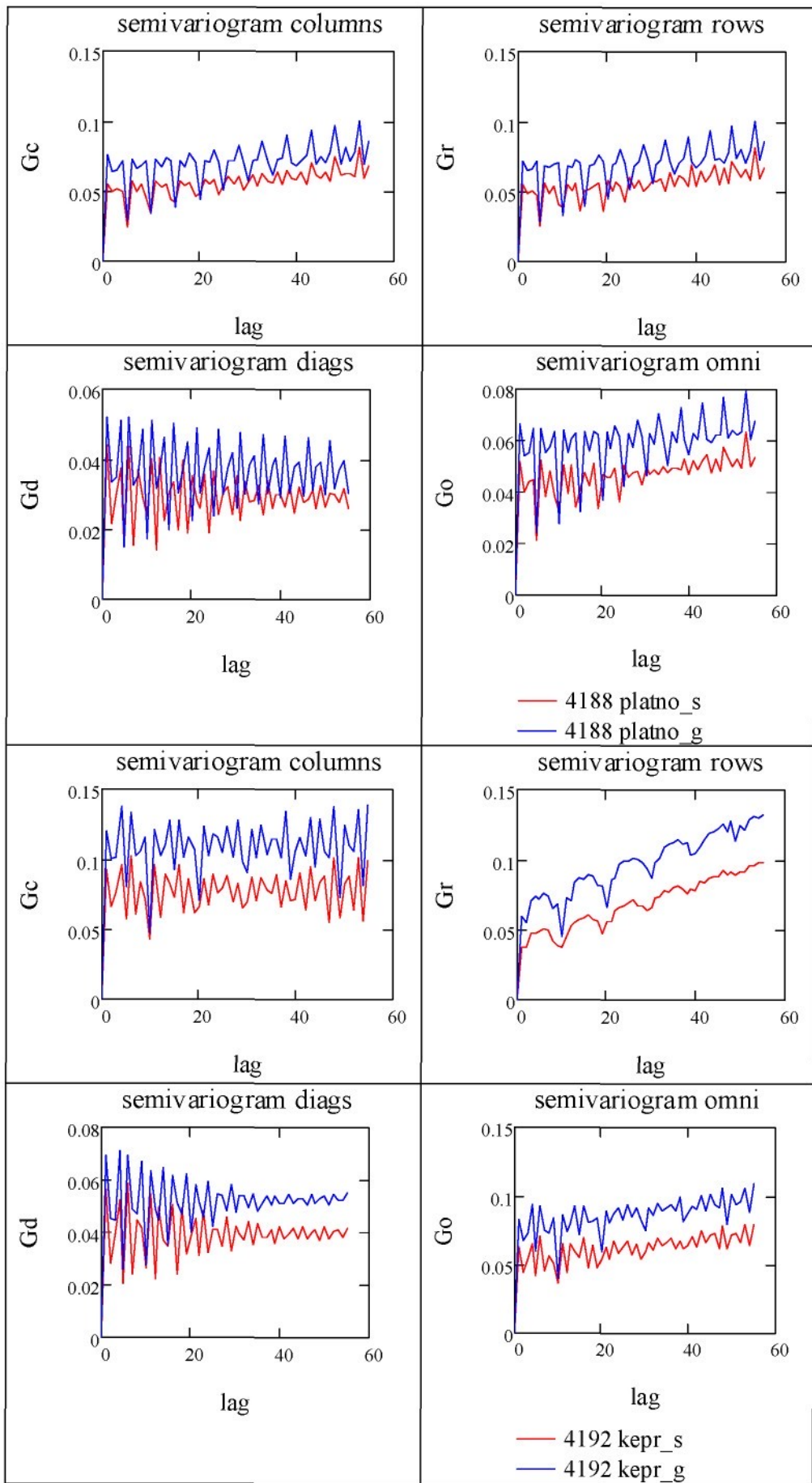
Obrázok 48: Priebeh semivariogramov v smere súlpov, riadkov, diagonálnom a priemerný (omni) pre nasimulované obrazy tkanín – porovnanie väzby plátnovej, keprovej a atlasovej. Použitá metóda sken.

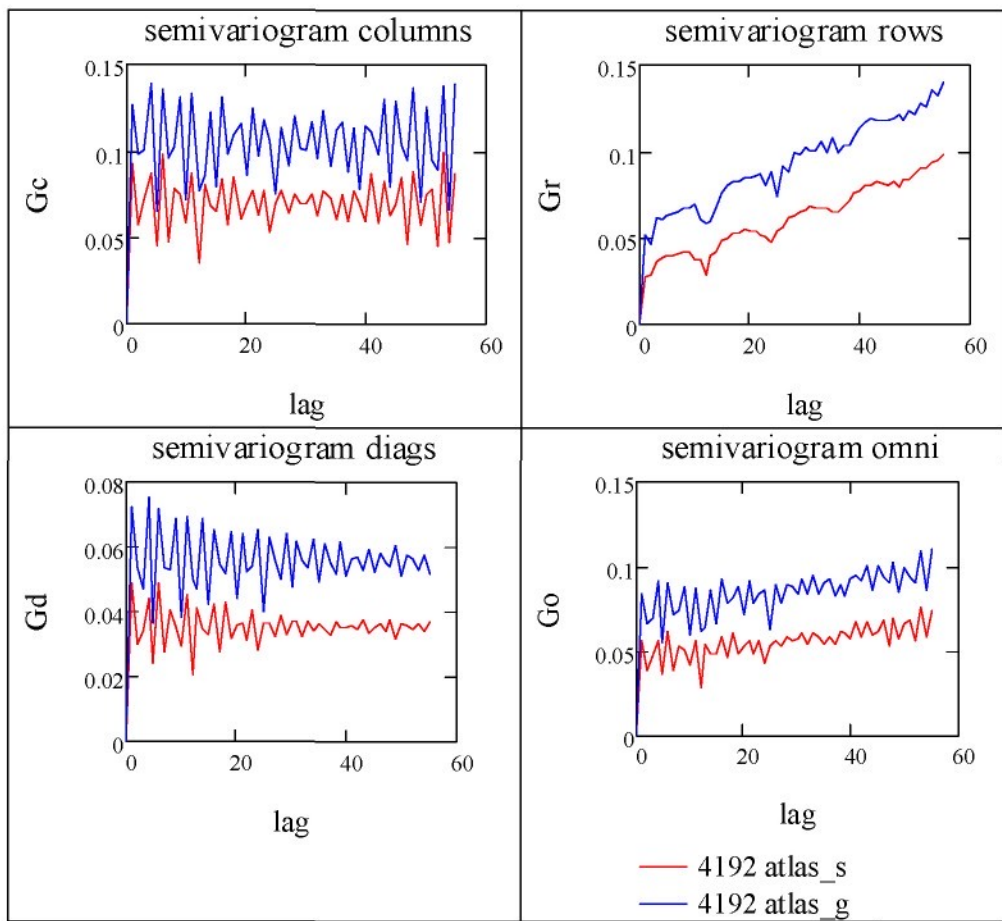




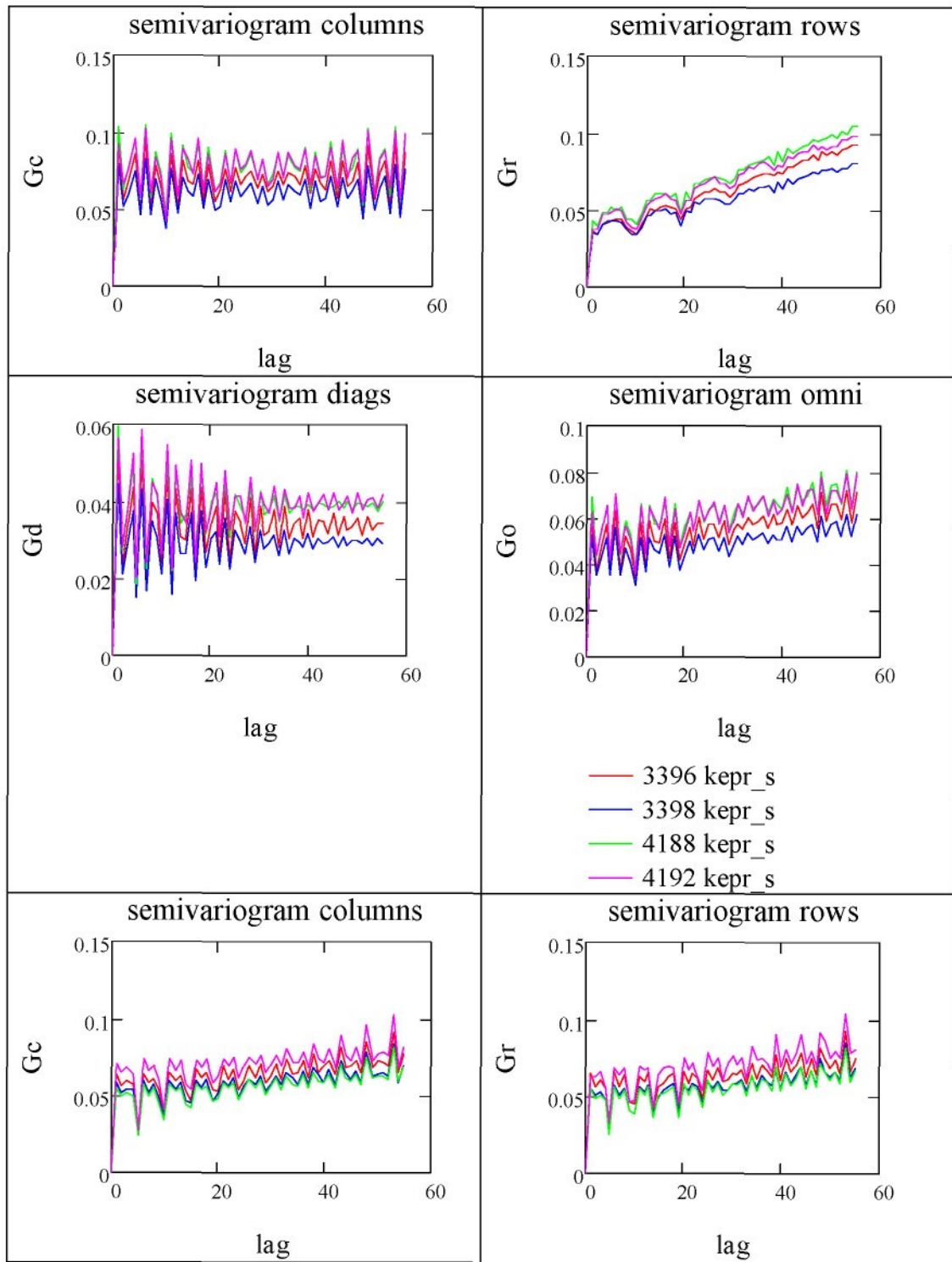


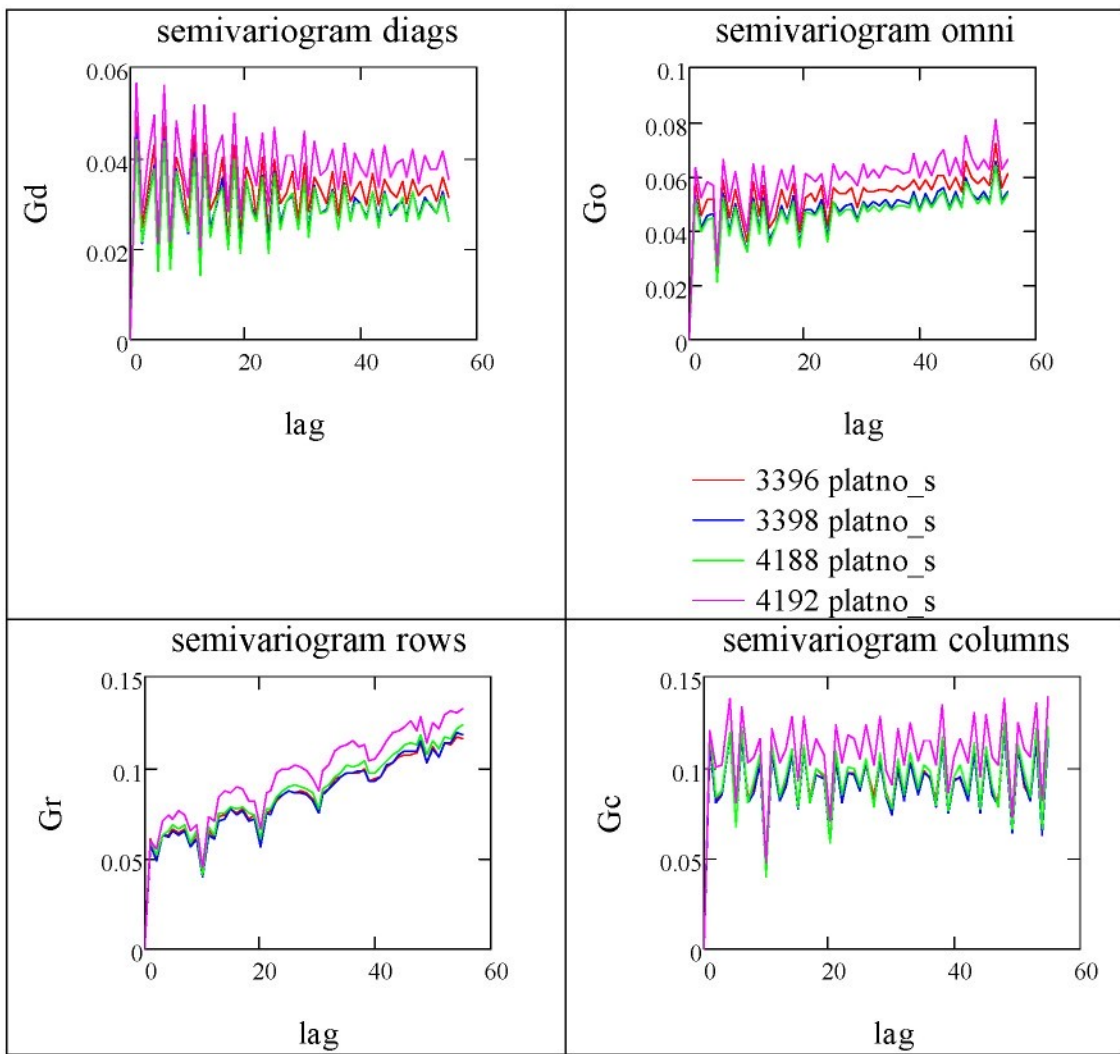


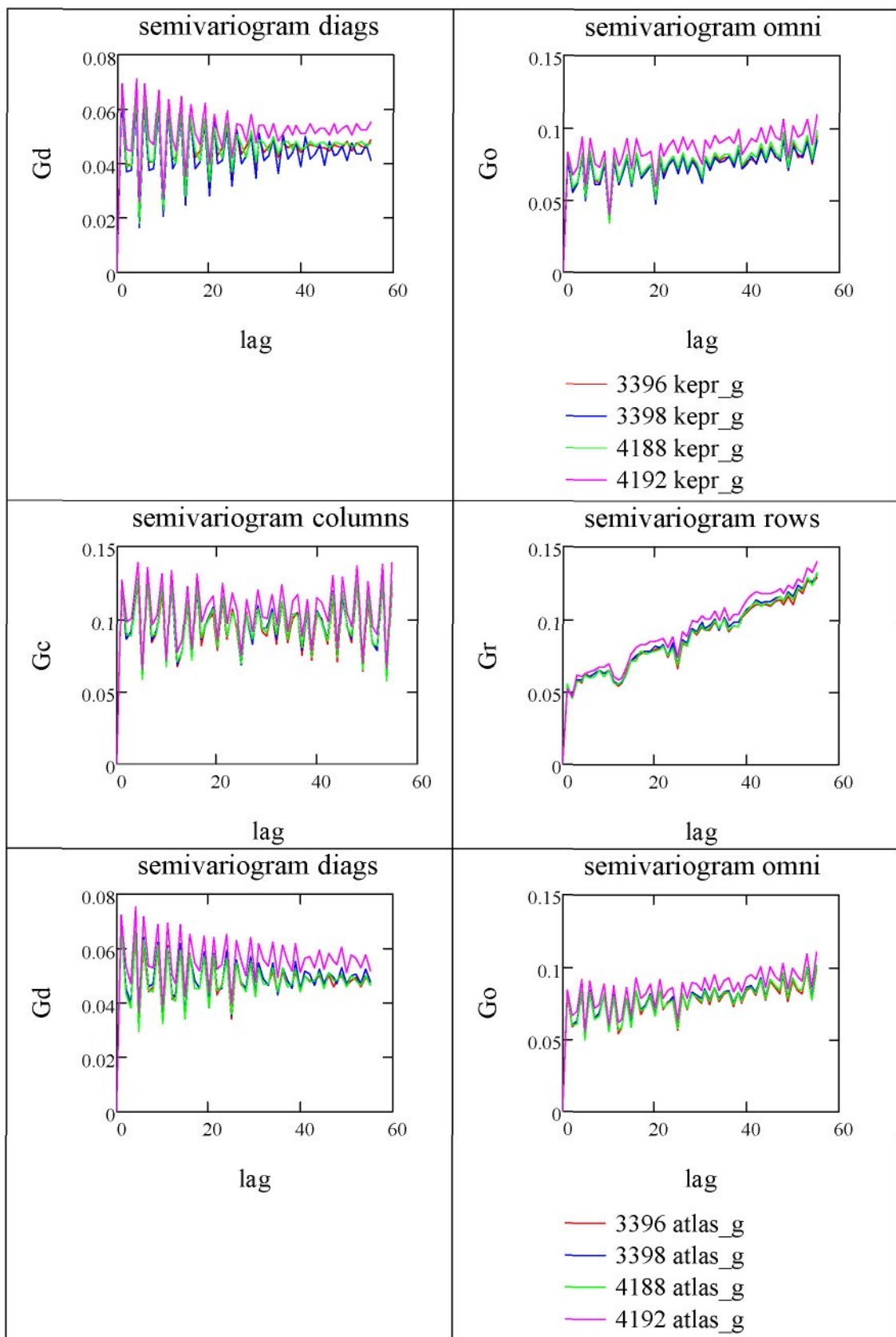


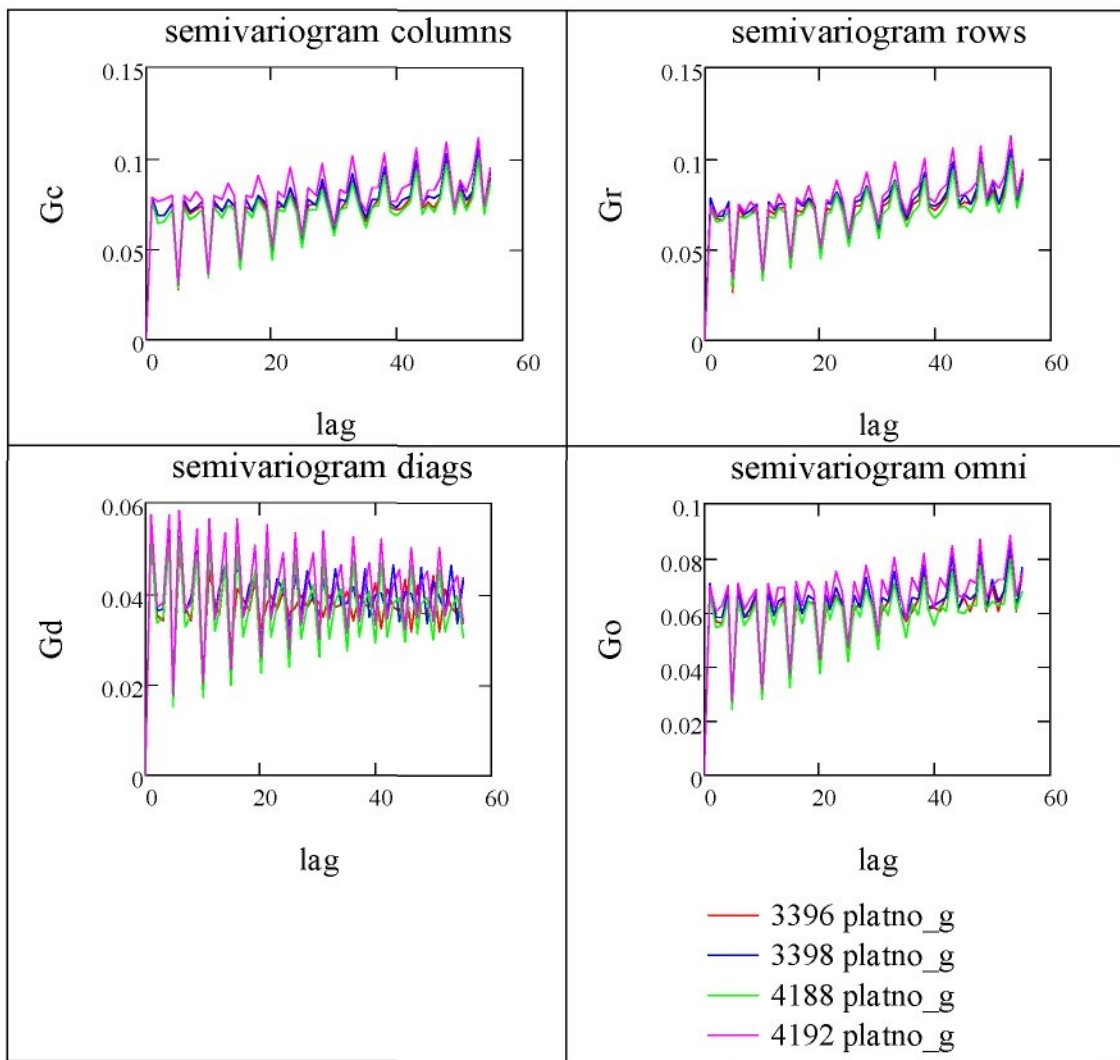


Obrázok 49: Priebeh semivariogramov vplyv väzby v smere stĺpcov, riadkov, diagonálnom a priemerný (omni) pre nasimulované obraz tkaniny porovnanie metód sken a gimp.

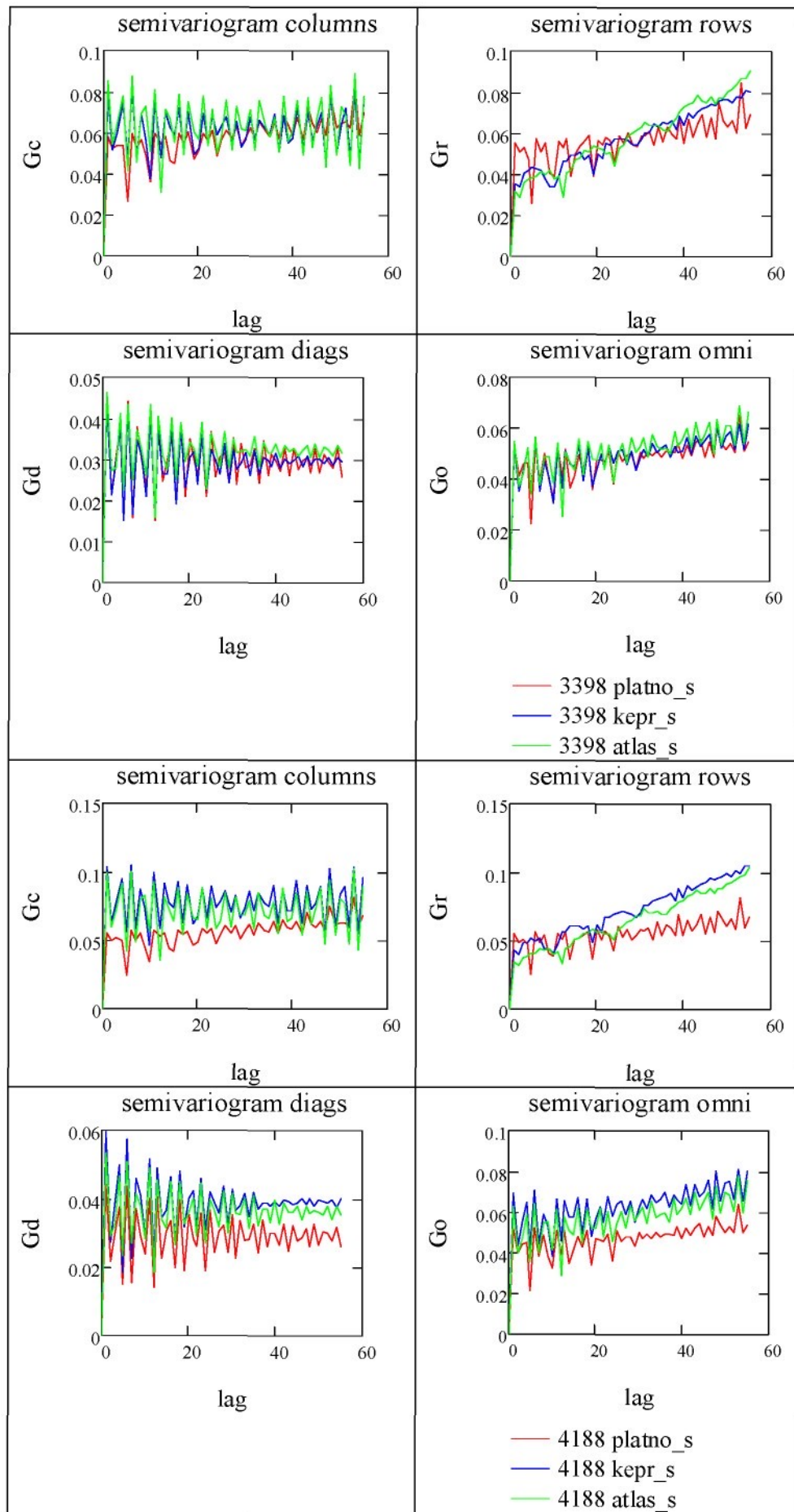


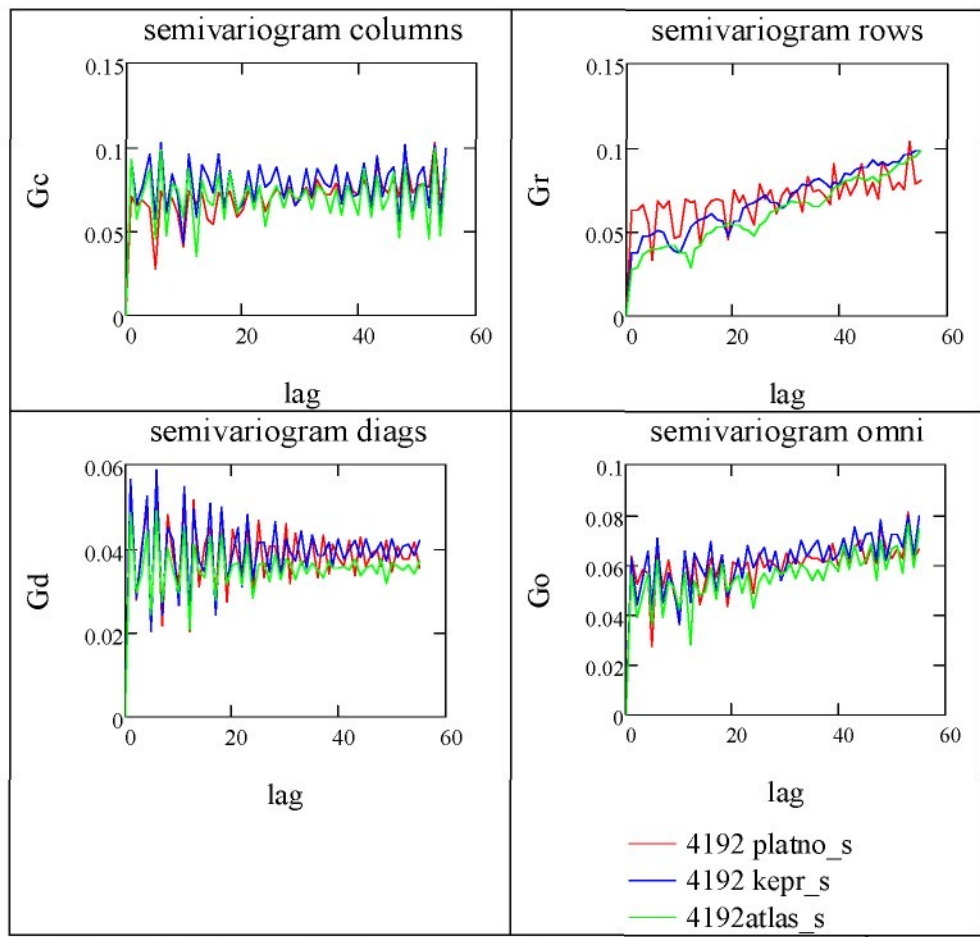






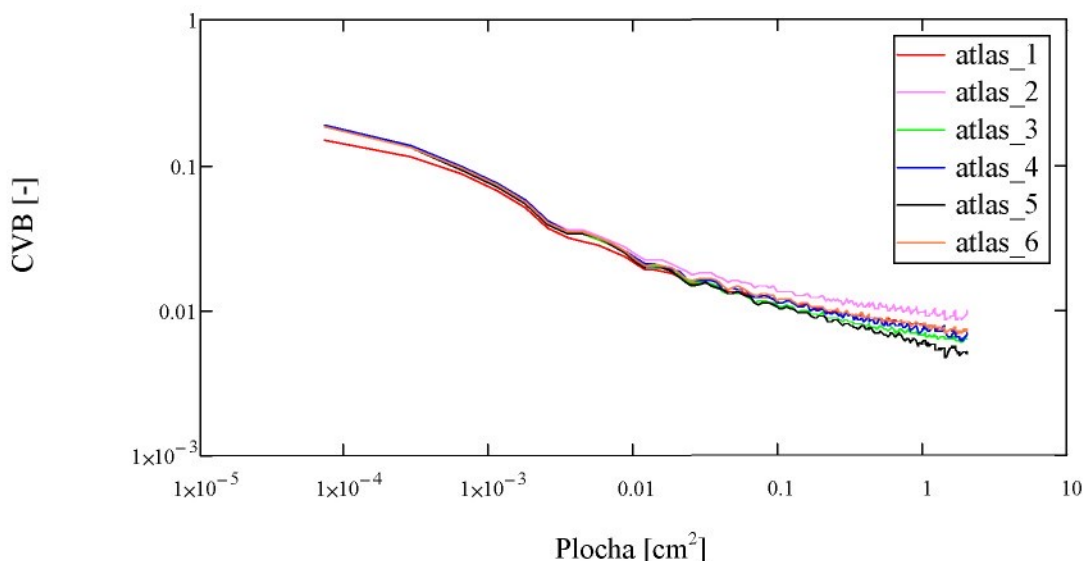
Obrázok 50: Priebeh semivariogramov vplyv väzby v smere stĺpcov, riadkov, diagonálnom a priemerný (omni) pre nasimulované obrazy tkanín s rôznou nerovnomernosťou priadze



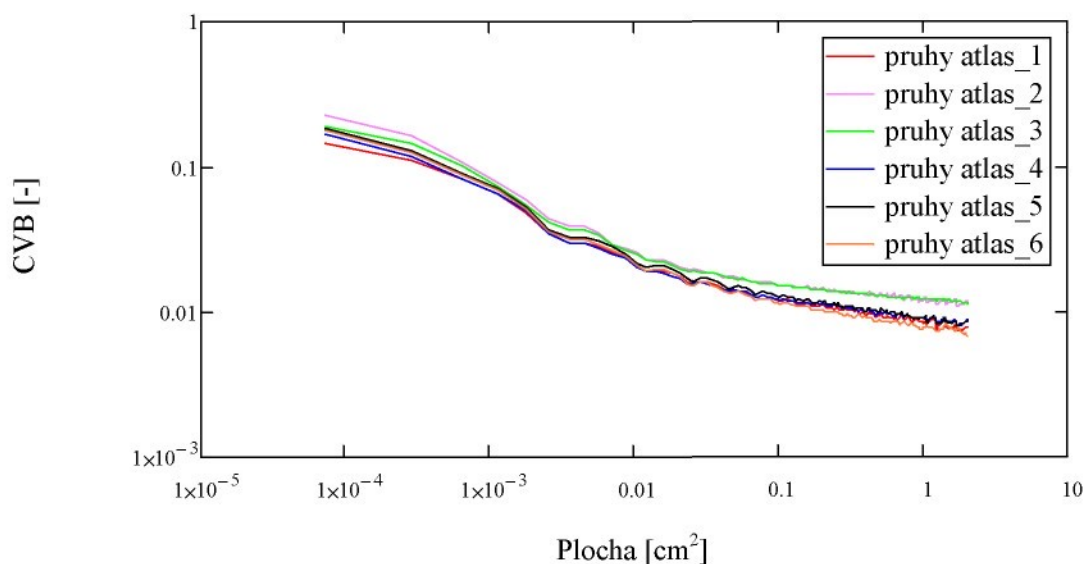


Obrázok 51: Priebeh semivariogramov vplyv väzby v smere stĺpcov, riadkov, diagonálnom a priemerný (omni) pre nasimulované obrazy tkanín s rôznou väzbou.

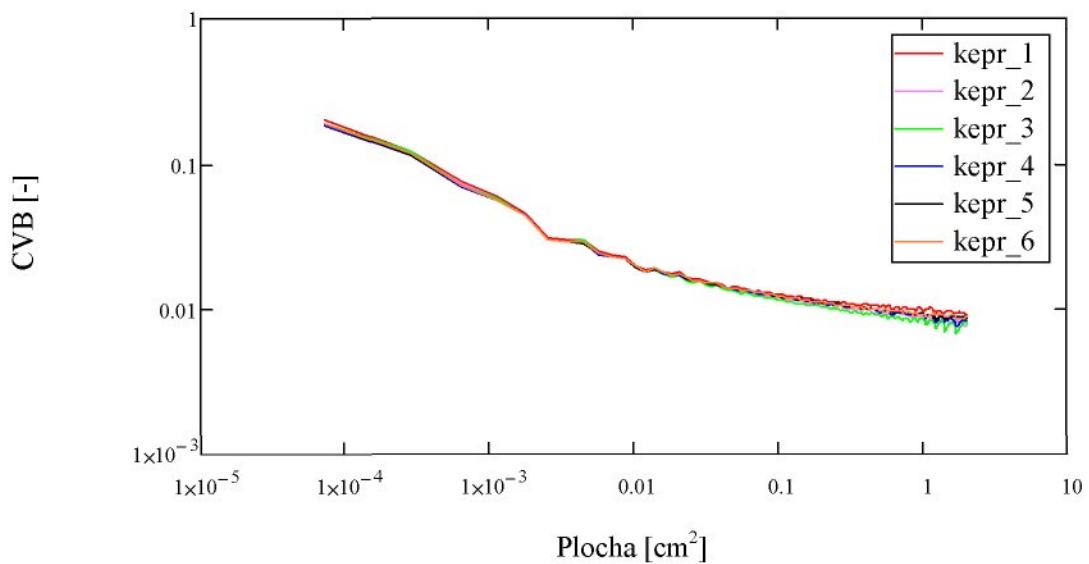
### 5.3 Plošné vonkajšie variačné krivky reálnej tkaniny



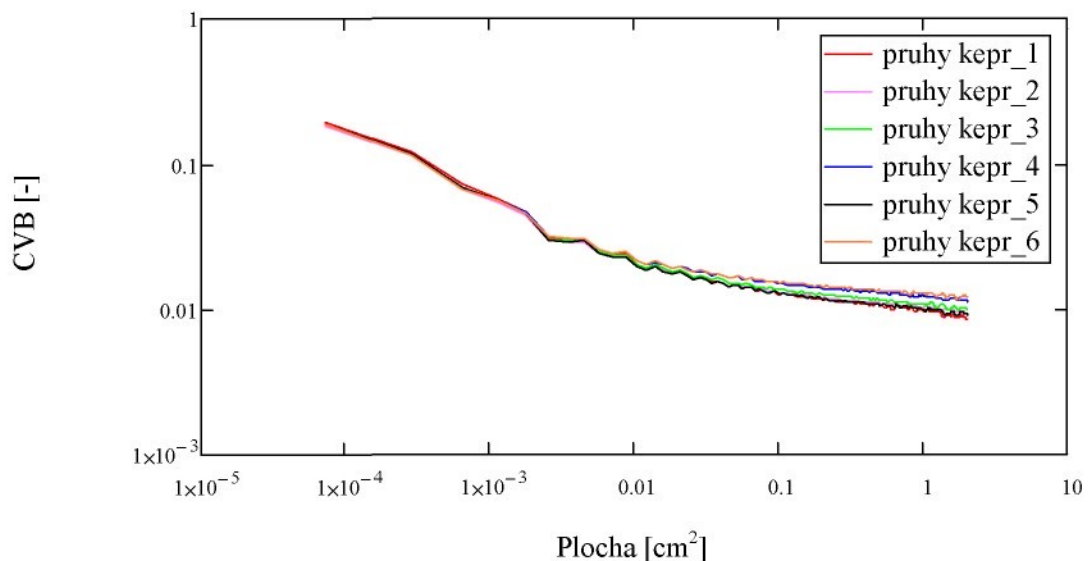
Obrázok 52: Vonkajšie plošné variačné krivky 6 vzoriek tkaniny ATLAS



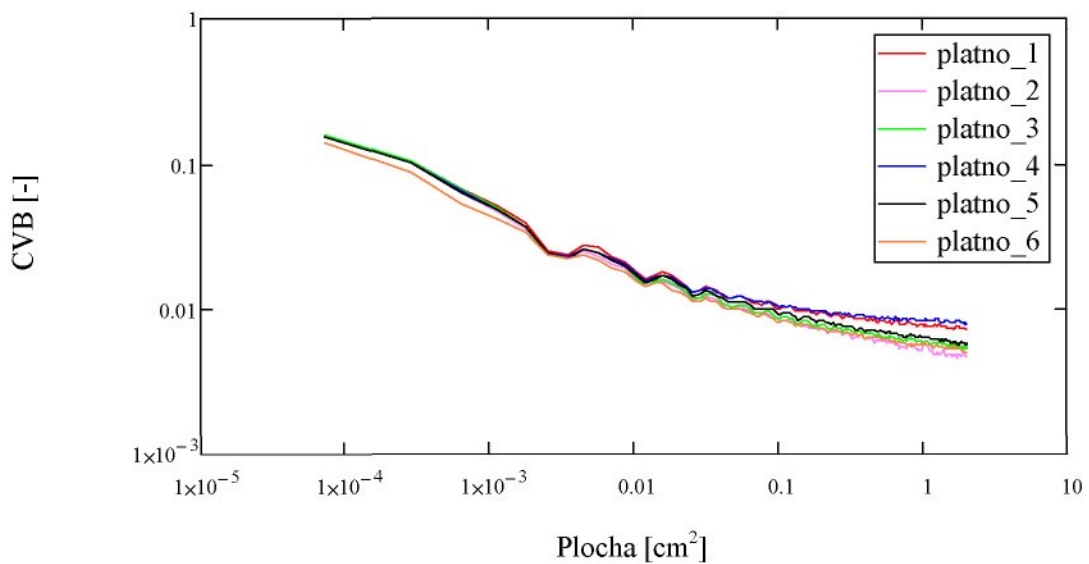
Obrázok 53: Vonkajšie plošné variačné krivky 6 vzoriek tkaniny ATLAS PRUHY



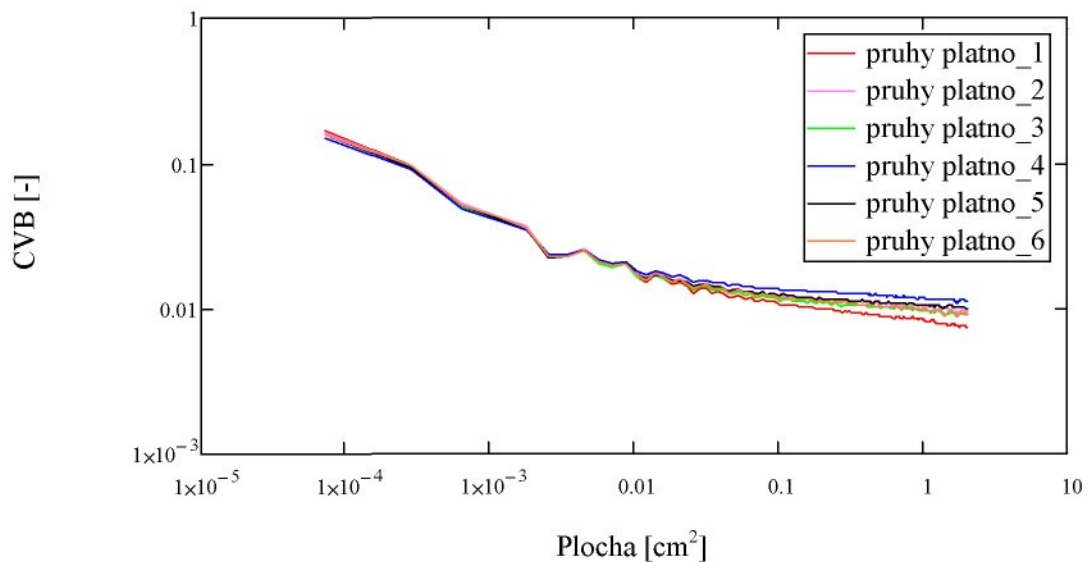
Obrázok 54: Vonkajšie plošné variačné krivky 6 vzoriek tkaniny KEPR



Obrázok 55: Vonkajšie plošné variačné krivky 6 vzoriek tkaniny KEPR PRUHY

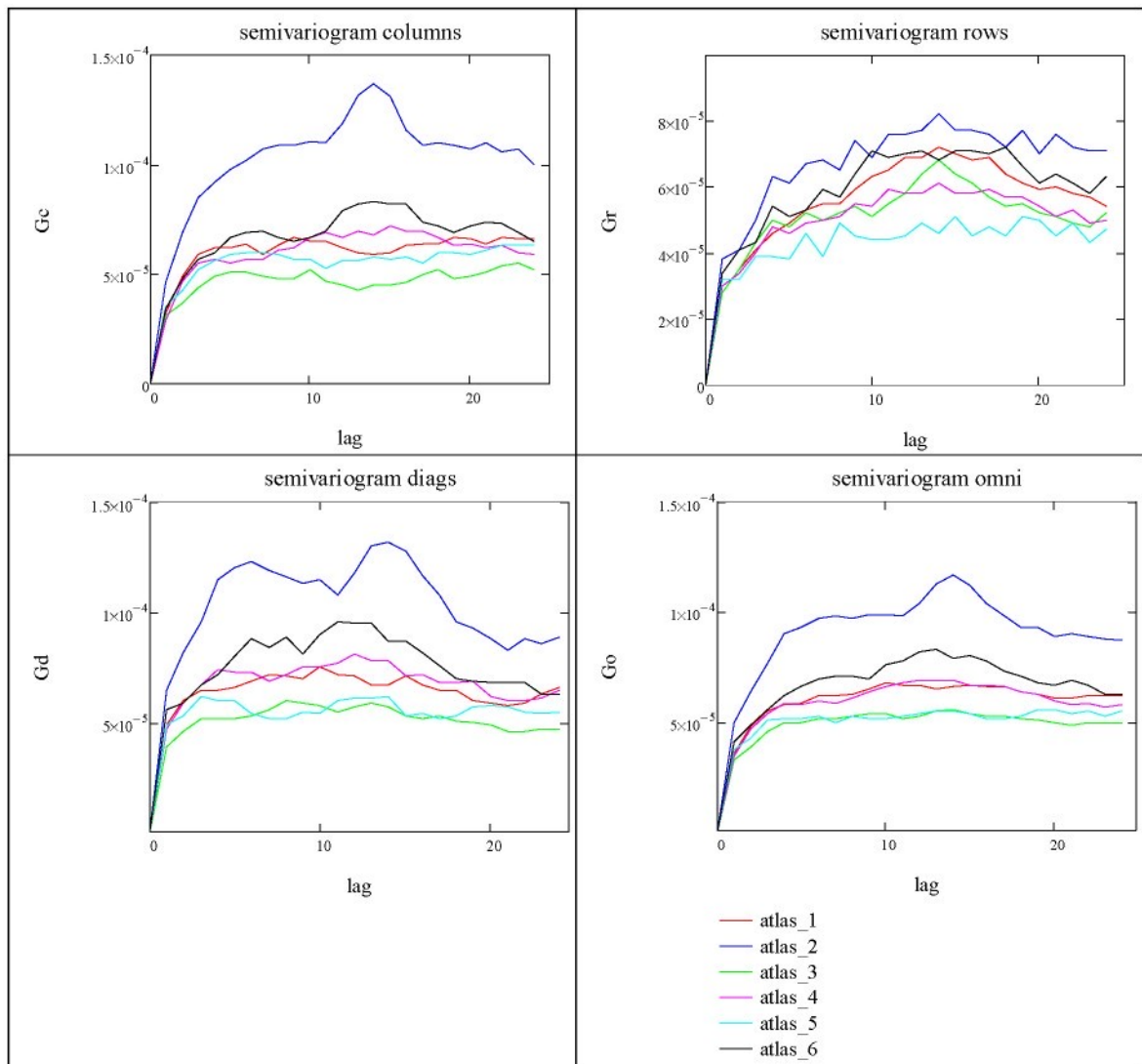


Obrázok 56: Vonkajšie plošné variačné krivky 6 vzoriek tkaniny PLATNO

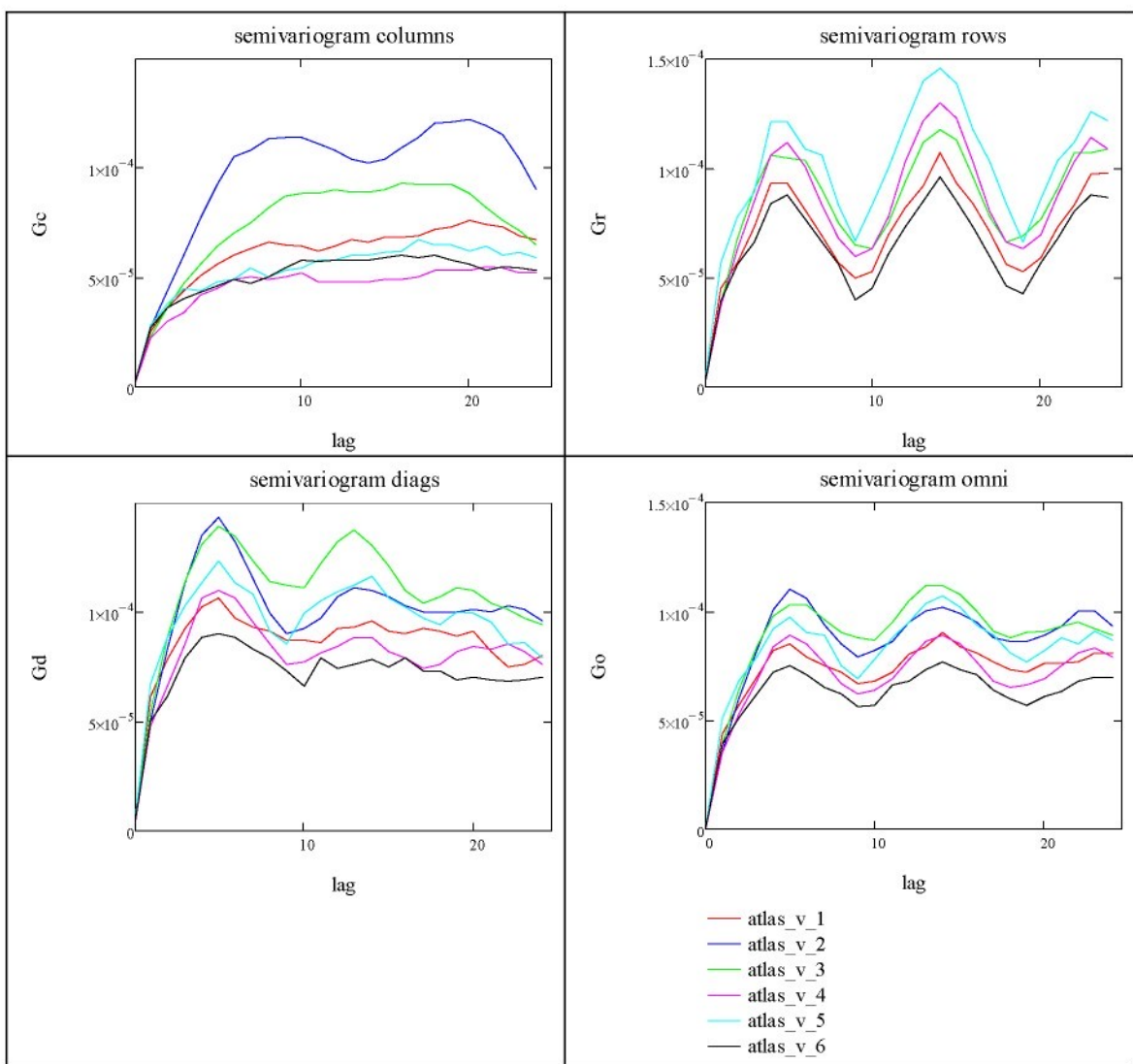


Obrázok 57: Vonkajšie plošné variačné krivky 6 vzoriek tkaniny PLATNO PRUHY

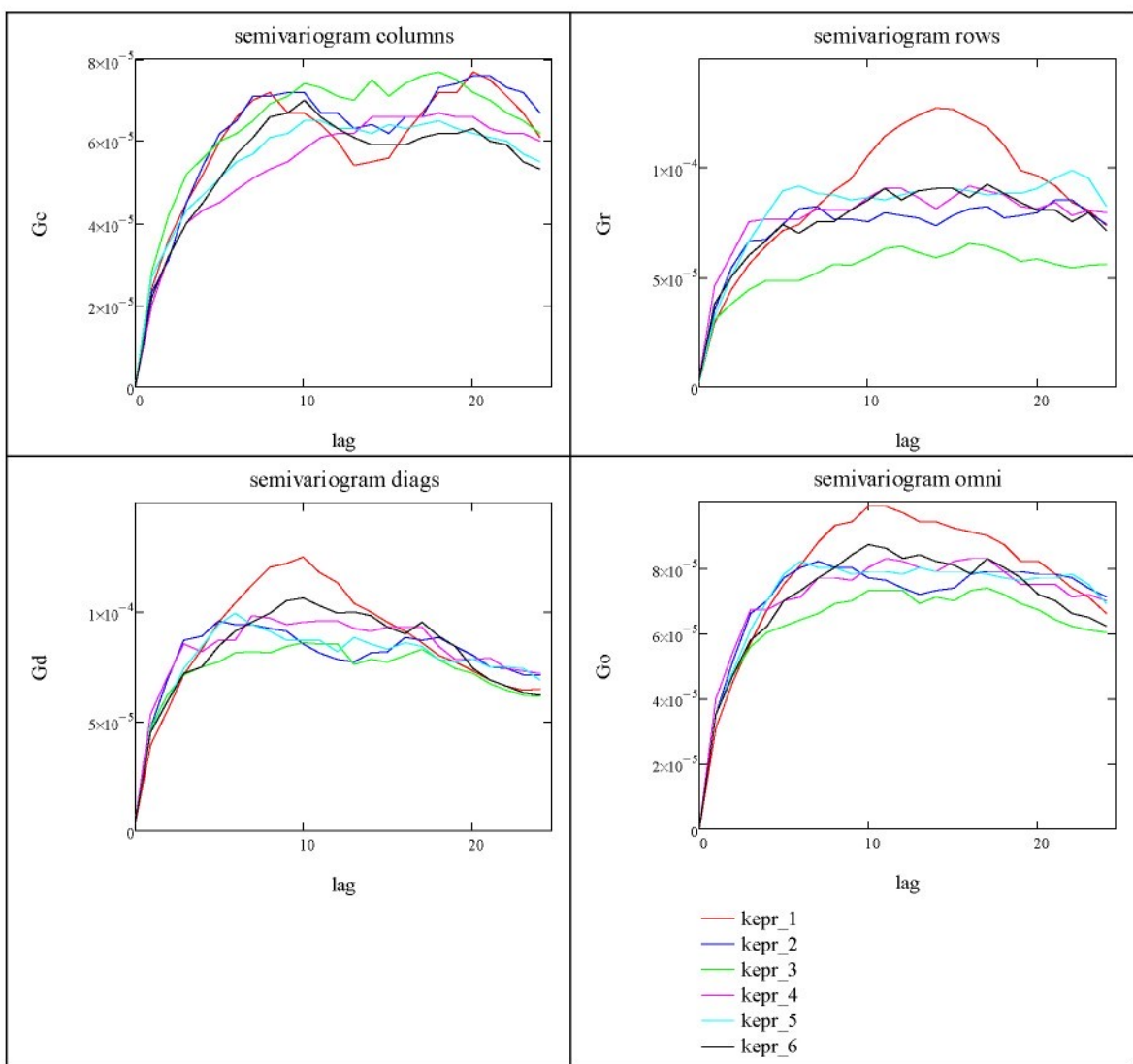
## 5.4 Semivariogram reálnej tkaniny



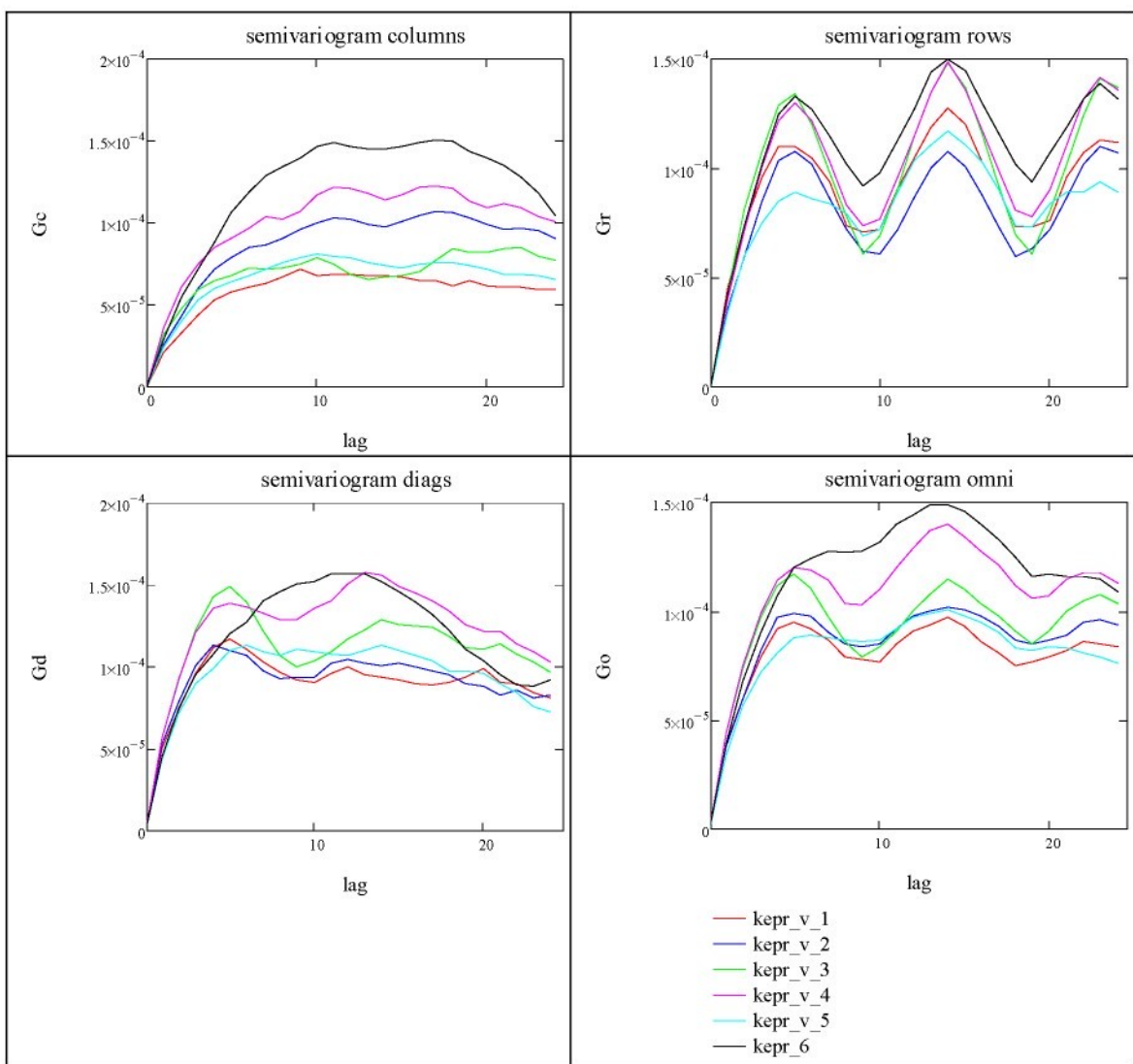
Obrázok 58: Semivariogrami pre jednotlivá vzorky tkaniny atlasovej väzby



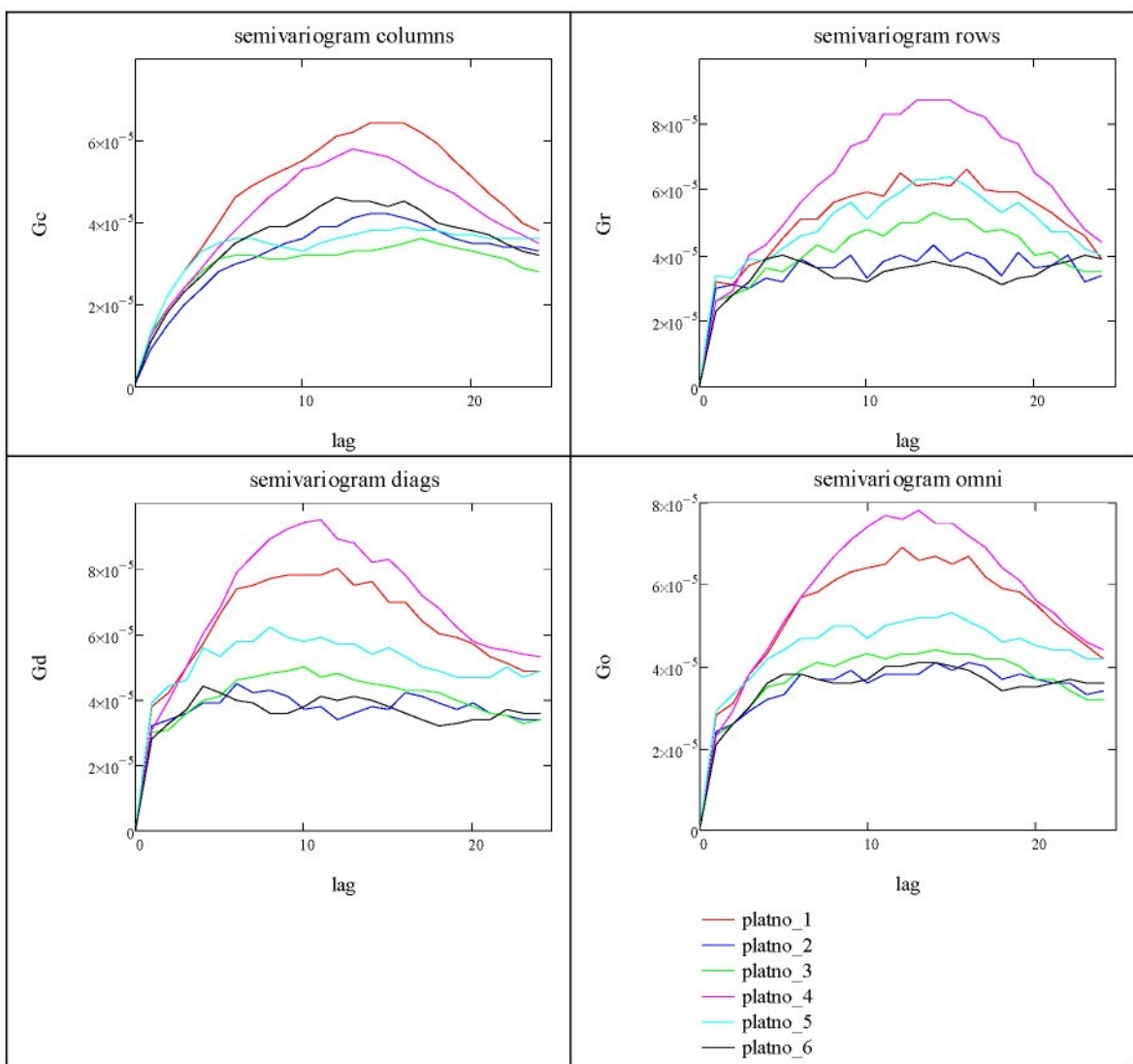
Obrázok 59: Semivariogrami pre jednotlivá vzorky tkaniny s pruhmi atlasovej väzby



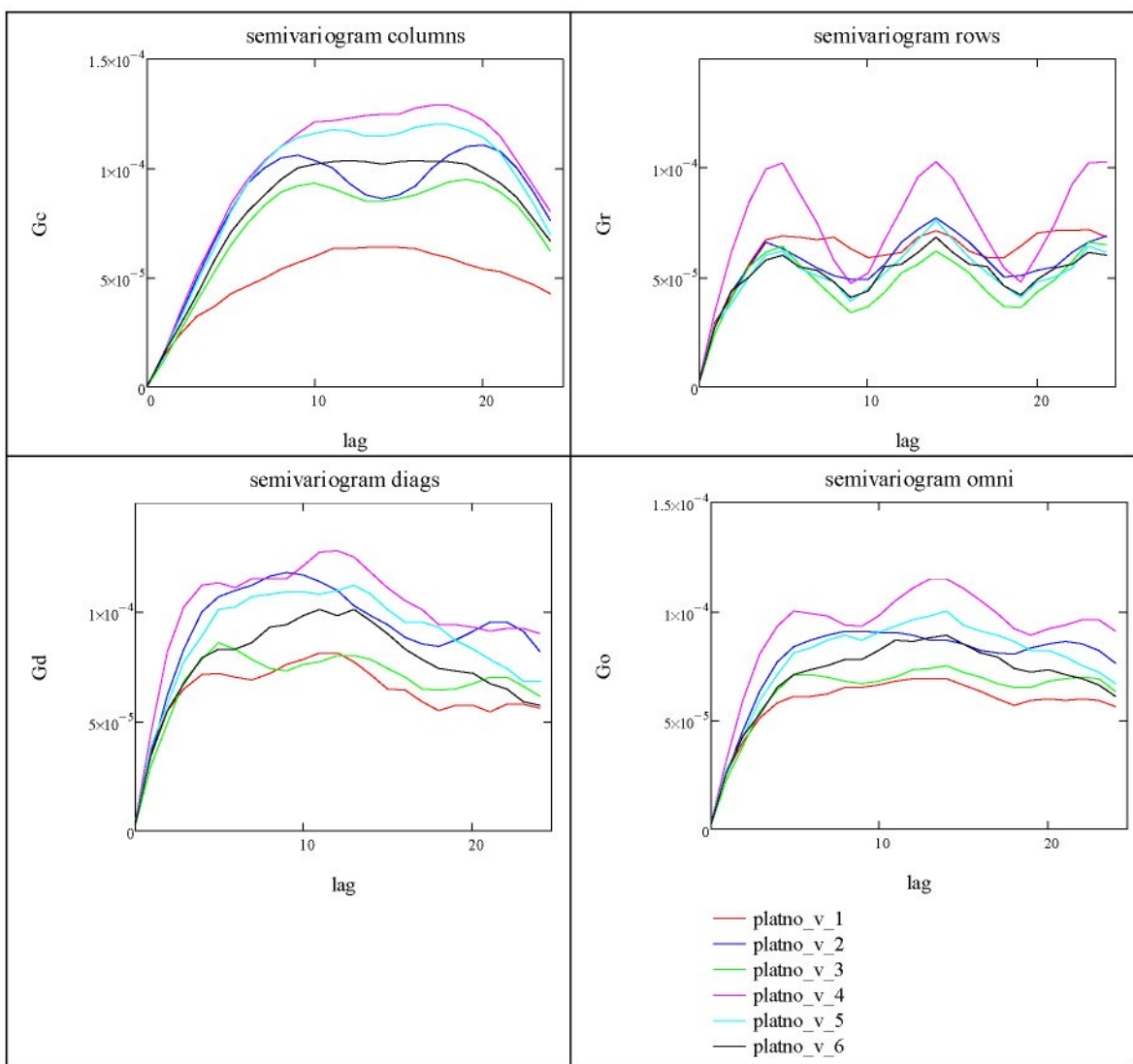
Obrázok 60: Semivariogrami pre jednotlivá vzorky tkaniny keprovej väzby



Obrázok 61: Semivariogrami pre jednotlivá vzorky tkaniny s pruhmi keprovej väzby

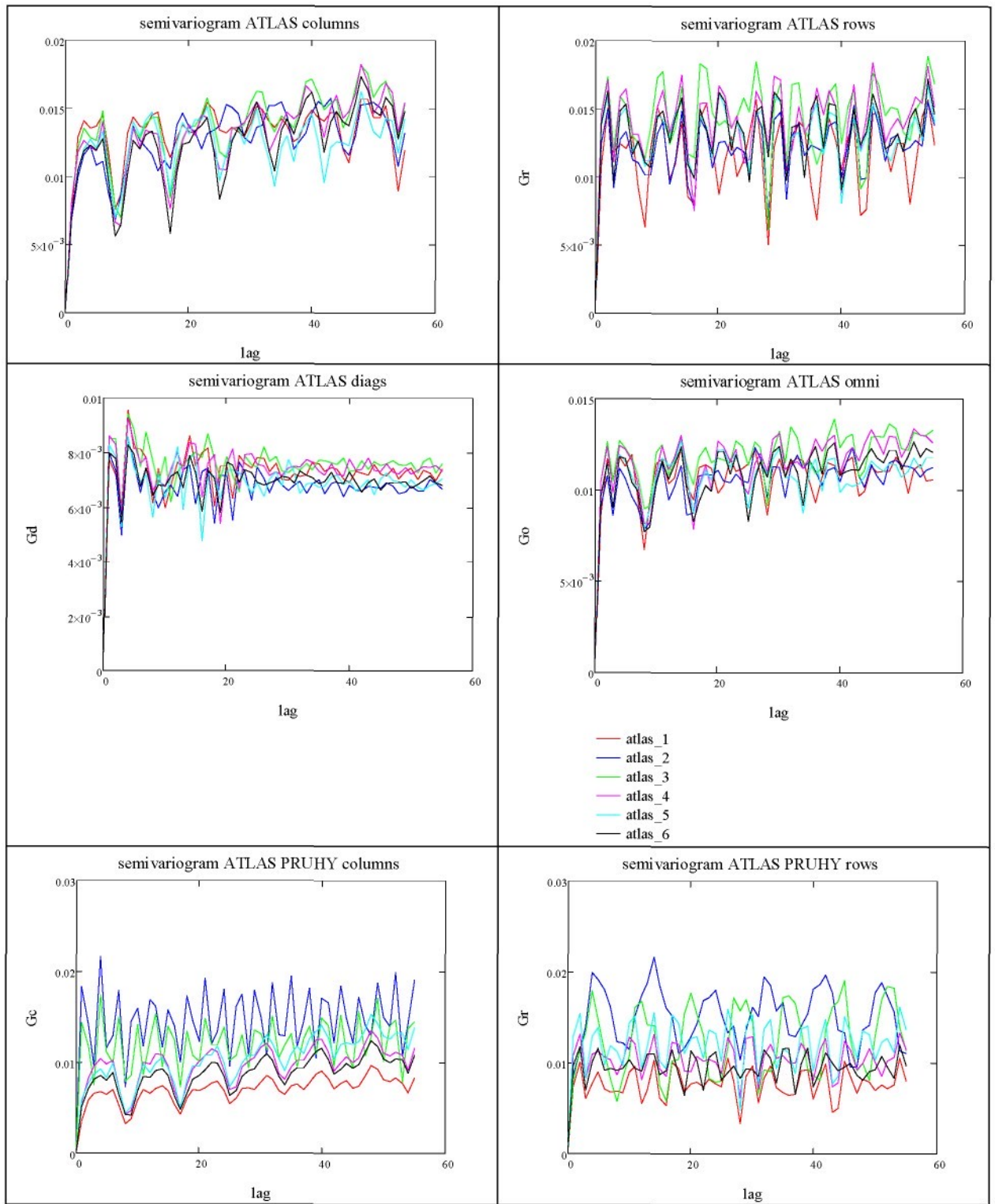


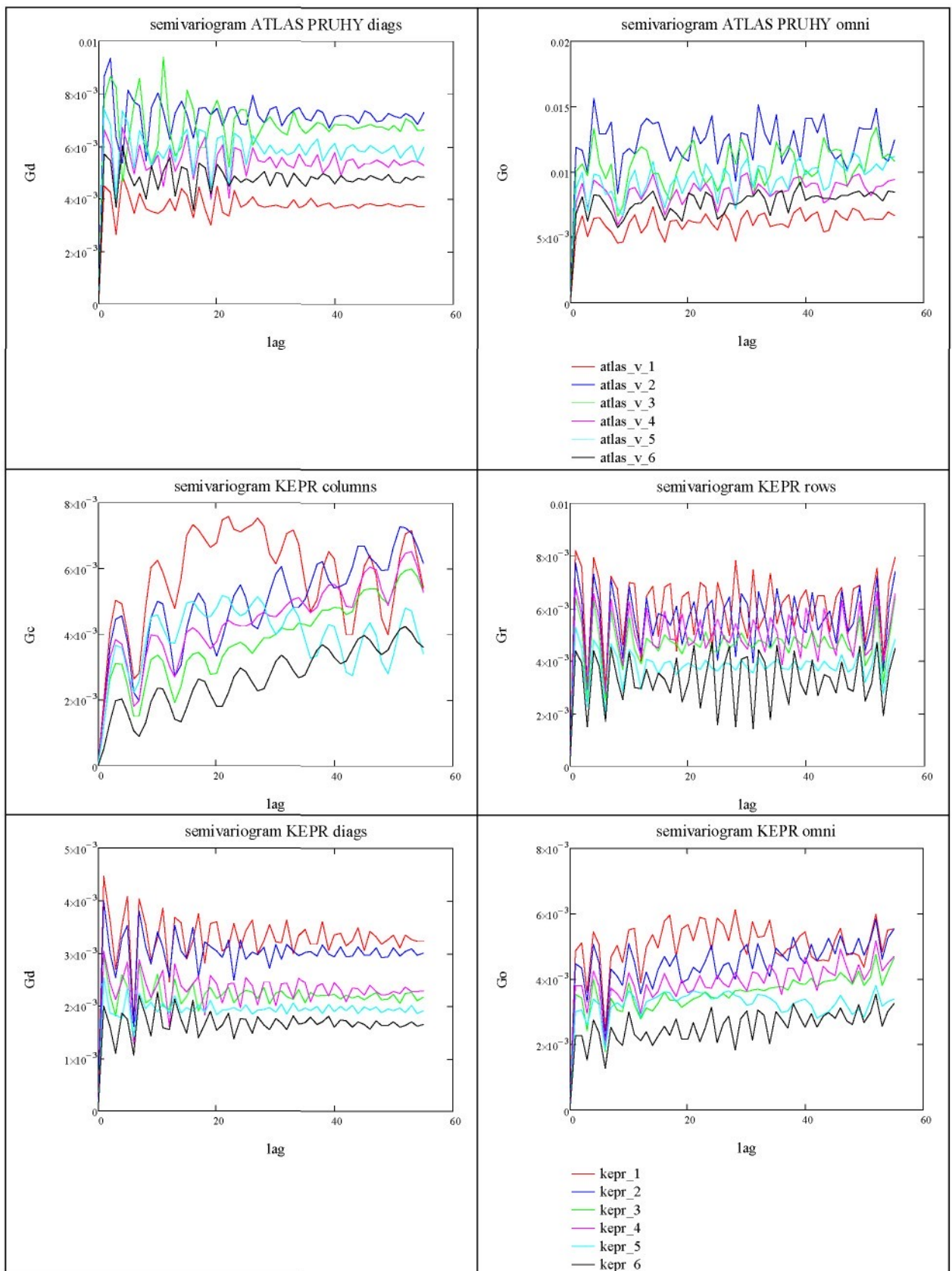
Obrázok 62: Semivariogrami pre jednotlivá vzorky tkaniny plátnovej väzby

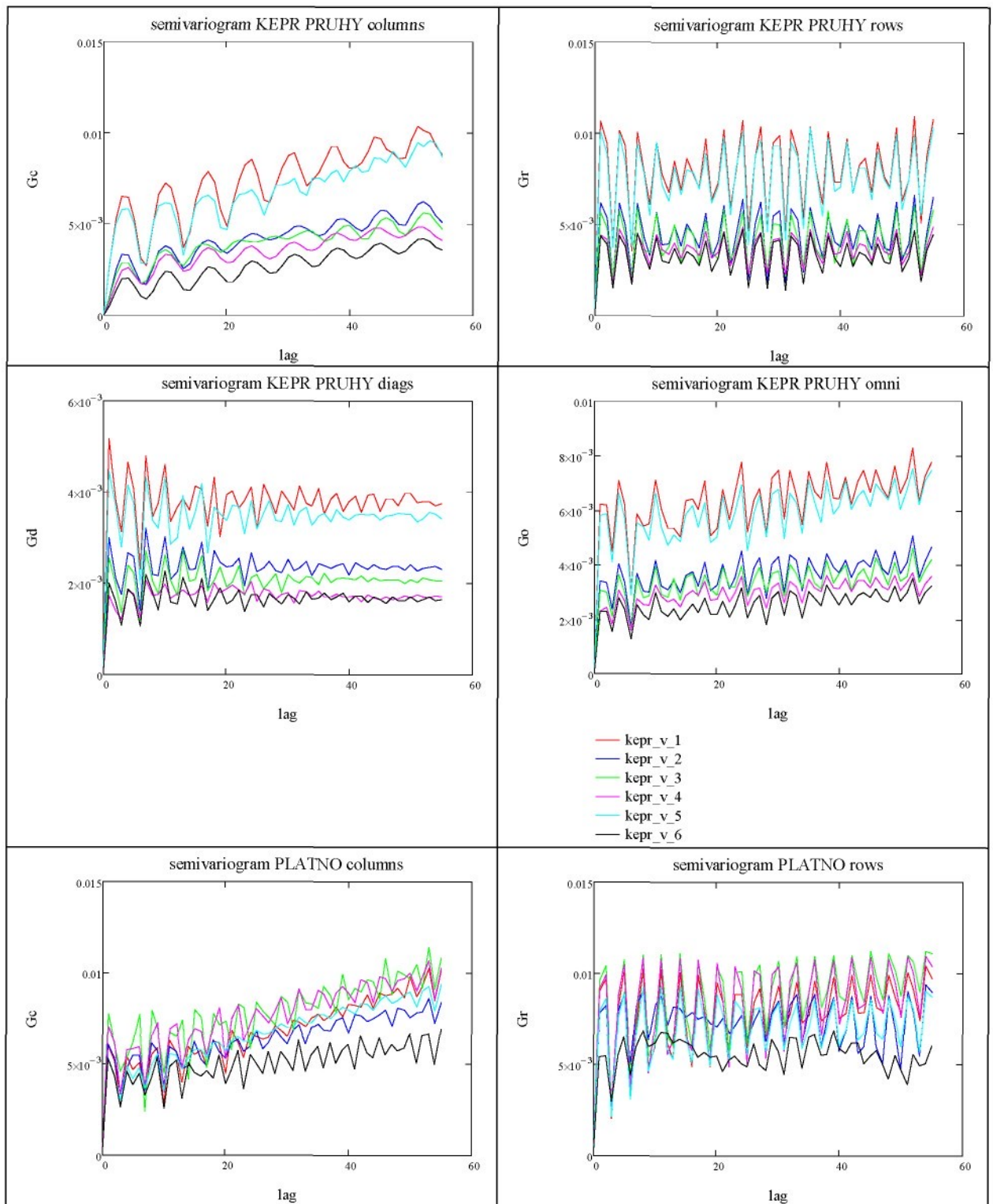


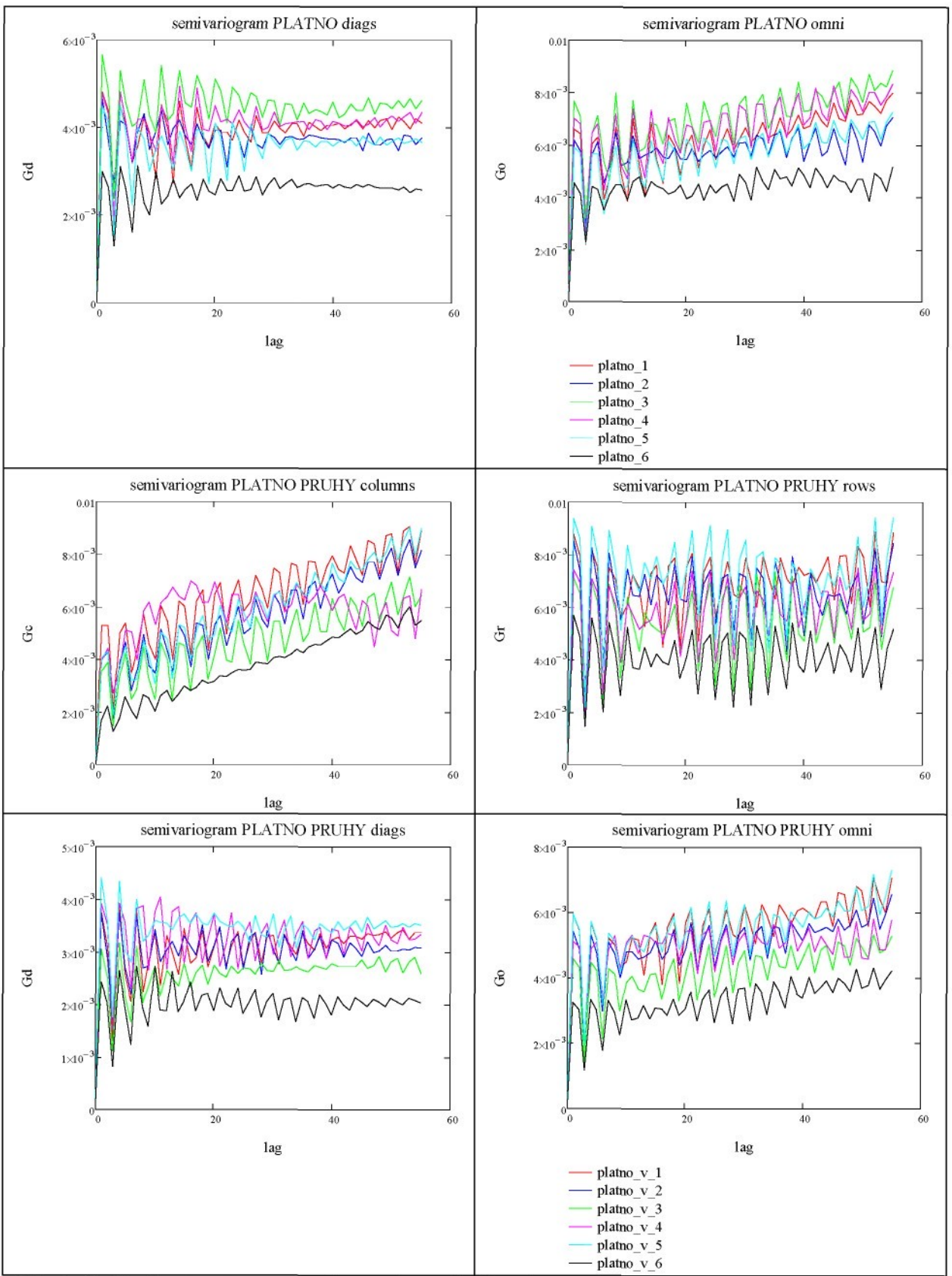
Obrázok 63: Semivariogrami pre jednotlivá vzorky tkaniny s pruhmi plátnovej väzby

## 5.5 Semivariogram vplyv väzby reálna tkaniny





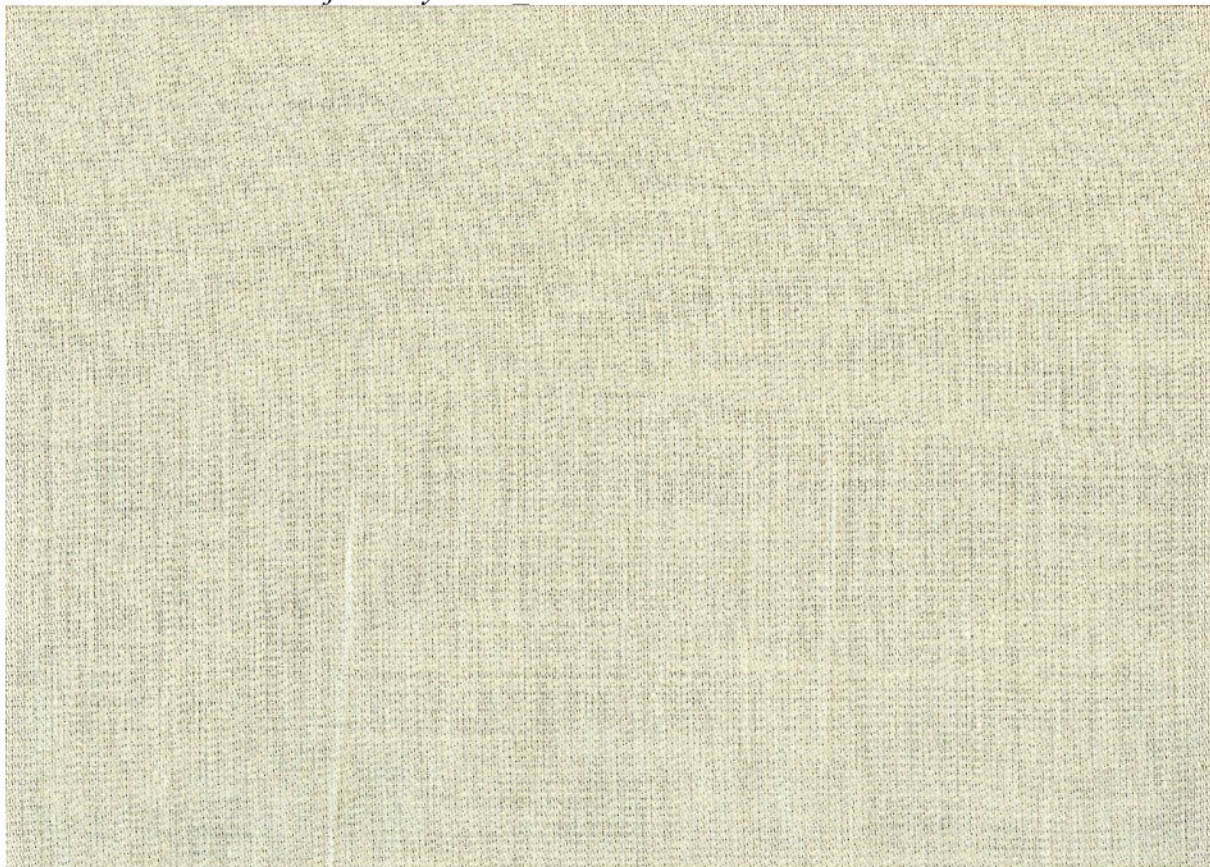




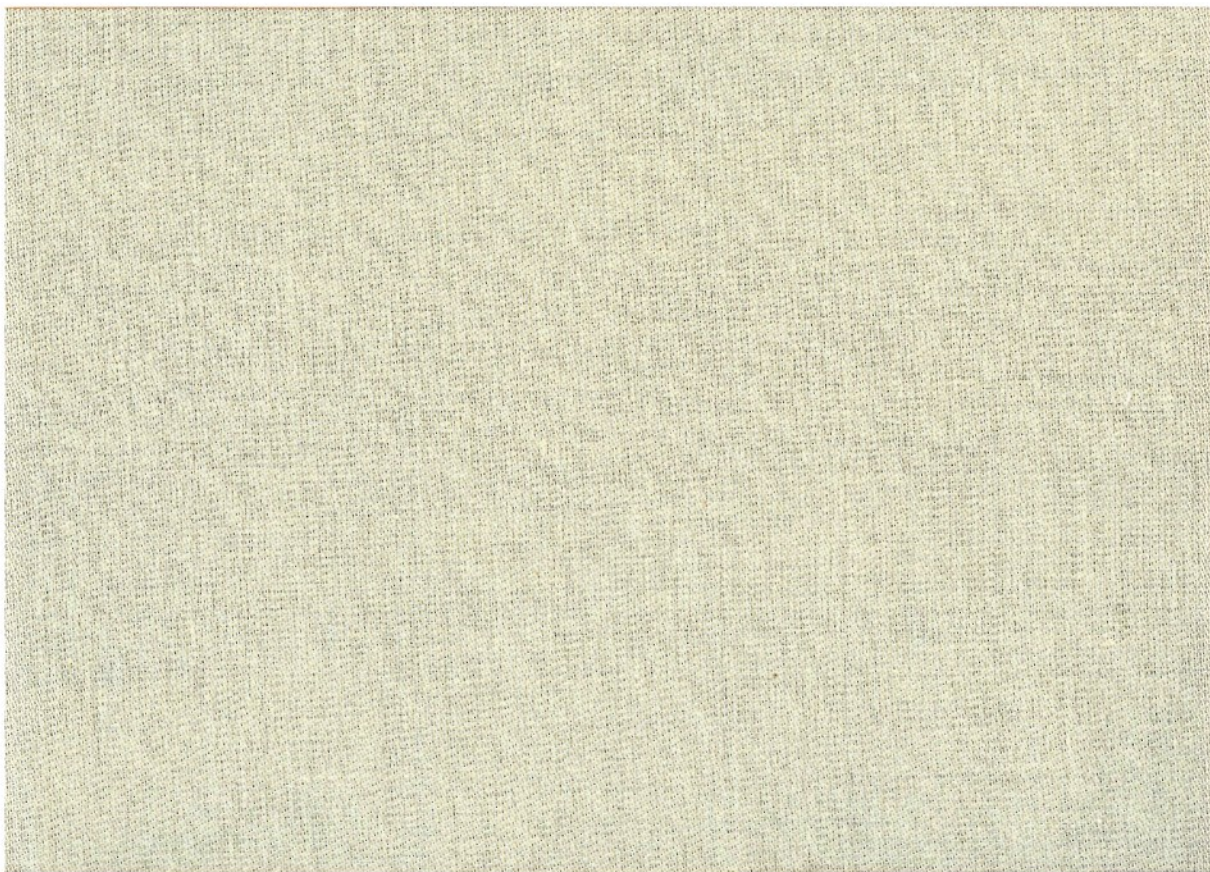
Obrázok 64: Semivariogrami vplyv väzby reálneho obrazu tkanín.



Obrázok 1: Obraz reálnej tkaniny Atlas\_1



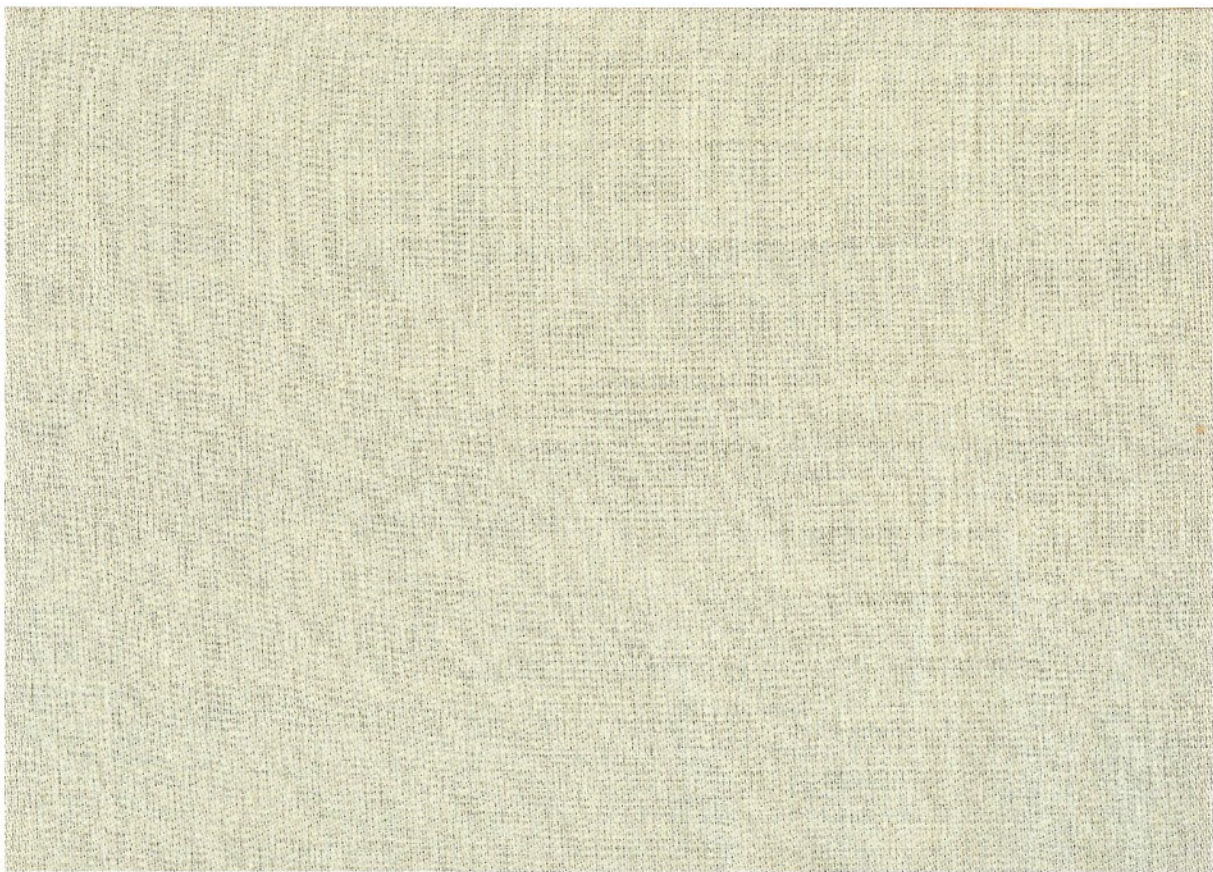
Obrázok 2: Obraz reálnej tkaniny Atlas\_2



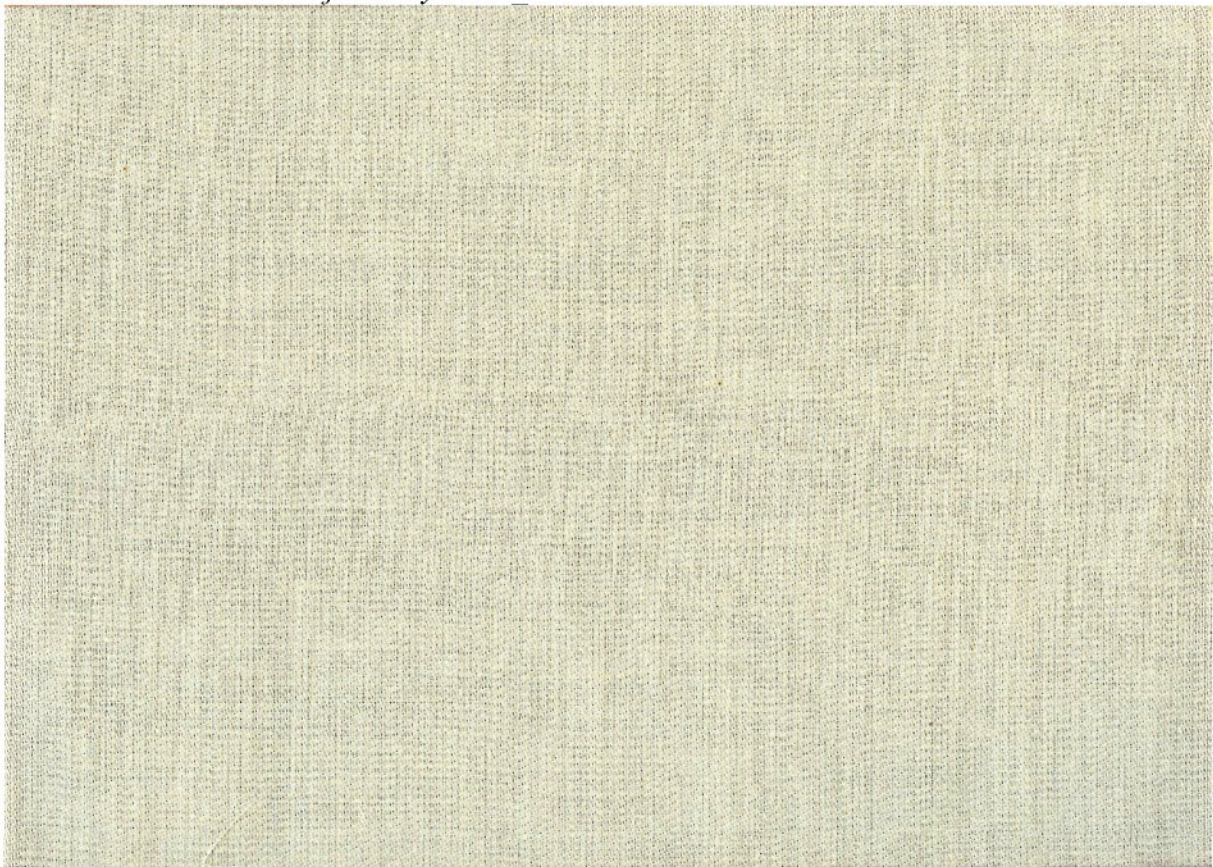
Obrázok 3: Obraz reálnej tkaniny Atlas\_3



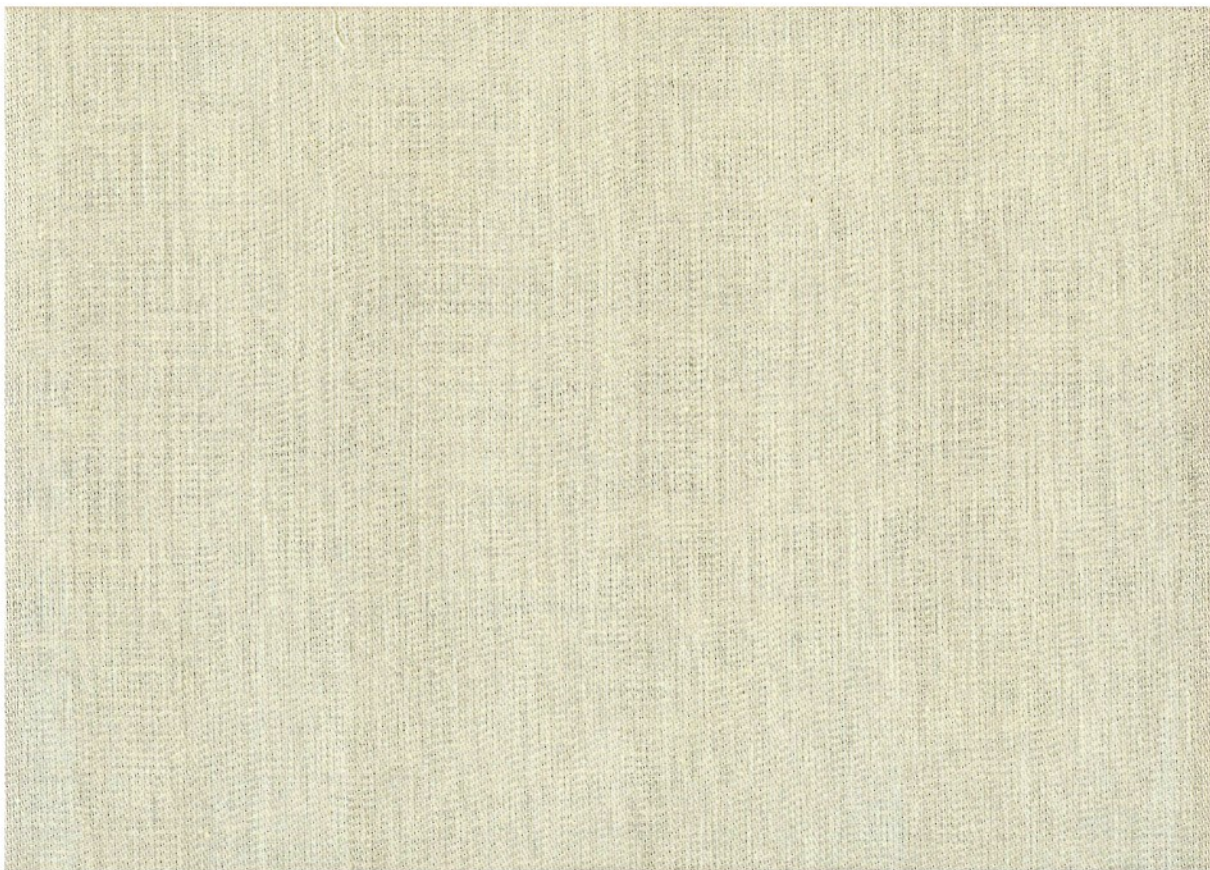
Obrázok 4: Obraz reálnej tkaniny Atlas\_4



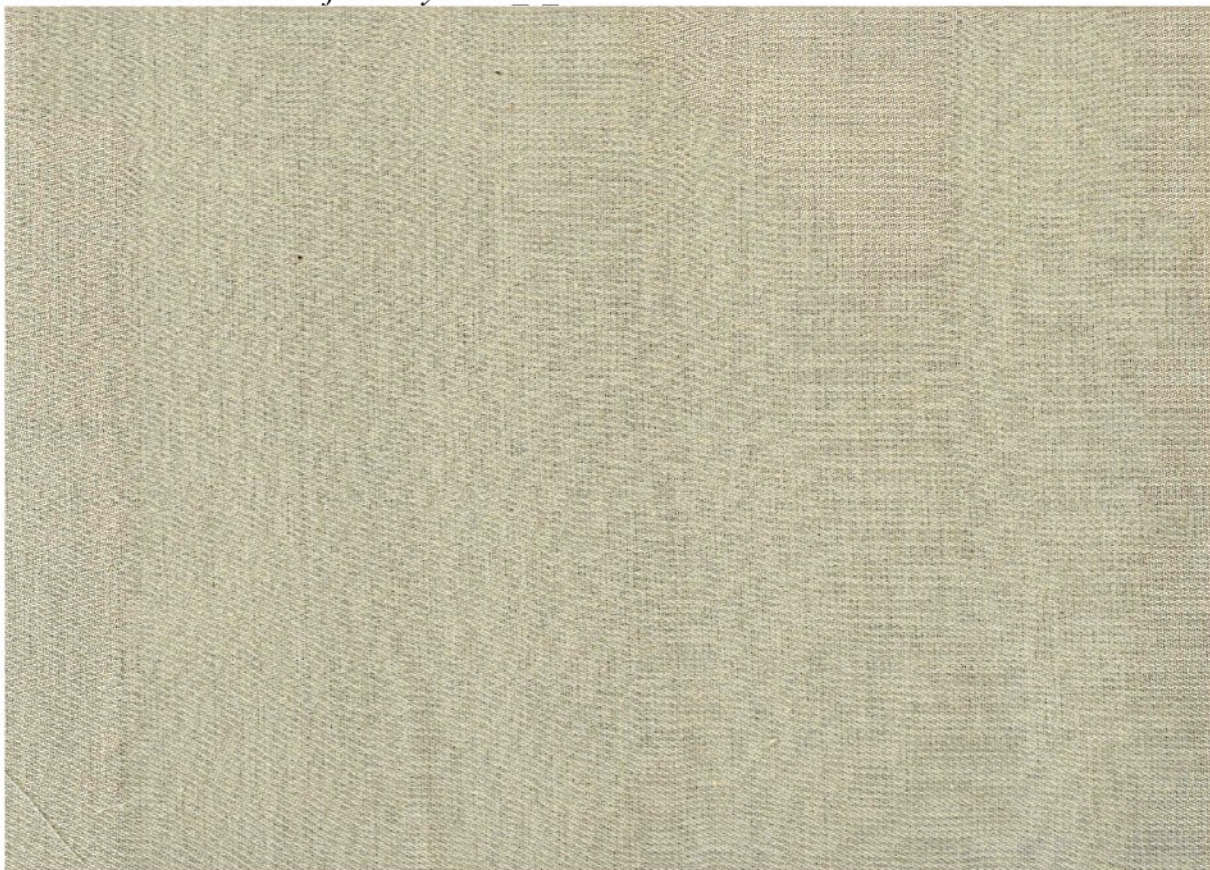
Obrázok 5: Obraz reálnej tkaniny Atlas\_5



Obrázok 6: Obraz reálnej tkaniny Atlas\_6



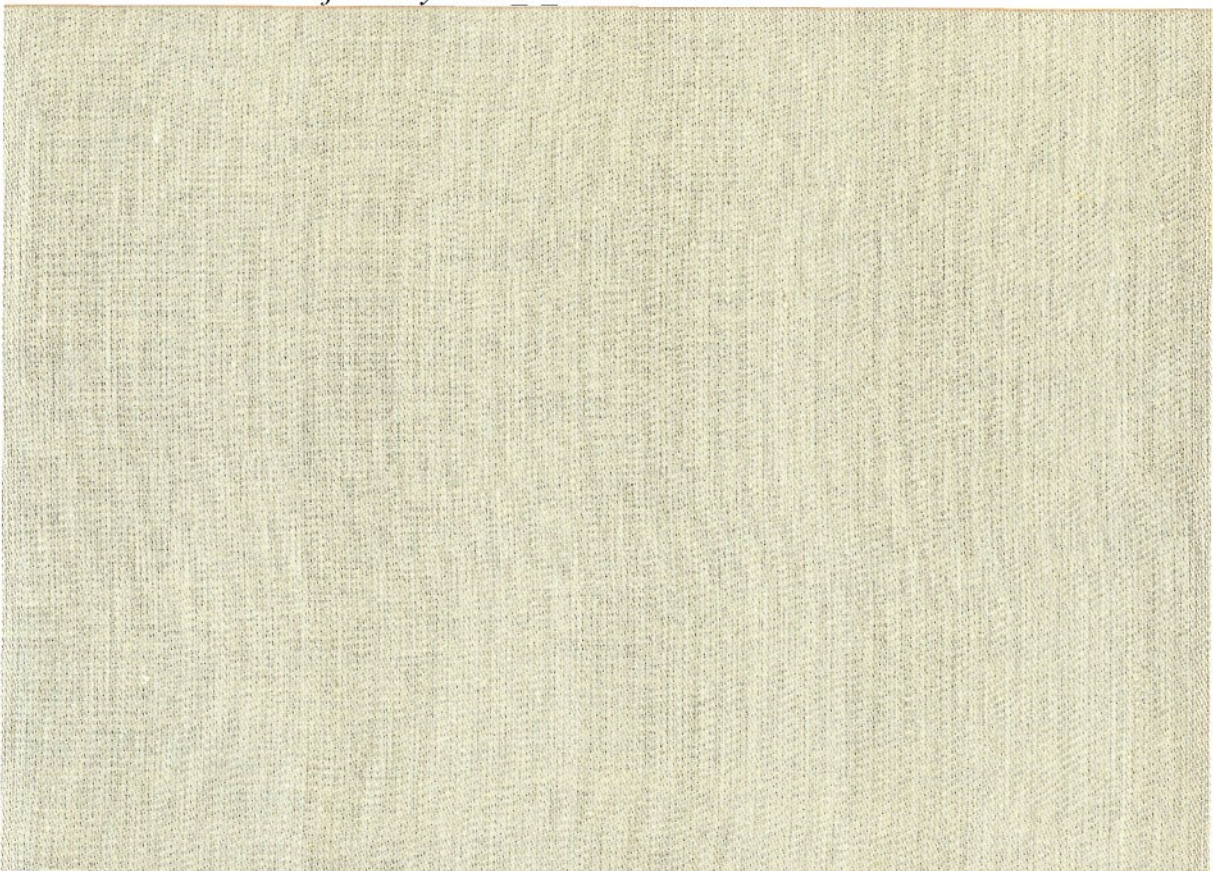
Obrázok 7: Obraz reálnej tkaniny *Atlas\_v\_1*



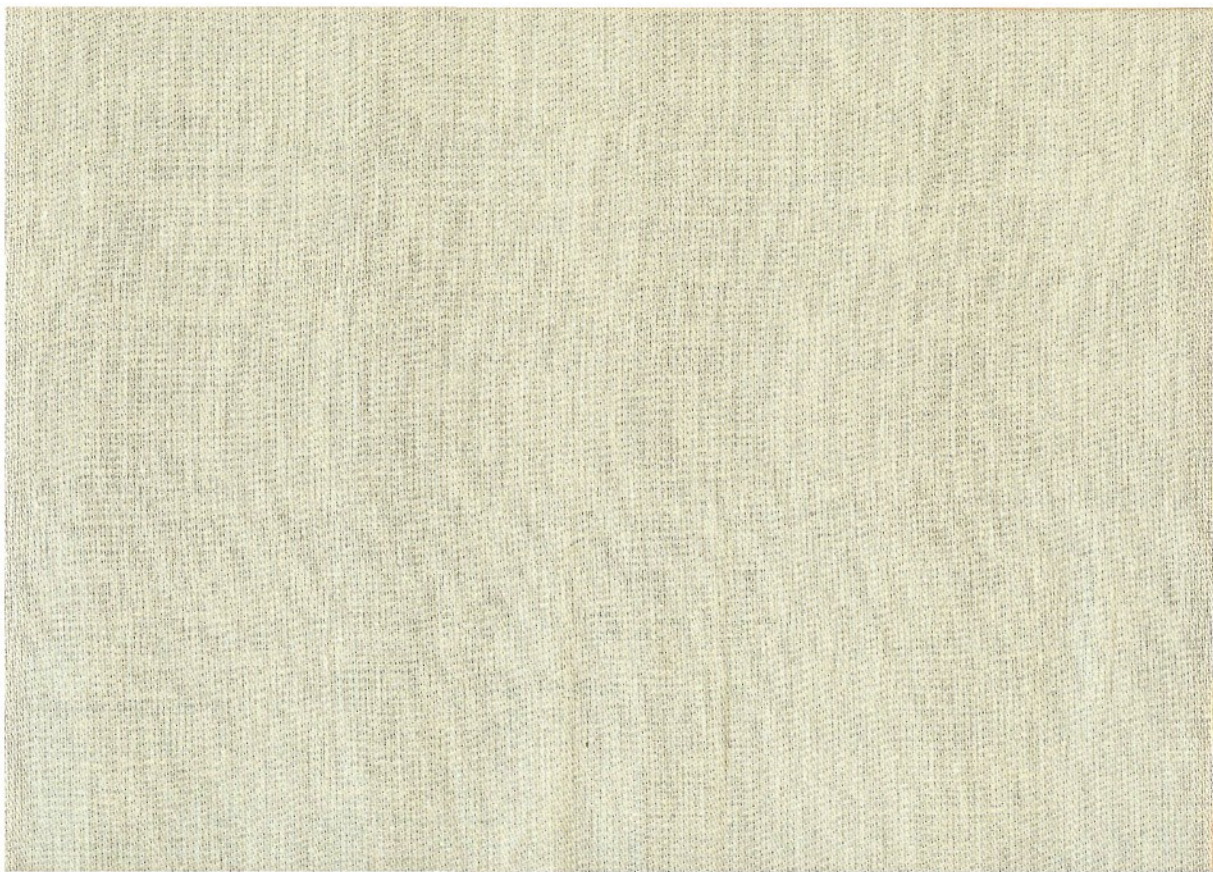
Obrázok 8: Obraz reálnej tkaniny *Atlas\_v\_2*



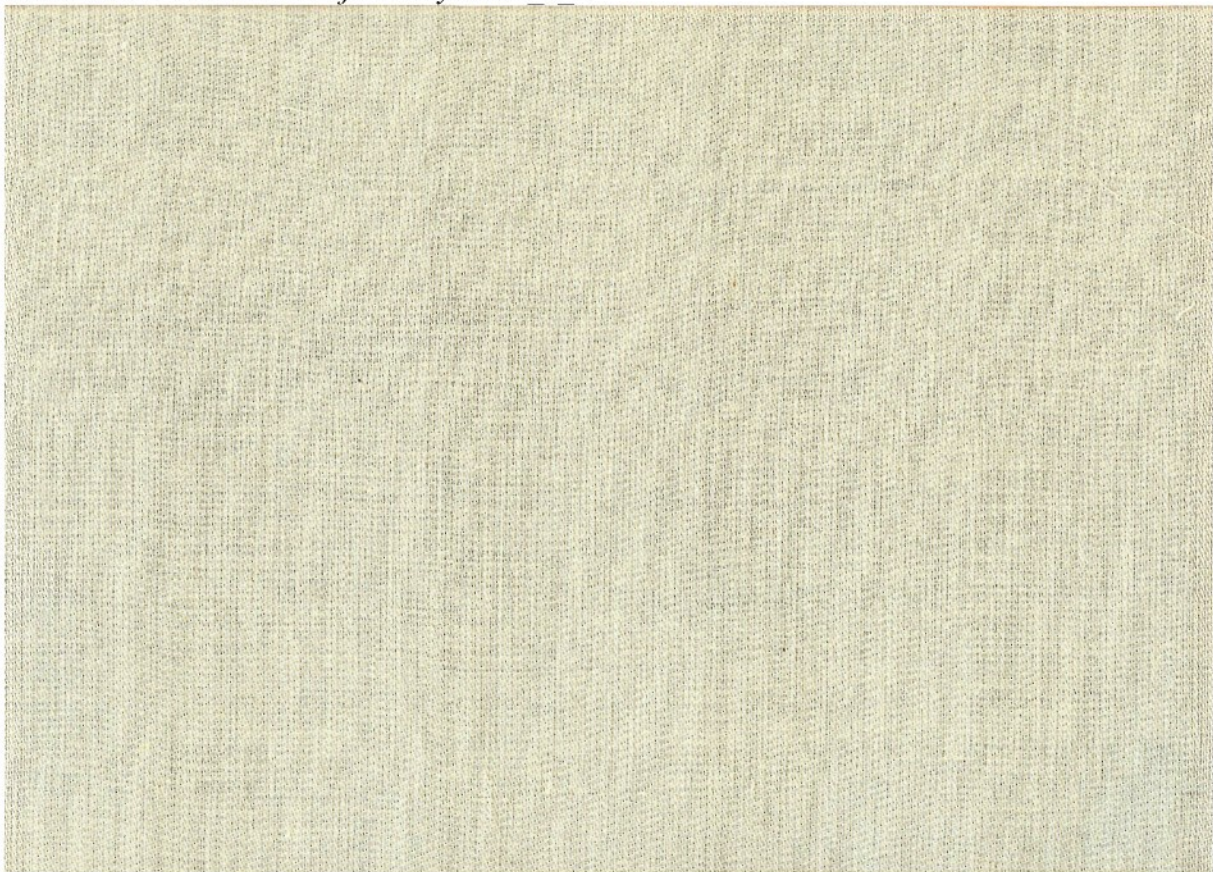
Obrázok 9: Obraz reálnej tkaniny *Atlas\_v\_3*



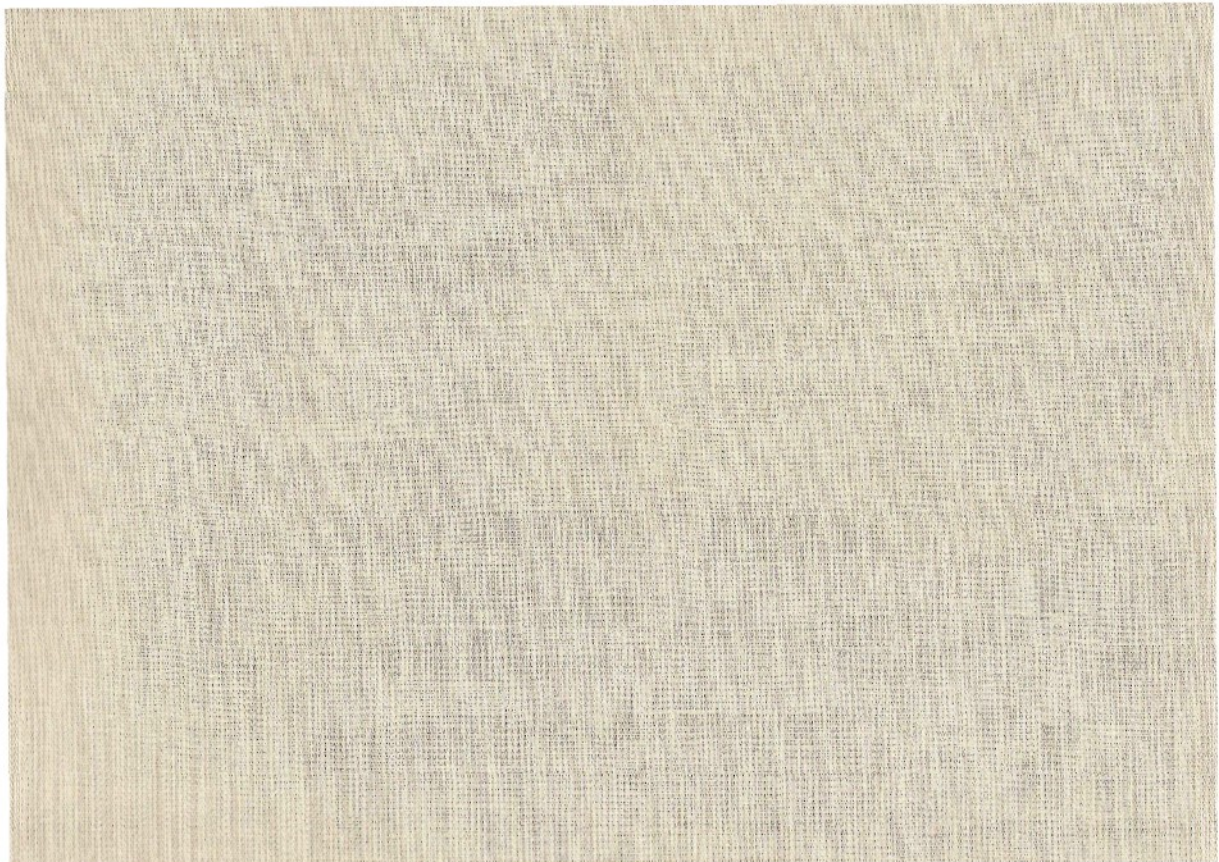
Obrázok 10: Obraz reálnej tkaniny *Atlas\_v\_4*



Obrázok 11: Obraz reálnej tkaniny *Atlas\_v\_5*



Obrázok 12: Obraz reálnej tkaniny *Atlas\_v\_6*



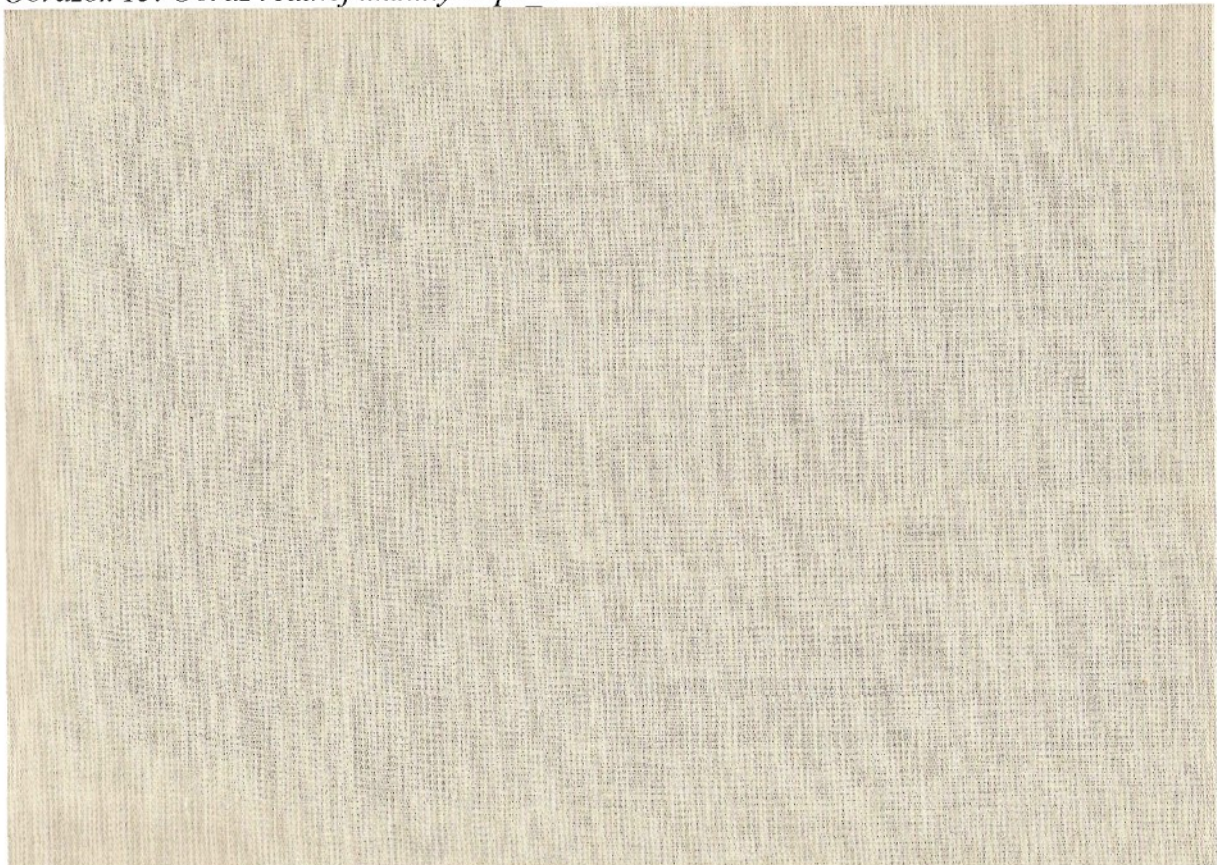
Obrázok 13: Obraz reálnej tkaniny Kepr\_1



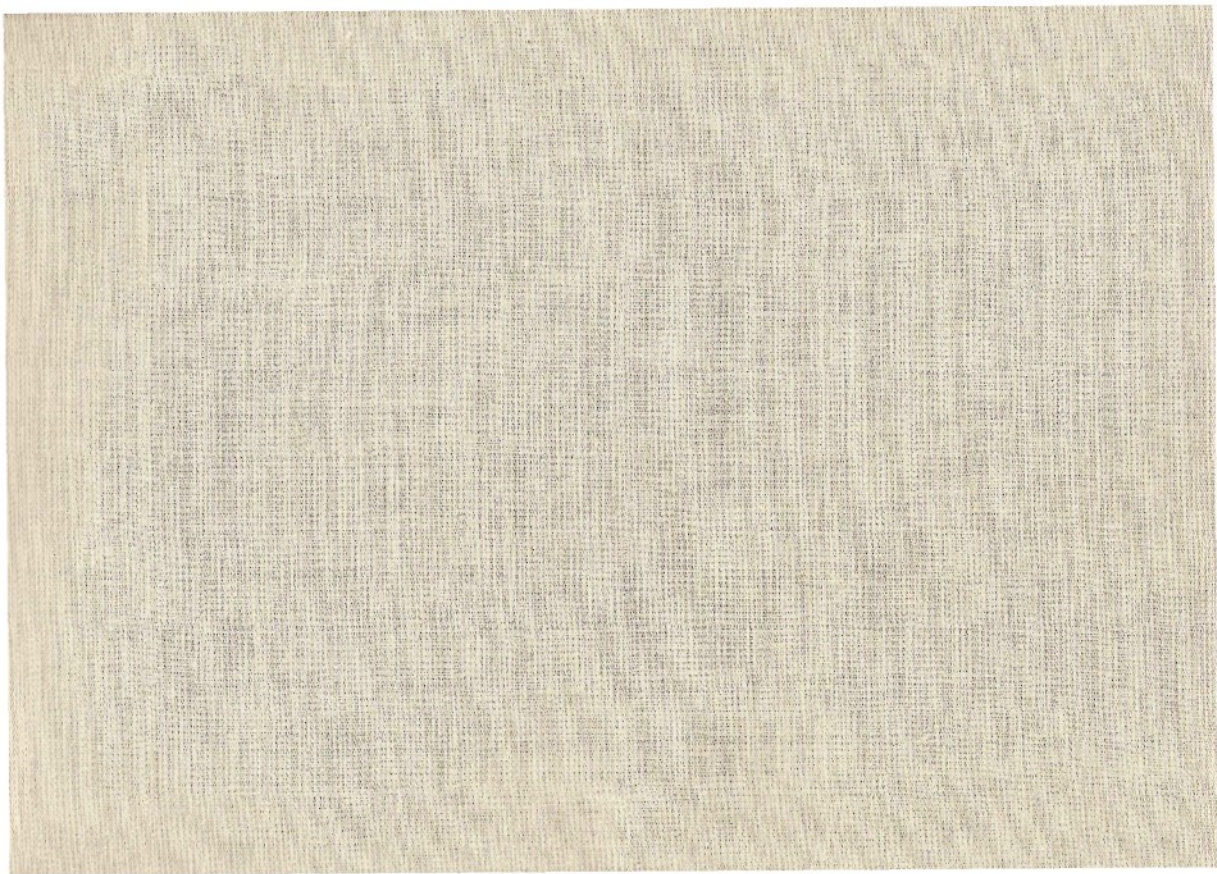
Obrázok 14: Obraz reálnej tkaniny Kepr\_2



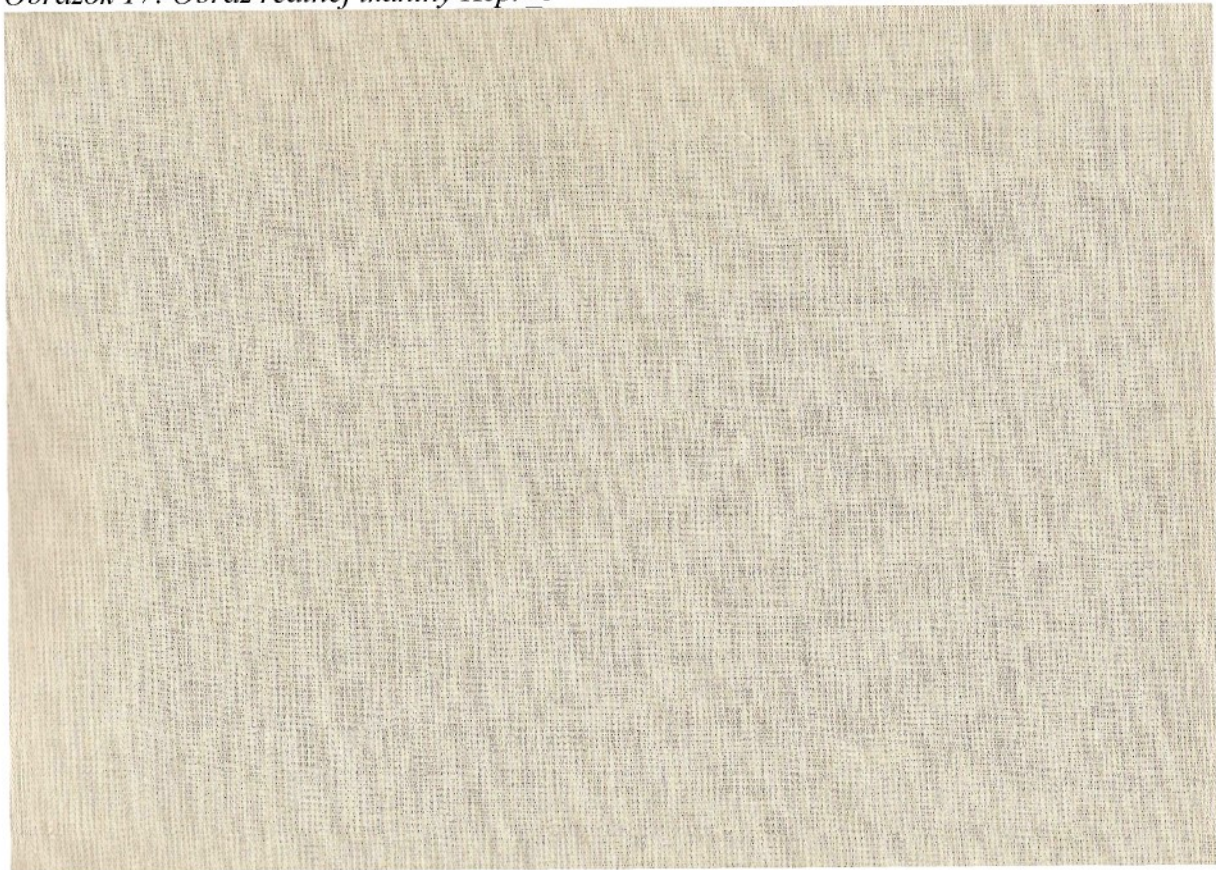
Obrázok 15: Obraz reálnej tkaniny Kepr\_3



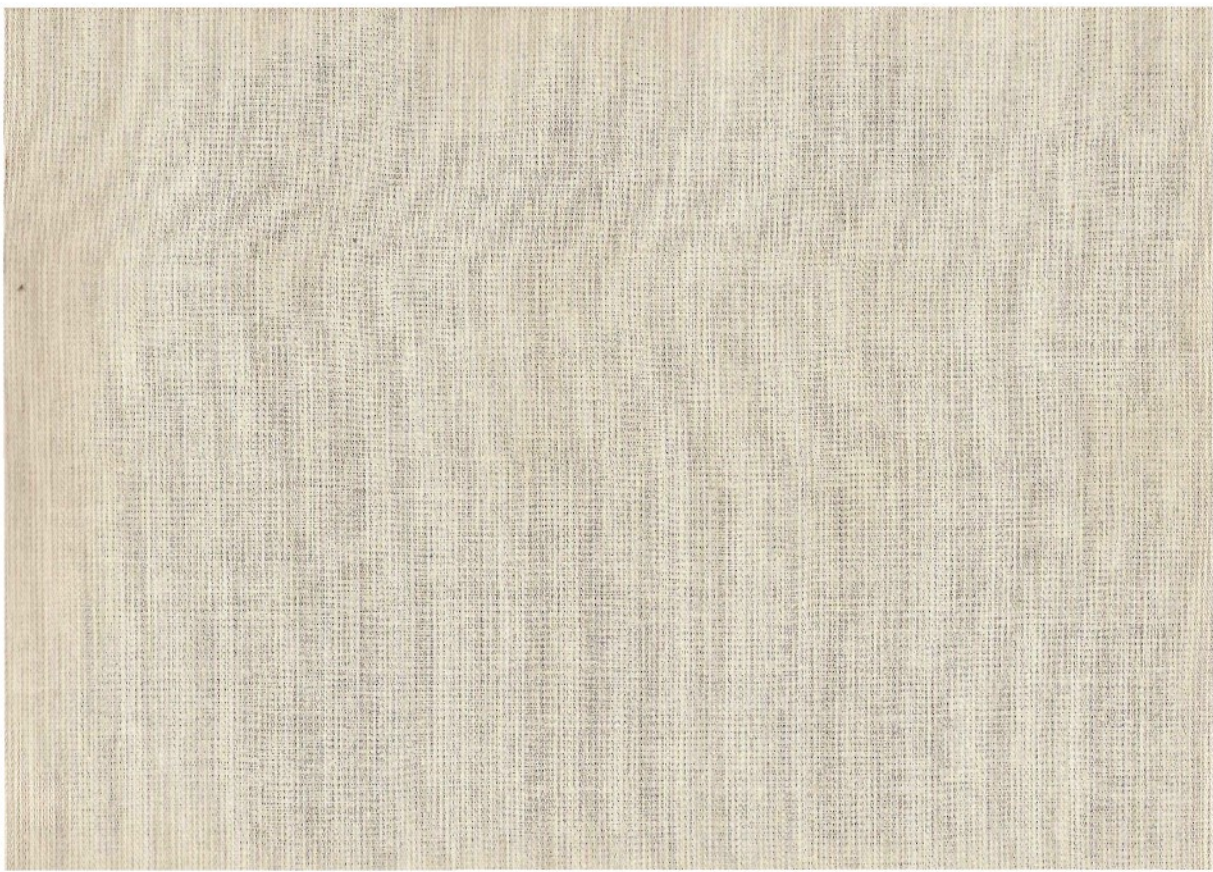
Obrázok 16: Obraz reálnej tkaniny Kepr\_4



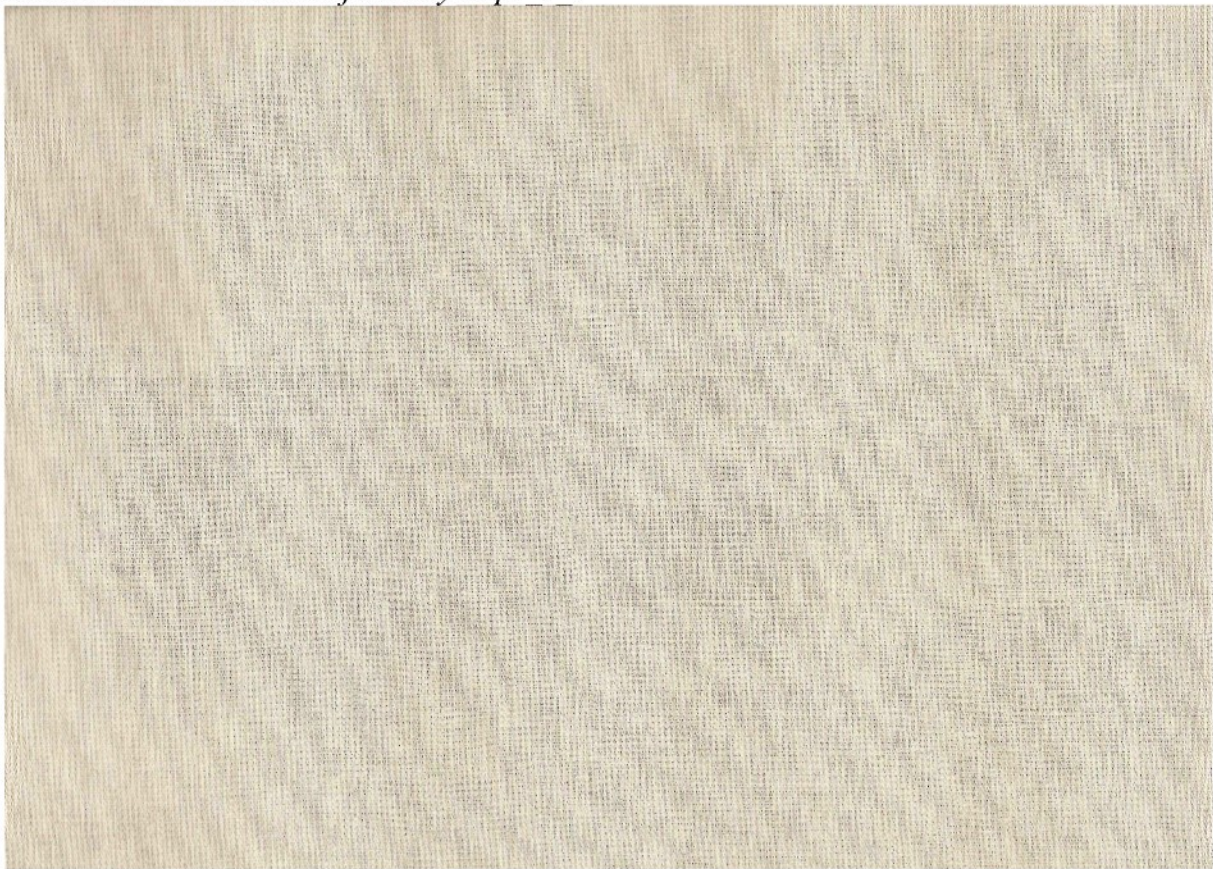
Obrázok 17: Obraz reálnej tkaniny Kepr\_5



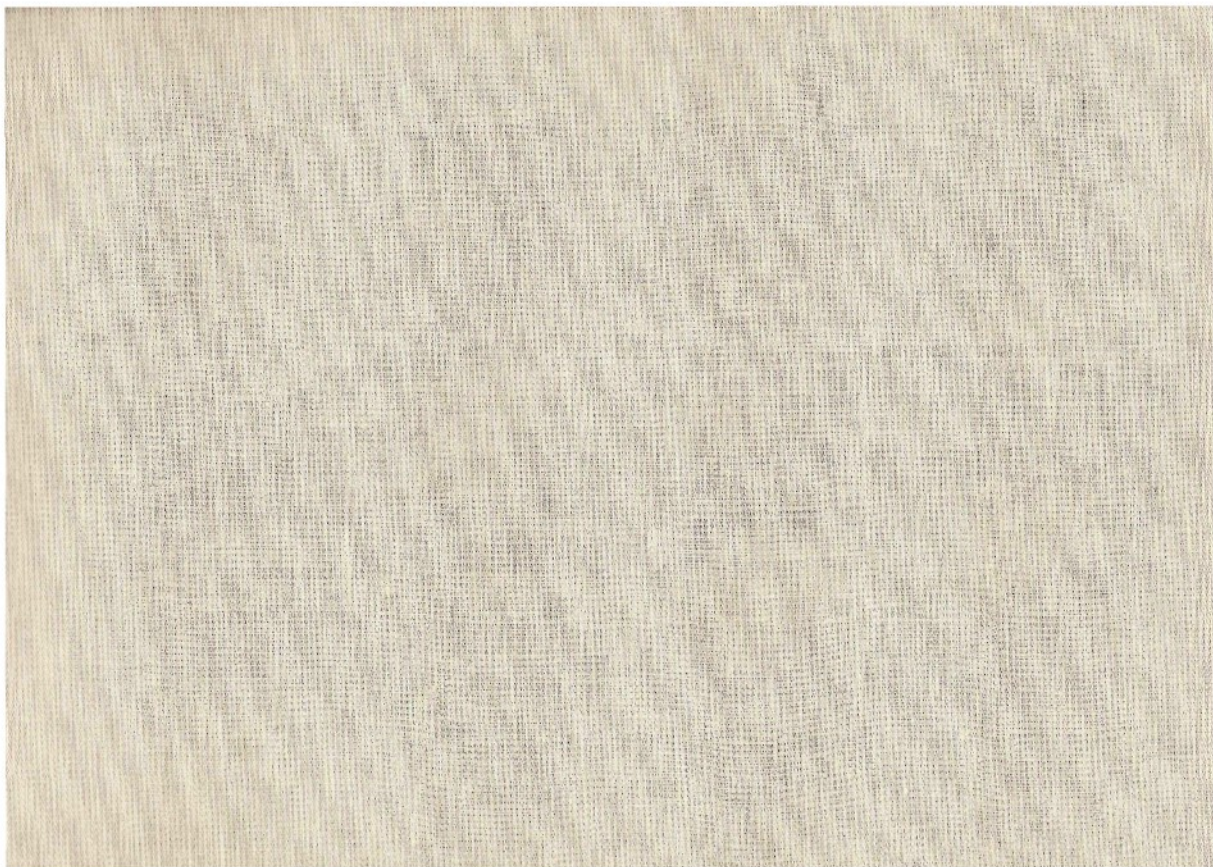
Obrázok 18: Obraz reálnej tkaniny Kepr\_6



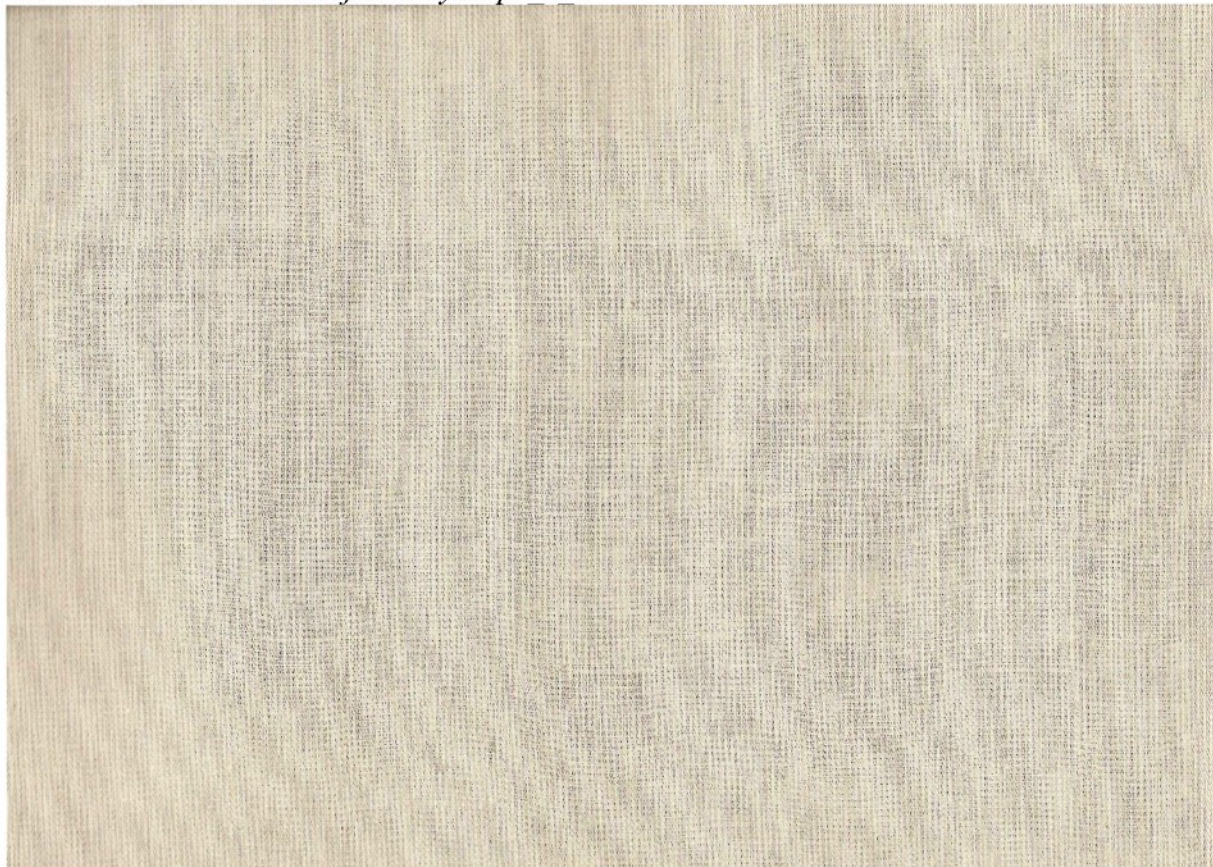
Obrázok 19: Obraz reálnej tkaniny Kepr\_v\_1



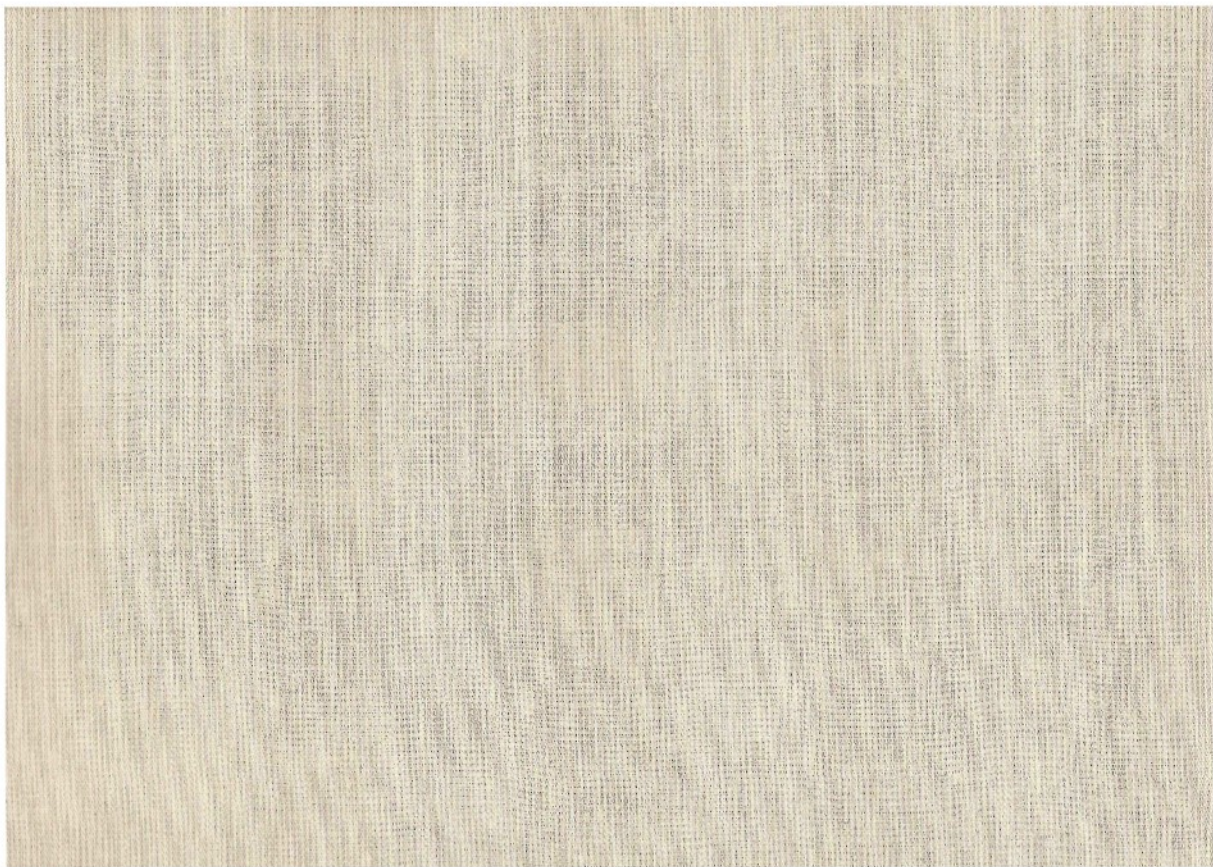
Obrázok 20: Obraz reálnej tkaniny Kepr\_v\_2



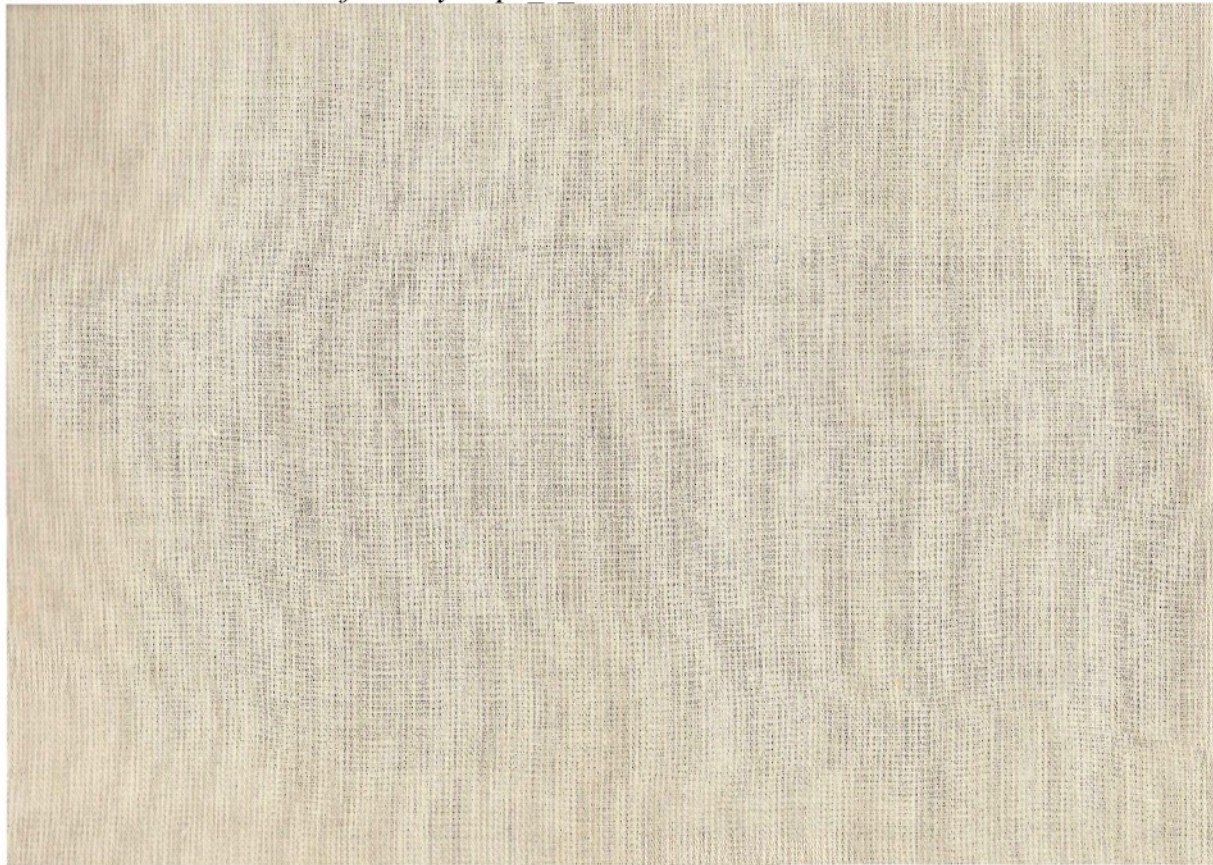
Obrázok 21: Obraz reálnej tkaniny Kepr\_v\_3



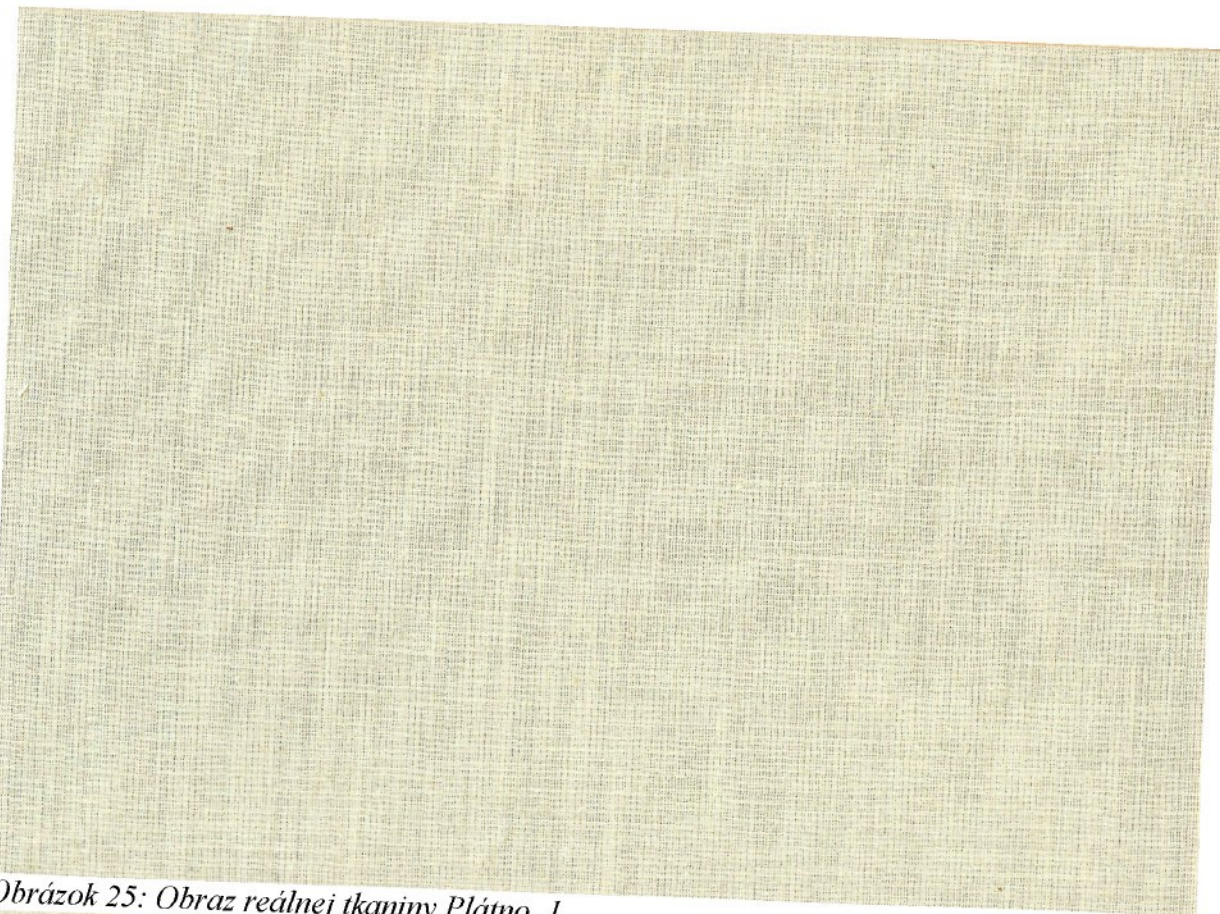
Obrázok 22: Obraz reálnej tkaniny Kepr\_v\_4



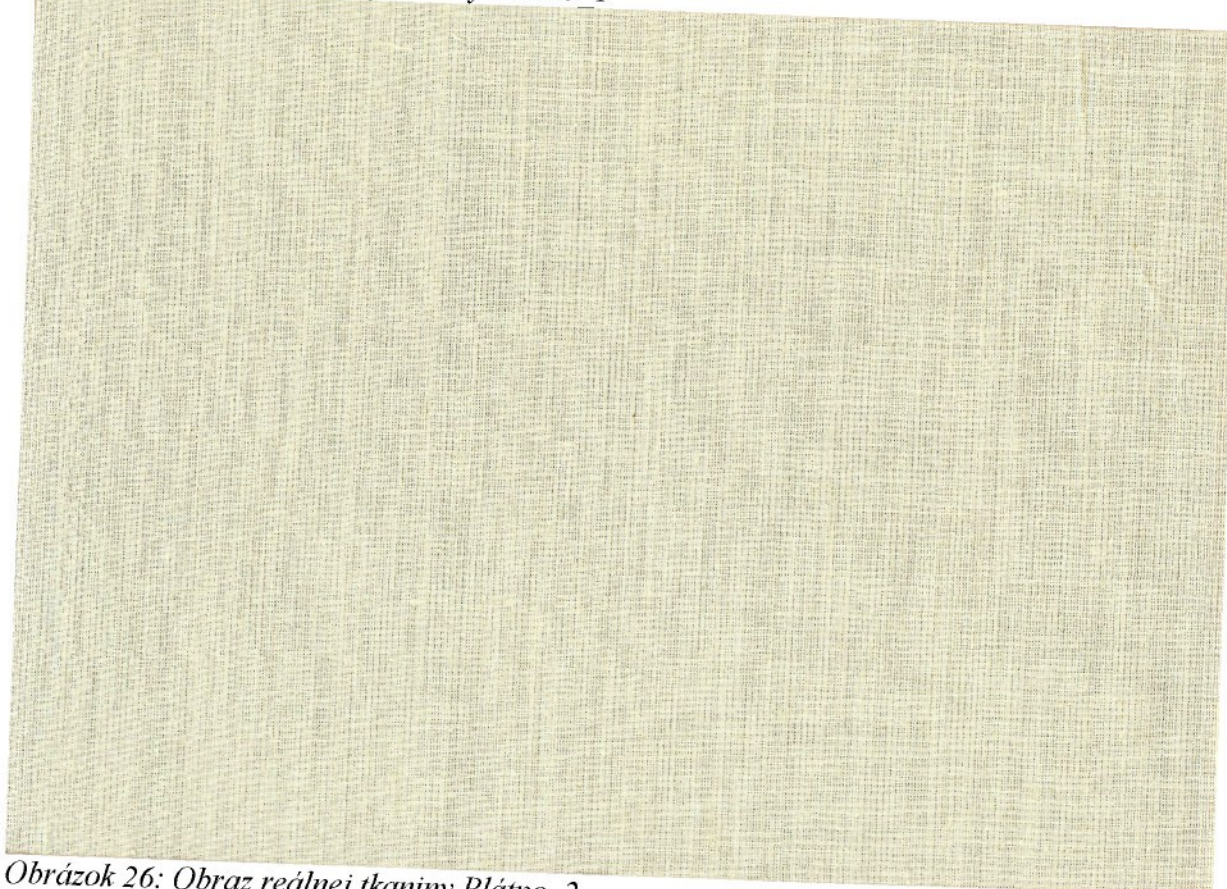
Obrázok 23: Obraz reálnej tkaniny Kepr\_v\_5



Obrázok 24: Obraz reálnej tkaniny Kepr\_v\_6



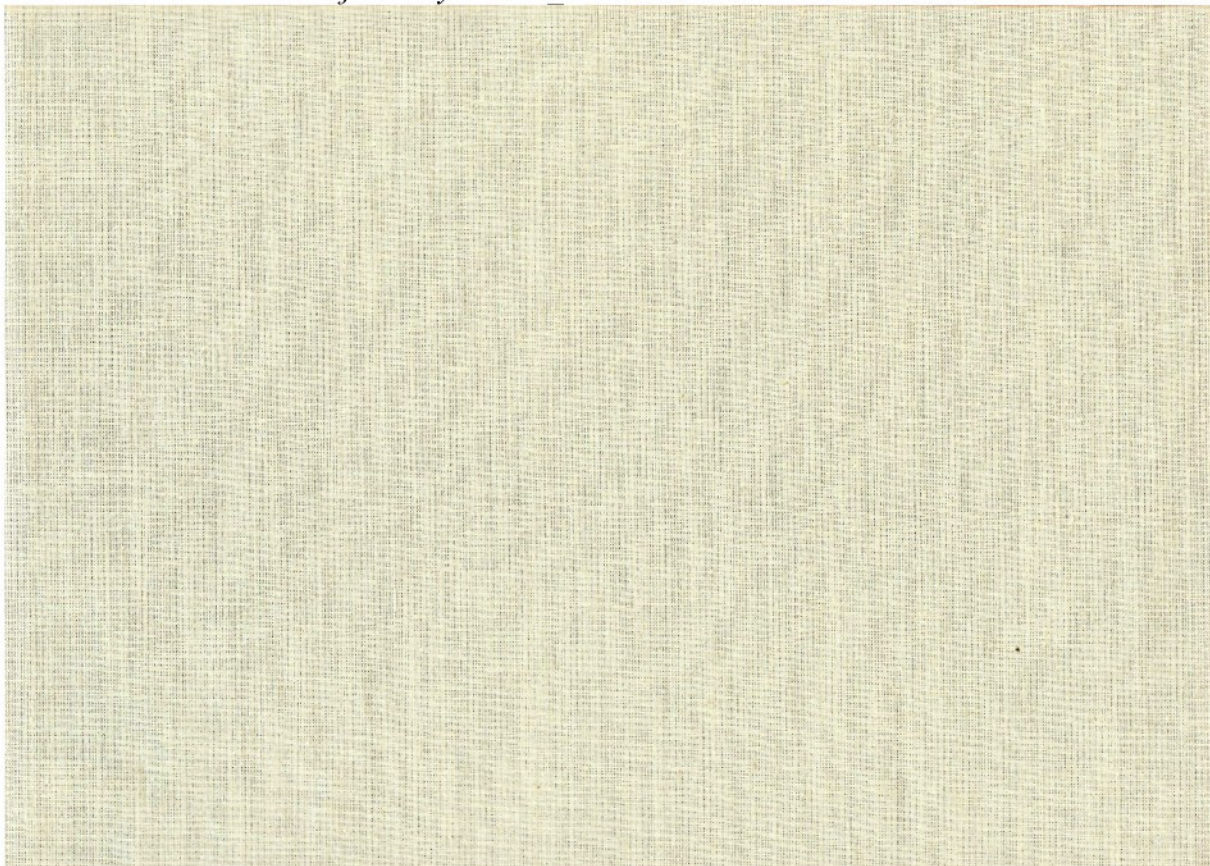
Obrázok 25: Obraz reálnej tkaniny Plátno\_1



Obrázok 26: Obraz reálnej tkaniny Plátno\_2



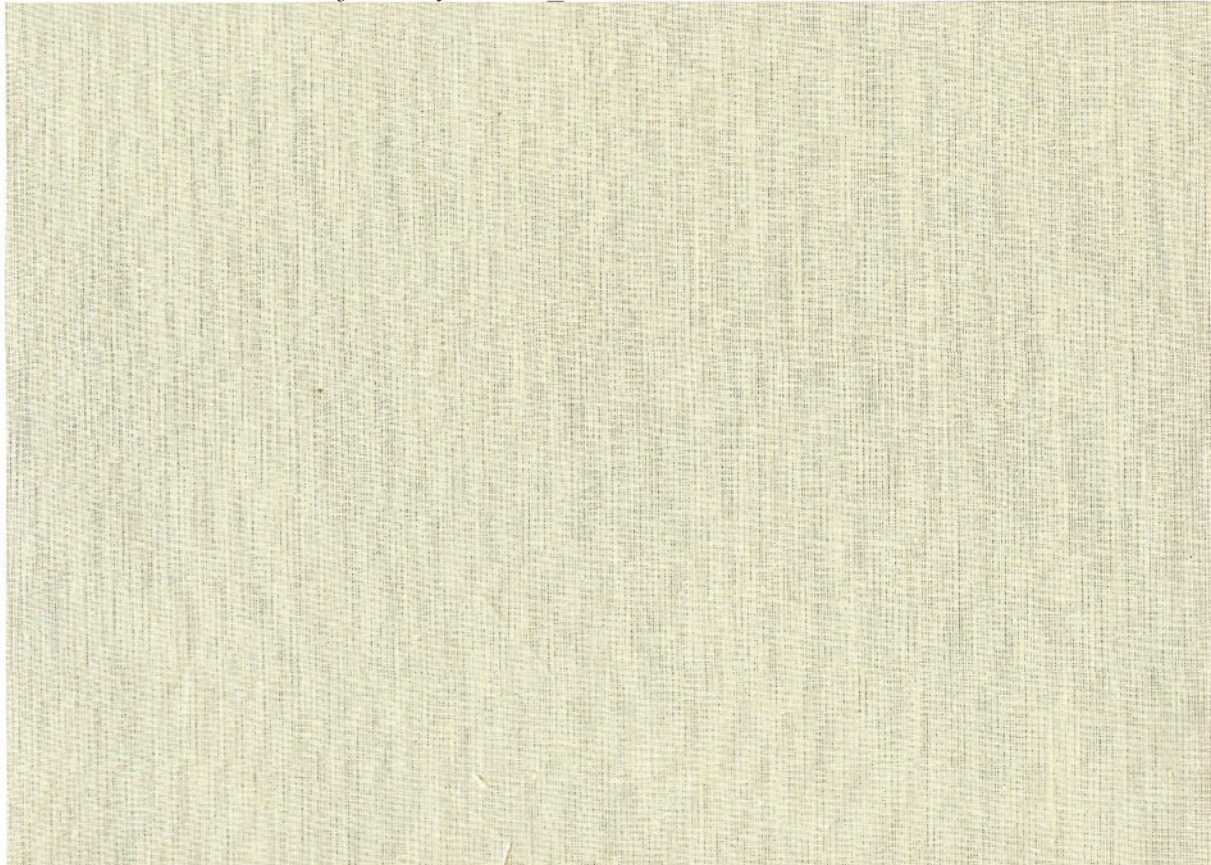
Obrázok 27: Obraz reálnej tkaniny Plátno\_3



Obrázok 28: Obraz reálnej tkaniny Plátno\_4



Obrázok 29: Obraz reálnej tkaniny Plátno\_5



Obrázok 30: Obraz reálnej tkaniny Plátno\_6



Obrázok 31: Obraz reálnej tkaniny Plátno\_v\_1



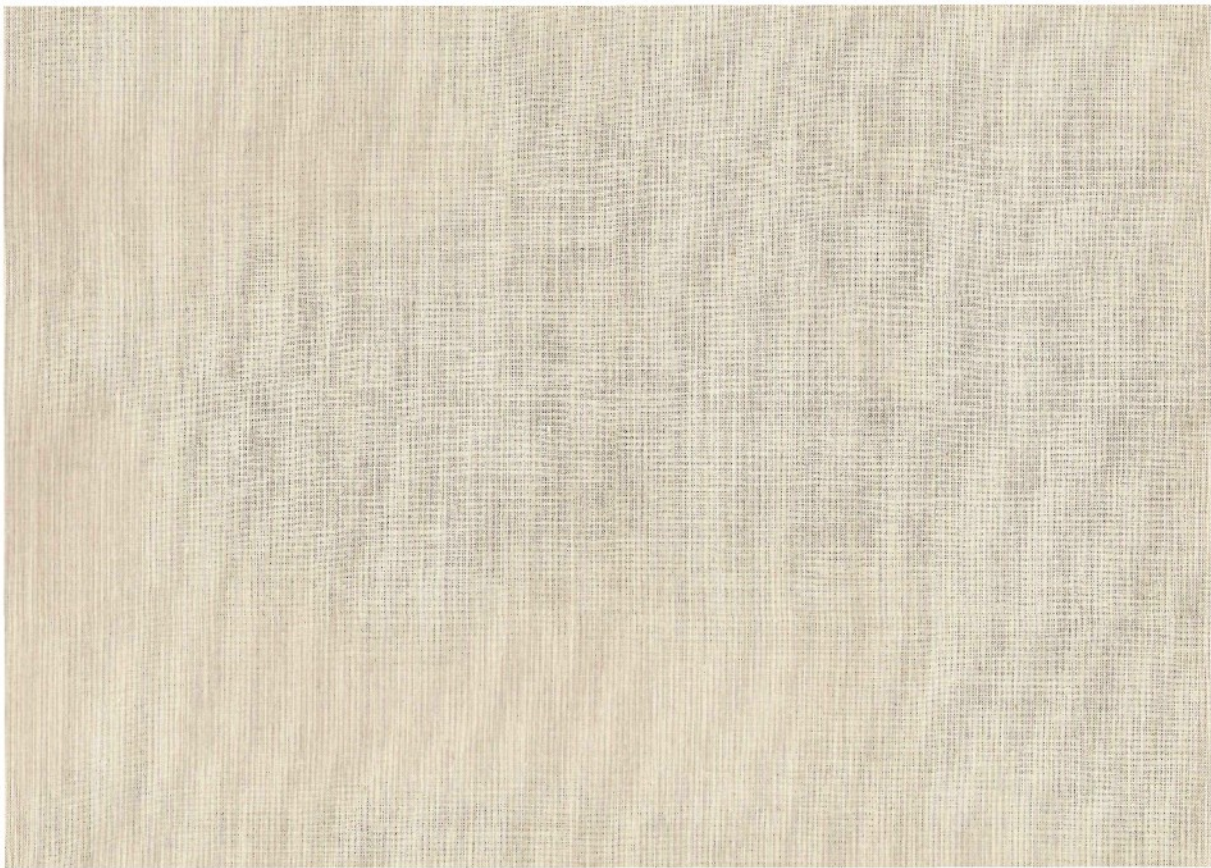
Obrázok 32: Obraz reálnej tkaniny Plátno\_v\_2



Obrázok 33: Obraz reálnej tkaniny Plátno\_v\_3



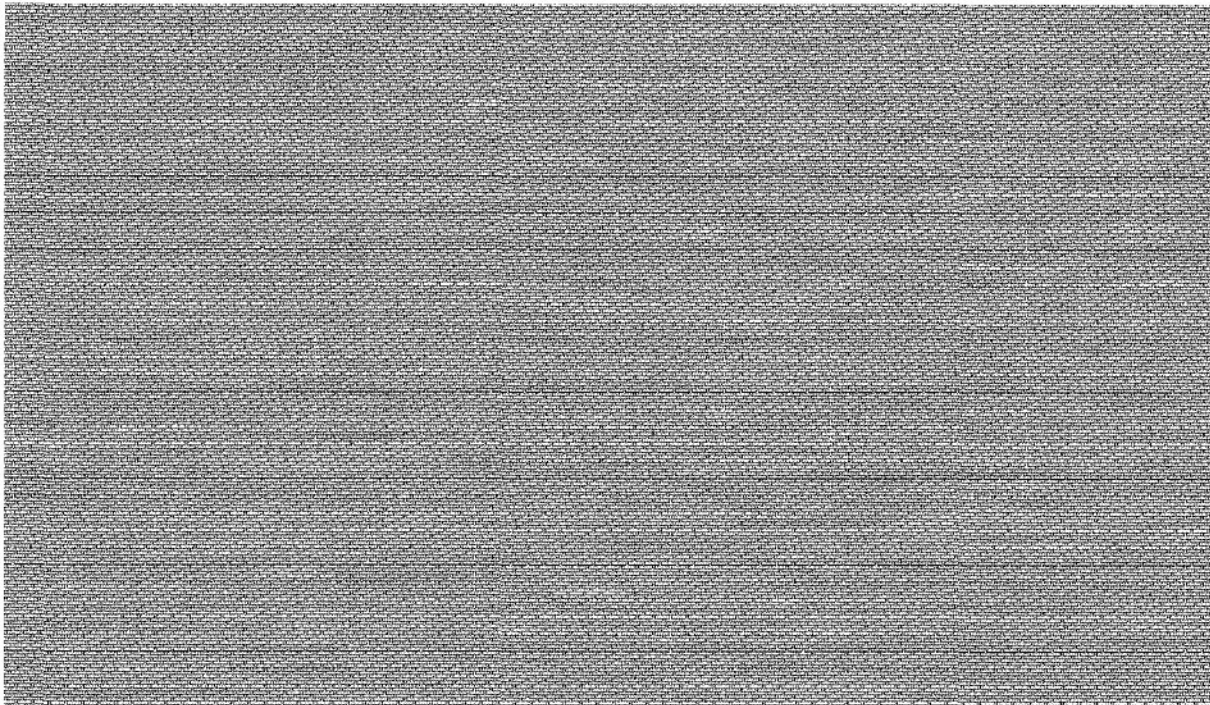
Obrázok 34: Obraz reálnej tkaniny Plátno\_v\_4



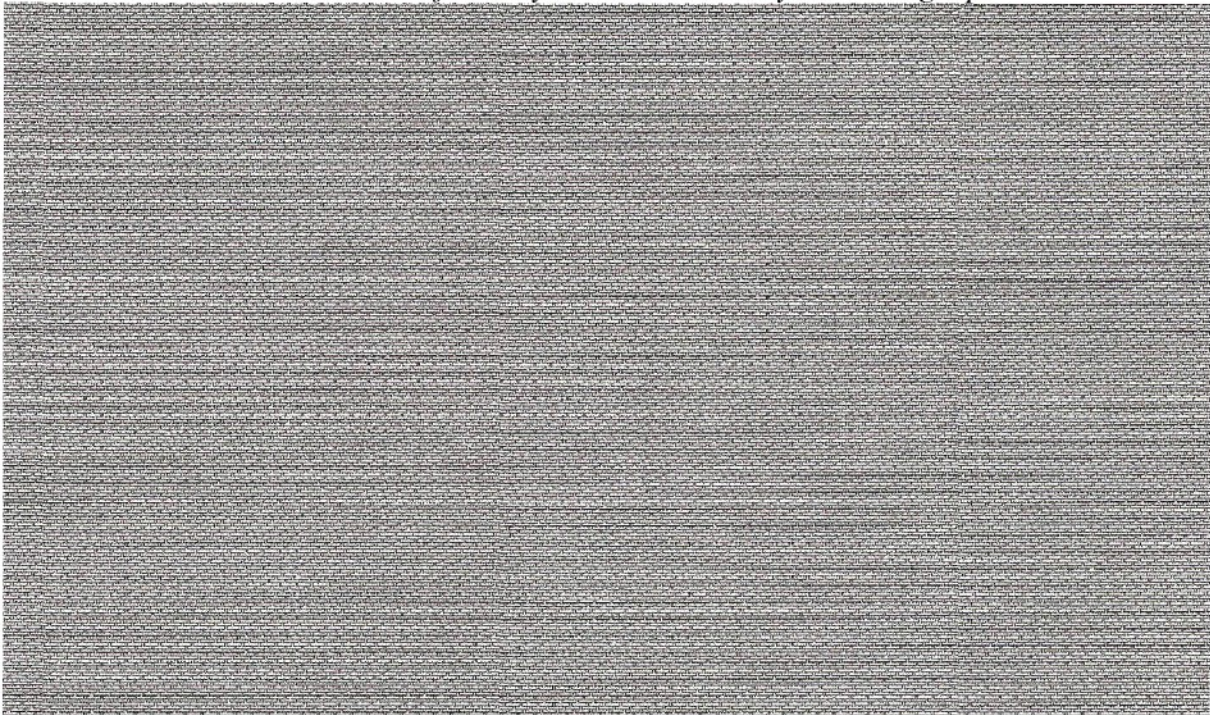
Obrázok 35: Obraz reálnej tkaniny Plátno\_v\_5



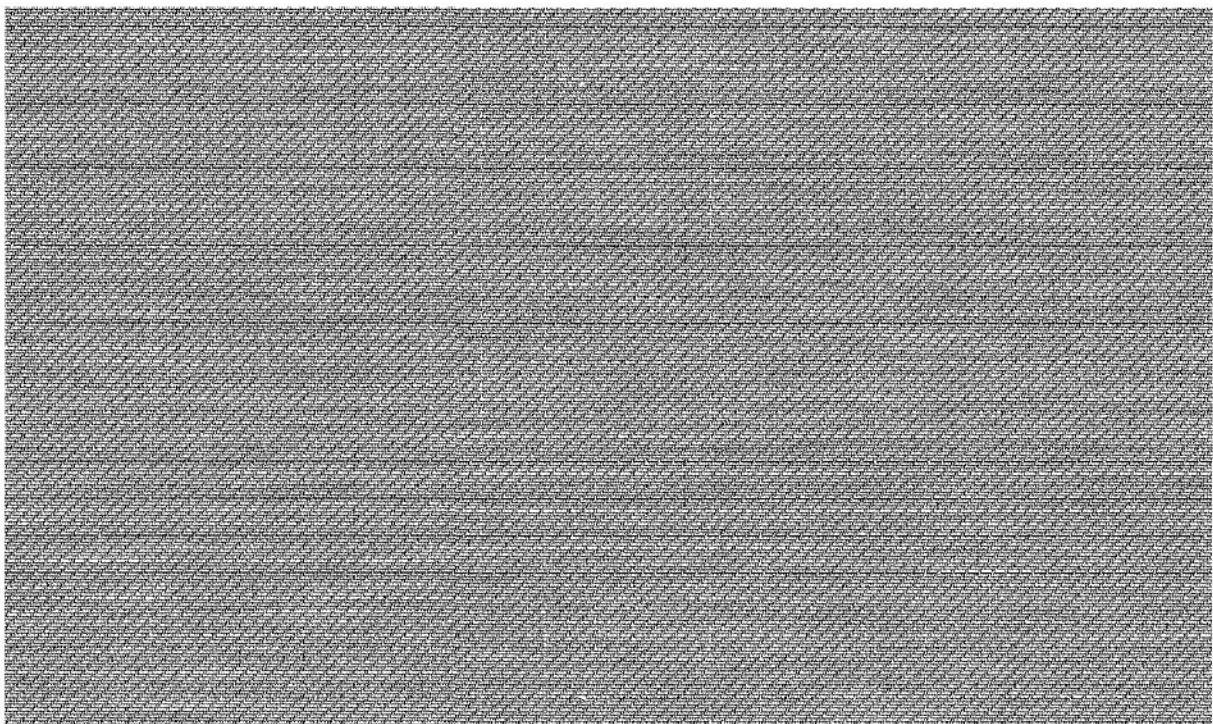
Obrázok 36: Obraz reálnej tkaniny Plátno\_v\_6



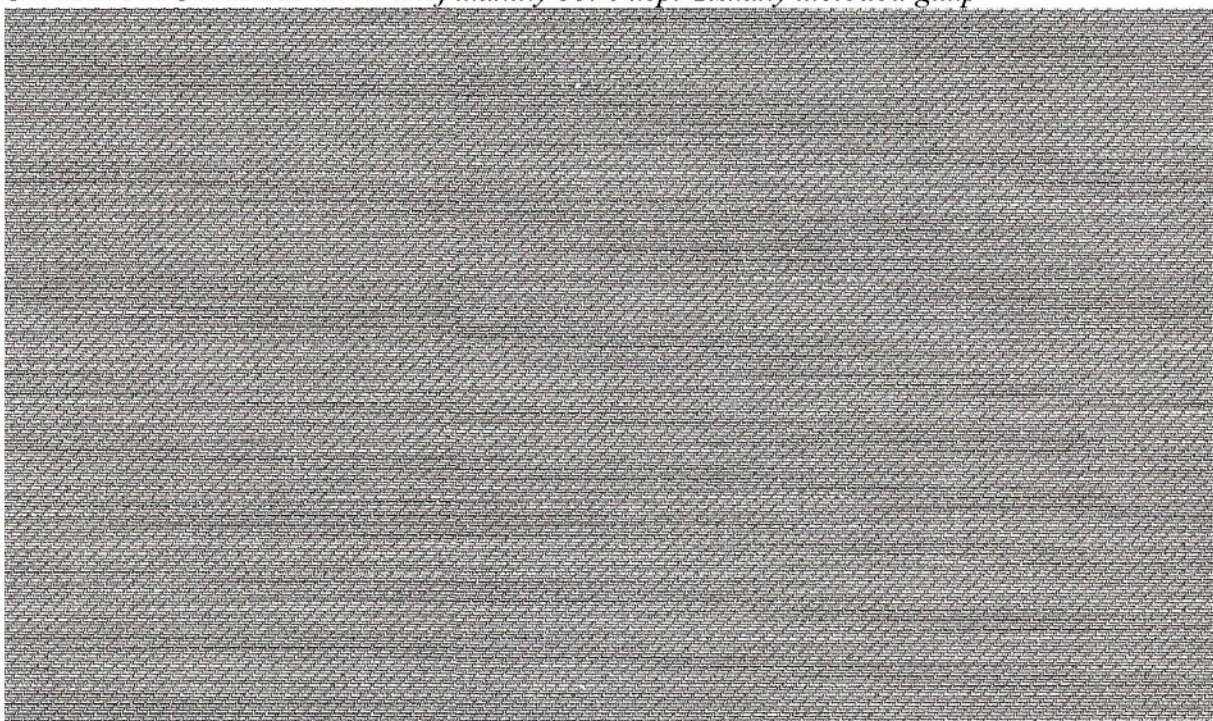
Obrázok 37: Obraz nasimulovanej tkaniny 3396 atlas získaný metodou gimp



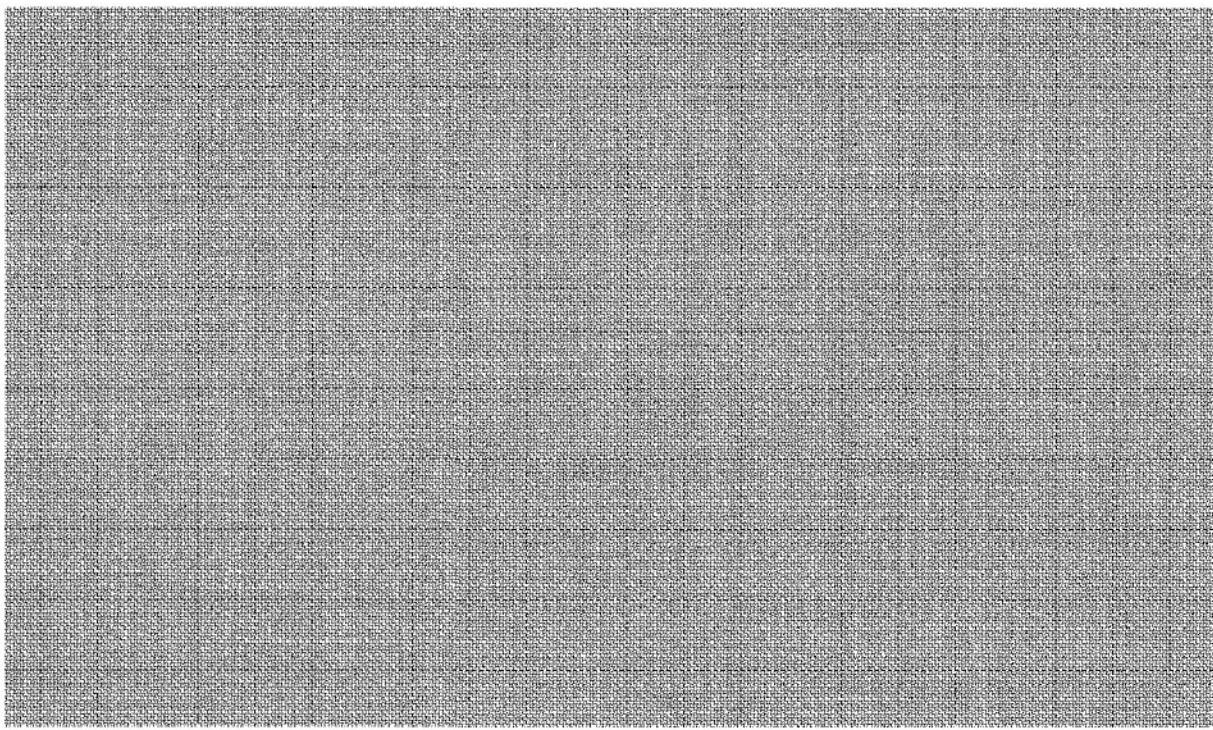
Obrázok 38: Obraz nasimulovanej tkaniny 3396 atlas získaný metodou sken



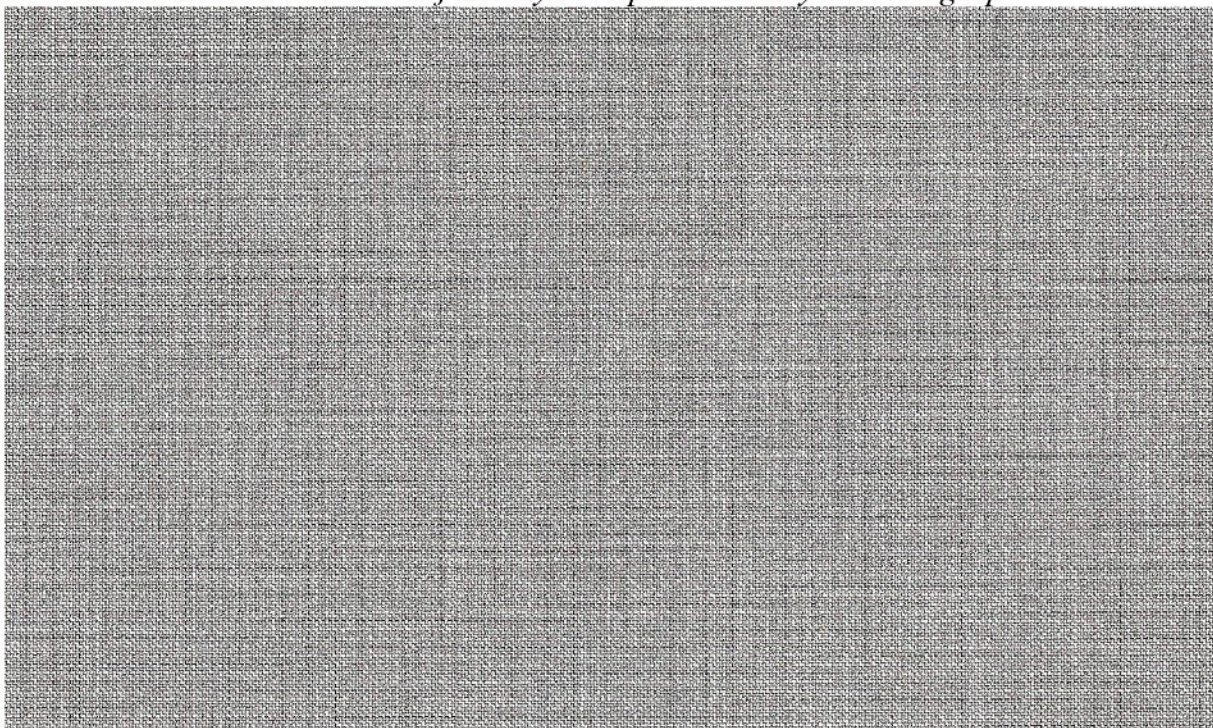
Obrázok 39: Obraz nasimulovanej tkaniny 3396 kepr získaný metodou gimp



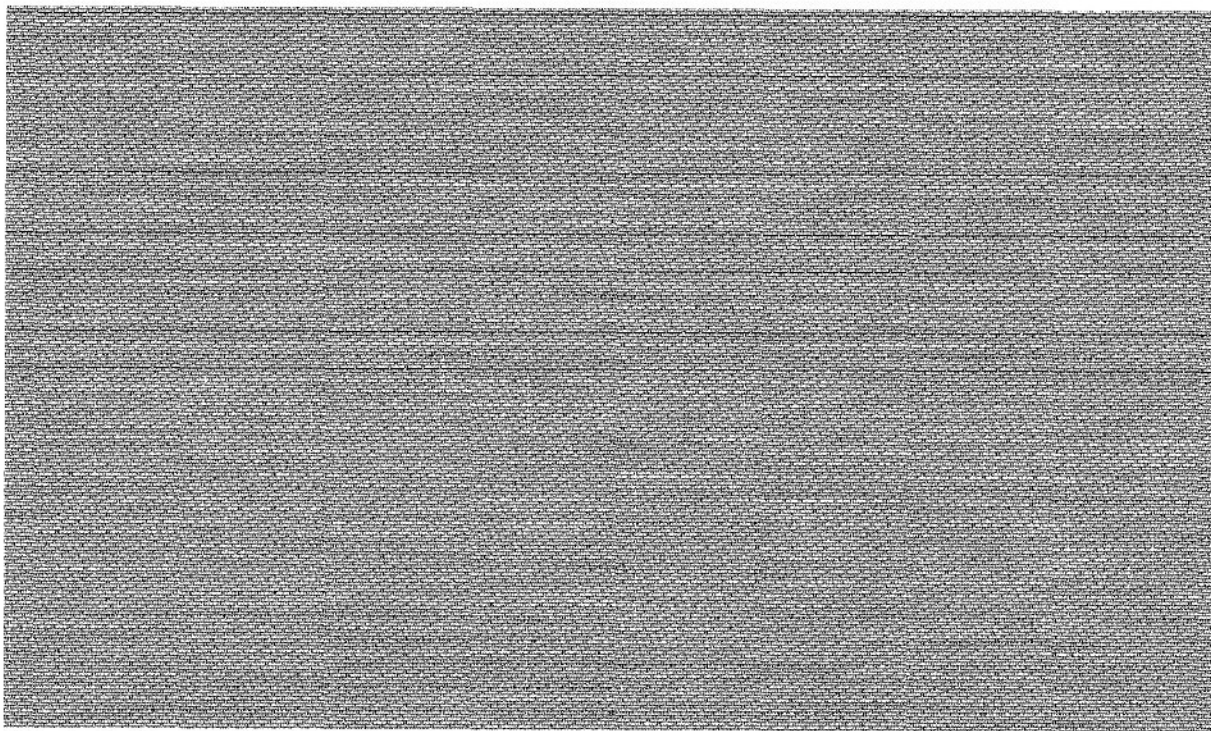
Obrázok 40: Obraz nasimulovanej tkaniny 3396 kepr získaný metodou sken



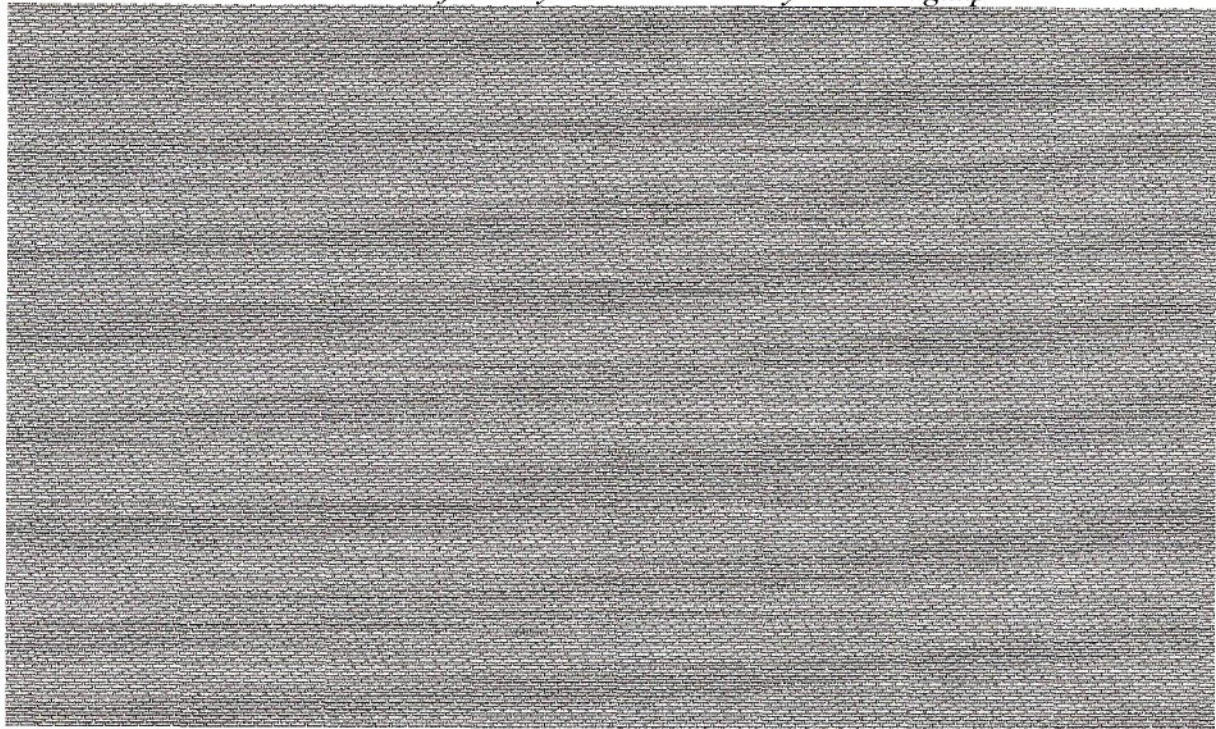
Obrázok 41: Obraz nasimulovanej tkaniny 3396 plátno získaný metodou gimp



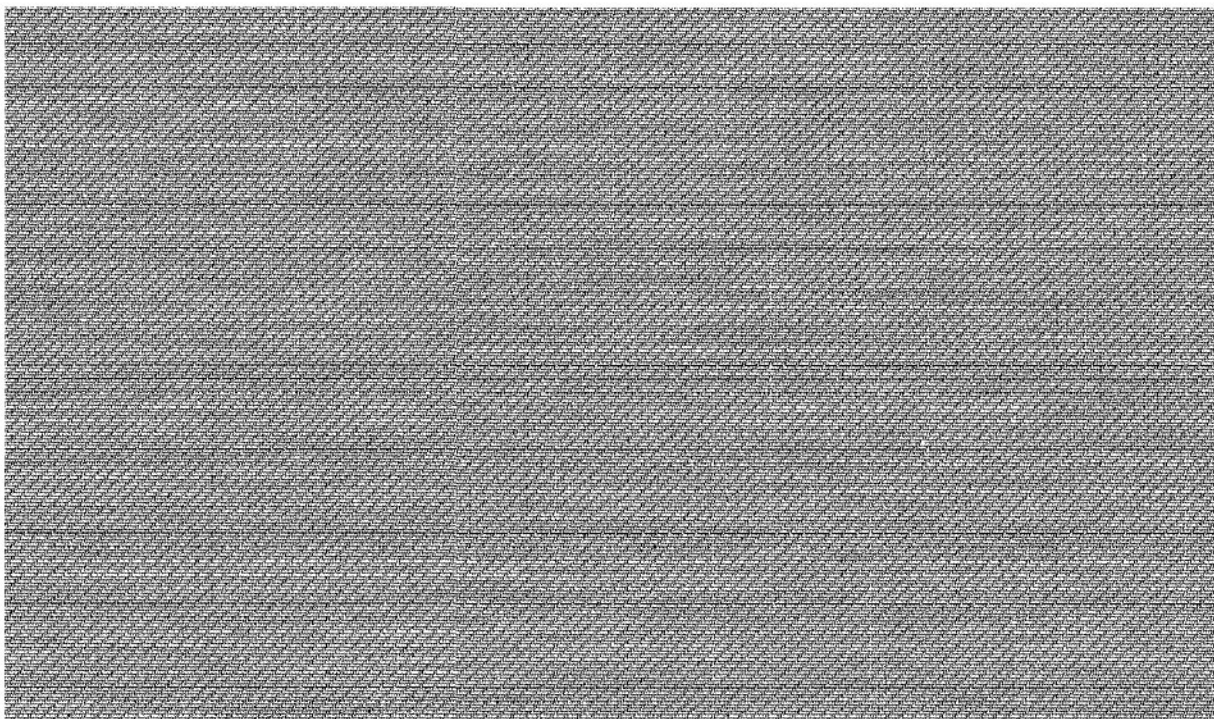
Obrázok 42: Obraz nasimulovanej tkaniny 3396 plátno získaný metodou sken



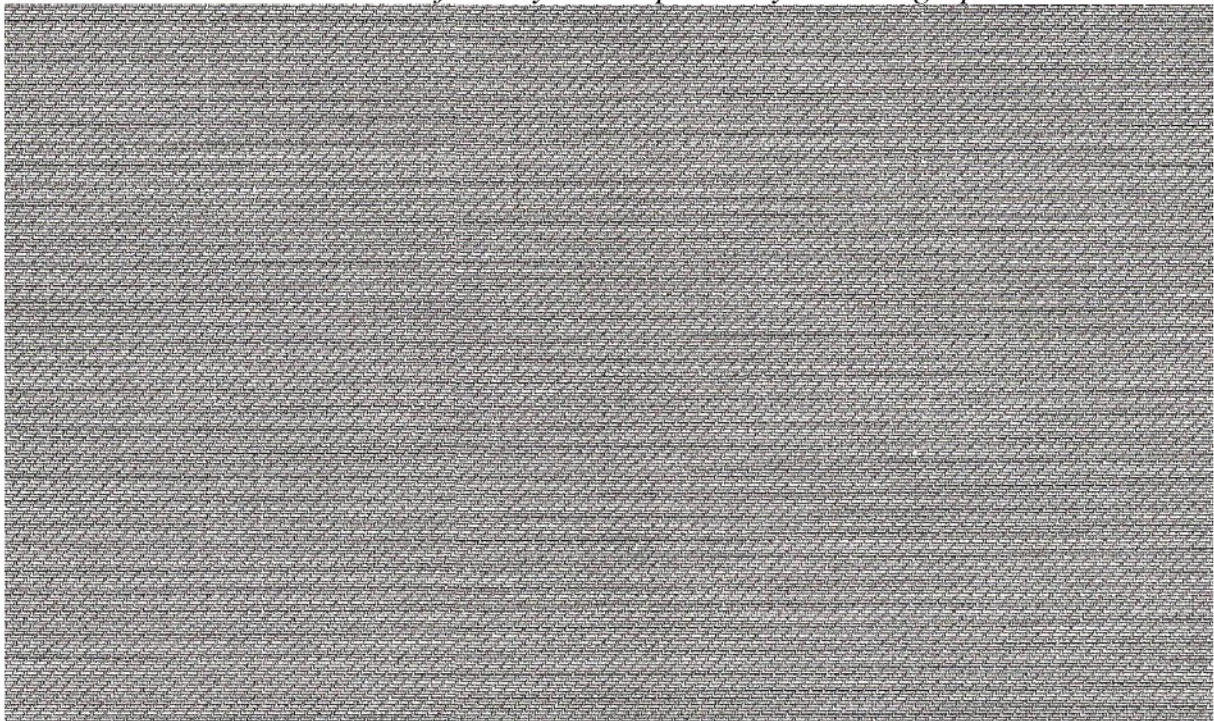
Obrázok 43: Obraz nasimulovanej tkaniny 3398 atlas získaný metodou gimp



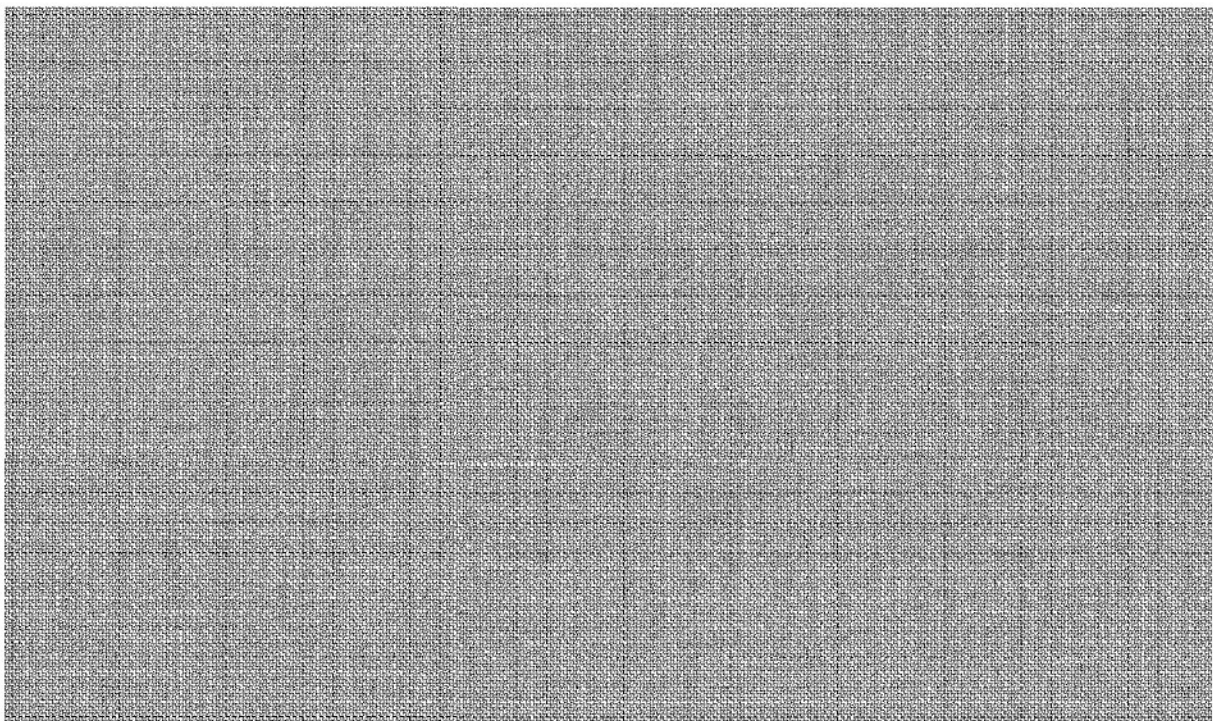
Obrázok 44: Obraz nasimulovanej tkaniny 3398 atlas získaný metodou sken



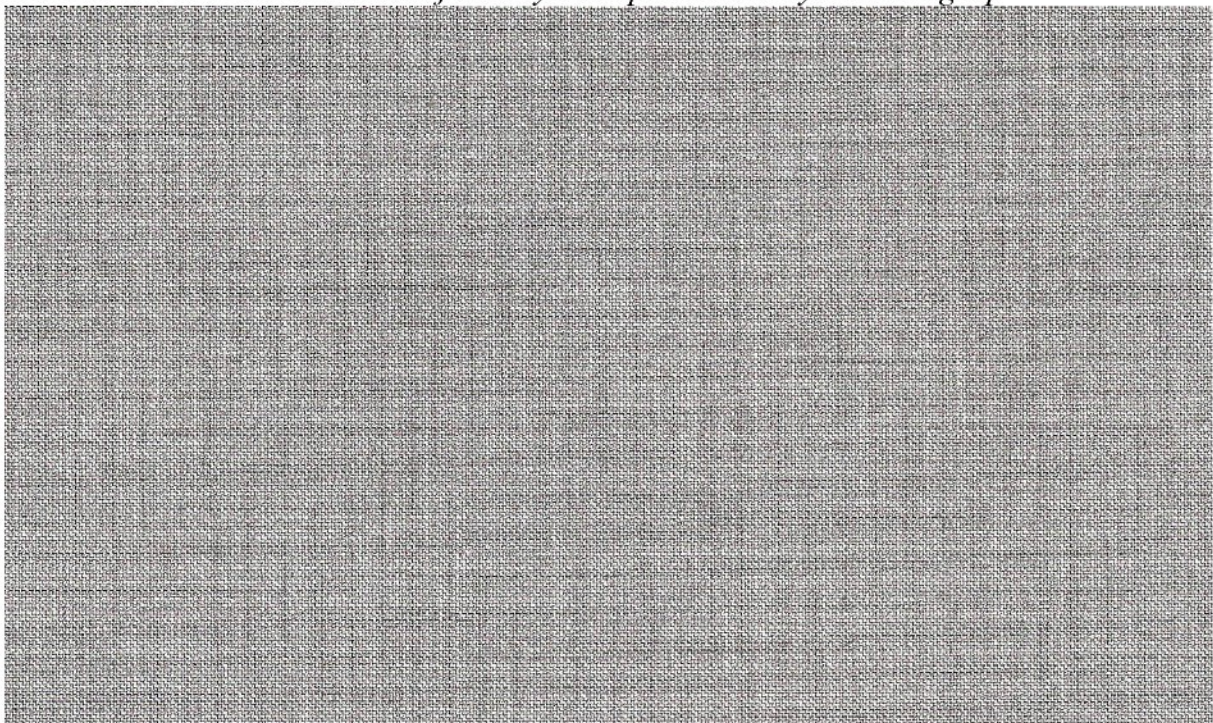
Obrázok 45: Obraz nasimulovanej tkaniny 3398 kepr získaný metodou gimp



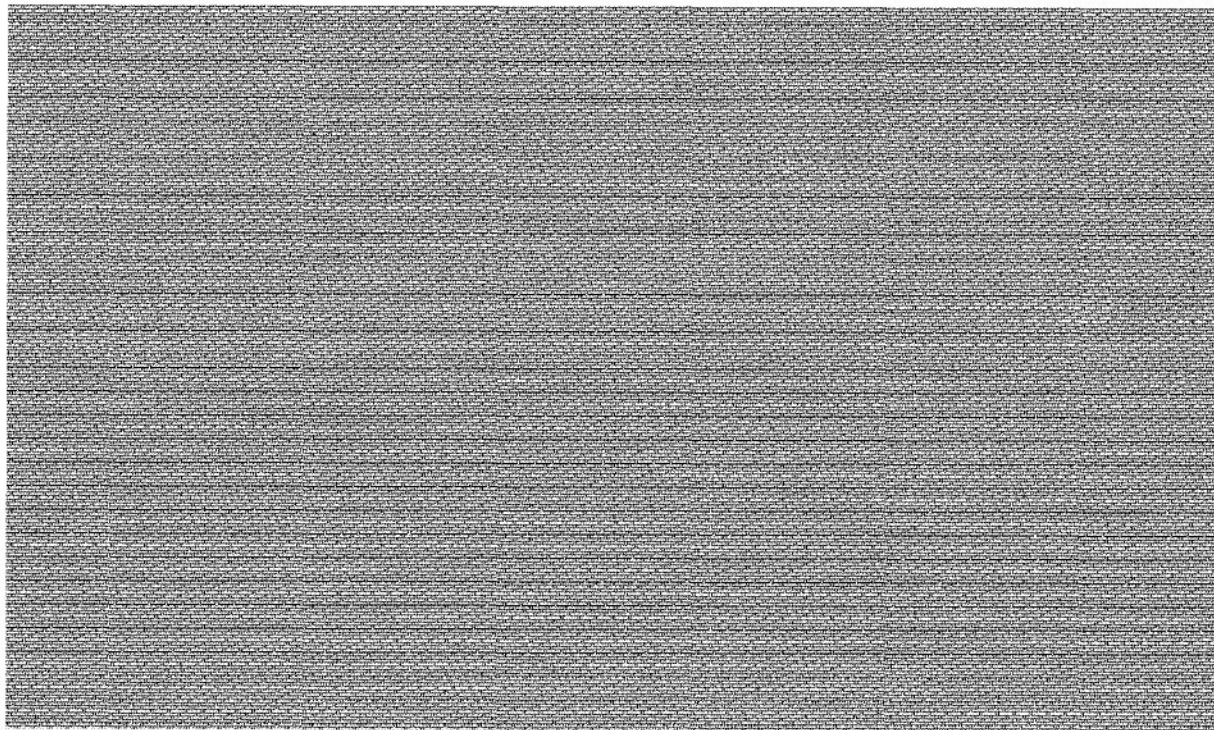
Obrázok 46: Obraz nasimulovanej tkaniny 3398 kepr získaný metodou sken



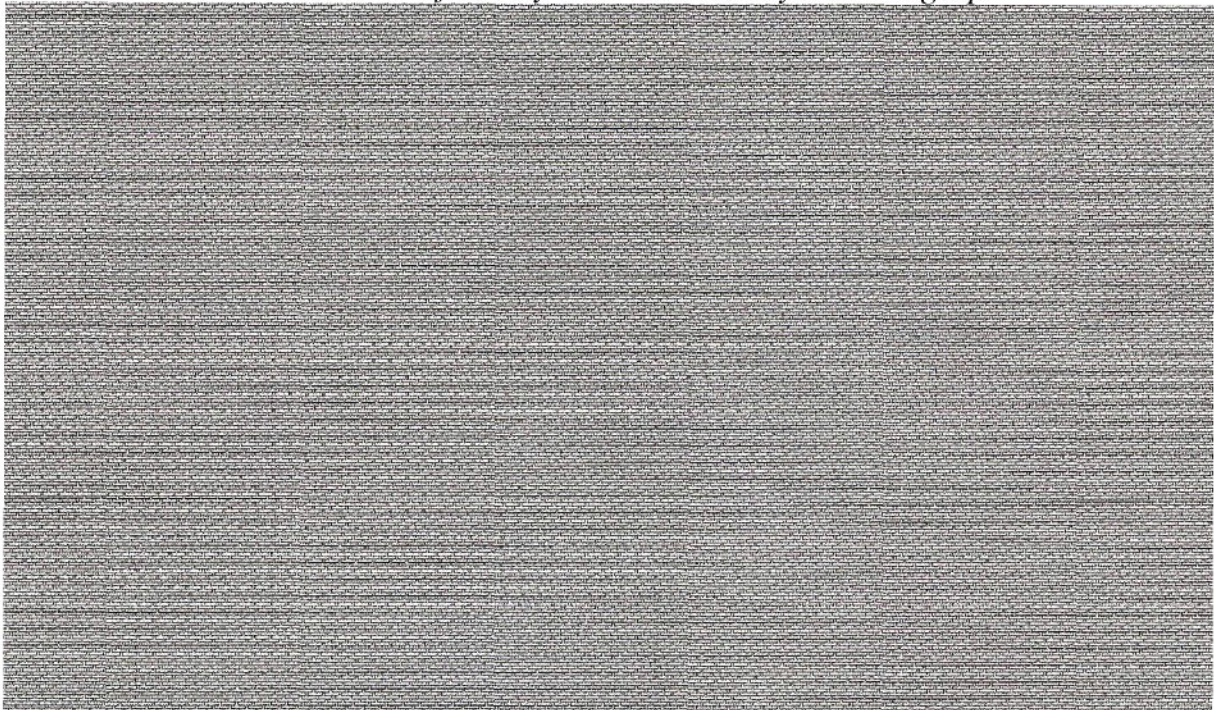
Obrázok 47: Obraz nasimulovanej tkaniny 3398 plátno získaný metodou gimp



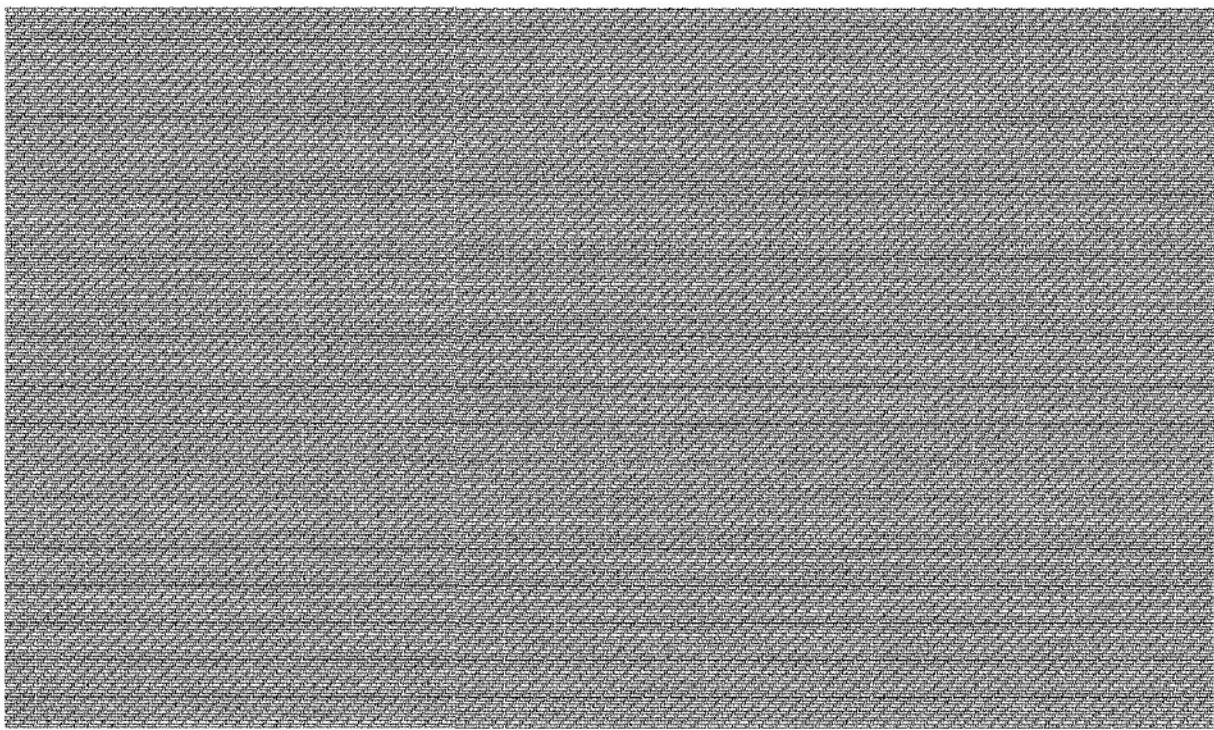
Obrázok 48: Obraz nasimulovanej tkaniny 3398 plátno získaný metodou sken



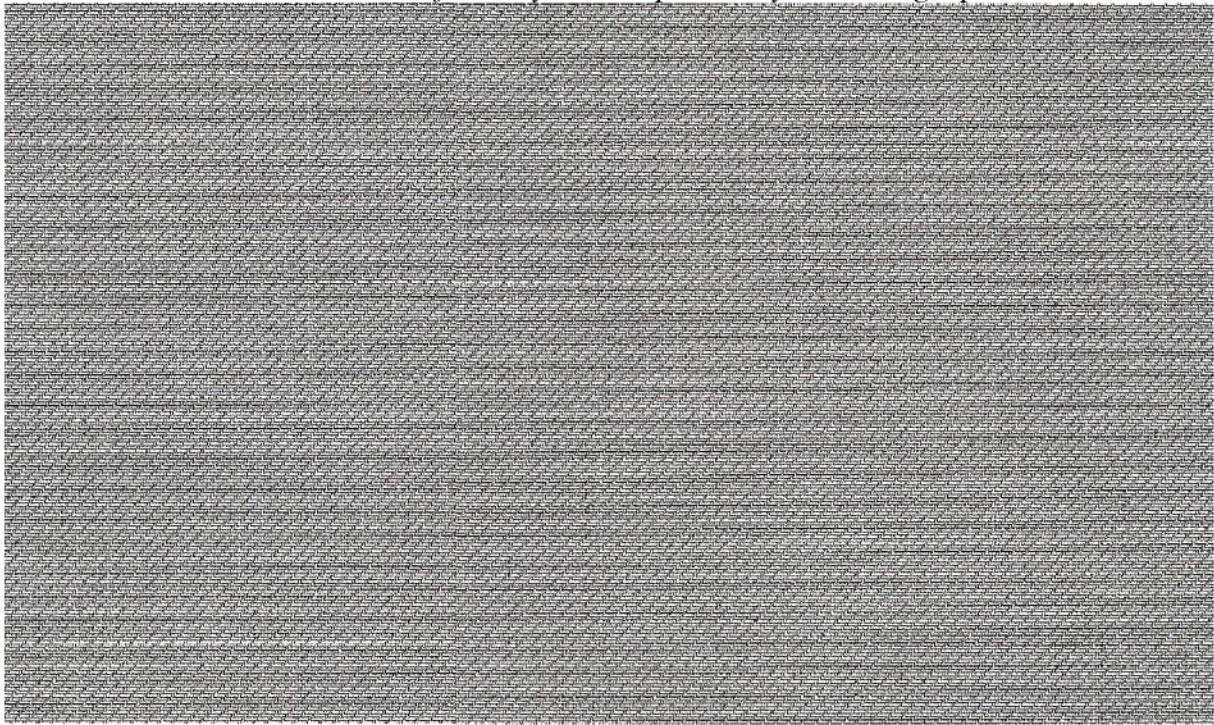
Obrázok 49: Obraz nasimulovanej tkaniny 4188 atlas získaný metodou gimp



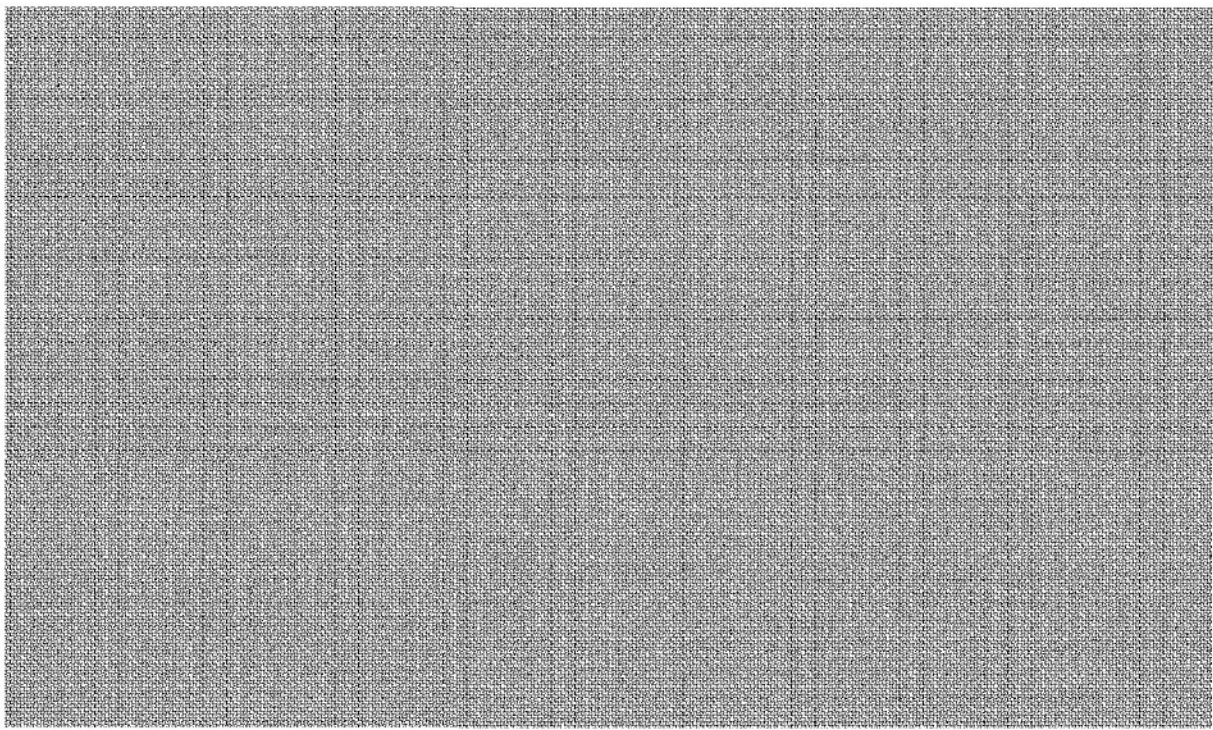
Obrázok 50: Obraz nasimulovanej tkaniny 4188 atlas získaný metodou sken



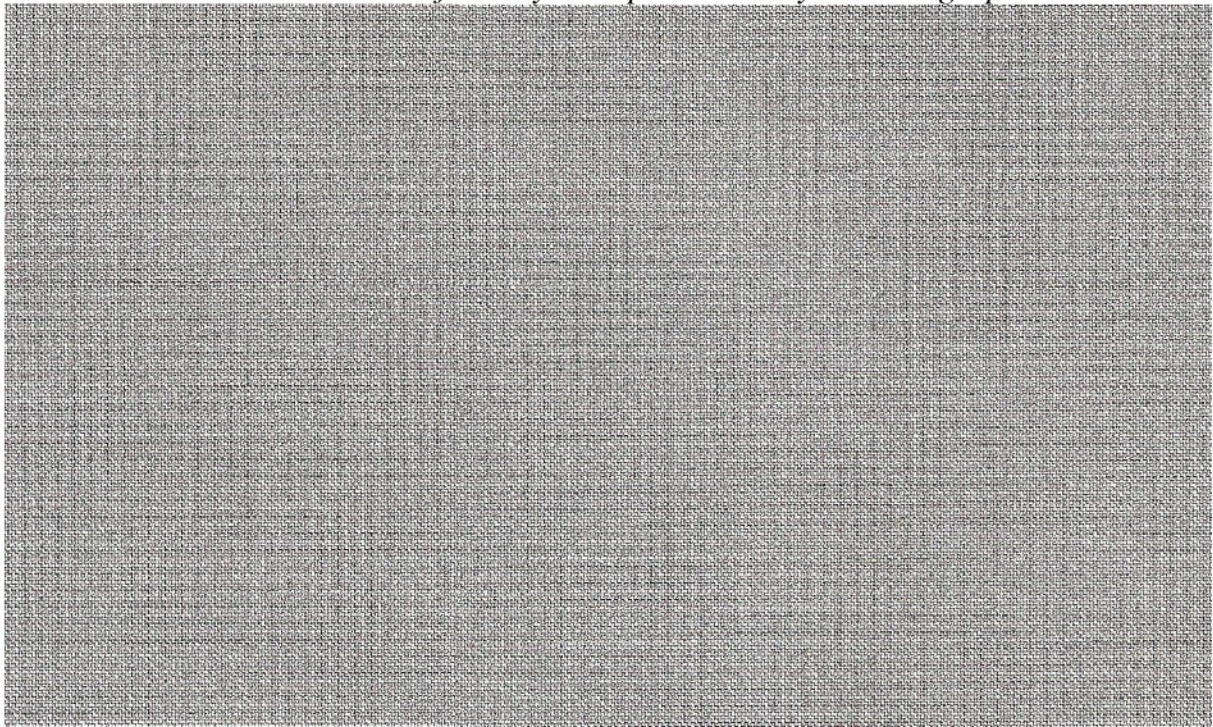
Obrázok 51: Obraz nasimulovanej tkaniny 4188 kepr získaný metodou gimp



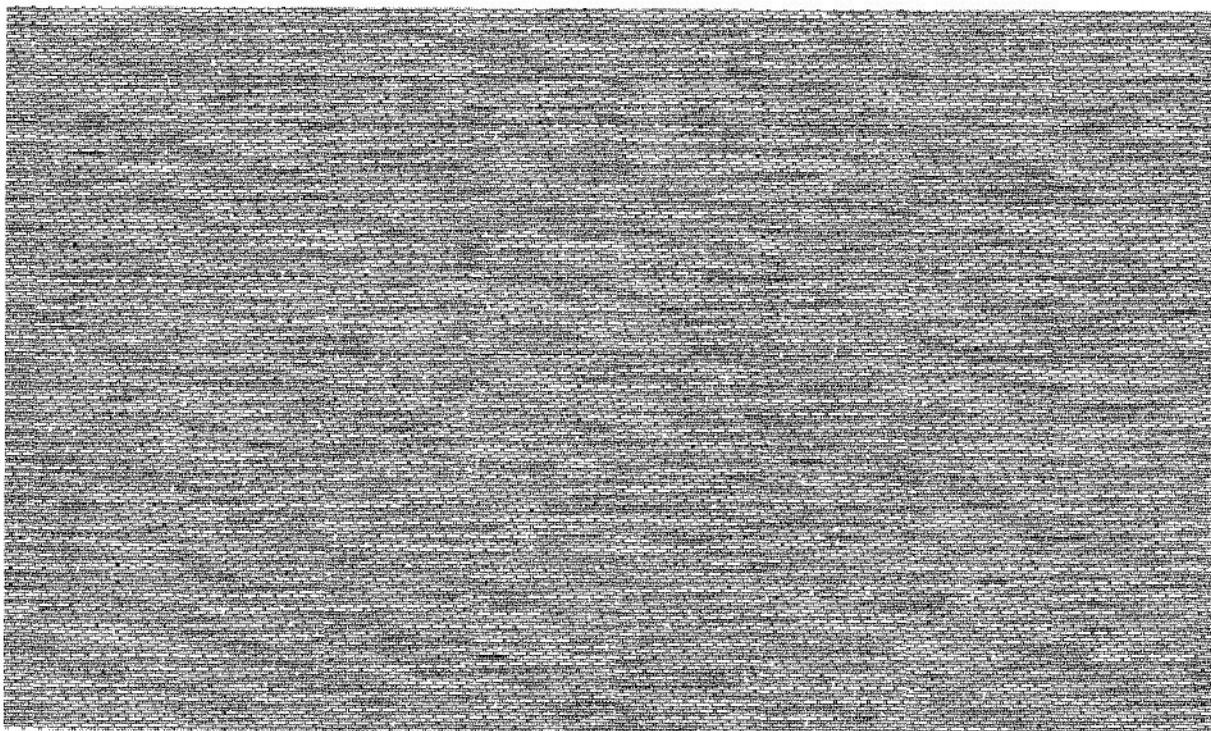
Obrázok 52: Obraz nasimulovanej tkaniny 4188 kepr získaný metodou sken



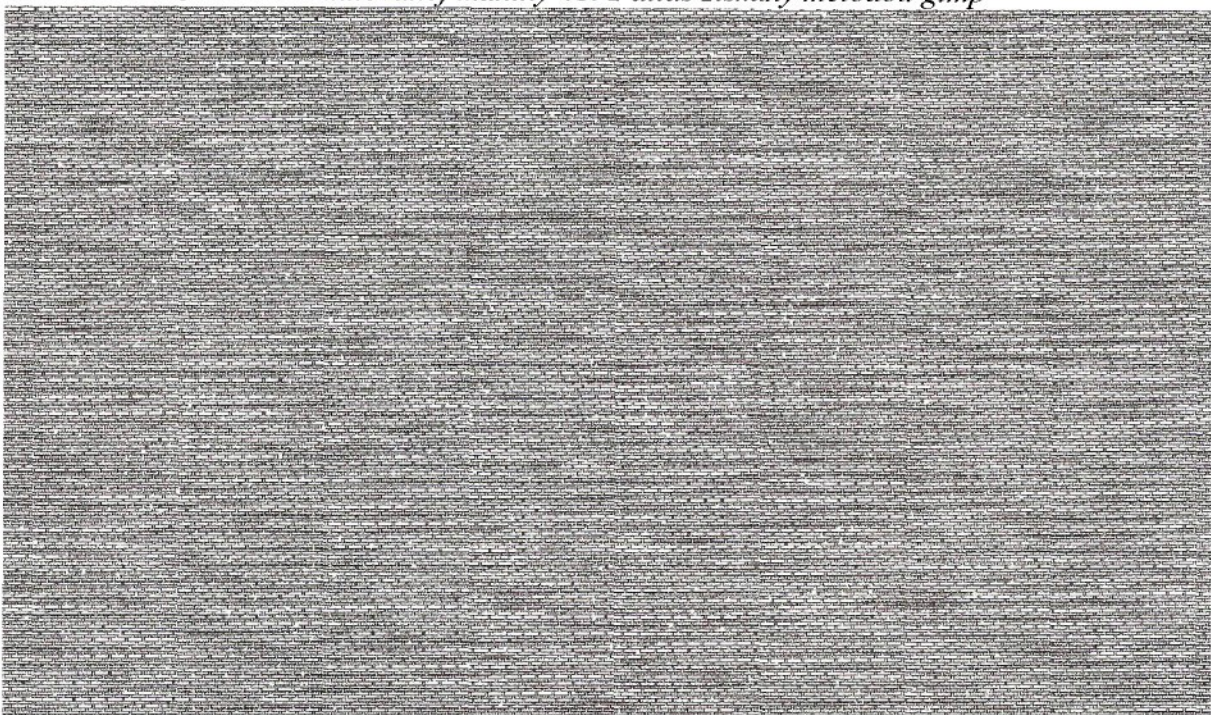
Obrázok 53: Obraz nasimulovanej tkaniny 4188 plátno získaný metodou gimp



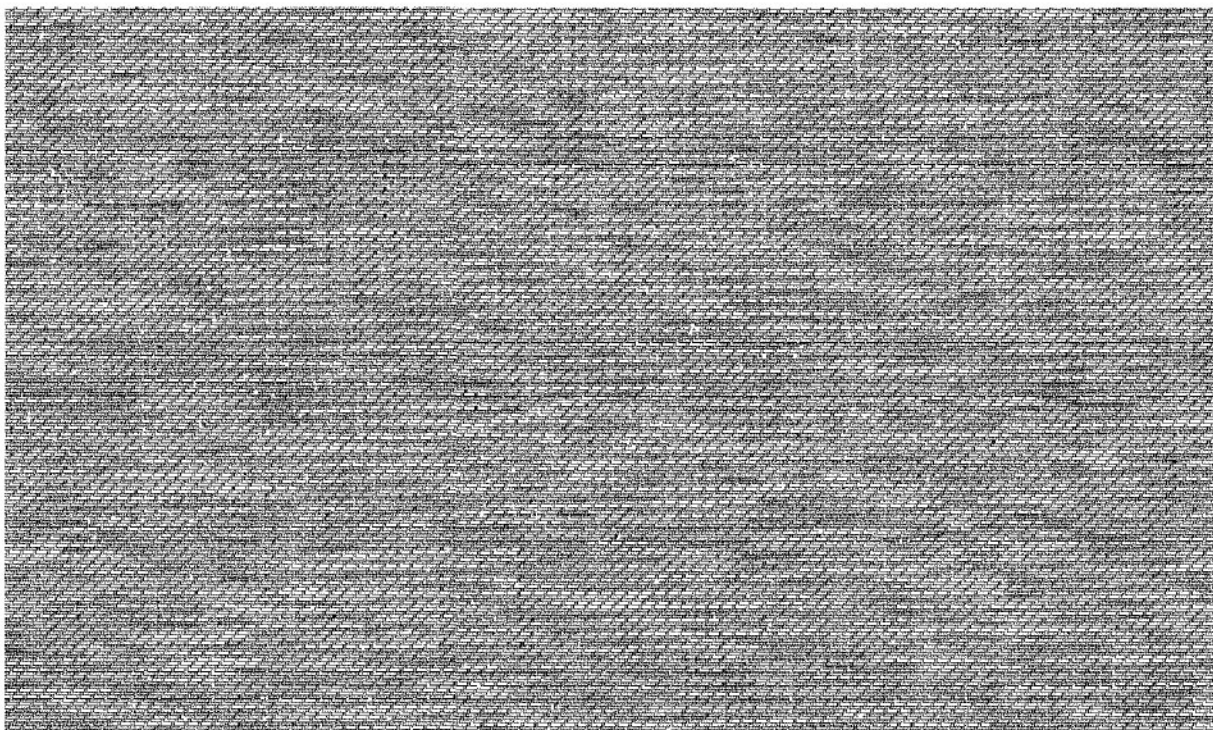
Obrázok 54: Obraz nasimulovanej tkaniny 4188 plátno získaný metodou sken



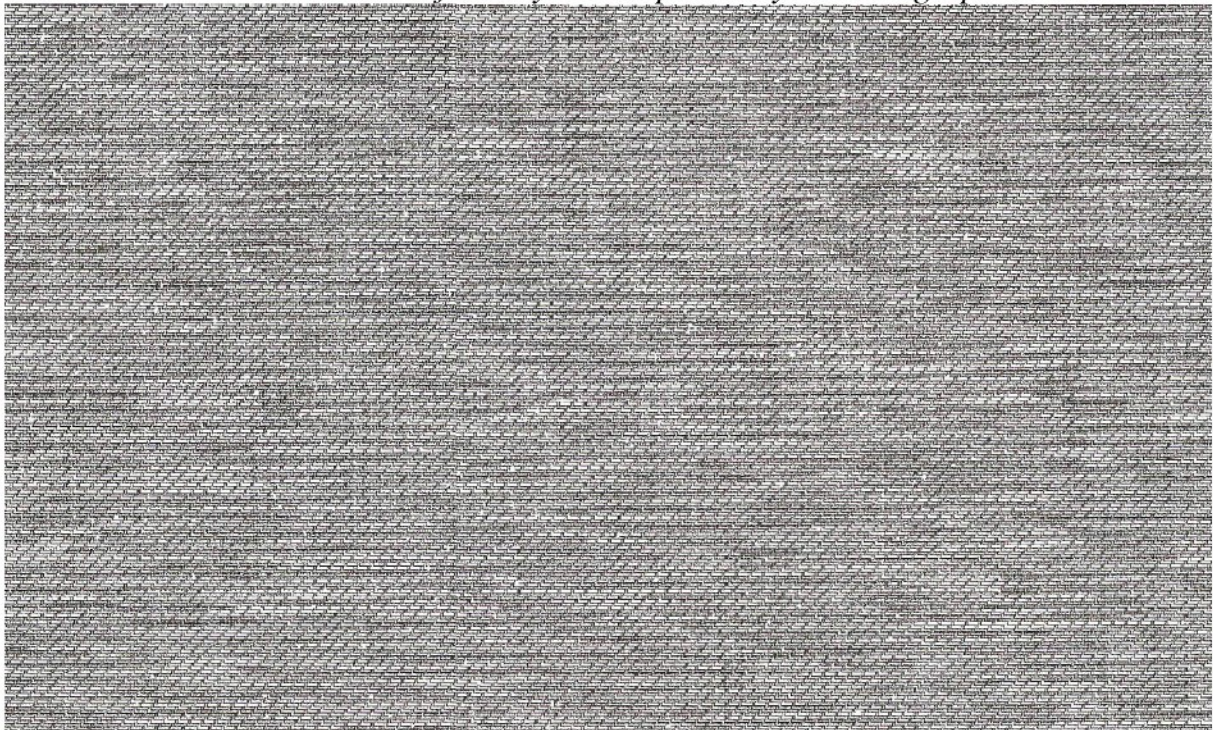
Obrázok 55: Obraz nasimulovanej tkaniny 4192 atlas získaný metodou gimp



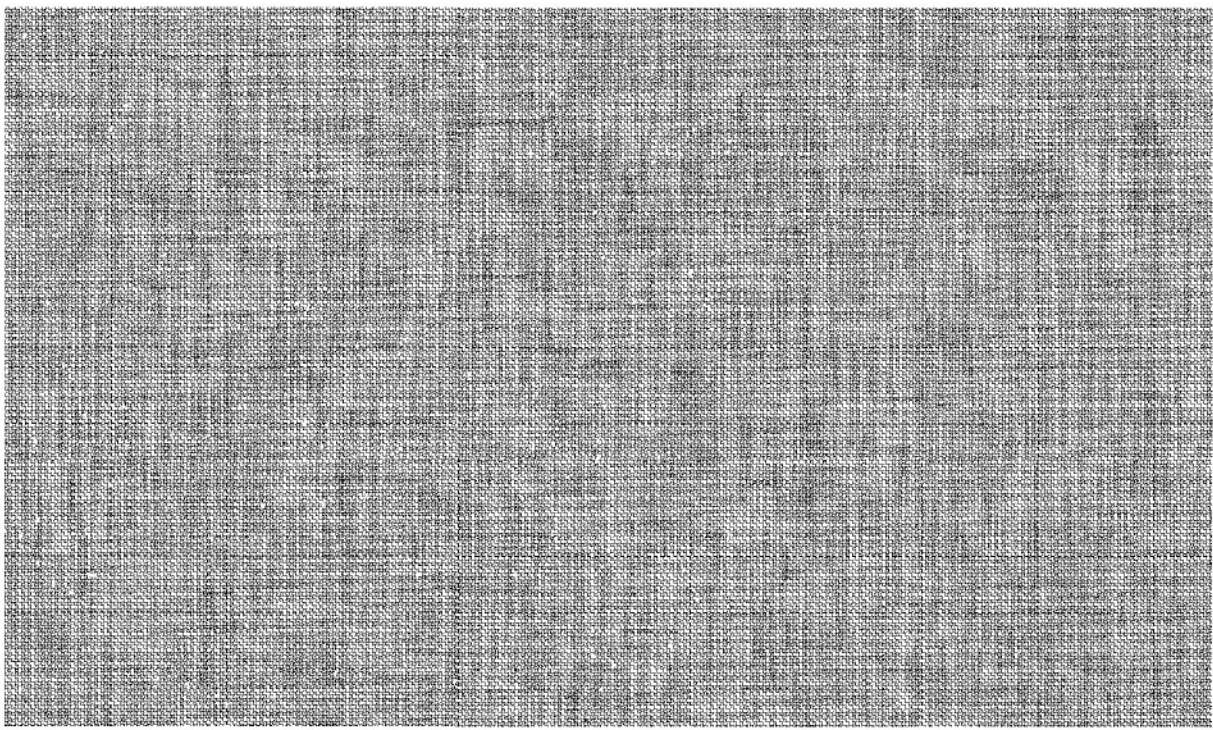
Obrázok 56: Obraz nasimulovanej tkaniny 4192 atlas získaný metodou sken



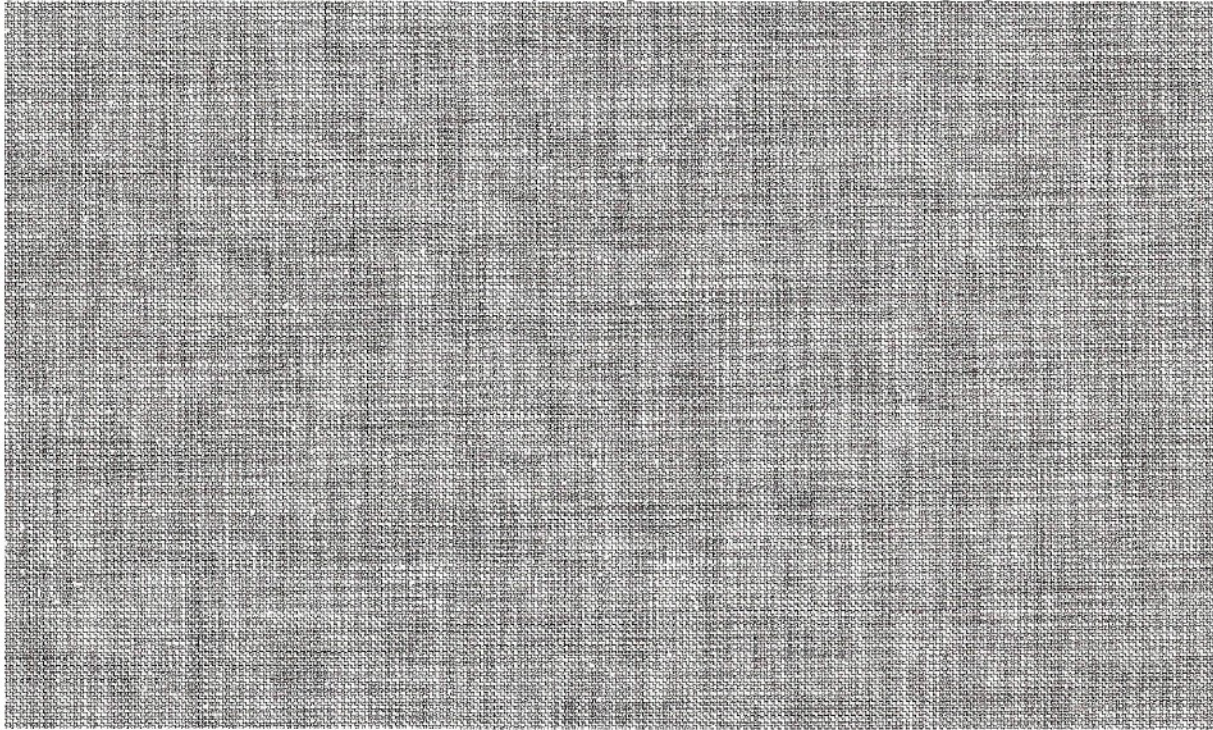
Obrázok 57: Obraz nasimulovanej tkaniny 4192 kepr získaný metodou gimp



Obrázok 58: Obraz nasimulovanej tkaniny 4192 kepr získaný metodou sken



Obrázok 59: Obraz nasimulovanej tkaniny 4192 plátno získaný metodou gimp



Obrázok 60: Obraz nasimulovanej tkaniny 4192 plátno získaný metodou sken

Style 100%BA      Sample ID 03396      Nom. count 45 tex      Nom. twist 700 T/m  
 Tests 1 / 1      v= 400 m/min t= 1 min      Meas. slot 3      Short staple

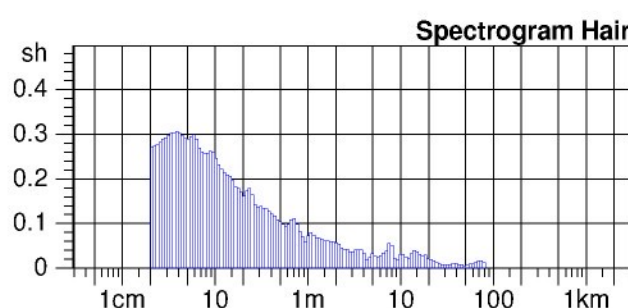
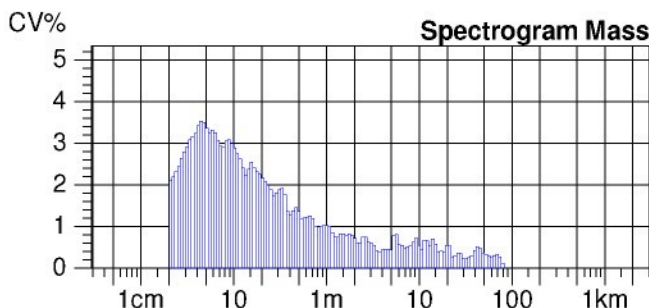
## USTER Quality Report

Article	BD	Material class	Yarn	Mach. Nr.
Uster Statistics		100% CO, carded, rotor-spun	2001	
Fiber				

Nr	Rel. Cnt ± %		CVm %	Index	U% %	U inert %	U hi %	CVm inert %	CVm hi %	Rel.Cn length 100 m %		Thin -30% %	Thin -40% /km
1	0.0	-17.78	<b>13.71</b>		10.86	2.72	3.01	3.40	3.76	0.0	-13.69	2155	<b>147.5</b>
Mean	0.0	-17.78	<b>13.71</b>		10.86	2.72	3.01	3.40	3.76	0.0	-13.69	2155	<b>147.5</b>
CV													
Q95													
Max	0.0	-17.78	13.71		10.86	2.72	3.01	3.40	3.76	0.0	-13.69	2155	147.5
Min	0.0	-17.78	13.71		10.86	2.72	3.01	3.40	3.76	0.0	-13.69	2155	147.5

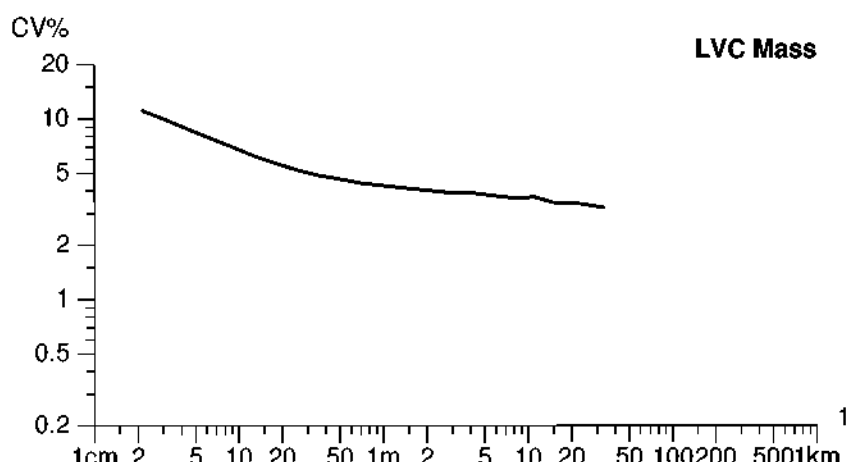
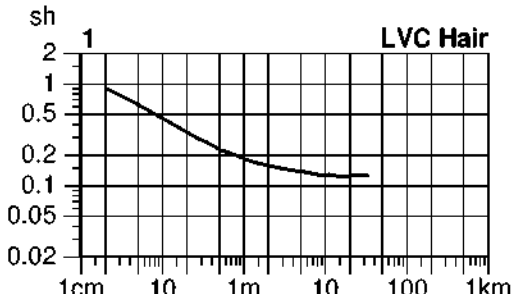
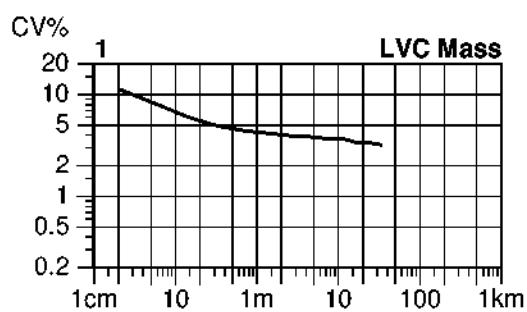
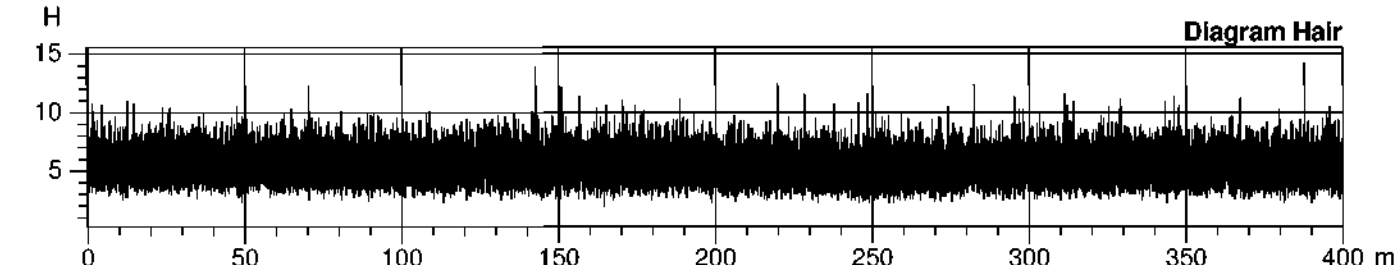
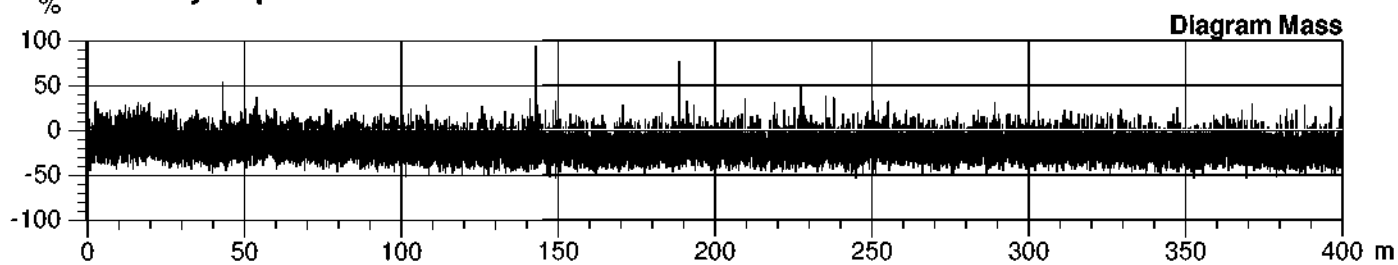
Nr	Thin -50% /km	Thin -60% /km	Thick +35% /km	Thick +50% /km	Thick +70% /km	Thick +100% /km	Neps +140% /km	Neps +200% /km	Neps +280% /km	Neps +400% /km	H	sh	CV2D 8mm %
1	2.5	0.0	<b>530.0</b>	<b>57.5</b>	12.5	5.0	1145	<b>145.0</b>	<b>42.5</b>	15.0	<b>5.35</b>	1.28	10.40
Mean	2.5	0.0	<b>530.0</b>	<b>57.5</b>	12.5	5.0	1145	<b>145.0</b>	<b>42.5</b>	15.0	<b>5.35</b>	1.28	10.40
CV													
Q95													
Max	2.5	0.0	530.0	57.5	12.5	5.0	1145	145.0	42.5	15.0	5.35	1.28	10.40
Min	2.5	0.0	530.0	57.5	12.5	5.0	1145	145.0	42.5	15.0	5.35	1.28	10.40

Nr	s2D 8mm mm	2DØ mm	Shape	CV2D 0.3mm %		CV1D 0.3mm %	
1	0.045	0.365		<b>0.79</b>	<b>14.45</b>	0.37	17.27
Mean	0.045	0.365		<b>0.79</b>	<b>14.45</b>	0.368	17.27
CV							
Q95							
Max	0.045	0.365	0.79	14.45	0.368	17.27	0.000
Min	0.045	0.365	0.79	14.45	0.368	17.27	0.000



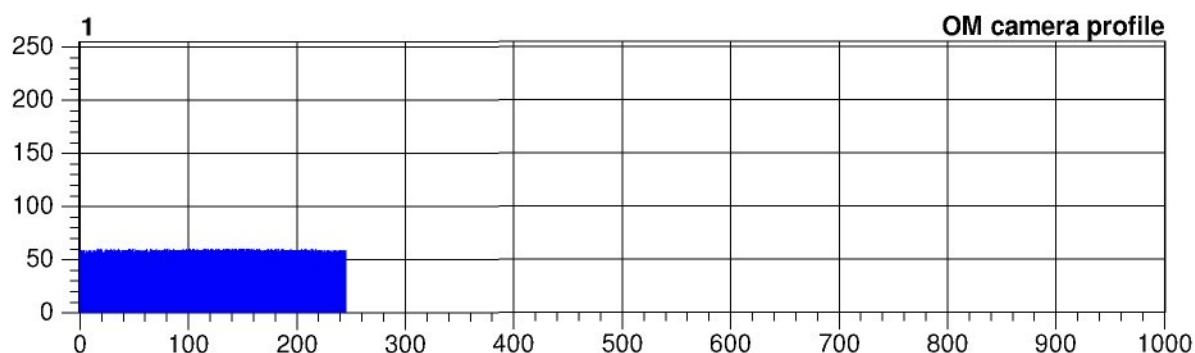
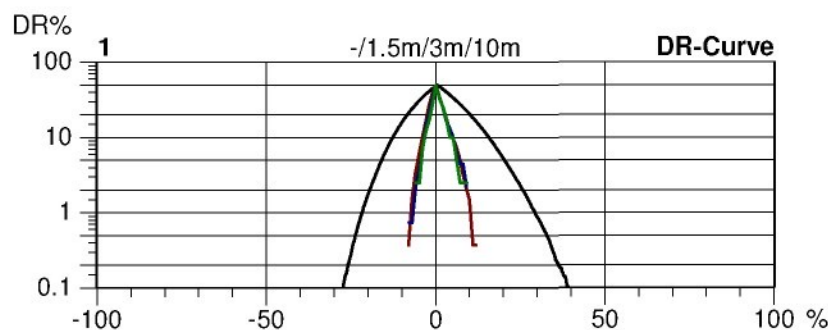
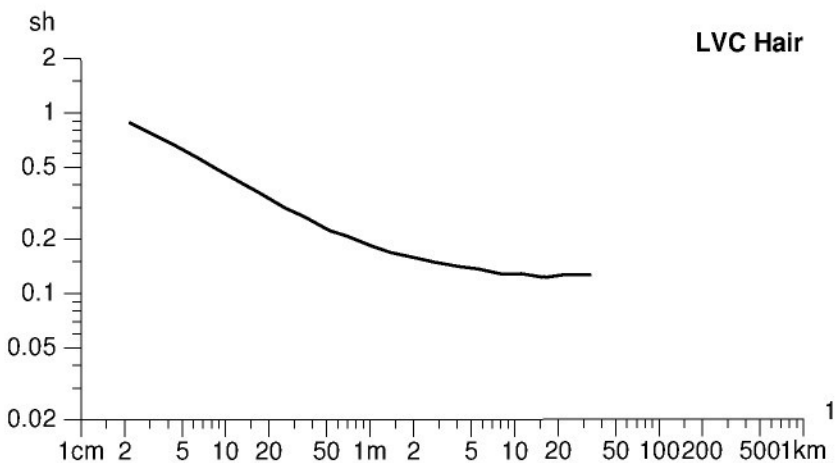
Style 100%BA Sample ID 03396 Nom. count 45 tex Nom. twist 700 T/m  
Tests 1 / 1 v= 400 m/min t= 1 min Meas. slot 3 Short staple

## USTER Quality Report



Style 100%BA      Sample ID 03396      Nom. count 45 tex  
Tests 1 / 1      v= 400 m/min t= 1 min      Meas. slot 3      Nom. twist 700 T/m  
Short staple

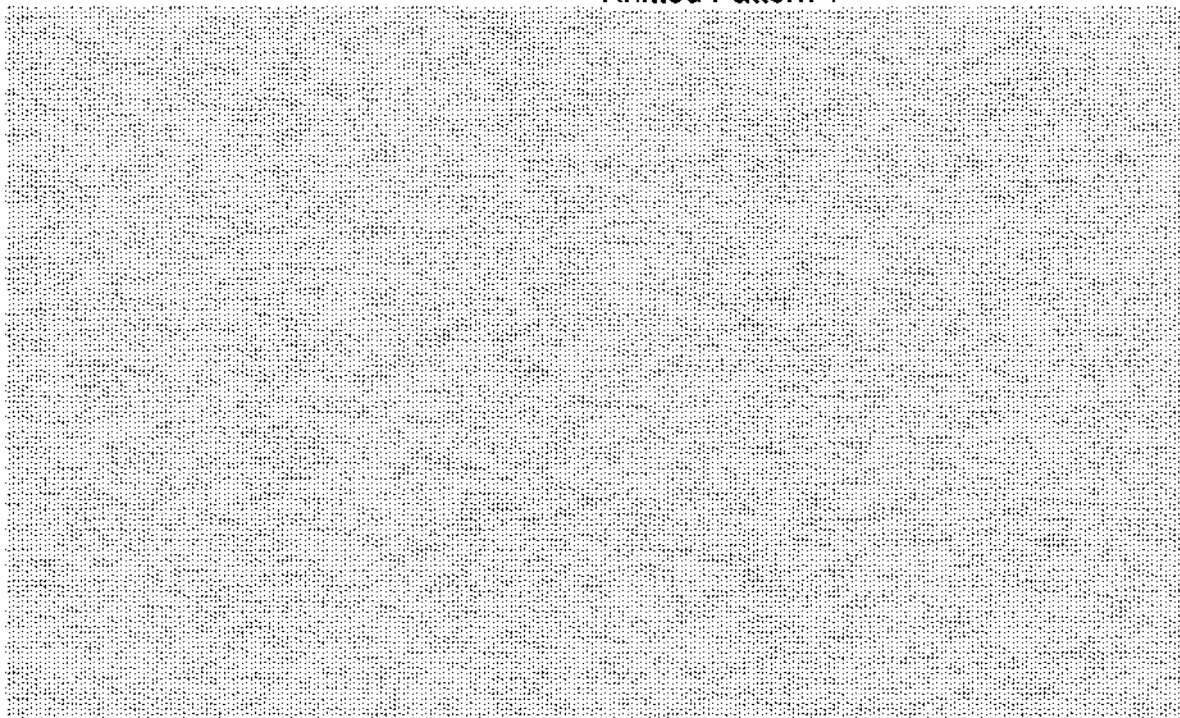
## USTER Quality Report



Style 100%BA      Sample ID 03396      Nom. count 45 tex  
Tests 1 / 1      v= 400 m/min t= 1 min      Meas. slot 3      Nom. twist 700 T/m  
Short staple

## USTER Quality Report

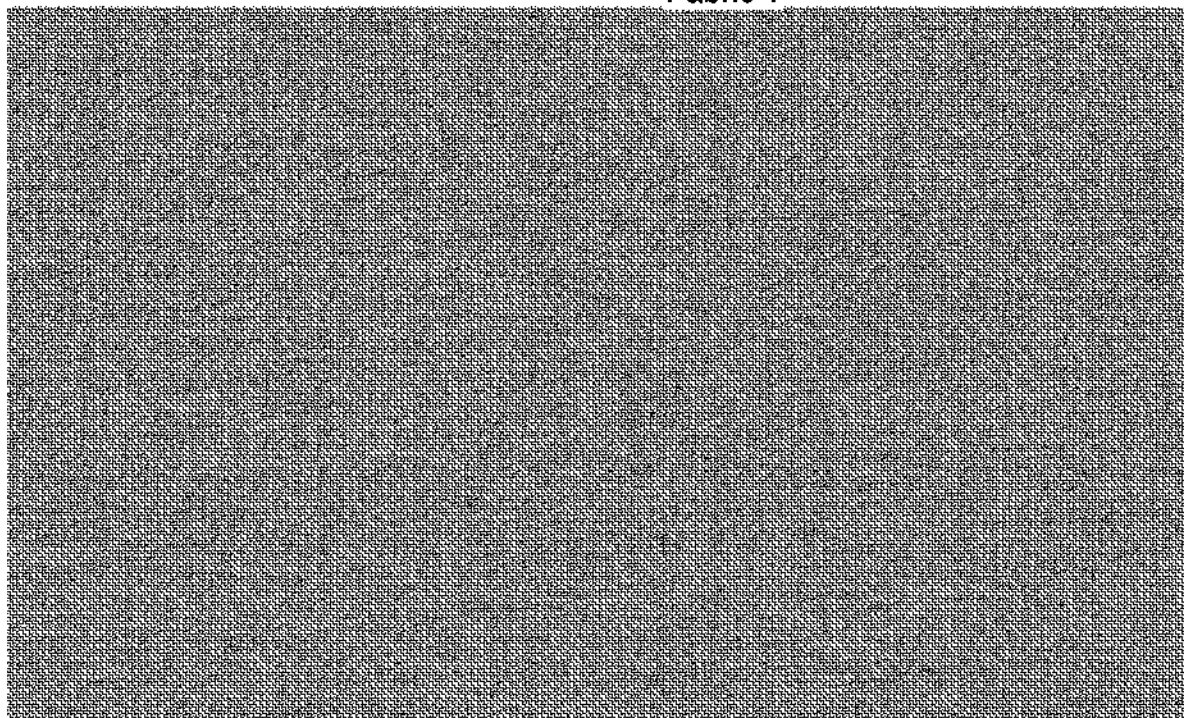
Knitted Pattern 1



Style 100%BA      Sample ID 03396      Nom. count 45 tex      Nom. twist 700 T/m  
Tests 1 / 1      v= 400 m/min      t= 1 min      Meas. slot 3      Short staple

## USTER Quality Report

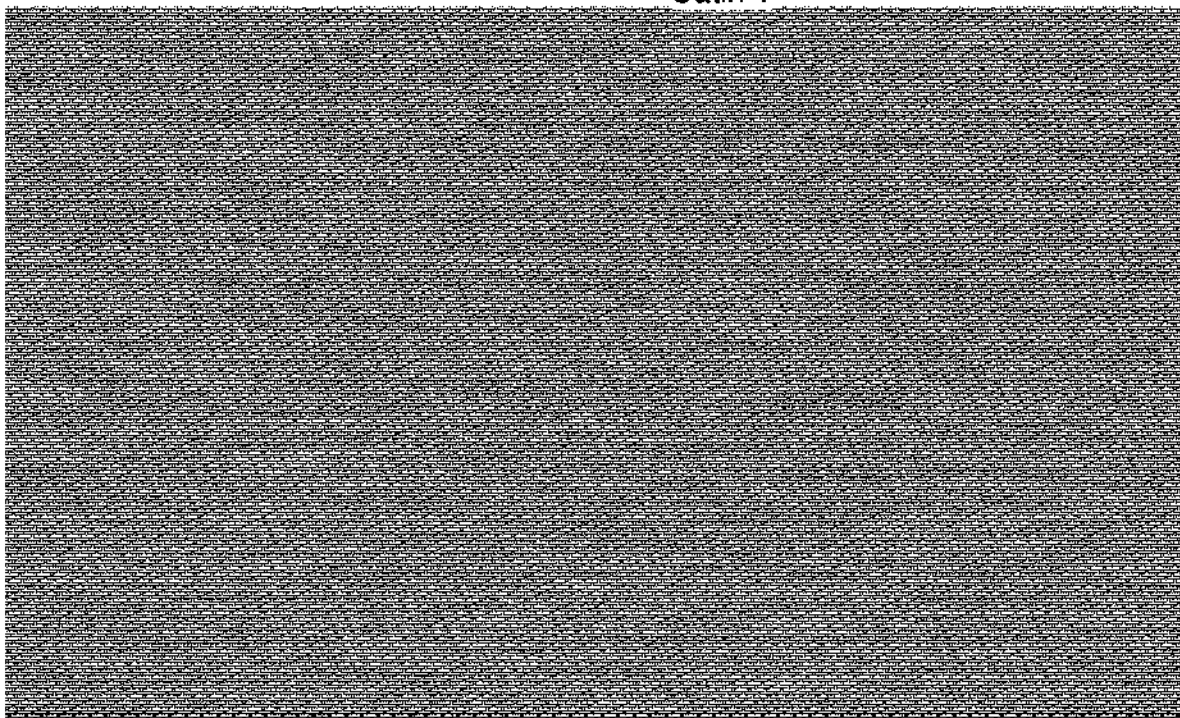
Fabric 1



Style 100%BA      Sample ID 03396      Nom. count 45 tex      Nom. twist 700 T/m  
Tests 1 / 1      v= 400 m/min t= 1 min      Meas. slot 3      Short staple

## USTER Quality Report

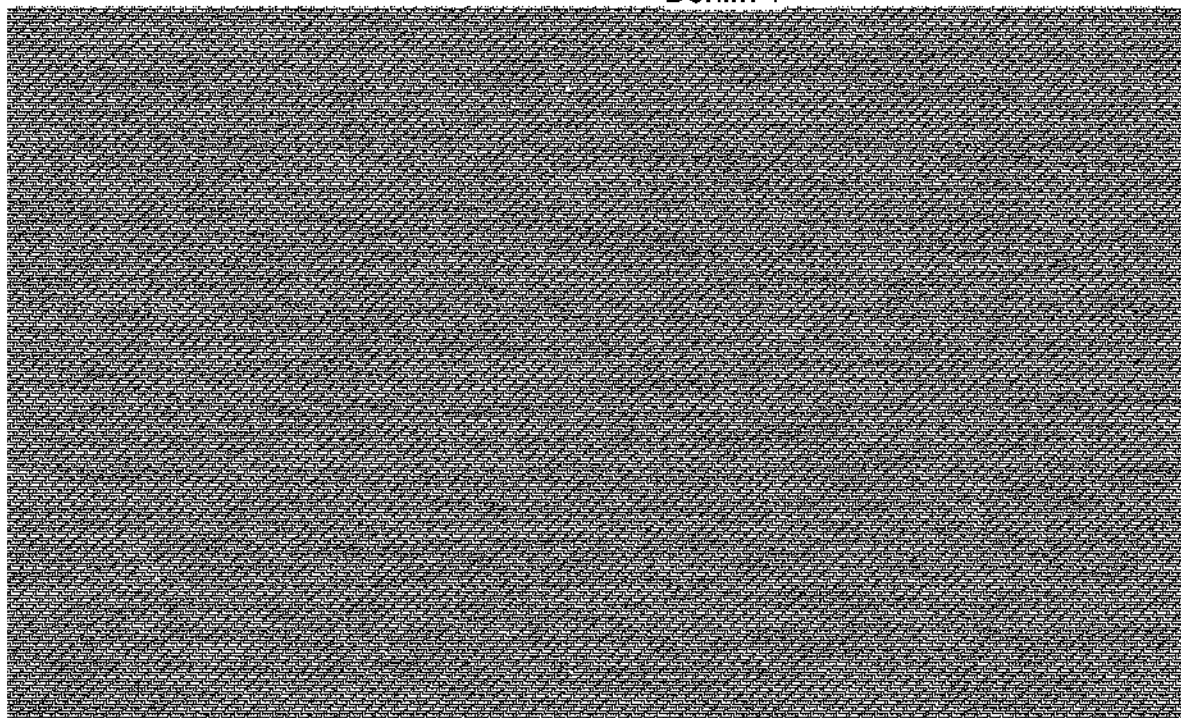
Satin 1



Style	100%BA	Sample ID	03396	Nom. count	45 tex	Nom. twist	700 T/m
Tests	1 / 1	v= 400 m/min	t= 1 min	Meas. slot	3	Short staple	

## USTER Quality Report

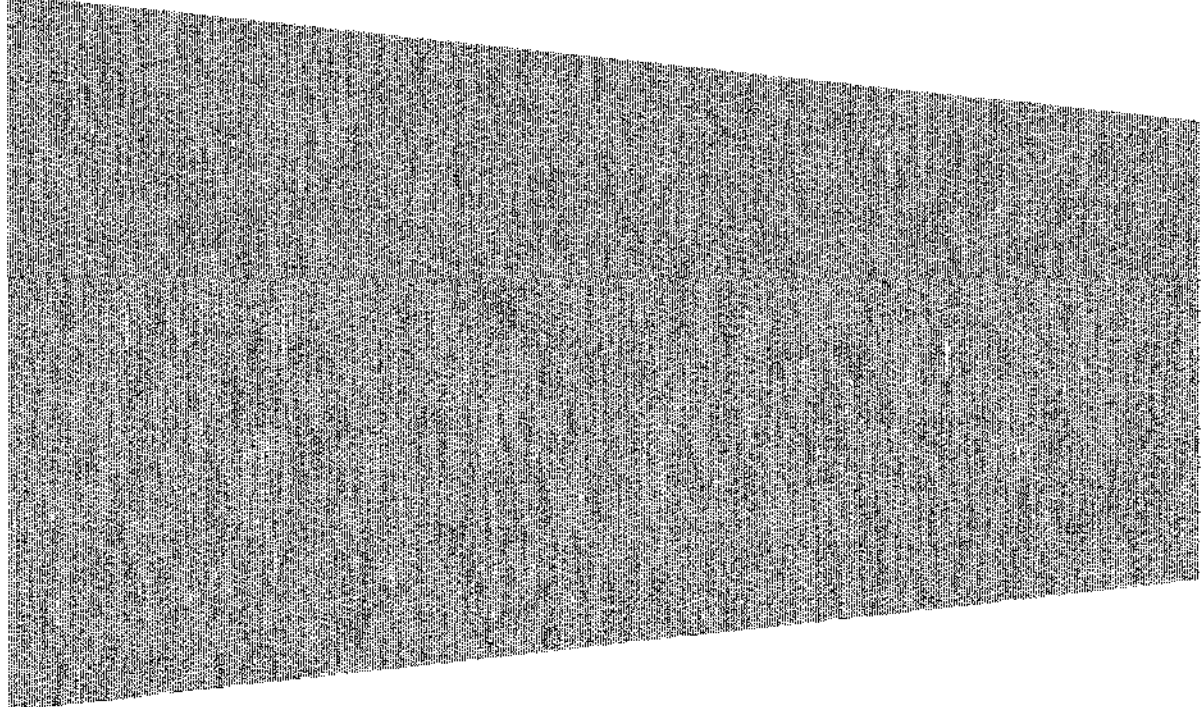
Denim 1



Style	100%BA	Sample ID	03396	Nom. count	45 tex	Nom. twist	700 T/m
Tests	1 / 1	v= 400 m/min	t= 1 min	Meas. slot	3	Short staple	

## USTER Quality Report

Yarn Board 1



Style 100%BA      Sample ID 03398      Nom. count 45 tex      Nom. twist 700 T/m  
 Tests 1 / 1      v= 400 m/min t= 1 min      Meas. slot 3      Short staple

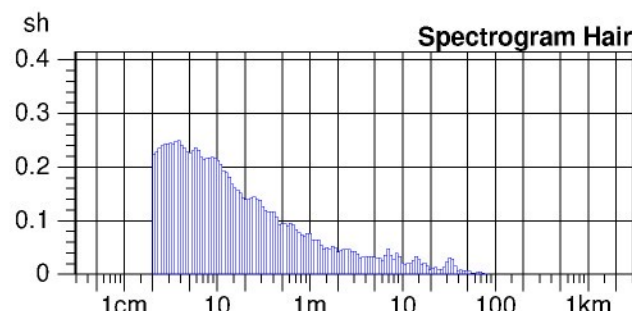
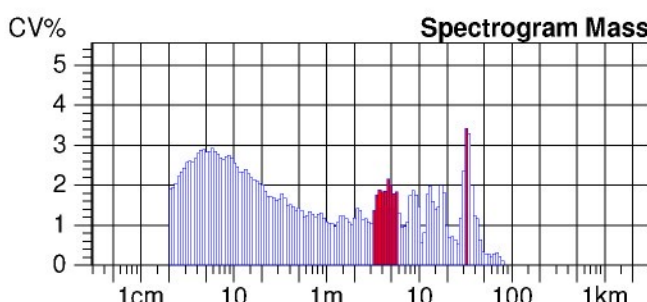
## USTER Quality Report

Article	BD	Material class	Yarn	Mach. Nr.
Uster Statistics		100% CO, carded, rotor-spun	2001	
Fiber				
modra				

Nr	Rel. Cnt ± %		CVm %	Index	U% %	U inert %	U hi %	CVm inert %	CVm hi %	Rel.Cn length 100 m %		Thin -30% %	Thin -40% /km
1	0.0	-0.68	<b>14.17</b>		11.13	2.64	4.68	3.29	5.85	0.0	-0.32	1085	57.5
Mean	0.0	-0.675	<b>14.17</b>		11.13	2.64	4.68	3.29	5.85	0.0	-0.318	1085	57.5
CV													
Q95													
Max	0.0	-0.675	<b>14.17</b>		11.13	2.64	4.68	3.29	5.85	0.0	-0.318	1085	57.5
Min	0.0	-0.675	<b>14.17</b>		11.13	2.64	4.68	3.29	5.85	0.0	-0.318	1085	57.5

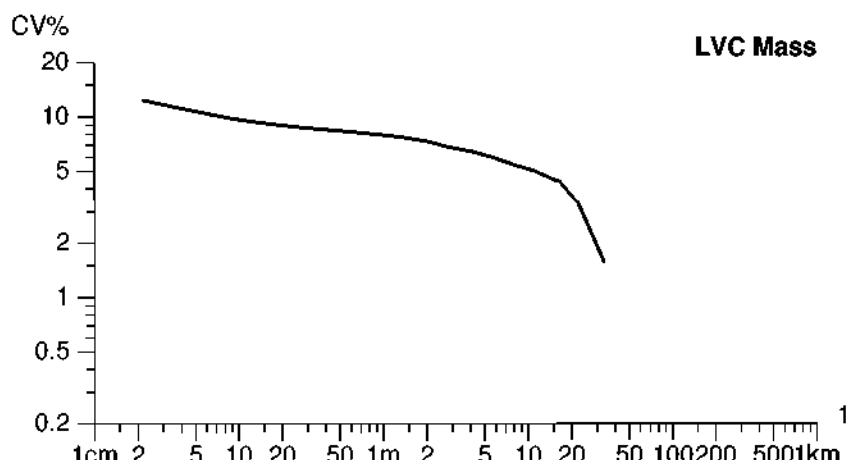
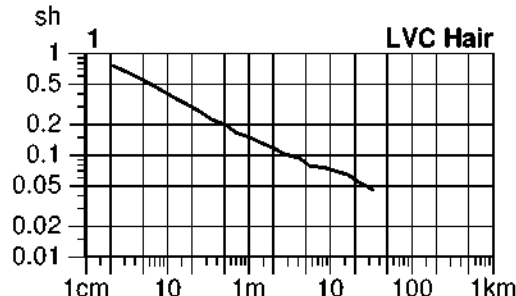
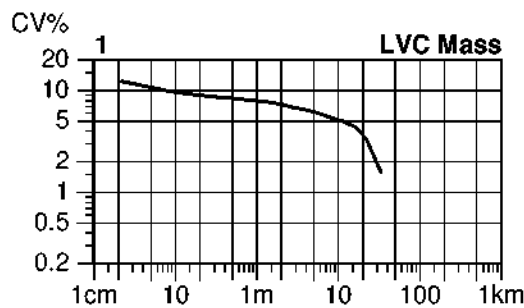
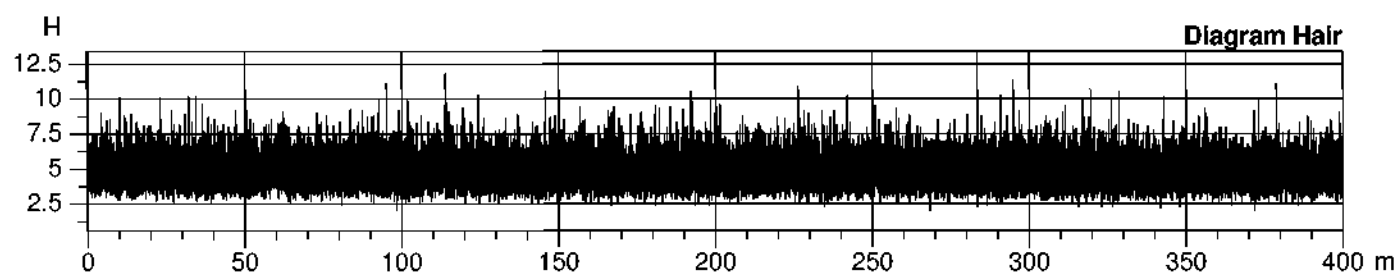
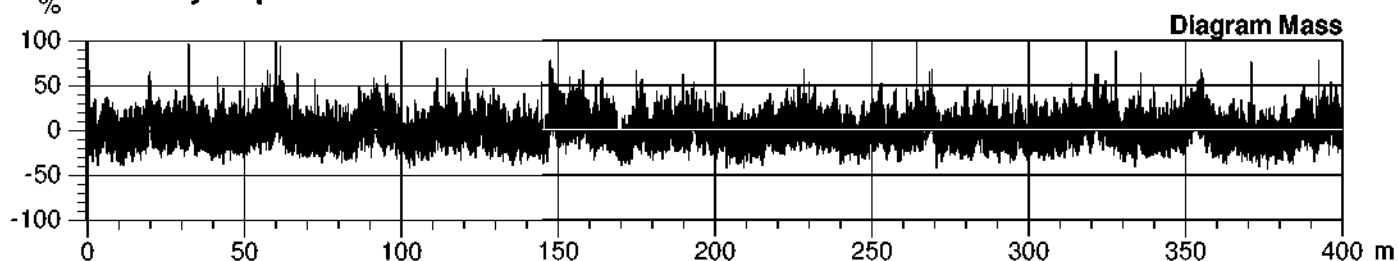
Nr	Thin -50% /km	Thin -60% /km	Thick +35% /km	Thick +50% /km	Thick +70% /km	Thick +100% /km	Neps +140% /km	Neps +200% /km	Neps +280% /km	Neps +400% /km	H	sh	CV2D 8mm %
1	2.5	0.0	340.0	<b>77.5</b>	17.5	2.5	690.0	<b>180.0</b>	<b>57.5</b>	20.0	4.88	1.07	9.20
Mean	2.5	0.0	340.0	<b>77.5</b>	17.5	2.5	690.0	<b>180.0</b>	<b>57.5</b>	20.0	4.88	1.07	9.20
CV													
Q95													
Max	2.5	0.0	340.0	77.5	17.5	2.5	690.0	180.0	57.5	20.0	4.88	1.07	9.20
Min	2.5	0.0	340.0	77.5	17.5	2.5	690.0	180.0	57.5	20.0	4.88	1.07	9.20

Nr	s2D 8mm mm	2DØ mm	Shape	CV2D 0.3mm %		CV1D 0.3mm %	
1	0.039	0.362	<b>0.81</b>	12.69	0.37	15.20	0.00
Mean	0.039	0.362	<b>0.81</b>	12.69	0.373	15.20	0.000
CV							
Q95							
Max	0.039	0.362	0.81	12.69	0.373	15.20	0.000
Min	0.039	0.362	0.81	12.69	0.373	15.20	0.000



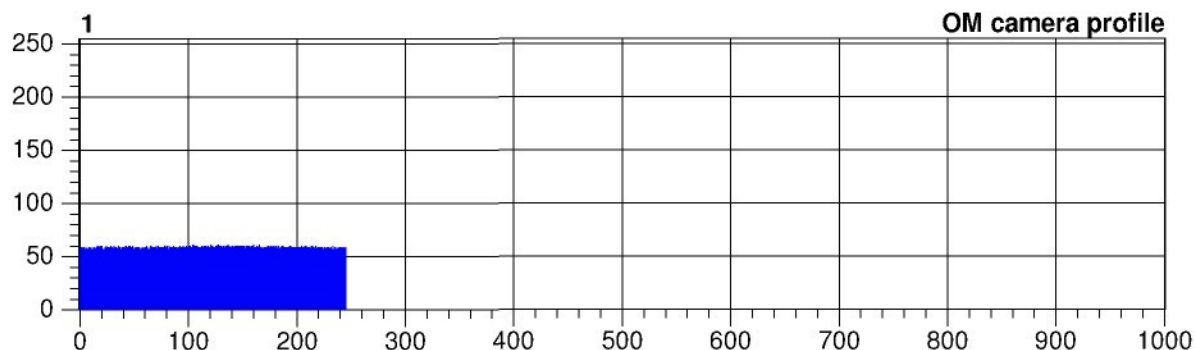
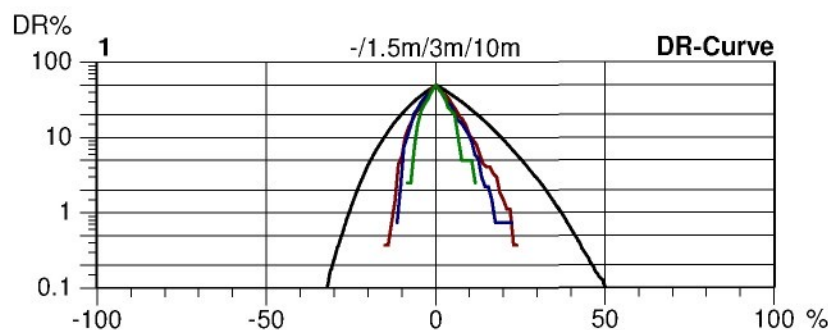
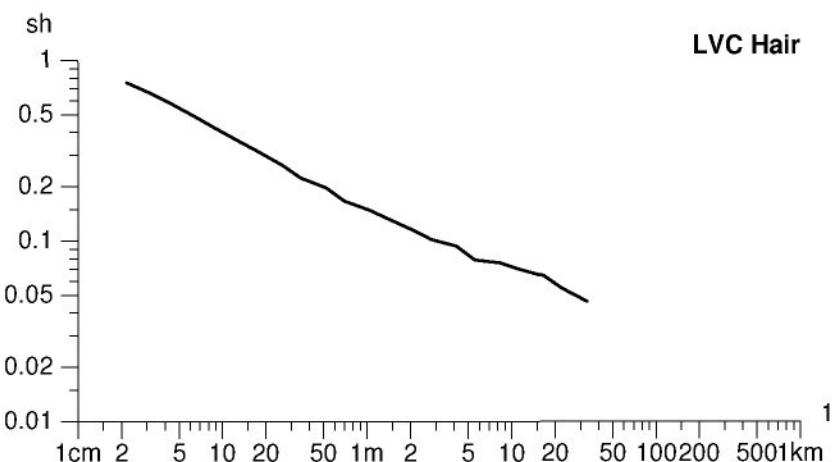
Style 100%BA Sample ID 03398 Nom. count 45 tex Nom. twist 700 T/m  
Tests 1 / 1 v= 400 m/min t= 1 min Meas. slot 3 Short staple

## USTER Quality Report



Style 100%BA      Sample ID 03398      Nom. count 45 tex  
Tests 1 / 1      v= 400 m/min t= 1 min      Meas. slot 3      Nom. twist 700 T/m  
Short staple

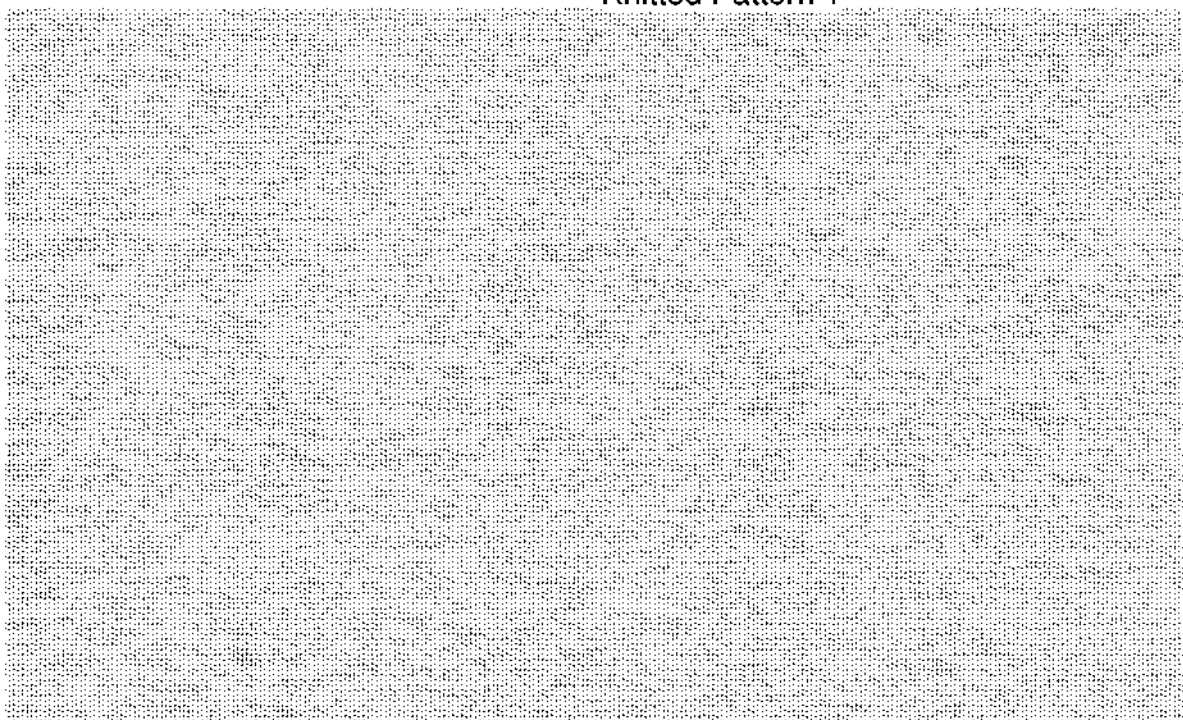
## USTER Quality Report



Style 100%BA      Sample ID 03398      Nom. count 45 tex      Nom. twist 700 T/m  
Tests 1 / 1      v= 400 m/min t= 1 min      Meas. slot 3      Short staple

## USTER Quality Report

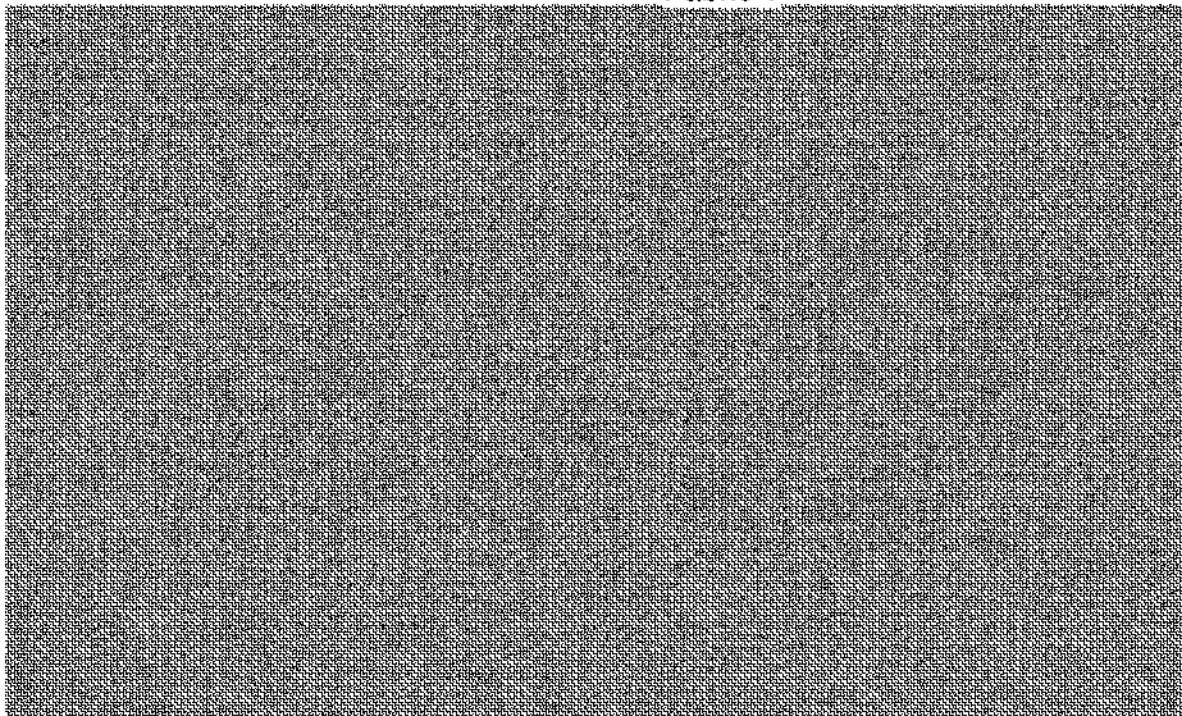
Knitted Pattern 1



Style 100%BA      Sample ID 03398      Nom. count 45 tex      Nom. twist 700 T/m  
Tests 1 / 1      v= 400 m/min t= 1 min      Meas. slot 3      Short staple

## USTER Quality Report

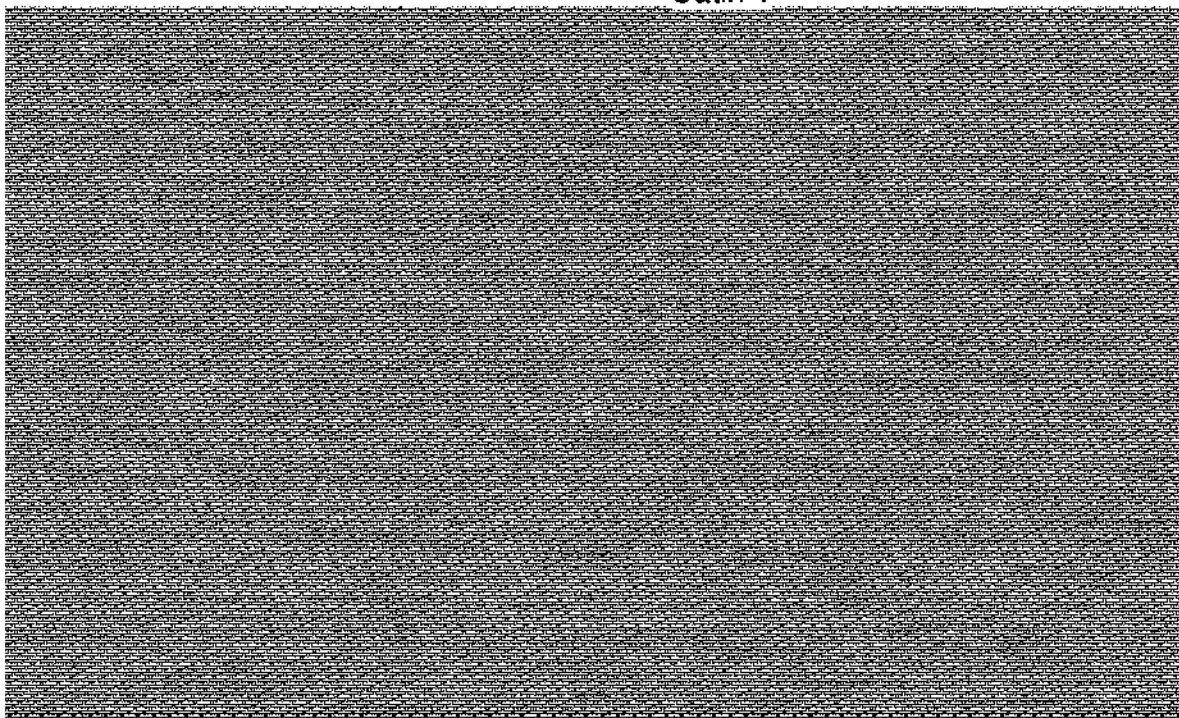
Fabric 1



Style 100%BA      Sample ID 03398      Nom. count 45 tex      Nom. twist 700 T/m  
Tests 1 / 1      v= 400 m/min t= 1 min      Meas. slot 3      Short staple

## USTER Quality Report

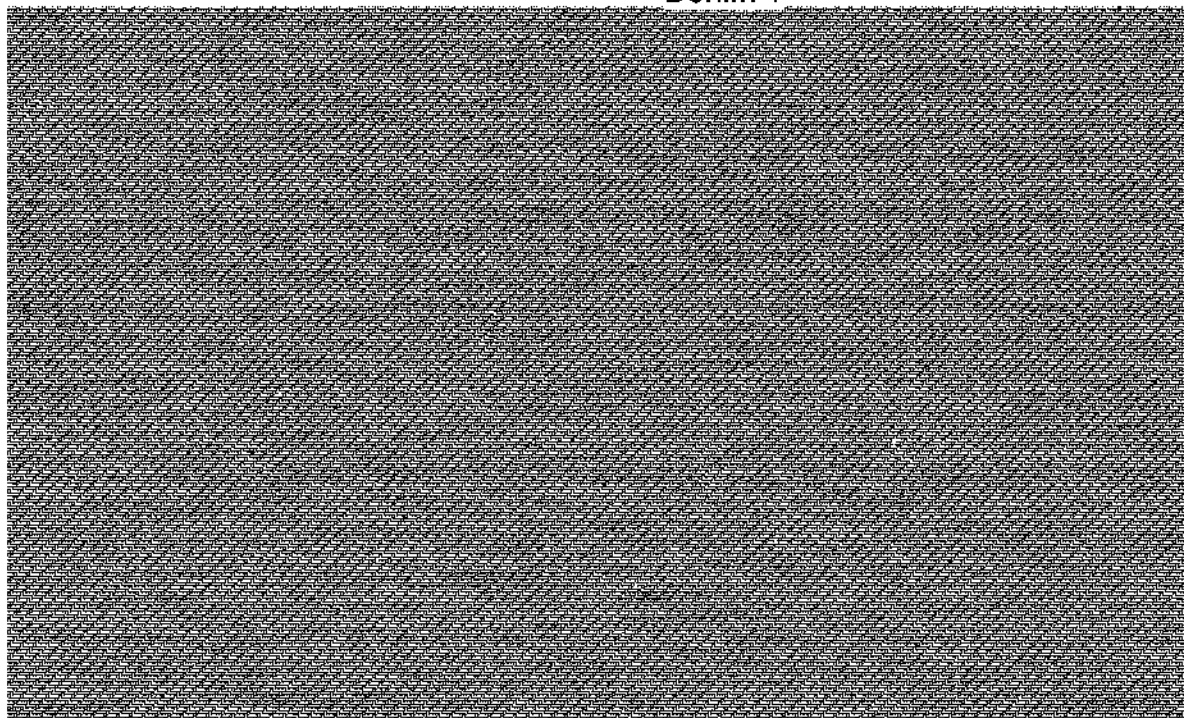
Satin 1



Style	100%BA	Sample ID	03398	Nom. count	45 tex	Nom. twist	700 T/m
Tests	1 / 1	v= 400 m/min	t= 1 min	Meas. slot	3	Short staple	

## USTER Quality Report

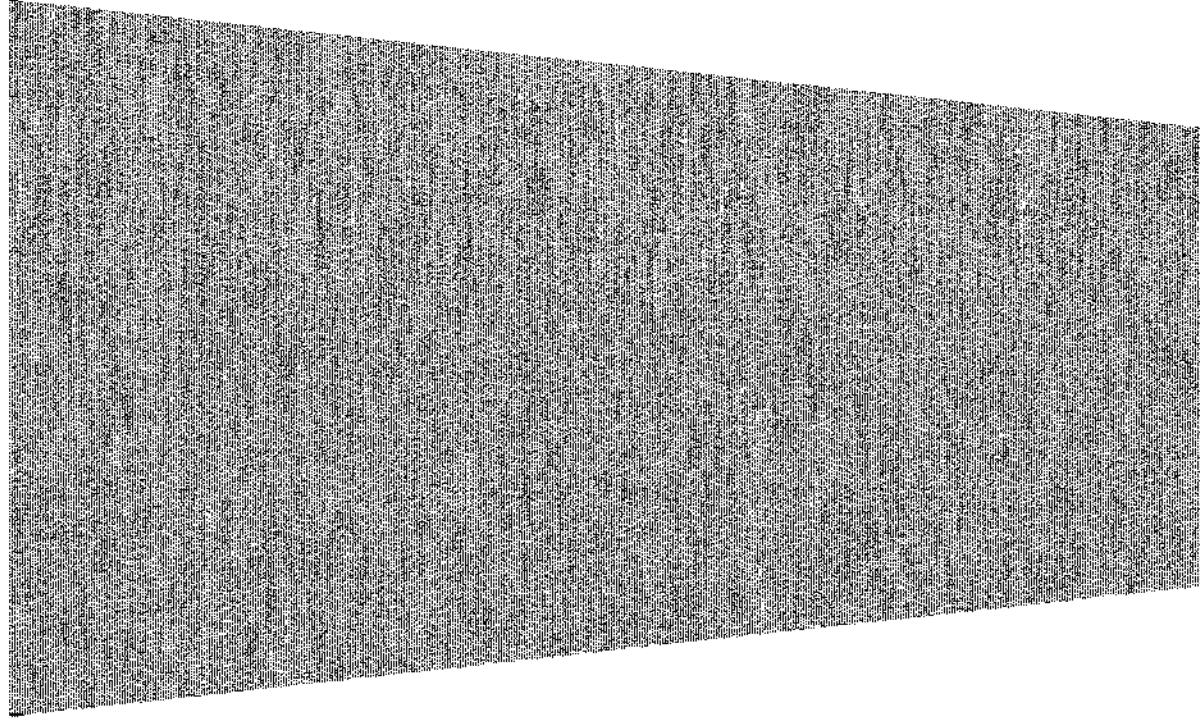
Denim 1



Style	100%BA	Sample ID	03398	Nom. count	45 tex	Nom. twist	700 T/m
Tests	1 / 1	v= 400 m/min	t= 1 min	Meas. slot	3	Short staple	

## USTER Quality Report

Yarn Board 1



Style ba      Sample ID 04188      Nom. count 50 tex      Nom. twist 0 T/m  
 Tests 1 / 1      v= 400 m/min t= 1 min      Meas. slot 3      Short staple

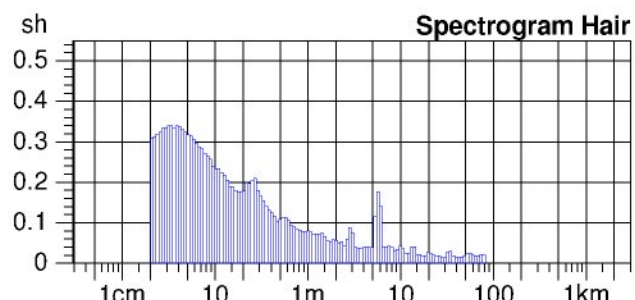
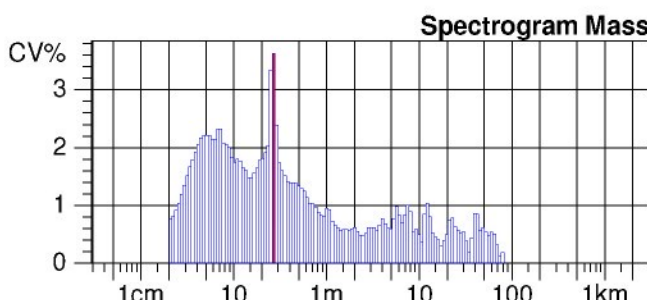
## USTER Quality Report

Article	Material class	Yarn	Mach. Nr.
Uster Statistics			
Fiber			
VUTS B2 / PDS			

Nr	Rel. Cnt ± %		CVm %	Index	U% %	U inert %	U hi %	CVm inert %	CVm hi %	Rel.Cn length 100 m %		Thin -30% %	Thin -40% /km
1	0.0	4.92	9.78		7.75	0.99	1.81	1.24	2.27	0.0	5.65	110.0	0.0
Mean	0.0	4.919	9.78		7.75	0.99	1.81	1.24	2.27	0.0	5.648	110.0	0.0
CV													
Q95													
Max	0.0	4.919	9.78		7.75	0.99	1.81	1.24	2.27	0.0	5.648	110.0	0.0
Min	0.0	4.919	9.78		7.75	0.99	1.81	1.24	2.27	0.0	5.648	110.0	0.0

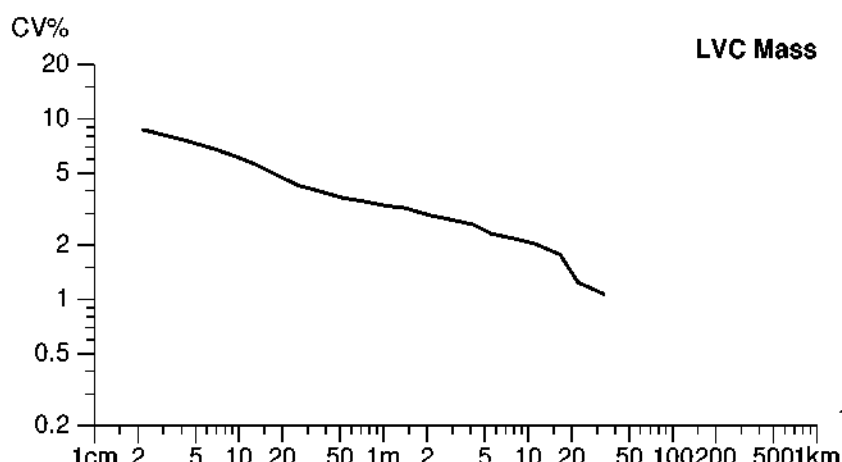
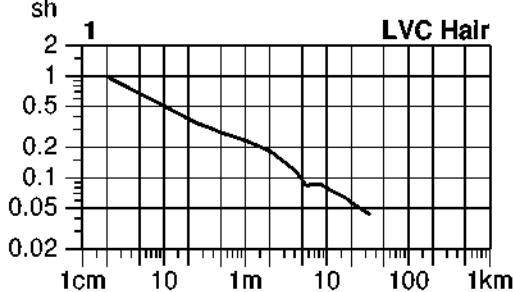
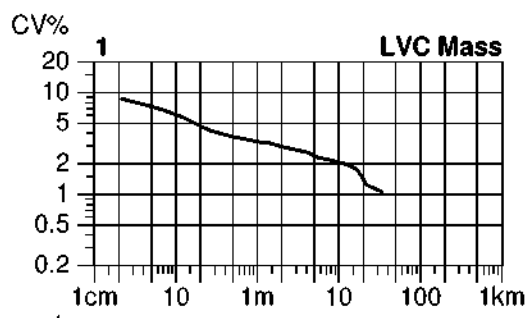
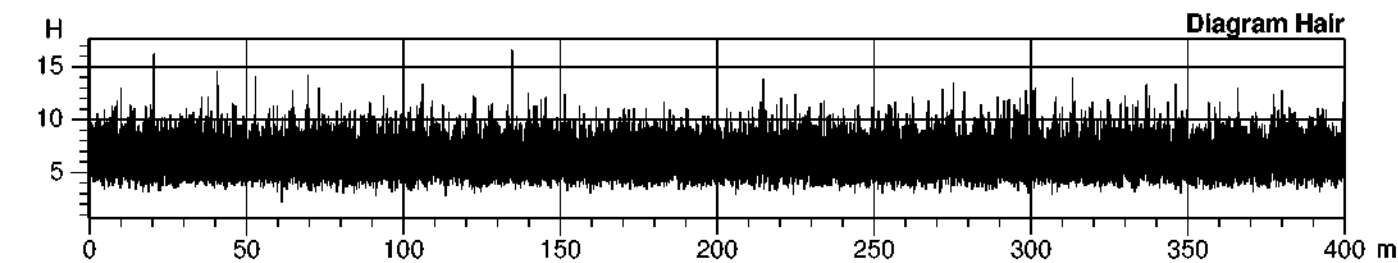
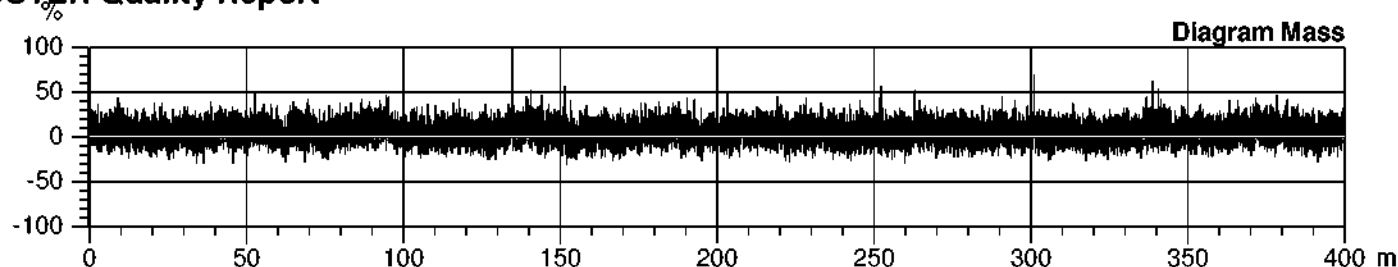
Nr	Thin -50% /km	Thin -60% /km	Thick +35% /km	Thick +50% /km	Thick +70% /km	Thick +100% /km	Neps +140% /km	Neps +200% /km	Neps +280% /km	Neps +400% /km	H	sh	CV2D 8mm %
1	0.0	0.0	32.5	5.0	2.5	2.5	10.0	0.0	0.0	0.0	6.35	1.41	7.50
Mean	0.0	0.0	32.5	5.0	2.5	2.5	10.0	0.0	0.0	0.0	6.35	1.41	7.50
CV													
Q95													
Max	0.0	0.0	32.5	5.0	2.5	2.5	10.0	0.0	0.0	0.0	6.35	1.41	7.50
Min	0.0	0.0	32.5	5.0	2.5	2.5	10.0	0.0	0.0	0.0	6.35	1.41	7.50

Nr	s2D 8mm mm	2DØ mm	Shape	CV2D 0.3mm %		CV1D 0.3mm %	
1	0.032	0.345	0.90	9.47	0.35	10.44	0.00
Mean	0.032	0.345	0.90	9.47	0.349	10.44	0.000
CV							
Q95							
Max	0.032	0.345	0.90	9.47	0.349	10.44	0.000
Min	0.032	0.345	0.90	9.47	0.349	10.44	0.000



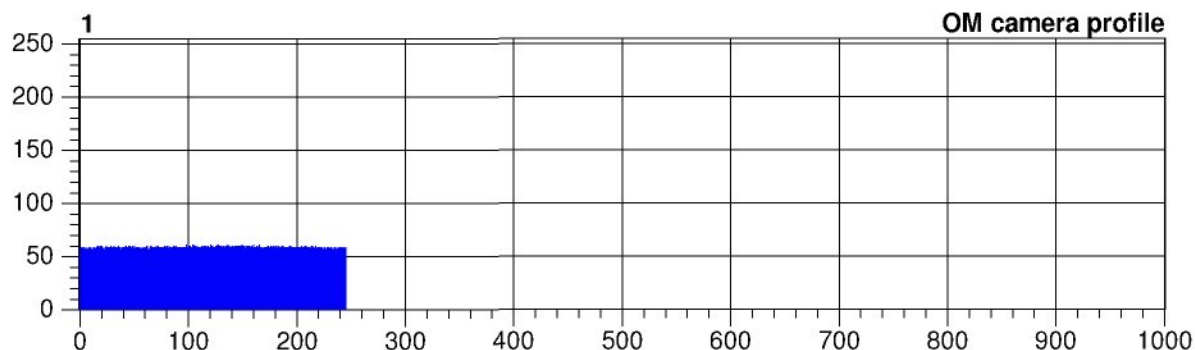
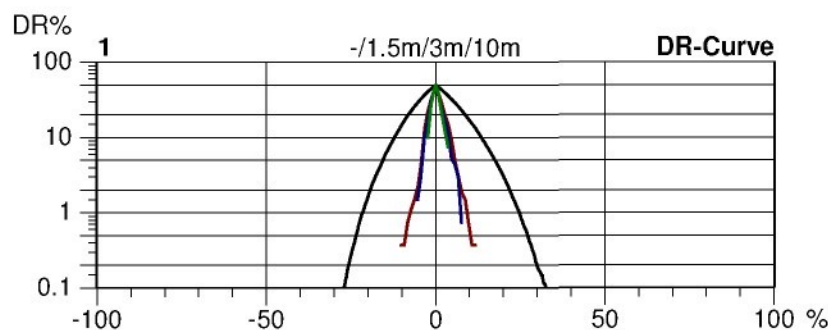
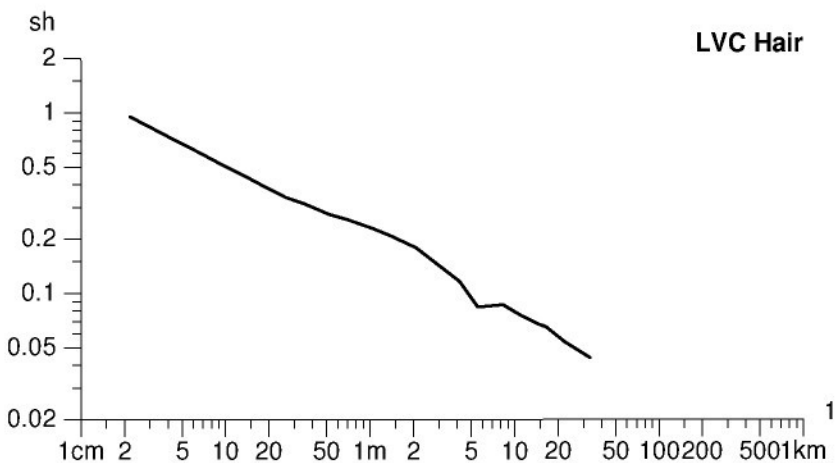
Style ba      Sample ID 04188      Nom. count 50 tex      Nom. twist 0 T/m  
Tests 1 / 1      v= 400 m/min t= 1 min      Meas. slot 3      Short staple

## USTER Quality Report



Style ba                      Sample ID 04188              Nom. count 50 tex  
Tests 1 / 1                  v= 400 m/min            t= 1 min              Meas. slot 3              Nom. twist 0 T/m  
                                    Short staple

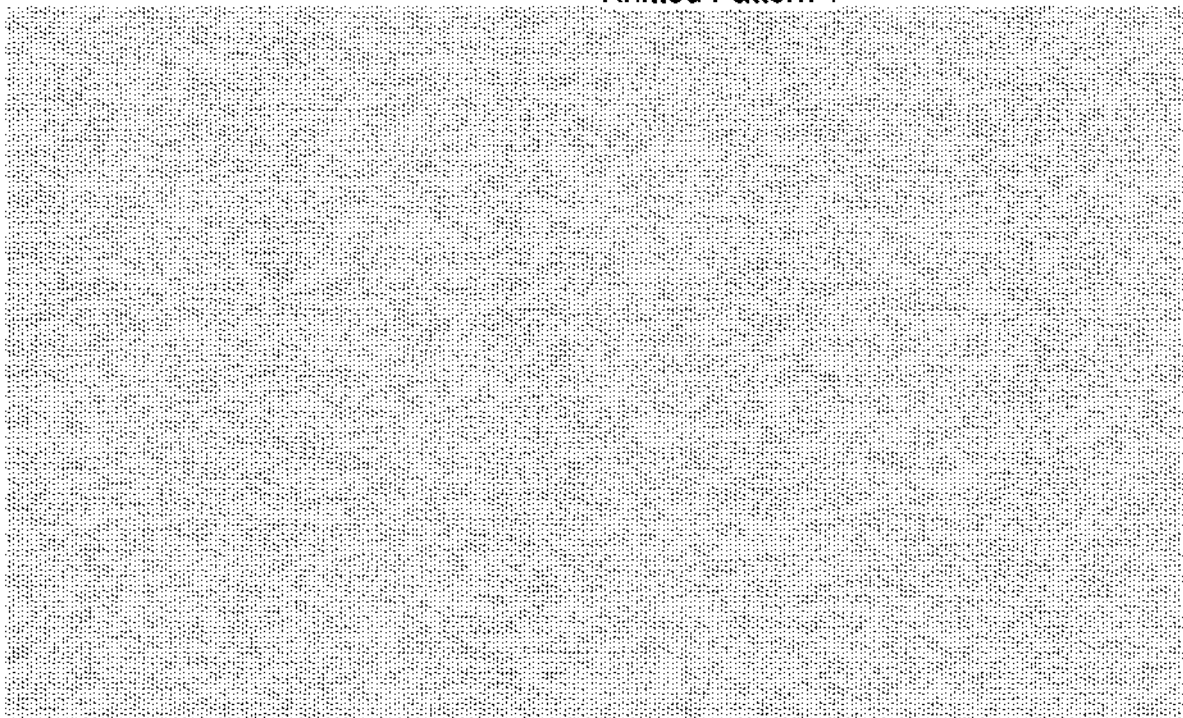
## USTER Quality Report



Style	ba	Sample ID	04188	Nom. count	50 tex	Nom. twist	0 T/m
Tests	1 / 1	v= 400 m/min	t= 1 min	Meas. slot	3	Short staple	

## USTER Quality Report

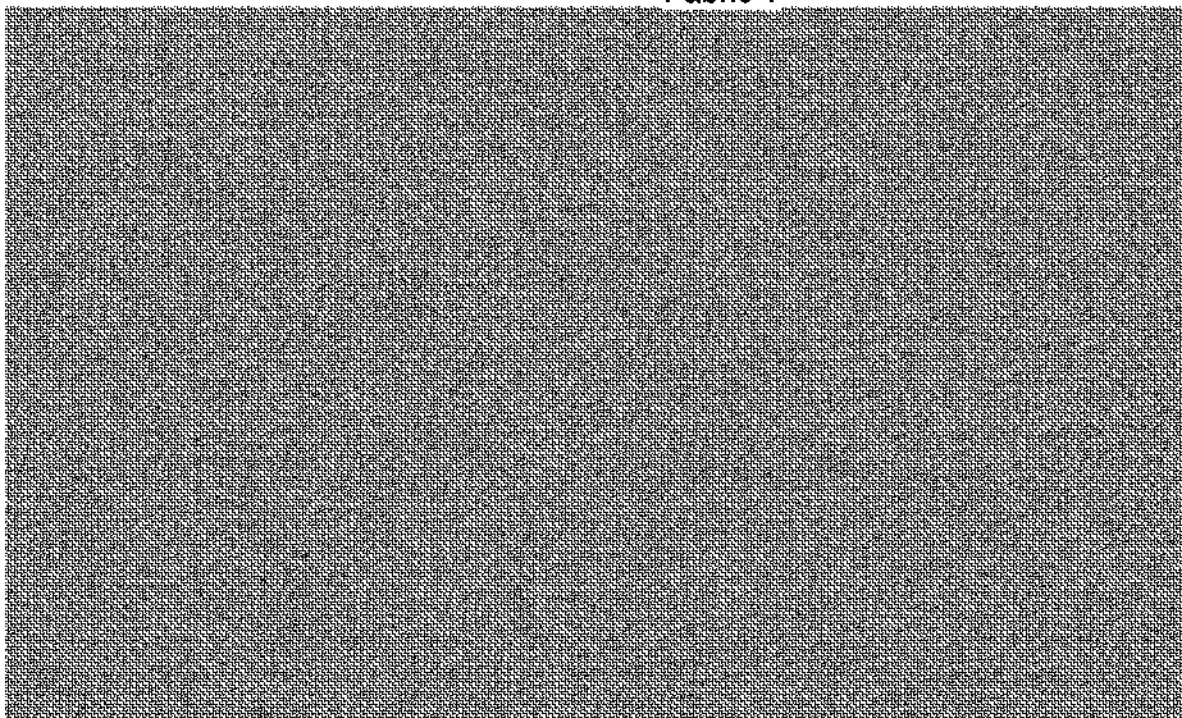
Knitted Pattern 1



Style	ba	Sample ID	04188	Nom. count	50 tex	Nom. twist	0 T/m
Tests	1 / 1	v= 400 m/min	t= 1 min	Meas. slot	3	Short staple	

## USTER Quality Report

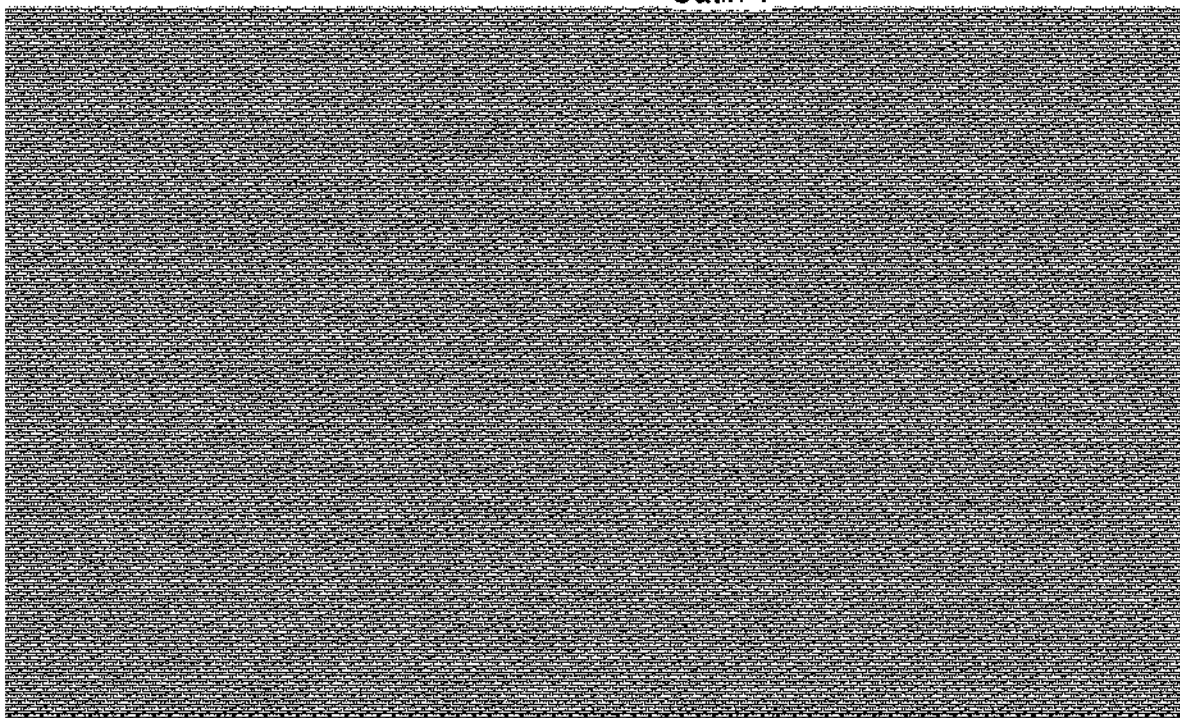
Fabric 1



Style ba      Sample ID 04188      Nom. count 50 tex      Nom. twist 0 T/m  
Tests 1 / 1      v= 400 m/min t= 1 min      Meas. slot 3      Short staple

## USTER Quality Report

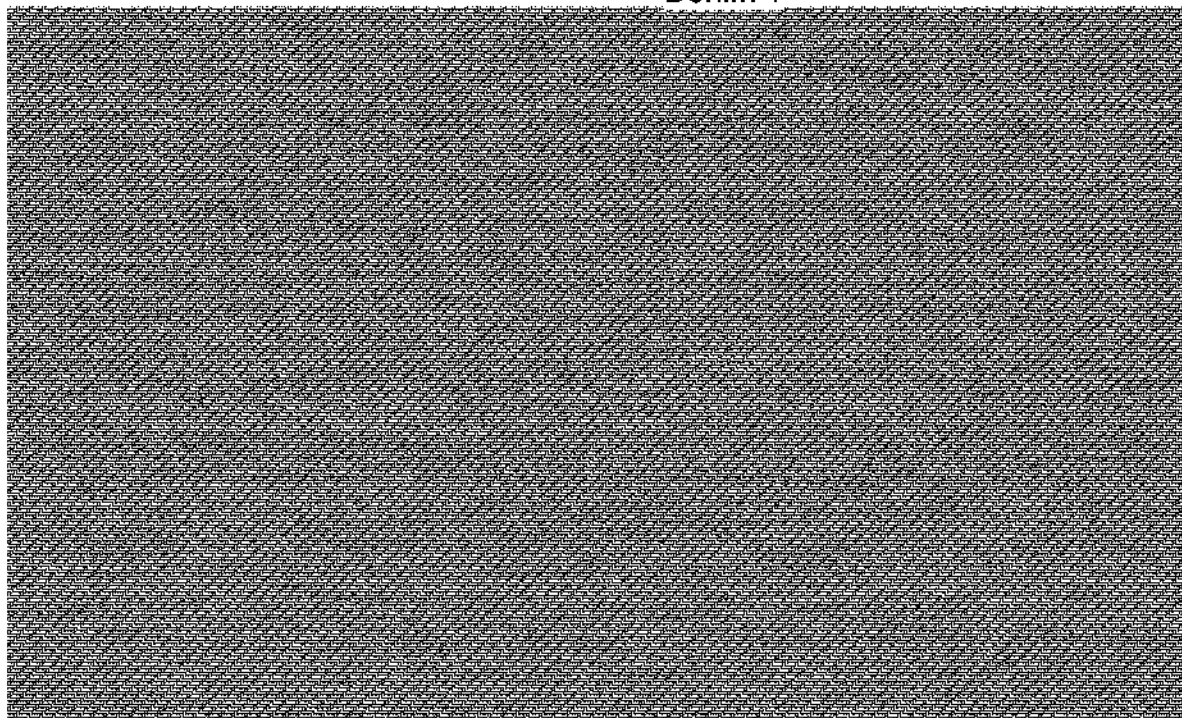
Satin 1



Style	ba	Sample ID	04188	Nom. count	50 tex	Nom. twist	0 T/m
Tests	1 / 1	v= 400 m/min	t= 1 min	Meas. slot	3	Short staple	

## USTER Quality Report

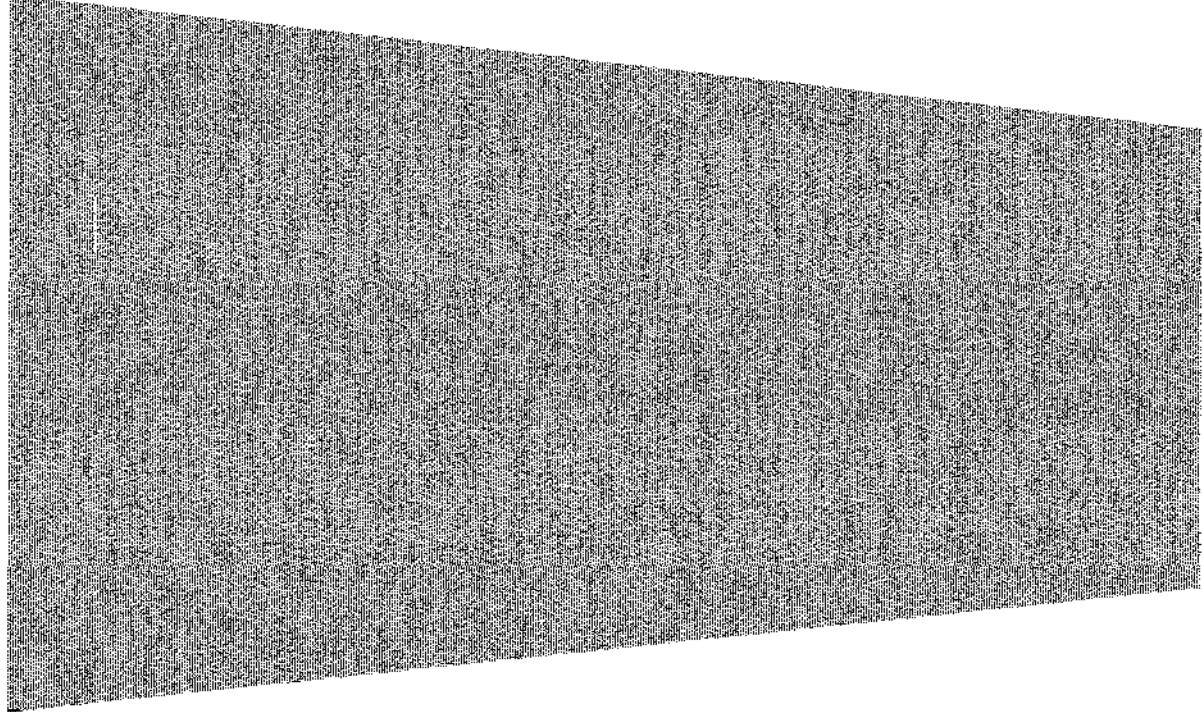
Denim 1



Style	ba	Sample ID	04188	Nom. count	50 tex	Nom. twist	0 T/m
Tests	1 / 1	v= 400 m/min	t= 1 min	Meas. slot	3	Short staple	

## USTER Quality Report

Yarn Board 1



Style ba      Sample ID 04192      Nom. count 55 tex      Nom. twist 0 T/m  
 Tests 1 / 1      v= 400 m/min t= 1 min      Meas. slot 3      Short staple

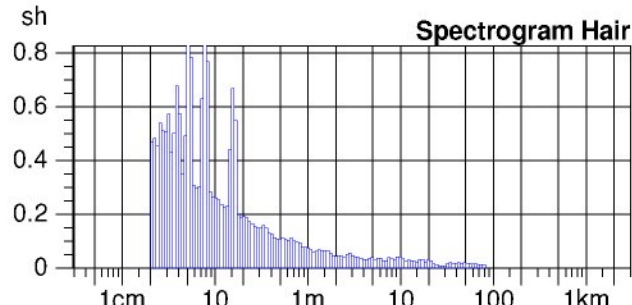
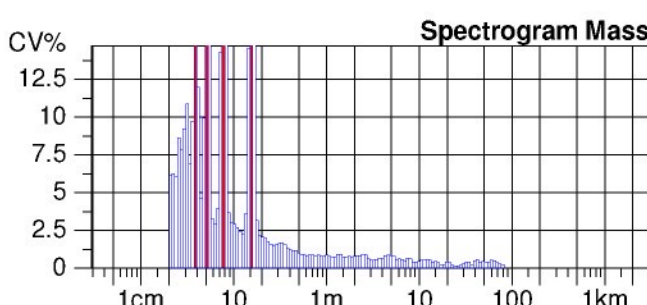
## USTER Quality Report

Article	Material class	Yarn	Mach. Nr.
Uster Statistics			
Fiber			
VUTS BD			

Nr	Rel. Cnt ± %		CVm %	Index	U% %	U inert %	U hi %	CVm inert %	CVm hi %	Rel.Cn length 100 m %		Thin -30% %	Thin -40% /km
1	0.0	-3.95	38.02		25.30	1.89	2.04	2.36	2.55	0.0	-3.60	9445	6733
Mean	0.0	-3.953	38.02		25.30	1.89	2.04	2.36	2.55	0.0	-3.596	9445	6733
CV													
Q95													
Max	0.0	-3.953	38.02		25.30	1.89	2.04	2.36	2.55	0.0	-3.596	9445	6733
Min	0.0	-3.953	38.02		25.30	1.89	2.04	2.36	2.55	0.0	-3.596	9445	6733

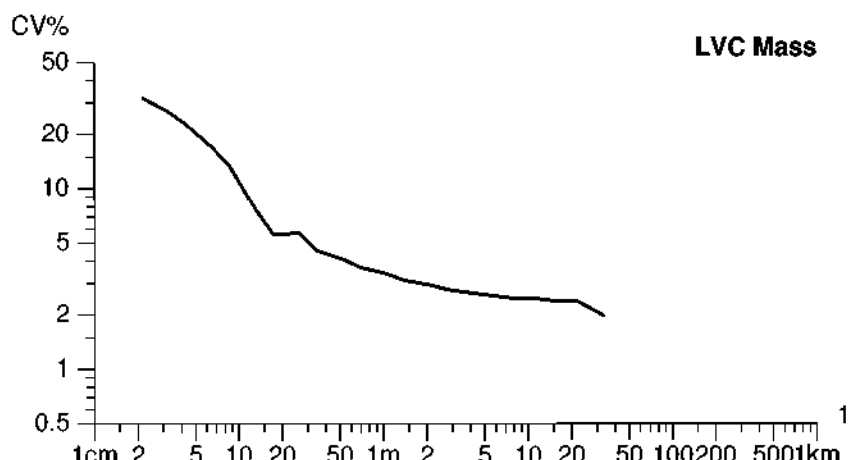
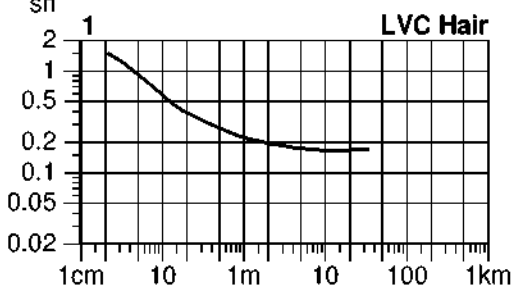
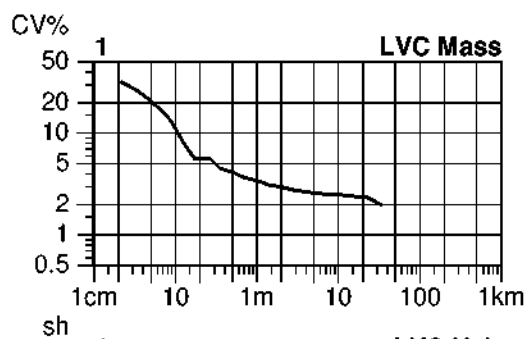
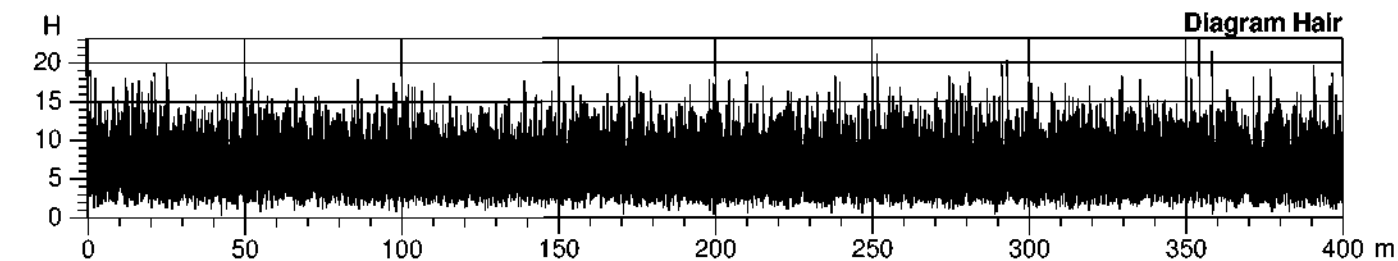
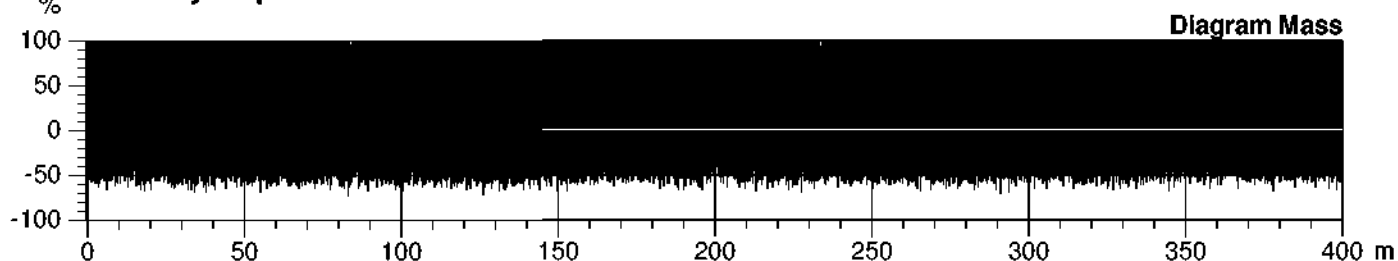
Nr	Thin -50% /km	Thin -60% /km	Thick +35% /km	Thick +50% /km	Thick +70% /km	Thick +100% /km	Neps +140% /km	Neps +200% /km	Neps +280% /km	Neps +400% /km	H	sh	CV2D 8mm %
1	2373	125.0	6403	6368	6343	5373	6508	6210	5738	3010	6.07	2.14	30.14
Mean	2373	125.0	6403	6368	6343	5373	6508	6210	5738	3010	6.07	2.14	30.14
CV													
Q95													
Max	2373	125.0	6403	6368	6343	5373	6508	6210	5738	3010	6.07	2.14	30.14
Min	2373	125.0	6403	6368	6343	5373	6508	6210	5738	3010	6.07	2.14	30.14

Nr	s2D 8mm mm	2DØ mm	Shape	CV2D 0.3mm %		CV1D 0.3mm %	
1	0.111	0.425	0.83	33.85	0.43	35.40	0.00
Mean	0.111	0.425	0.83	33.85	0.431	35.40	0.000
CV							
Q95							
Max	0.111	0.425	0.83	33.85	0.431	35.40	0.000
Min	0.111	0.425	0.83	33.85	0.431	35.40	0.000



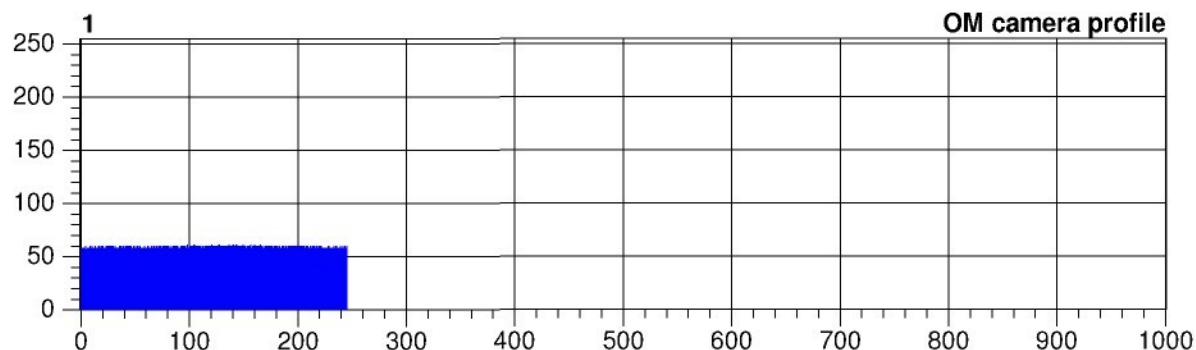
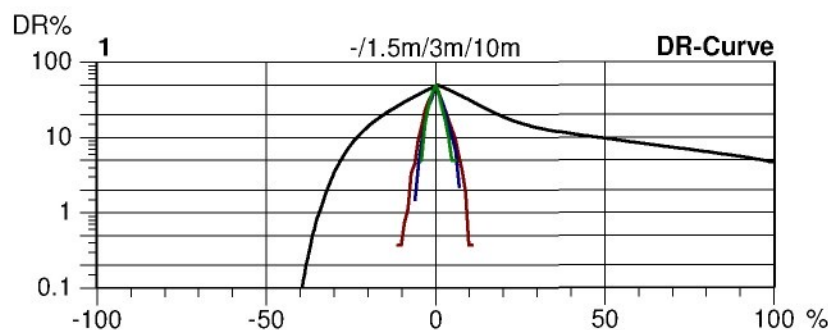
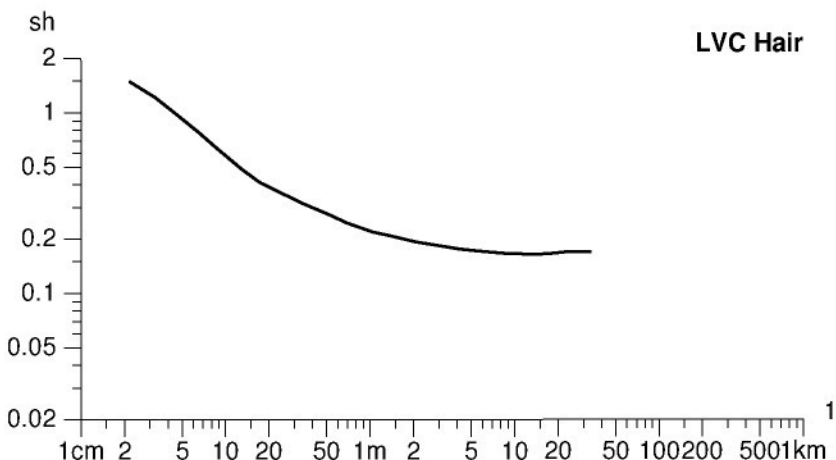
Style ba      Sample ID 04192      Nom. count 55 tex      Nom. twist 0 T/m  
Tests 1 / 1      v= 400 m/min      t= 1 min      Meas. slot 3      Short staple

## USTER Quality Report



Style ba                      Sample ID 04192              Nom. count 55 tex  
Tests 1 / 1                  v= 400 m/min t= 1 min      Meas. slot 3              Nom. twist 0 T/m  
                                    Short staple

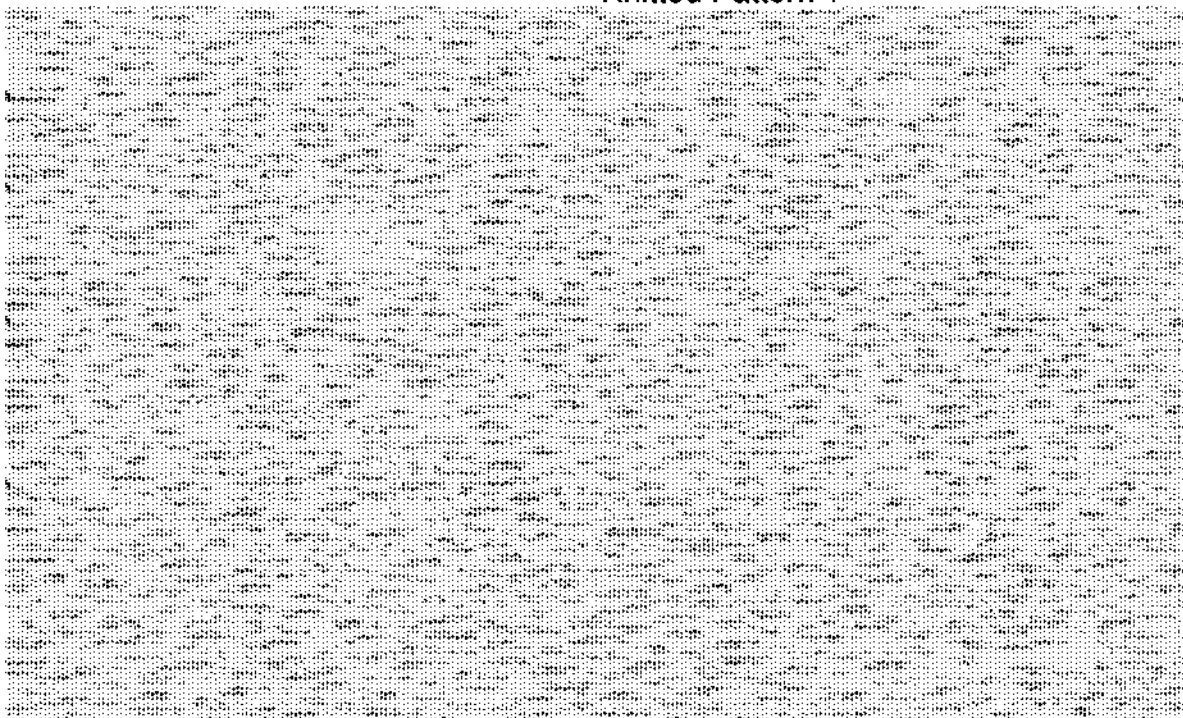
## USTER Quality Report



Style	ba	Sample ID	04192	Nom. count	55 tex	Nom. twist	0 T/m
Tests	1 / 1	v= 400 m/min	t= 1 min	Meas. slot	3	Short staple	

## USTER Quality Report

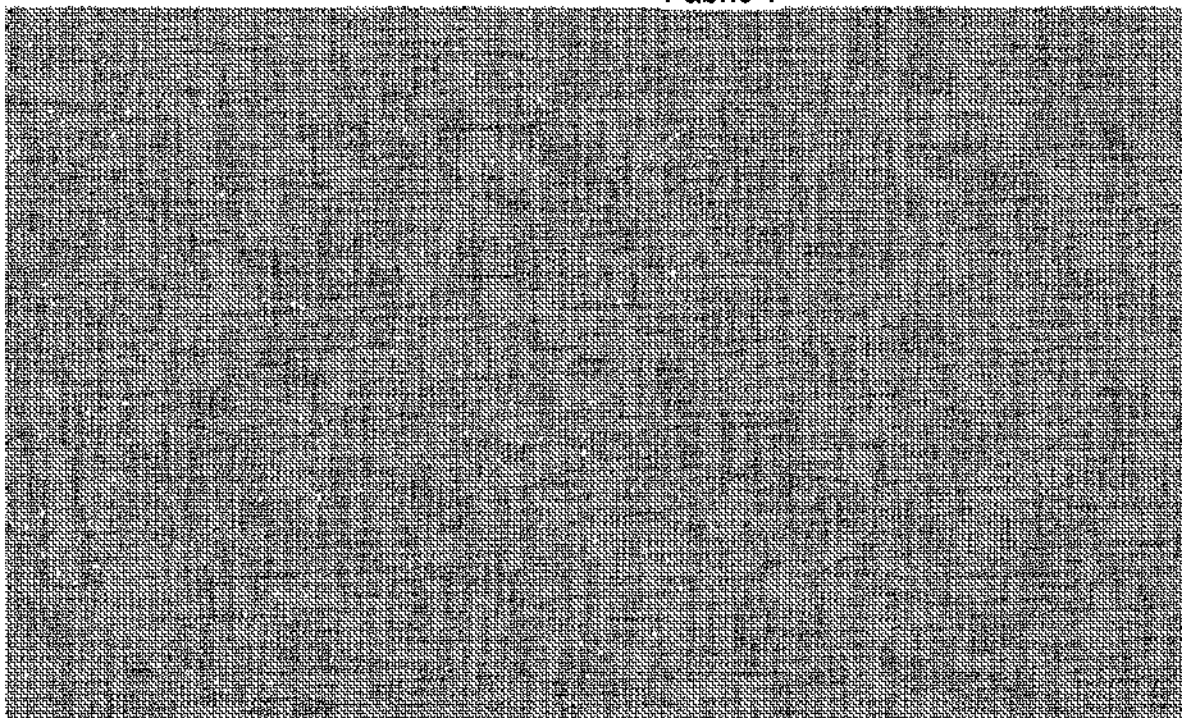
Knitted Pattern 1



Style	ba	Sample ID	04192	Nom. count	55 tex	Nom. twist	0 T/m
Tests	1 / 1	v= 400 m/min	t= 1 min	Meas. slot	3	Short staple	

## USTER Quality Report

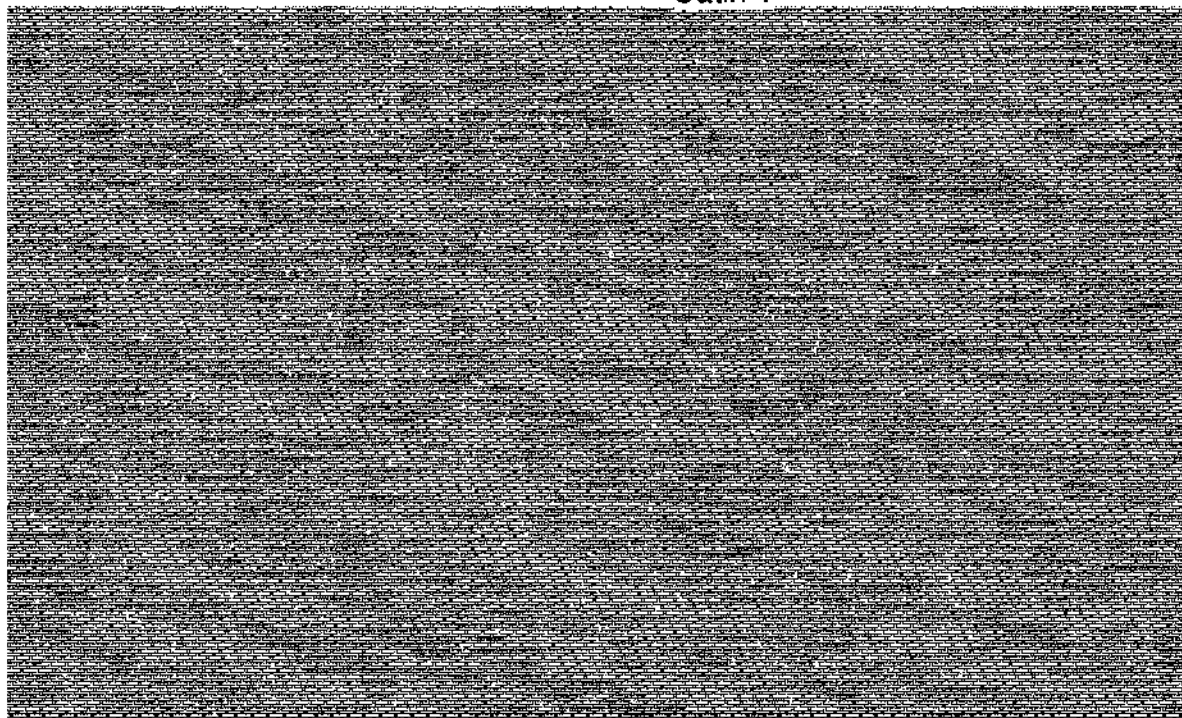
Fabric 1



Style ba      Sample ID 04192      Nom. count 55 tex      Nom. twist 0 T/m  
Tests 1 / 1      v= 400 m/min t= 1 min      Meas. slot 3      Short staple

## USTER Quality Report

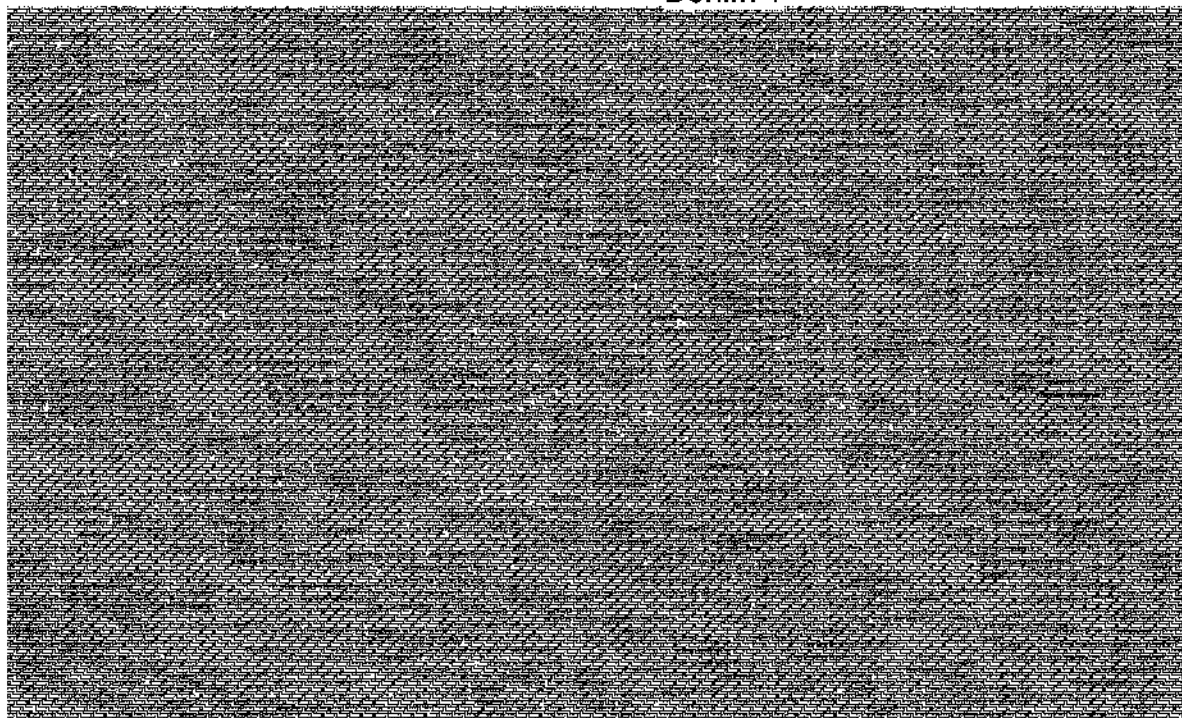
Satin 1



Style ba      Sample ID 04192      Nom. count 55 tex      Nom. twist 0 T/m  
Tests 1 / 1      v= 400 m/min t= 1 min      Meas. slot 3      Short staple

## USTER Quality Report

Denim 1



Style	ba	Sample ID	04192	Nom. count	55 tex	Nom. twist	0 T/m
Tests	1 / 1	v= 400 m/min	t= 1 min	Meas. slot	3	Short staple	

## USTER Quality Report

Yarn Board 1

